

Rolamentos de agulhas  
Rolamentos de esferas  
Rolamentos de rolos cilíndricos  
Rótulas radiais  
Rolamentos especiais

Catálogo BR 019



Este catálogo foi verificado com cuidado.  
Na eventual hipótese de erro ou omissão não podemos  
assumir nenhuma responsabilidade.

Editor:

Rolamentos Schaeffler do Brasil Ltda.  
Av. Independência, 3500  
Bairro do Éden  
18103-000 -Sorocaba - SP - Brasil  
Caixa Postal 334  
Tel. (015) 235 1500  
Telex 152218 SCHA BR  
Fax (015) 225 2886

INA im Internet: <http://www.ina.de>

© by INA · 1998, Setembro

Edição 1998

Reservados todos os direitos.

Proibida a reprodução total ou parcial sem nossa autorização.

Druck: Mandelkow GmbH, D-91074 Herzogenaurach

Printed in Germany

|        |          |   |
|--------|----------|---|
| Página |          |   |
| 5      |          | Tipos de rolamentos<br>Vista geral  |
| 6      |          | Índice de construções   |
| 8      |          | Índice de sufixos   |
| 10     | <b>A</b> | <b>Fundamentos da técnica de rolamentos</b>   |
| 10     | 1        | Denominações e unidades   |
| 12     | 2        | Capacidade de carga e vida nominal  |
| 12     | 2.1      | Capacidade de carga dinâmica e vida nominal   |
| 12     | 2.1.1    | Cálculo da vida nominal   |
| 14     | 2.1.2    | Vida nominal necessária   |
| 15     | 2.1.3    | Vida útil   |
| 15     | 2.1.4    | Capacidade de carga axial de rolamentos de rolos cilíndricos                        |
| 16     | 2.1.5    | Capacidade de carga axial da fixação dos rolamentos<br>de esferas de fixação rápida |
| 16     | 2.2      | Capacidade de carga estática  |
| 16     | 2.2.1    | Fator de segurança de carga estática  |
| 16     | 2.2.2    | Fator de segurança de carga estática necessária                                     |
| 17     | 2.3      | Influências sobre a capacidade de carga   |
| 17     | 2.3.1    | Influência da dureza da pista   |
| 17     | 2.3.2    | Influência da temperatura   |
| 18     | 3        | Carga equivalente no rolamento  |
| 18     | 3.1      | Rotação variável no rolamento   |
| 18     | 3.1.1    | Cálculo geral da rotação equivalente  |
| 18     | 3.1.2    | Rotação variável escalonada no rolamento  |
| 18     | 3.1.3    | Movimento oscilante no rolamento  |
| 18     | 3.2      | Carga variável no rolamento e rotação constante                                     |
| 18     | 3.2.1    | Cálculo geral da carga equivalente no rolamento                                     |
| 18     | 3.2.2    | Carga variável periódica no rolamento   |
| 19     | 3.2.3    | Carga variável escalonada no rolamento  |
| 19     | 3.3      | Rotação e carga variáveis no rolamento  |
| 19     | 3.3.1    | Cálculo geral dos esforços equivalentes   |
| 19     | 3.3.2    | Rotação e carga variáveis escalonada no rolamento                                   |
| 20     | 4        | Atrito e temperatura  |
| 20     | 4.1      | Determinação estimada dos valores de atrito   |
| 21     | 4.2      | Determinação detalhada dos valores de atrito  |
| 24     | 5        | Limites de rotação  |
| 24     | 5.1      | Rolamentos de esferas de fixação rápida   |
| 25     | 6        | Lubrificação  |
| 25     | 6.1      | Lubrificação à graxa  |
| 25     | 6.1.1    | Graxas lubrificantes  |
| 27     | 6.1.2    | Período de relubrificação   |
| 29     | 6.1.3    | Vida útil da graxa lubrificante   |
| 29     | 6.1.4    | Manutenção  |
| 29     | 6.2      | Lubrificação com óleo   |
| 29     | 6.2.1    | Óleos lubrificantes   |
| 31     | 6.2.2    | Sistemas de lubrificação  |
| 32     | 6.2.3    | Troca de óleo   |

|        |       |   |
|--------|-------|---|
| Página |       |   |
| 33     | 7     | <b>Tolerâncias de medida, forma e posição</b>                           |
| 33     | 7.1   | Distâncias de canto   |
| 34     | 7.2   | Tolerâncias normais para rolamentos de esferas de fixação rápida        |
| 35     | 7.3   | Tolerâncias para rolamentos radiais                                     |
| 35     | 7.3.1 | Classe de tolerância PN (tolerância normal)                             |
| 36     | 7.3.2 | Classe de tolerância P6   |
| 37     | 7.3.3 | Classe de tolerância P5   |
| 38     | 7.4   | Tolerâncias para rolamentos axiais                                      |
| 40     | 8     | <b>Folga radial e folga de funcionamento</b>                            |
| 40     | 8.1   | Folga radial  |
| 40     | 8.2   | Círculo inscrito<br>(Rolamentos de agulhas e de rolos sem anel interno) |
| 41     | 8.3   | Folga de funcionamento  |
| 41     | 8.3.1 | Influências dos ajustes sobre a folga de funcionamento                  |
| 41     | 8.3.2 | Influência da temperatura sobre a folga de funcionamento                |
| 41     | 8.4   | Rolamentos de esferas de fixação rápida                                 |
| 41     | 8.4.1 | Vedação dos rolamentos de esferas de fixação rápida                     |
| 42     | 8.4.2 | Momentos de apêrto  |
| 43     | 9     | <b>Configuração das pistas de rolamento</b>                             |
| 43     | 9.1   | Configuração das pistas   |
| 43     | 9.1.1 | Materiais   |
| 43     | 9.1.2 | Profundidade de têmpera   |
| 44     | 9.1.3 | Execução  |
| 44     | 9.2   | Influência da temperatura e estabilização da medida                     |
| 45     | 9.3   | Fixação radial dos rolamentos   |
| 46     | 9.3.1 | Execução das superfícies de apoio dos anéis dos rolamentos              |
| 47     | 9.4   | Fixação axial dos rolamentos  |
| 47     | 9.4.1 | Execução das superfícies da guia lateral                                |
| 47     | 9.4.2 | Fixação axial dos anéis do rolamento                                    |
| 48     | 9.5   | Sistema de vedação dos rolamentos                                       |
| 48     | 9.5.1 | Vedações sem contato  |
| 48     | 9.5.2 | Vedações por contato  |
| 50     | 9.6   | Rolamentos de agulhas sem gaiola  |
| 53     | 10    | <b>Montagem e desmontagem</b>   |
| 53     | 10.1  | Armazenagem   |
| 53     | 10.2  | Compatibilidade e miscibilidade   |
| 53     | 10.3  | Limpeza   |
| 54     | 10.4  | Montagem  |
| 54     | 10.5  | Desmontagem   |
| 55     | 11    | <b>Tolerâncias – ISO</b>  |
| 55     | 11.1  | Formação de campos de tolerâncias                                       |
| 58     | 11.2  | Tolerâncias ISO para alojamentos e eixos                                |

| Página |  |
|--------|--|
| 60     | <b>B Tipos de rolamentos</b>   |
| 62     | Gaiolas de agulhas   |
| 66     | Gaiolas de agulhas para bielas   |
| 72     | Buchas de agulhas  |
| 76     | Rolamentos de agulhas  |
| 81     | Rolamentos de esferas  |
| 83     | Rolamentos de rodas para veículos de passeio                                 |
| 85     | Gaiolas axiais de agulhas  |
| 87     | Anéis internos   |
| 89     | Rótulas radiais  |
| 91     | Rolamentos axiais para suspensão de veículos                                 |
| 93     | Rolamentos de rolos cilíndricos  |
| 97     | Rolamentos de embreagem  |
| 101    | Polias tensoras  |
| 104    | Rolamentos de bomba d'água   |
| 108    | Rolamentos têxteis   |
| 110    | Agulhas e rolos cilíndricos  |
| 114    | Roldanas de esferas  |
| 116    | Rolamentos de esferas de fixação rápida                                      |
| 117    | Mancais de ferro fundido   |
| 131    | Mancais de chapa de aço repuxada   |
| 136    | Rolamentos de esferas especiais  |
| 137    | Rolamentos de esferas de fixação rápida com anel de borracha                 |
| 138    | Rolamentos de esferas especiais com furo sextavado                           |
| 139    | Instruções para montagem de rolamentos de esfera de fixação rápida           |
| 140    | Produtos diversos  |
| 146    | Fábricas INA no Brasil e no Exterior   |
| 147    | Filiais no Exterior<br>Representações no Exterior<br>Representações técnicas |

**Programa de rolamentos**

|  |     |
|--|-----|
| Gaiolas de agulhas   | 62  |
| Gaiolas de agulhas para bielas   | 66  |
| Buchas de agulhas  | 72  |
| Rolamentos de agulhas  | 76  |
| Rolamentos de esferas  | 81  |
| Rolamentos de rodas para veículos de passeio                                 | 83  |
| Gaiolas axiais de agulhas  | 85  |
| Anéis internos   | 87  |
| Rótulas radiais  | 89  |
| Rolamentos axiais para suspensão de veículos                                 | 91  |
| Rolamentos de rolos cilíndricos  | 93  |
| Rolamentos de embreagem  | 97  |
| Polias tensoras  | 101 |
| Rolamentos de bomba d'água   | 104 |
| Rolamentos têxteis   | 108 |
| Agulhas e rolos cilíndricos  | 110 |
| Roldanas de esferas  | 114 |
| Rolamentos de esferas de fixação rápida                                      | 116 |
| Mancais de ferro fundido e de chapa  | 117 |
| Mancais de chapa   | 131 |
| Rolamentos de esferas especiais  | 136 |
| Rolamentos de esferas de fixação rápida com anel de borracha                 | 137 |
| Rolamentos de esferas especiais com furo sextavado                           | 138 |
| Instruções para montagem de rolamentos de esferas de fixação rápida          | 139 |
| Produtos diversos  | 140 |
| Fábricas INA no Brasil e no Exterior   | 146 |
| Filiais no Exterior<br>Representações no Exterior<br>Representações técnicas | 147 |

# Índice de construções

Ordenados alfa-numericamente

| Página | Série       | Designação  |
|--------|-------------|---|
| 86     | AXK         | Gaiola axial de agulhas                                   |
| 72     | BCE         | Bucha de agulhas com fundo                                |
| 72     | BK          | Bucha de agulhas com fundo                                |
| 72     | BU          | Bucha de cruzeta sem gaiola                               |
| 62     | C           | Gaiola de agulhas   |
| 72     | CSN         | Bucha de agulhas sem gaiola com fundo                     |
| 131    | E..KRR      | Rolamento de esferas de fixação rápida                    |
| 114    | G...KRRB    | Rolamento de esferas de fixação rápida                    |
| 90     | GE..DO      | Rótula radial   |
| 90     | GE..DO 2RS  | Rótula radial com duas vedações                           |
| 114    | GE..KPPB3   | Rolamento de esferas de fixação rápida com vedação tripla |
| 114    | GE..KRRB    | Rolamento de esferas de fixação rápida                    |
| 90     | GE..ZO      | Rótula radial   |
| 127    | GRA         | Mancal de chapa de aço repuxada                           |
| 114    | GRA...NPPB  | Rolamento de esferas de fixação rápida                    |
| 114    | GRAE...NPPB | Rolamento de esferas de fixação rápida                    |
| 127    | GRR         | Mancal de chapa de aço repuxada                           |
| 114    | GY...KRRB   | Rolamento de esferas de fixação rápida                    |
| 114    | GYE..KPPB3  | Rolamento de esferas de fixação rápida com vedação tripla |
| 114    | GYE..KRRB   | Rolamento de esferas de fixação rápida                    |
| 72     | HK          | Bucha de agulhas  |
| 72     | HK...RS     | Bucha de agulhas com uma vedação                          |
| 72     | HN          | Bucha de agulhas sem gaiola                               |
| 88     | IR          | Anel interno  |
| 62     | K           | Gaiola de agulhas   |
| 66     | KBK         | Gaiola de agulhas para pino de pistão                     |
| 66     | KZK         | Gaiola de agulhas para virabrequim                        |
| 88     | LR          | Anel interno  |
| 108    | LRB         | Rolo cilíndrico   |
| 76     | NA          | Rolamento de agulhas                                      |
| 76     | NCS         | Rolamento de agulhas                                      |
| 76     | NK          | Rolamento de agulhas                                      |
| 76     | NKI         | Rolamento de agulhas com anel interno                     |
| 108    | NRB         | Agulha  |
| 93     | NU          | Rolamento de rolos cilíndricos                            |

| Página | Série      | Designação  |
|--------|------------|---|
| 131    | ORAE..NPPB | Rolamento de esferas especial                               |
| 118    | PASE       | Mancal de ferro fundido                                     |
| 120    | PCJ        | Mancal de ferro fundido                                     |
| 122    | PCJT       | Mancal de ferro fundido                                     |
| 124    | PTUE       | Mancal de ferro fundido                                     |
| 127    | RA         | Mancal de chapa de aço repuxada                             |
| 131    | RA...NPP   | Rolamento de esferas de fixação rápida                      |
| 131    | RAE..NPP   | Rolamento de esferas de fixação rápida                      |
| 118    | RASE       | Mancal de ferro fundido                                     |
| 118    | RASEY      | Mancal de ferro fundido                                     |
| 130    | RAT        | Mancal de chapa de aço repuxada                             |
| 120    | RCJ        | Mancal de ferro fundido                                     |
| 120    | RCJY       | Mancal de ferro fundido                                     |
| 122    | RCJT       | Mancal de ferro fundido                                     |
| 122    | RCJTY      | Mancal de ferro fundido                                     |
| 122    | RCJTZ      | Mancal de ferro fundido                                     |
| 132    | RCSM       | Rolamento de esferas de fixação rápida com anel de borracha |
| 126    | RFE        | Mancal de ferro fundido                                     |
| 76     | RNA        | Rolamento de agulhas  |
| 127    | RR         | Mancal de chapa de aço repuxada                             |
| 130    | RRT        | Mancal de chapa de aço repuxada                             |
| 130    | RRTY       | Mancal de chapa de aço repuxada                             |
| 127    | RRY        | Mancal de chapa de aço repuxada                             |
| 124    | RTUE       | Mancal de ferro fundido                                     |
| 124    | RTUEY      | Mancal de ferro fundido                                     |
| 72     | SCE        | Bucha de agulhas  |
| 72     | SN         | Bucha de agulhas sem gaiola                                 |
| 72     | SNH        | Bucha de agulhas sem gaiola                                 |
| 118    | TASE       | Mancal de ferro fundido                                     |
| 120    | TCJ        | Mancal de ferro fundido                                     |
| 122    | TCJT       | Mancal de ferro fundido                                     |
| 126    | TFE        | Mancal de ferro fundido                                     |
| 124    | TTUE       | Mancal de ferro fundido                                     |
| 108    | ZRB        | Rolo cilíndrico   |
| 131    | 2..KRR(B)  | Rolamento de esferas especial                               |
| 82     | 60..       | Rolamento de esferas  |
| 82     | 623..2RS   | Rolamento de esferas com duas vedações                      |
|        | F-....     | Rolamento especial conforme desenho                         |

# Índice de sufixos

Ordenados alfa-numericamente

| Sufixo  | Significado   |
|---------|---|
| A, B, C | O significado destas letras não é especificado em detalhe. Geralmente são usadas para evitar trocas durante um período de transição. Em casos especiais estas letras identificam rolamentos com variantes na construção interna, porém com as mesmas dimensões externas.  |
| AG      | Gaiola prateada   |
| ASR     | Furo e canal de lubrificação no anel externo  |
| AS      | Furo de lubrificação no anel externo  |
| C2      | Folga radial menor que a normal   |
| C3      | Folga radial maior que a normal   |
| C4      | Folga radial maior que C3   |
| CU      | Gaiola cobreada   |
| D       | Gaiola bi-partida   |
| EGS     | Anel interno com pista retificada por mergulho (para retentores)  |
| FPM     | Vedação de viton (fluor elastomer)  |
| G.      | Classe de qualidade da agulha e do rolo cilíndrico  |
| H+...+. | Tolerâncias reduzidas do círculo inscrito para rolamentos sem anel interno, exceto para bucha de agulhas. A tolerância F6 do círculo inscrito está dividida em dois grupos, superior e inferior.<br>Exemplo de pedido: Rolamento de agulhas RNA 4903 com diâmetro nominal do círculo inscrito $F_w = 22$ , reduzido para o grupo inferior do campo F6: RNA 4903 H +26 +20 |
| ISR     | Furo e canal de lubrificação no anel interno  |
| IS      | Furo de lubrificação no anel interno  |
| LP      | Gaiola de metal leve  |
| M       | Gaiola de bronze  |
| N       | Rolamento com ranhura para anel de retenção no anel externo   |
| NR      | Rolamento com ranhura e anel de retenção no anel externo  |
| P4      | Classe de tolerância: rolamento com precisão de forma, medida e giro (mais preciso que P5)  |
| P5      | Classe de tolerância: rolamento com precisão de forma, medida e giro (mais preciso que P6)  |
| P6      | Classe de tolerância: rolamento com precisão de forma, medida e giro (mais preciso que P normal)  |
| RS      | Rolamento com um anel de vedação  |
| SM 01   | Engraxado com KP2K-30 conforme DIN 51 825, para campo de temperatura -30 °C até + 120 °C  |
| SM 02   | Engraxado com K3N-30 conforme DIN 51 825, para campo de temperatura -30 °C até + 140 °C   |
| SM 11   | Engraxado com K2E-25 conforme DIN 51 825, para campo de temperatura -40 °C até + 80 °C  |
| SM 27   | Engraxado com K2P-30 conforme DIN 51 825, para campo de temperatura -30 °C até +175 °C  |

| Sufixo | Significado   |
|--------|---|
| SORT.. | Grupo de agulhas para gaiola de agulhas, medidas em microns |
| TN     | Gaiola plástica   |
| V      | Rolamento sem gaiola  |
| VGS    | Anel interno com sobrematerial na pista                     |
| Z      | Rolamento com um anel de blindagem                          |
| ZW     | Gaiola de agulhas de duas carreiras                         |
| .2RS   | Rolamento com dois anéis de vedação                         |
| .2Z    | Rolamento com dois anéis de blindagem                       |

Tabela 2 · Tolerâncias reduzidas do círculo inscrito

| Diâmetro nominal do círculo inscrito $F_W$ mm |     | Tolerância do círculo inscrito em $\mu\text{m}$ |                   |
|---|-----|---|-------------------|
| acima   | até | Sufixos para                                    |                   |
|   |     | Grupo superior F6                               | Grupo inferior F6 |
| 3   | 6   | H + 18 +14                                      | H +14 +10         |
| 6   | 10  | H + 22 +17                                      | H +17 +13         |
| 10  | 18  | H + 27 +21                                      | H +21 +16         |
| 18  | 30  | H + 33 +26                                      | H +26 +20         |
| 30  | 50  | H + 41 +33                                      | H +33 +25         |
| 50  | 80  | H + 49 +39                                      | H +39 +30         |
| 80  | 120 | H + 58 +47                                      | H +47 +36         |
| 120   | 180 | H + 68 +55                                      | H +55 +43         |
| 180   | 250 | H + 79 +64                                      | H +64 +50         |
| 250   | 315 | H + 88 +72                                      | H +72 +56         |
| 315   | 400 | H + 98 +80                                      | H +80 +62         |
| 400   | 500 | H +108 +88                                      | H +88 +68         |

# A Fundamentos da técnica de rolamentos

## 1

### Denominações e unidades

Não havendo uma observação específica, deve-se considerar no capítulo «Fundamentos da técnica de rolamentos» as seguintes denominações, unidades e significados:

|                 |             |   |
|-----------------|-------------|---|
| $a_1, a_2, a_3$ | -           | Fator de ajuste de vida   |
| B               | mm          | Largura do rolamento  |
| C               | N           | Capacidade básica de carga dinâmica   |
| $C_H, C_{0H}$   | N           | Capacidade de carga efetiva dinâmica ou estática                              |
| $C_T$           | N           | Capacidade de carga dinâmica efetiva em altas temperaturas                    |
| $C_0$           | N           | Capacidade básica de carga estática   |
| d               | mm          | Diâmetro do eixo, furo do rolamento ou do anel interno                        |
| $d_M$           | mm          | Diâmetro médio do rolamento $(d + D)/2$                                       |
| D               | mm          | Diâmetro externo do rolamento   |
| $D_w$           | mm          | Diâmetro dos corpos rolantes  |
| E               | mm          | Diâmetro da pista do anel externo   |
| $E_{ht}$        | mm          | Profundidade de cementação  |
| $E_w$           | mm          | Diâmetro do círculo circunscrito  |
| f               | -           | Coefficiente de atrito  |
| $f_H, f_{H0}$   | -           | Fator de dureza dinâmico ou estático  |
| $f_T$           | -           | Fator de temperatura  |
| $f_0$           | -           | Coefficiente de atrito (rotação)  |
| $f_1$           | -           | Coefficiente de atrito (carga)  |
| $f_2$           | -           | Coefficiente de atrito (carga axial)  |
| F               | mm          | Diâmetro da pista do anel interno   |
| F               | N           | Força radial  |
| $F_a, F_r$      | N           | Carga axial ou radial aplicada sobre o rolamento                              |
| $F_w$           | mm          | Diâmetro do círculo inscrito  |
| $F_0$           | N           | Carga máxima sobre o rolamento radial ou axial                                |
| GKW             | -           | Coefficiente de velocidade  |
| $k_B, k_S$      | -           | Coefficiente para lubrificação e para série do rolamento                      |
| $k_C$           | -           | Fator de capacidade de carga  |
| $K_L, K_P$      | -           | Fatores para cálculo do período de relubrificação                             |
| $K_R, K_T, K_U$ | -           |   |
| L               | $10^6$ rot. | Vida nominal em milhões de rotações   |
| $L_h$           | h           | Vida nominal em horas de trabalho   |
| $L_{na}$        | $10^6$ rot. | Vida nominal ajustada em milhões de rotações                                  |
| $L_w$           | mm          | Comprimento da agulha ou do rolo cilíndrico                                   |
| $L_{we}$        | mm          | Comprimento efetivo da agulha ou do rolo cilíndrico                           |
| $M_R$           | Nmm         | Momento de atrito do rolamento  |
| $M_0$           | Nmm         | Momento de atrito em função da rotação  |
| $M_1$           | Nmm         | Momento de atrito em função da carga  |
| $M_2$           | Nmm         | Momento de atrito em função da carga axial em rolamentos de rolos cilíndricos |

|                   |                                 |   |
|-------------------|---------------------------------|---|
| n                 | min <sup>-1</sup>               | Rotação   |
| n <sub>osc</sub>  | min <sup>-1</sup>               | Frequência do movimento oscilante                                   |
| N <sub>R</sub>    | W                               | Potência de atrito  |
| p                 | -                               | Expoente de vida nominal  |
| P                 | N                               | Carga equivalente no rolamento                                      |
| q                 | %                               | Participação dos intervalos de tempo                                |
| r <sub>s</sub>    | mm                              | Distância de canto  |
| R <sub>a</sub>    | μm                              | Rugosidade  |
| R <sub>ht</sub>   | mm                              | Profundidade da camada temperada                                    |
| R <sub>p0,2</sub> | N/mm <sup>2</sup>               | Limite de elasticidade  |
| R <sub>z</sub>    | μm                              | Rugosidade  |
| s                 | μm                              | Folga radial de funcionamento                                       |
| S <sub>0</sub>    | -                               | Fator de segurança de carga estática                                |
| t                 | s, min, h                       | Tempo   |
| t <sub>f</sub>    | h                               | Período básico de relubrificação                                    |
| t <sub>fR</sub>   | h                               | Valor orientativo para relubrificação                               |
| TES               | mm                              | Folga circunferencial   |
| $\dot{V}$         | l/min                           | Quantidade de óleo necessária para refrigeração                     |
| Z                 | -                               | Quantidade de corpos rolantes                                       |
| γ                 | °                               | Amplitude do movimento oscilante<br>(meio ângulo de oscilação)      |
| Δd                | μm                              | Expansão do anel interno  |
| ΔD                | μm                              | Contração do anel externo   |
| Δs                | μm                              | Redução da folga radial   |
| Δt                | s, min, h                       | Intervalo de tempo  |
| Δθ                | K                               | Diferença de temperatura  |
| θ                 | °C                              | Temperatura   |
| κ                 | -                               | Relação de viscosidade  |
| ν                 | mm <sup>2</sup> s <sup>-1</sup> | Viscosidade cinemática do lubrificante<br>à temperatura de trabalho |
| ν <sub>1</sub>    | mm <sup>2</sup> s <sup>-1</sup> | Viscosidade nominal   |
| φ                 | °                               | Ângulo de oscilação   |

## 2 Capacidade de carga e vida nominal

A determinação do tamanho do rolamento origina-se das exigências quanto a capacidade de carga, vida nominal e segurança de funcionamento do mesmo. Como medida para a vida nominal de um rolamento, utiliza-se no cálculo as capacidades básicas de carga, sendo determinantes, para rolamentos submetidos a rotação, a capacidade de carga dinâmica e para rolamentos estacionários ou com pouca rotação, a capacidade de carga estática.

Os valores das capacidades de carga e os métodos de cálculo contidos neste catálogo se baseiam nas indicações das normas DIN ISO 281 e DIN ISO 76.

### 2.1 Capacidade de carga dinâmica e vida nominal

A capacidade de carga dinâmica de um rolamento é determinada através do comportamento do material quanto à fadiga. Neste caso, a vida nominal, como período que antecede a fadiga, depende tanto da carga e da rotação do rolamento, assim como da probabilidade estatística de surgimento das primeiras avarias. Para descrever a capacidade de suportar carga dinamicamente, são introduzidos os conceitos de capacidade de carga dinâmica e vida nominal (vida útil calculada).

#### 2.1.1 Cálculo da vida nominal

A vida nominal é calculada como segue:

$$L = \left(\frac{C}{P}\right)^p \quad (2-1)$$

$$L_h = \frac{16\,666}{n} \cdot \left(\frac{C}{P}\right)^p \quad (2-2)$$

L  $10^6$  rotações

Vida nominal em milhões de rotações, alcançada ou ultrapassada por 90% de uma quantidade suficientemente grande de rolamentos iguais, antes de surgirem os primeiros indícios de fadiga do material.

$L_h$  h

Vida nominal em horas de trabalho correspondente a definição para L.

C N

Capacidade básica de carga dinâmica. C é a carga de grandeza e direção constante, sob a qual uma quantidade suficientemente grande de rolamentos iguais alcança uma vida nominal de um milhão de rotações. Nos rolamentos radiais C é a carga radial constante. Nos rolamentos axiais C é a carga axial atuante no centro (vide também parágrafo 2.3).

P N

Carga equivalente para rolamentos radiais e axiais (vide capítulo 3).

p -

Expoente de vida nominal:

p = 10/3 para rolamentos de agulhas e de rolos cilíndricos.

p = 3 para rolamentos de esferas.

n min<sup>-1</sup>

Rotação de funcionamento (vide capítulo 3).

| Probabilidade de atingir a vida nominal % | $a_1$ |
|---|-------|
| 90  | 1     |
| 95  | 0,62  |
| 96  | 0,53  |
| 97  | 0,44  |
| 98  | 0,33  |
| 99  | 0,21  |

Tabela 2-1 · Fator de ajuste de vida  $a_1$

### Vida nominal ajustada

Para os casos nos quais, além da carga e das rotações, se conhecem outros fatores influentes sobre a vida nominal, os quais deverão ser considerados no cálculo da mesma, a norma DIN ISO 281, fornece uma equação ampliada.

$$L_{na} = a_1 \cdot a_2 \cdot a_3 \cdot L \quad (2-3)$$

$L_{na}$   $10^6$  rotações  
Vida nominal ajustada para materiais com características especiais e condições de trabalho particulares, com uma probabilidade de (100-n)% de atingir a vida nominal

$L$   $10^6$  rotações  
Vida nominal, vide equação (2-1)

$a_1$  -  
Fator de ajuste de vida para probabilidade diferente de 90%, conforme tabela 2-1

$a_2$  -  
Fator de ajuste de vida para materiais com características especiais. Em aços normais para rolamentos vale  $a_2 = 1$

$a_3$  -  
Fator de ajuste de vida para condições de trabalho especiais, especialmente para o estado da lubrificação.

O fator de ajuste de vida  $a_3$  pode ser obtido da Fig. 2-1 em função da relação de viscosidade  $\kappa = \nu/\nu_1$ , sendo  $\nu$  a viscosidade cinemática existente do lubrificante na temperatura de funcionamento e  $\nu_1$  a viscosidade nominal suficiente para a formação da película lubrificante segundo a Fig. 2-2. No caso de lubrificação com graxa, a viscosidade do óleo base é determinante.

Em casos de aplicações que se encontram fora dos valores da Fig. 2-2, solicitamos consultar-nos.

Outras indicações sobre a escolha do lubrificante vide capítulo 6.

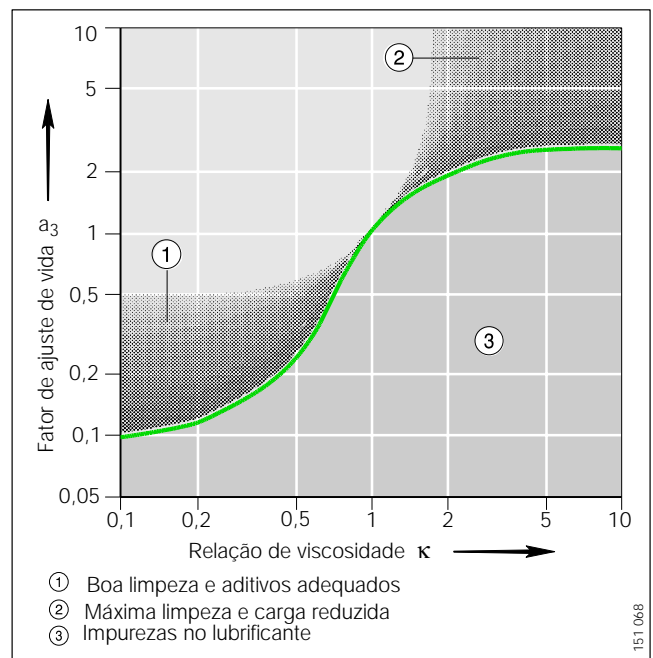


Fig. 2-1 · Fator de ajuste de vida  $a_3$

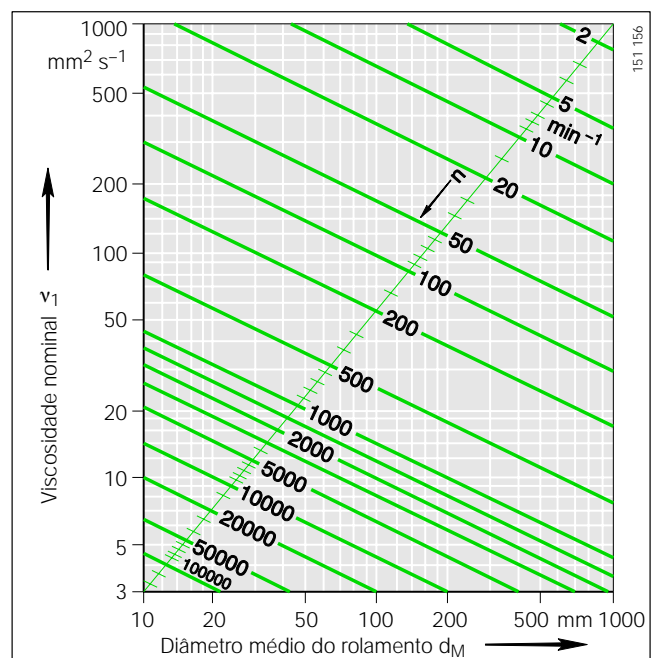


Fig. 2-2 · Viscosidade nominal  $\nu_1$

## 2 Capacidade de carga e vida nominal

### 2.1.2 Vida nominal necessária

Se é conhecida a vida nominal necessária, em função das condições de funcionamento da máquina e das exigências quanto a segurança de funcionamento, pode-se determinar o tamanho do rolamento mediante as equações de vida nominal do parágrafo 2.1.1.

Se não existem dados sobre a vida nominal necessária, podem tomar-se os valores orientativos da Fig. 2-3.

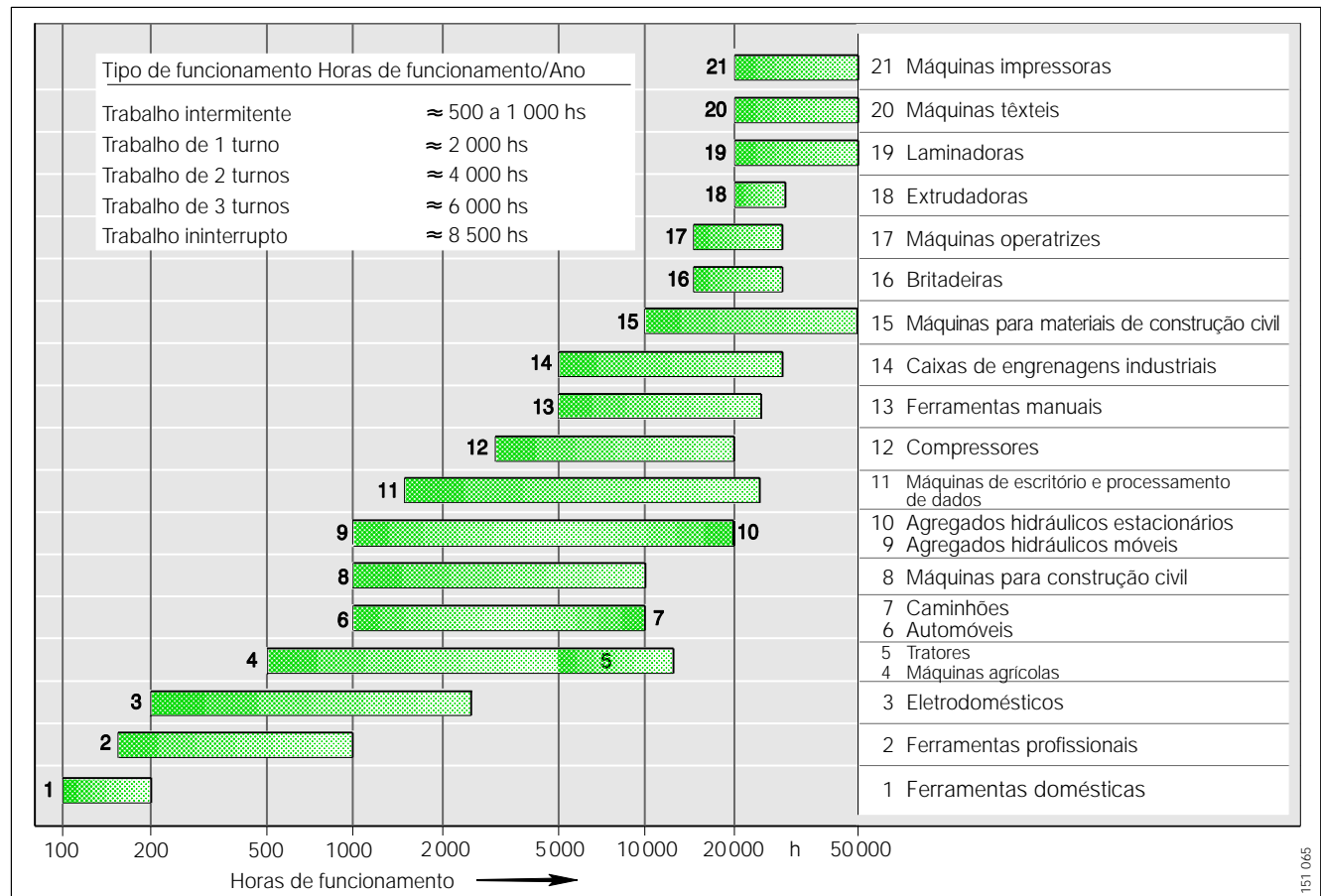


Fig. 2-3 · Valores orientativos para vida nominal de rolamentos

| Série <sup>1)</sup>                        | k <sub>B</sub> |
|--|----------------|
| SL18 18, SL01 48                           | 4,5            |
| SL18 29, SL18 49, SL 01 49, SL 119, SL 129 | 11             |
| SL18 30, SL18 50, SL 05E                   | 17             |
| SL18 22                                    | 20             |
| SL19 23                                    | 30             |

1) Pedimos nos consultarem quanto as séries aqui não relacionadas e construções especiais.

Tabela 2-2 · Coeficiente k<sub>B</sub>

### 2.1.3 Vida útil

Por vida útil, entende-se a vida útil efetivamente alcançada por um rolamento, que pode ser diferente da vida nominal calculada. Os desalinhamentos entre eixo e alojamento, sujeira nos rolamentos, temperatura de funcionamento excessiva ou uma lubrificação insuficiente, podem conduzir a uma falha prematura dos rolamentos devido ao desgaste ou a fadiga.

Condições de funcionamento desfavoráveis, tais como movimentos oscilantes do rolamento com ângulos muito pequenos ou vibrações com o rolamento parado, podem também ser causa de falhas prematuras devido a formações de estrias.

Em razão das múltiplas possibilidades de montagem e de funcionamento, não é possível prever exatamente a vida útil dos rolamentos. O método mais seguro para uma adequada avaliação é, como sempre, a comparação com casos de aplicações semelhantes.

### 2.1.4 Capacidade de carga axial de rolamentos de rolos cilíndricos

Os rolamentos de rolos cilíndricos INA, nos tipos fixos e de apoio, podem transferir além de altas cargas radiais, consideráveis cargas axiais.

A capacidade de carga axial de rolamentos radiais de rolos cilíndricos depende do tamanho e da capacidade de carga das superfícies de deslizamento entre as bordas internas do rolamento e as faces dos corpos rolantes. A capacidade de carga das superfícies de contato é influenciada pela velocidade de deslizamento e pela lubrificação.

A base de cálculo é a potência específica de atrito proveniente das superfícies de contato deslizantes.

Esta, depende da quantidade e da viscosidade do lubrificante. A relação da equação (2-4) serve como valor orientativo da capacidade de carga axial admissível nos rolamentos de rolos cilíndricos INA. Se as cargas são intermitentes ou inconstantes, podemos admitir cargas axiais com valores superiores a F<sub>a adm</sub>. Neste caso e com rotações bastantes baixas, não se pode ultrapassar a carga limite F<sub>a max</sub>, a fim de evitar pressões inadmissíveis nas superfícies de contato.

$$F_{a adm} = k_S \cdot k_B \cdot d_M^{1,5} \cdot n^{-0,6} \leq F_{a max} \quad (2-4)$$

F<sub>a adm</sub> N  
Carga axial admissível

F<sub>a max</sub> N  
Carga axial limite

$$F_{a max} = 0,075 \cdot k_B \cdot d_M^{2,1}$$

k<sub>S</sub> -  
Coeficiente dependente do sistema de lubrificação (Vide tabela 2-3)

k<sub>B</sub> -  
Coeficiente dependente da série do rolamento (vide tabela 2-2)

d<sub>M</sub> mm  
Diâmetro médio do rolamento (d + D)/2

n min<sup>-1</sup>  
Rotação de funcionamento.

Deve-se observar que as bordas do rolamento submetidas à pressão sejam, na medida do possível, apoiadas em sua altura total.

Nos capítulos 4 e 6.2.2 encontram-se as indicações para a determinação da potência de atrito e da dissipação térmica.

Caso se apresentem condições de trabalho que não estão descritas aqui, pedimos consultar-nos.

Tabela 2-3 · Coeficiente k<sub>S</sub> para o sistema de lubrificação

| Sistema de lubrificação <sup>1)</sup>   | k <sub>S</sub> |
|---|----------------|
| Minima dissipação térmica, lubrificação por gotejamento, por nebulização de óleo, viscosidade de funcionamento reduzida (v < 0,5 · v <sub>1</sub> ) | 7,5 a 10       |
| Pequena dissipação térmica, lubrificação por banho de óleo, por pulverização de óleo, circulação de óleo reduzida                                   | 10 a 15        |
| Boa dissipação térmica, lubrificação por circulação de óleo, (lubrificação com óleo sob pressão)  | 12 a 18        |
| Muito boa dissipação térmica, lubrificação por circulação e resfriamento do óleo, alta viscosidade de funcionamento (v > 2 · v <sub>1</sub> )       | 16 a 24        |

1) Em geral são válidas as recomendações quanto à viscosidade (viscosidade nominal v<sub>1</sub>) conforme capítulo 6, pág. 25. Como lubrificantes são recomendados óleos aditivados, por exemplo CLP (DIN 51 517) e HLP (DIN 51 524) da classe ISO-VG 32 até 460, bem como óleos ATF (DIN 51502) e óleos para caixa de engrenagens (DIN 51512) das classes de viscosidade SAE 75 W até 140 W.

## 2 Capacidade de carga e vida nominal

### 2.1.5 Capacidade de carga axial da fixação dos rolamentos de esferas de fixação rápida

O diagrama a seguir Fig. 2-4 fornece valores orientativos para as cargas axiais  $F_a$ , que podem ser transmitidas pelos rolamentos de fixação rápida.

Em caso de cargas mais elevadas, estas devem ser transmitidas através de um ressalto no eixo.



Fig. 2-4 · Capacidade de carga axial da união de montagem dos rolamentos de esferas de fixação rápida

### 2.2 Capacidade de carga estática

A capacidade de carga estática é limitada pelas deformações plásticas nas pistas e corpos rolantes produzidas pelas cargas aplicadas no rolamento em estado de repouso, sendo que tais deformações são consideradas ainda admissíveis, apesar de provocarem ruídos na posterior movimentação do rolamento.

A definição das deformações permanentes admissíveis leva ao conceito da capacidade de carga estática. Como medida para a solitação estática foi adotado o fator de segurança de carga estática.

### 2.2.1 Fator de segurança de carga estática

O fator de segurança de carga estática indica a segurança contra as deformações permanentes admissíveis no rolamento e é definido como segue:

$$S_0 = \frac{C_0}{F_0} \quad (2-5)$$

$S_0$  – Fator de segurança de carga estática

$C_0$  – N Capacidade básica de carga estática

$F_0$  – N Carga máxima sobre o rolamento radial ou axial.

Em rolamentos radiais,  $C_0$  é a carga em direção radial e em rolamentos axiais, a carga axial atuante no centro, na qual a pressão de Hertz entre os corpos rolantes e as pistas, no ponto mais carregado do rolamento, alcança o valor de 4 000 N/mm<sup>2</sup> para rolamentos de rolos cilíndricos e 4 200 N/mm<sup>2</sup> para rolamentos de esferas.

Esta carga ocasiona, em condições normais de contato, uma deformação total permanente de 1/10 000 do diâmetro do corpo rolante.

Rolamentos que tenham um fator de segurança de carga estática  $S_0 \leq 8$ , consideram-se altamente carregados e com  $S_0 \geq 8$  medianamente ou levemente carregados.

### 2.2.2 Fator de segurança de carga estática necessária

Para o fator de segurança de carga estática são recomendados os valores orientativos da tabela 2-4.

Tabela 2-4 · Valores orientativos de fatores de segurança de carga estática

| Aplicação  | $S_{01}^{1)}$ | $S_{02}^{2)}$ |
|--|---------------|---------------|
| Funcionamento suave, com poucas vibrações e funcionamento normal com reduzidas exigências quanto a suavidade de movimento; rolamento com baixa rotação | $\geq 1$      | $\geq 0,5$    |
| Funcionamento normal com exigências mais elevadas quanto ao movimento silencioso   | $\geq 2$      | $\geq 1$      |
| Funcionamento com acentuadas cargas de choque  | $\geq 3$      | $\geq 2$      |
| Rolamentos com elevadas exigências quanto à precisão de giro e movimento silencioso  | $\geq 4$      | $\geq 3$      |

1) Para rolamentos de agulhas e de rolos cilíndricos.

2) Para rolamentos de esferas.

Para buchas de agulhas deve-se utilizar o valor  $S_0 \geq 3$ .

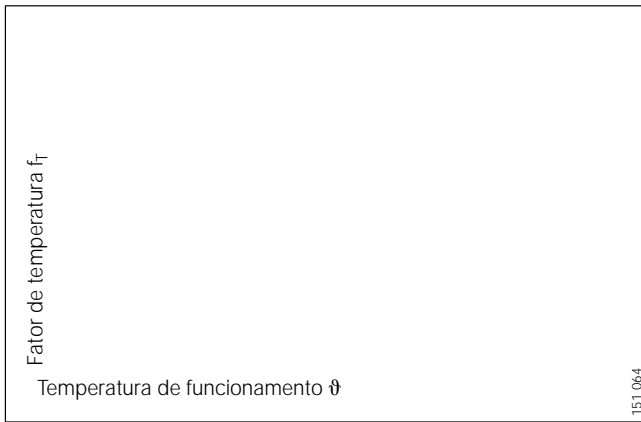


Fig. 2-5 · Fator de temperatura  $f_T$

### 2.3 Influências sobre a capacidade de carga

Os valores da capacidade de carga indicados neste catálogo valem para uma dureza das pistas e dos corpos rolantes de 670 +170 HV, com a microestrutura característica dos componentes de rolamentos.

#### 2.3.1 Influência da dureza da pista

Se uma das pistas apresenta uma dureza menor que 670 HV, a capacidade de carga se reduz para o valor  $C_H$  e para  $C_{OH}$ . Tal redução é calculada pelas seguintes equações de correção:

Capacidade de carga dinâmica:

$$C_H = f_H \cdot C \quad (2-6)$$

Capacidade de carga estática:

$$C_{OH} = f_{H0} \cdot C_0 \quad (2-7)$$

$C_H, C_{H0}$  N  
Capacidade de carga efetiva, dinâmica ou estática para durezas mínimas

$f_H, f_{H0}$  -  
Fator de dureza dinâmico ou estático conforme figura 2-6

$C, C_0$  N  
Capacidade básica de carga dinâmica ou estática.

Os fatores de dureza somente são válidos para aços de rolamentos ou aços-liga semelhantes (vide parágrafo 9.1.1) com o correspondente grau de pureza e estrutura. Em outros casos, por exemplo em materiais fundidos ou metais não ferrosos, as indicações não têm validade.

#### 2.3.2 Influência da temperatura

Os rolamentos INA podem geralmente ser empregados até +120 °C e em temperaturas de pico de curta duração, até +150 °C. Em temperaturas de funcionamento mais elevadas ocorre uma diminuição da dureza nos componentes do rolamento.

A diminuição da capacidade de carga dinâmica originada pela redução da dureza é levada em consideração através da seguinte equação de correção:

$$C_T = f_T \cdot C \quad (2-8)$$

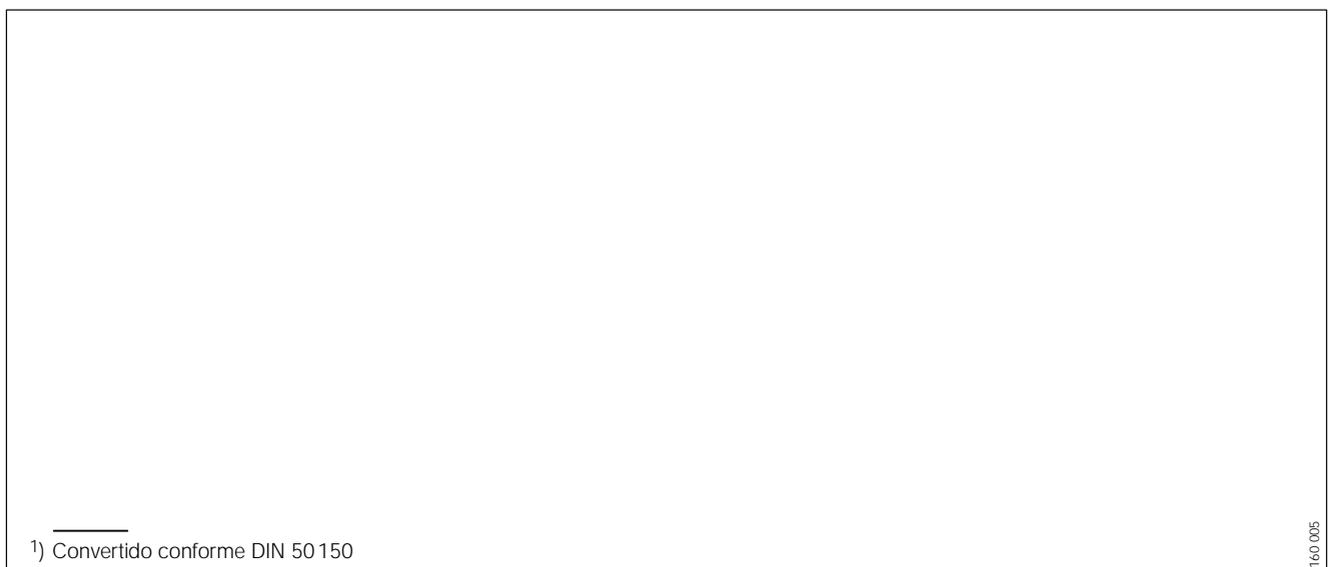
$C_T$  N  
Capacidade de carga dinâmica efetiva em altas temperaturas

$f_T$  -  
Fator de temperatura conforme Fig. 2-5

$C$  N  
Capacidade básica de carga dinâmica.

A redução da dureza exerce pouca influência na capacidade de carga estática podendo, por isso, ser desprezada em temperaturas de até +300 °C.

Para rolamentos termicamente estabilizados, vide parágrafo 9.2.



1) Convertido conforme DIN 50150

Fig. 2-6 · Determinação do fator de dureza  $f_H$  resp.  $f_{H0}$

# 3

## Carga equivalente no rolamento

Nas equações de vida nominal (2-1) e (2-2) no parágrafo 2.1.1, pressupõe-se que a carga no rolamento P e a rotação n são constantes. Porém estas condições não se cumprem em muitos casos. Portanto deve-se determinar valores equivalentes de funcionamento, que tenham o mesmo efeito sobre a vida útil do rolamento como os esforços reais variáveis.

### 3.1 Rotação variável no rolamento

#### 3.1.1 Cálculo geral da rotação equivalente

Se durante um período de tempo T há uma variação na rotação de rolamento n(t) em função do tempo t, a equação de vida (2-2) deve ser calculada com a rotação média, conforme a seguinte equação:

$$n = \frac{1}{T} \int_0^T n(t) \cdot dt \quad (3-1)$$

#### 3.1.2 Rotação variável escalonada no rolamento

Em rotações  $n_i$  que variam escalonadamente em um período de tempo T, a equação (3-1) pode ser substituída por uma fórmula somatória simplificada que compreende os z intervalos  $\Delta t_i$ , onde  $q_i = (\Delta t_i/T) \cdot 100$  representa cada período efetivo em %.

$$n = \frac{q_1 \cdot n_1 + q_2 \cdot n_2 + \dots + q_z \cdot n_z}{100} \quad (3-2)$$

#### 3.1.3 Movimento oscilante no rolamento

Em rolamentos submetidos a movimento oscilante, a rotação equivalente que deve ser utilizada na equação de vida (2-2), se determina mediante a seguinte expressão:

$$n = n_{osc} \cdot \frac{\gamma}{90} \quad (3-3)$$

n min<sup>-1</sup>  
Rotação equivalente

$n_{osc}$  min<sup>-1</sup>  
Frequência do movimento oscilante

$\gamma$  °  
Amplitude do movimento oscilante ( meio ângulo de oscilação).

No caso das amplitudes de oscilação serem menores que o ângulo de divisão dos corpos rolantes, a equação (3-3) não é mais válida e deve-se considerar a possibilidade de formação de estrias. Ver parágrafo 2.1.3.

### 3.2 Carga variável no rolamento e rotação constante

#### 3.2.1 Cálculo geral da carga equivalente no rolamento

Se a carga variável em função do tempo t, segue durante o período T uma relação perfeitamente definida F(t), (Fig. 3-1), ao se aplicar a lei da vida nominal, obtém-se a seguinte equação para a carga equivalente no rolamento.

$$P = \sqrt[p]{\frac{1}{T} \int_0^T F^p(t) \cdot dt} \quad (3-4)$$

Dado que a equação (3-4) se baseia na lei da vida nominal segundo equação (2-1), para rolamentos de agulhas e de rolos cilíndricos se aplica  $p = 10/3$  e para rolamentos de esferas  $p = 3$ .

#### 3.2.2 Carga variável periódica no rolamento

O cálculo da carga equivalente no caso de variações periódicas se efetua também aplicando a equação (3-4). Em muitos casos práticos, o cálculo da carga equivalente pode ser feito de forma mais simples, mediante os fatores de carga da Fig. 3-2 e a seguinte equação:

$$P = V_1 \cdot F_{max.} + V_2 \cdot F_{min.} \quad (3-5)$$

P N  
Carga equivalente no rolamento

$F_{max.}$  N  
Carga máxima

$F_{min.}$  N  
Carga mínima

$V_1, V_2$  -  
Fatores de carga (vide Fig 3-2).

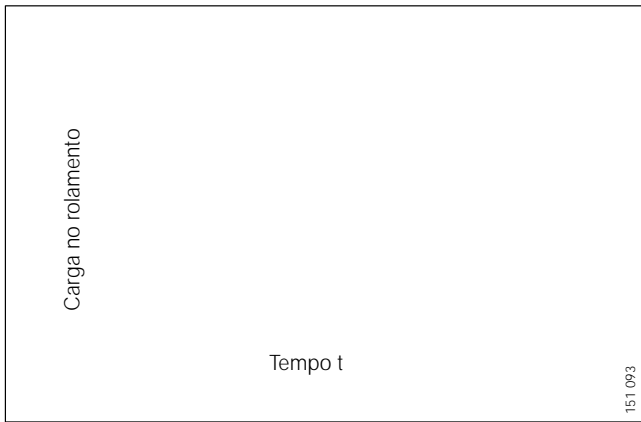


Fig. 3-1 · Carga equivalente no rolamento segundo equação (3-4)

|                 |                 |
|-----------------|-----------------|
| Circulo. elipse | Reta            |
| Parabola        | Seno. coseno    |
| Seno. coseno    | Parabola        |
| Seno. coseno    | Circulo. elipse |

Fig. 3-2 · Fatores de carga para diversos tipos de carga

### 3.2.3 Carga variável escalonada no rolamento

Em cargas  $F$ , que variam escalonadamente em um período de tempo  $T$ , a equação geral (3-4) pode ser substituída por uma mais simples, formada pela soma dos  $z$  intervalos  $\Delta t_i$ , onde  $q_1 = (\Delta t_1/T) \cdot 100$  representa cada período efetivo em %.

$$P = \sqrt{\frac{q_1 \cdot F_1^p + q_2 \cdot F_2^p + \dots + q_z \cdot F_z^p}{100}} \quad (3-6)$$

## 3.3 Rotação e carga variáveis no rolamento

### 3.3.1 Cálculo geral dos esforços equivalentes

Se a rotação e a carga no rolamento variam durante o período  $T$  segundo funções de tempo  $n(t)$  e  $F(t)$  perfeitamente definidas, a rotação equivalente se determina mediante a equação (3-1), enquanto que a carga equivalente se obtém segundo a seguinte equação:

$$P = \sqrt[p]{\frac{\int_0^T n(t) \cdot F^p(t) \cdot dt}{\int_0^T n(t) \cdot dt}} \quad (3-7)$$

### 3.3.2 Rotação e carga variáveis escalonada no rolamento

Para grandezas de esforço  $n_i$  e  $F_i$  variáveis escalonadamente durante um período  $T$ , pode utilizar-se a equação (3-2) para o cálculo da rotação equivalente. Para o cálculo da carga equivalente, se aplica neste caso a fórmula somatória derivada da equação (3-7), sobre os intervalos de tempo  $\Delta t_i$ , onde  $q_i = (\Delta t_i/T) \cdot 100$  representa cada período efetivo em %.

$$P = \sqrt[p]{\frac{q_1 \cdot n_1 \cdot F_1^p + \dots + q_z \cdot n_z \cdot F_z^p}{q_1 \cdot n_1 + \dots + q_z \cdot n_z}} \quad (3-8)$$

# 4

## Atrito e temperatura

O atrito total e conseqüentemente o aumento da temperatura no rolamento é a somatória de várias parcelas:

| Parcela de atrito                                       | Fatores da influência no rolamento  |
|---|---|
| Atrito de rolagem                                       | Grandeza da carga   |
| Atrito por deslizamento dos corpos rolantes e da gaiola | Grandeza e direção da carga, rotação e estado de lubrificação, estado de amaciamento            |
| Atrito do fluido (resistência hidrodinâmica)            | Tipo e rotação; classe, quantidade e viscosidade em funcionamento (temperatura) do lubrificante |
| Atrito da vedação                                       | Tipo e pré-carga da vedação   |

Devido aos diversos fatores influentes, só é possível efetuar um cálculo aproximado dos momentos de atrito, e portanto da potência de atrito, para um estado de funcionamento constante.

Para os rolamentos novos, no período de amaciamento e durante a partida, deve-se contar com um atrito maior.

Quantidades excessivas de lubrificante, lubrificantes de elevada viscosidade e vedações causam um aumento do atrito. Nos rolamentos excessivamente lubrificados, o atrito do fluido aumenta consideravelmente com a rotação, isto é, a potência de atrito é maior em relação a um funcionamento com uma quantidade de lubrificante corretamente dimensionada. A condição de funcionamento ideal obtém-se com a quantidade que gera menor aumento de temperatura no rolamento.

A potência de atrito  $N_R$ , calculada segundo a equação (4-2) ou (4-4), transforma-se em calor nas superfícies de contato do rolamento e no lubrificante. O calor deve ser dissipado do rolamento, sendo difícil determinar com precisão os fluxos de calor.

Os principais fatores de influência são:

- Gradiente de temperatura entre rolamento e alojamento ou eixo. Este gradiente de temperatura origina-se pela configuração e pela possibilidade de refrigeração do alojamento ou do eixo. O calor procedente de fontes vizinhas deverá ser considerado. Sua determinação efetua-se normalmente por comparação com aplicações semelhantes.
- Transmissão de calor pelo lubrificante: No caso de lubrificação à graxa, não há possibilidade de transmissão de calor através do lubrificante. Com lubrificação a óleo, parte do calor pode ser dissipado pelo óleo. Uma eficiente transmissão de calor pode ser atingida mediante lubrificação por circulação de óleo, acrescida de uma refrigeração do mesmo. Desta forma, a temperatura do rolamento pode ser influenciada dentro de certos limites.

### 4.1 Determinação estimada dos valores de atrito

Na maioria das condições de serviço onde ocorrem rotações intermediárias e onde a quantidade de lubrificante está corretamente dimensionada, a soma dos momentos de atrito é definida com precisão suficiente pelo coeficiente de atrito  $f$ .

Valem as seguintes equações:

$$M_R = f \cdot F \cdot \frac{d_M}{2} \quad (4-1)$$

$$N_R = M_R \cdot \frac{n}{9550} \quad (4-2)$$

$M_R$  Nmm  
Momento de atrito do rolamento

$f$  –  
Coeficiente de atrito (vide tabela 4-1)

$F$  N  
Força radial em rolamentos radiais, força axial em rolamentos axiais

$d_M$  mm  
Diâmetro médio do rolamento  $(d + D)/2$

$N_R$  W  
Potência de atrito

$n$  min<sup>-1</sup>  
Rotação.

Valores para o coeficiente de atrito  $f$  para cargas intermediárias ( $8 < S_0 < 15$ ) constam na tabela 4-1.

Possíveis desvios são determinados, basicamente, pela influência do atrito do fluido, em função da viscosidade e da quantidade de lubrificante.

Quando lubrificado à graxa a consistência e a viscosidade do óleo base são determinantes para o trabalho de atrito. O rolamento recém-engraxado pode apresentar momentos de atrito maiores. Havendo boa distribuição de graxa, como também em uma lubrificação a óleo otimizada, serão obtidos valores menores do que os da tabela 4-1.

Tabela 4-1 · Coeficiente de atrito  $f$

| Tipo de rolamento  | $f$            |
|--|----------------|
| Rolamento de agulhas sem gaiola                                  | 0,005          |
| Rolamento de agulhas com gaiola                                  | 0,003          |
| Rolamento de agulhas combinados radial-axial                     | 0,004          |
| Rolamento de rolos cilíndricos sem gaiola                        | 0,002          |
| Rolamento axial de agulhas                                       | 0,0035         |
| Rolamento axial de rolos cilíndricos                             | 0,0035         |
| Rolamento de esferas   | 0,0015 – 0,002 |
| Rolamento de fixação rápida com vedação tipo P ou R              | 0,002          |
| Rolamento de fixação rápida com vedação tipo P3 (vedação tripla) | 0,006          |

#### 4.2 Determinação detalhada dos valores de atrito

Um cálculo do momento de atrito total é possível, se além da rotação e da carga, dispõe-se também do tipo e método de lubrificação e sobretudo da viscosidade do óleo ao entrar no rolamento e da temperatura do mesmo. O momento de atrito total  $M_R$  pode ser calculado partindo-se dos momentos de atrito parciais:

$$M_R = M_0 + M_1 + M_2 \quad (4-3)$$

$$N_R = M_R \cdot \frac{n}{9550} \quad (4-4)$$

$M_0$  Nmm  
Momento de atrito em função da rotação, causado pelo atrito do fluido.

$M_1$  Nmm  
Momento de atrito em função da carga, causado pelo atrito de rolagem.

$M_2$  Nmm  
Momento de atrito em função da carga axial em rolamentos radiais de rolos cilíndricos, causado pelo atrito de deslizamento entre as superfícies internas das bordas dos anéis e as faces dos rolos cilíndricos.

$N_R$  W  
Potência de atrito.

$n$  min<sup>-1</sup>  
Rotação.

As três partes do momento de atrito total  $M_R$  são determinadas pelas seguintes equações:

$$M_0 = f_0 \cdot (v \cdot n)^{2/3} \cdot d_M^3 \cdot 10^{-7} \text{ para } v \cdot n \geq 2000 \quad (4-5)$$

$$M_0 = f_0 \cdot 160 \cdot d_M^3 \cdot 10^{-7} \text{ para } v \cdot n < 2000 \quad (4-6)$$

$$M_1 = f_1 \cdot F \cdot d_M \quad (4-7)$$

$$M_2 = f_2 \cdot F_a \cdot d_M \quad (4-8)$$

$f_0$  -  
Coeficiente de atrito para momento de atrito  $M_0$ , em função da rotação, segundo tabela (4-2).

$f_1$  -  
Coeficiente de atrito para momento de atrito  $M_1$ , em função da carga, segundo tabela (4-2).

$f_2$  -  
Coeficiente de atrito para rolamento de rolos cilíndricos, com carga axial. É determinado mediante o fator A, segundo equação (4-9), da figura 4-2.

$F$  N  
Carga radial para rolamentos radiais ou carga axial para rolamentos axiais.

$F_a$  N  
Carga axial para rolamentos radiais de rolos cilíndricos, (vide também parágrafo 2.1.4).

$v$  mm<sup>2</sup> s<sup>-1</sup>  
Viscosidade cinemática do lubrificante ao entrar no rolamento. Para lubrificação com graxa é determinante a viscosidade do óleo base na temperatura de funcionamento do rolamento.

## 4 Atrito e temperatura

Os valores numéricos da tabela 4-2 podem variar consideravelmente.

Os valores para lubrificação à graxa valem para rolamentos após o período de amaciamento.

Para rolamentos recém-lubrificadas, recomenda-se multiplicar  $f_0$  por 2 a 5.

Na lubrificação por névoa de óleo supõe-se uma quantidade suficiente de lubrificante. Na lubrificação por banho de óleo, pressupõe-se que o nível de óleo alcance o centro do corpo rolante mais baixo.

Se o nível de óleo se elevar, o coeficiente de atrito  $f_0$  poderá aumentar até 3 vezes em relação aos valores indicados na fig. 4-1.

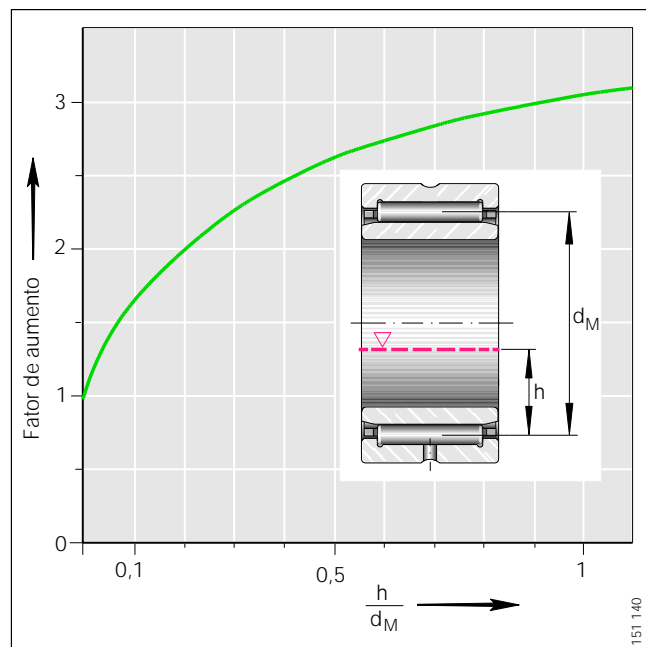


Fig. 4-1 · Aumento do coeficiente de atrito  $f_0$  em função do nível de óleo  $h$

Tabela 4-2 · Coeficiente de atrito  $f_0$  e  $f_1$  para rolamentos de rolos cilíndricos e de agulhas

| Designação                      | Série                     | $f_0$                          |                                | $f_1$  |
|---------------------------------|---------------------------|--------------------------------|--------------------------------|--------|
|                                 |                           | Graxa, névoa de óleo           | Banho ou recirculação de óleo  |        |
| Rolamentos de agulhas           | NKI, NK, K                | $\frac{12 \cdot B^1)}{33 + d}$ | $\frac{18 \cdot B^1)}{33 + d}$ | 0,0005 |
|                                 | HK, BK                    | $\frac{24 \cdot B}{33 + d}$    | $\frac{36 \cdot B}{33 + d}$    |        |
| Rolamentos de rolos cilíndricos | SL18 18                   | 3                              | 5                              | 0,0005 |
|                                 | SL18 29                   | 4                              | 6                              |        |
|                                 | SL18 30                   | 5                              | 7                              |        |
|                                 | SL18 22                   | 5                              | 8                              |        |
|                                 | SL01 48, SL02 48          | 6                              | 9                              |        |
|                                 | SL18 49, SL01 49, SL02 49 | 7                              | 11                             |        |
|                                 | SL19 23, SL04             | 8                              | 12                             |        |
|                                 | SL18 50, SL04 50          | 9                              | 13                             |        |
|                                 | SL119, SL149              | 11                             | 16                             |        |
| SL129, SL159                    | 13                        | 19                             |                                |        |
| Rolamentos axiais               | AXK, AXW                  | 3                              | 4                              | 0,0015 |

<sup>1)</sup> B = Largura do rolamento  
d = Diâmetro do eixo.

O fator A do rolamento, utilizado para a determinação do parâmetro  $F_a/A$  – Fig. 4-2, é calculado mediante o coeficiente  $k_B$  (vide tabela 4-3) e a seguinte equação:

$$A = k_B \cdot 10^{-3} \cdot d_M^{2,1} \quad (4-9)$$

Os valores para o coeficiente de atrito  $f_2$ , determinados segundo a Fig. 4-2, são válidos para lubrificação por circulação de óleo com quantidade suficiente de óleo (vide parágrafo 6.2.2). Estes valores estão submetidos a grandes variações.

Deve-se levar em conta que o coeficiente de atrito  $f_2$  só pode ser reduzido condicionalmente, empregando-se óleos da maior viscosidade.

Uma viscosidade muito elevada causa um aumento da temperatura e como consequência, uma redução na viscosidade de funcionamento.

Não é permitido efetuar extrapolação das linhas características na Fig. 4-2.

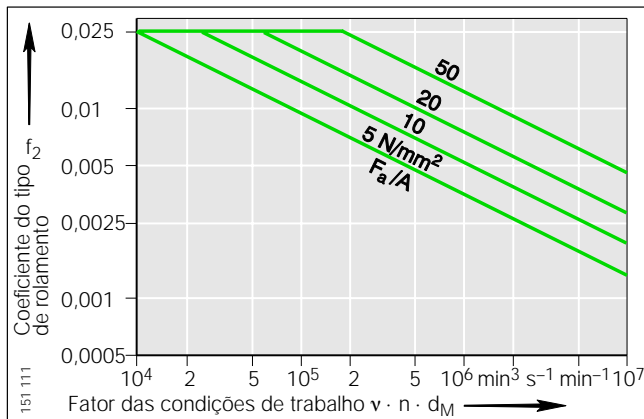


Fig. 4-2 · Coeficiente de atrito  $f_2$

Tabela 4-3 · Coeficiente  $k_B$

| Série <sup>1)</sup>                     | $k_B$ |
|---|-------|
| SL18 18, SL01 48                        | 4,5   |
| SL18 29, SL18 49, SL01 49, SL119, SL129 | 11    |
| SL18 30, SL18 50, SL05..E               | 17    |
| SL18 22                                 | 20    |
| SL19 23                                 | 30    |

1) Com relação às séries aqui não mencionadas e para execuções especiais, pedimos consultar-nos.

# 5

## Limites de rotação

As rotações máximas admissíveis dos rolamentos dependem basicamente da temperatura de funcionamento.

Portanto, a rotação limite depende:

- do tipo de rolamento
- do tamanho do rolamento
- da carga a que está submetido
- das condições de lubrificação
- das condições de resfriamento
- da eliminação de calor via:
  - condutibilidade
  - radiação térmica
  - conversão térmica
  - ou dispositivos especiais para refrigeração.

Os fatores de rotação máxima indicados nas tabelas n óleo e n graxa são valores orientativos. São válidos para o respectivo tipo de lubrificação e uma relação de carga  $C/P \geq 15$ , uma folga de funcionamento correta, uma montagem e condições de funcionamento constantes.

Em condições especiais, quanto à lubrificação, refrigeração e disposição construtiva dos elementos adjacentes, como também empregando-se rolamentos de precisão, podem-se aumentar as rotações máximas admissíveis.

Caso os valores da relação de cargas fiquem  $C/P < 15$  ou nos rolamentos de rolos cilíndricos com esforços axiais ( $F_a/F_r > 0,2$ ), as rotações indicadas nas tabelas devem ser reduzidas.

Para uma função cinemática correta com altas rotações, é necessária uma carga mínima no rolamento, evitando-se assim o escorregamento dos corpos rolantes e a presença de ruídos.

### 5.1 Rolamentos de esferas de fixação rápida

As rotações permissíveis dependem da carga, da folga entre anel interno e eixo, assim como do atrito das vedações nos rolamentos vedados.

A tabela 5-1 indica os valores de orientação dos fatores de rotação  $n \times d$  ( $n$  = rotação e  $d$  =  $\varnothing$  eixo em mm).

Tabela 5-1 · Valores de orientação para os fatores de rotação nos rolamentos de esferas de fixação rápida

| Tipo de rolamento  | Fator de rotação $n \times d$ | Observações  |
|--|-------------------------------|--|
| Rolamentos de esferas de fixação rápida com vedação tipo «R», «P» ou «L» | 40 000<br>80 000<br>130 000   | Tolerância do eixo h9, $C/P \geq 5 < 13$<br>Tolerância do eixo h9, $C/P \geq 13$<br>Tolerância do eixo h6, $C/P \geq 13$ |
| Com vedação tipo «P3»  | 25 000                        | Tolerância do eixo h9, $C/P \geq 13$   |

# 6

## Lubrificação

Uma lubrificação correta em intervalos regulares é premissa importante para uma longa vida útil dos rolamentos.

O lubrificante tem as seguintes funções:

- criar nas superfícies de contato uma película separadora de lubrificante, com suficiente capacidade de carga
- dissipação de calor (lubrificação a óleo)
- vedar o rolamento para o exterior (lubrificação à graxa), evitando assim a entrada de impurezas sólidas e líquidas, assim como
- reduzir o ruído de funcionamento e
- proteger contra a corrosão.

Os rolamentos podem ser lubrificados com graxa ou óleo. São decisivos para determinar a forma de lubrificação e a quantidade de lubrificante:

- o tipo e tamanho do rolamento
- disposição da construção anexa ao rolamento
- a forma de condução do lubrificante e
- as condições de funcionamento.

Normalmente se empregam lubrificantes aditivados que contêm:

- combinações de substâncias ativas para a proteção contra a corrosão e melhora da resistência ao envelhecimento, assim como
- aditivos que, em caso de condições desfavoráveis de lubrificação, aumentam a capacidade de carga e diminuem o desgaste.

Tais combinações de aditivos (Additiv-Packages) não atuam da mesma forma favorável em todas as temperaturas. É possível e desejável a formação de camadas de reação no filme lubrificante.

No campo do atrito misto, reações químicas entre o aditivo e a superfície reduzem possíveis danos superficiais nas pistas.

 É necessário, em todos os casos, comprovar a compatibilidade dos lubrificantes:

- entre si,
- com protetores contra a corrosão e com os produtos conservantes,
- com os plásticos (elastômeros e duroplásticos),
- com os metais leves e ligas não-ferrosas.

Os fabricantes de lubrificantes, se solicitados, fornecem informações sobre estes tópicos.

### Configuração dos sistemas de canais do lubrificante

Os canais e os furos de lubrificação nos alojamentos e eixos devem ser curtos e conduzir diretamente ao furo de lubrificação do rolamento.

No caso de vários rolamentos se encontrarem no mesmo eixo, cada um deles deverá receber seu próprio canal de lubrificante.

### 6.1 Lubrificação à graxa

As graxas lubrificantes K segundo DIN 51 825, partes 1 a 4, são apropriadas para rolamentos.

As graxas com aditivos sólidos geralmente não são necessárias para rolamentos. No entanto, se em condições de funcionamento especiais se empregar graxas com aditivos sólidos, existe o perigo de travamento do rolamento, caso as partículas sejam demasiadamente grandes. Nestes casos solicitamos consultar-nos.

A lubrificação à graxa não contribui para a refrigeração do rolamento. O cálculo da rotação permissível (vide cap. Limite de rotações, pág. 24) esclarece a necessidade de medidas especiais para o resfriamento dos rolamentos. Normalmente a temperatura do rolamento não deve ultrapassar os +70 °C, com o objetivo de manter o mais baixo possível o desgaste da graxa em altas temperaturas (vide fator de temperatura, Fig. 6-2).

#### 6.1.1 Graxas lubrificantes

Para a escolha da graxa apropriada consultar o fabricante. Como possíveis pontos de partida para a escolha, entram em consideração:

- campo de temperatura de trabalho
- tipo de graxa
- consistência
- comportamento em relação à água
- resistência à compressão
- compatibilidade
- capacidade de armazenamento.

As propriedades mais importantes das graxas que a INA emprega e recomenda para a primeira lubrificação estão indicadas na tabela 6-1.

Estas graxas usadas na primeira lubrificação estão sujeitas a alterações em função do desenvolvimento tecnológico.

| Referência INA | Designação segundo DIN 51 825 | Classe da graxa lubrificante              | Campo de temperatura<br>°C | Classe NLGI (consistência) | Viscosidade cinemática a 40 °C (óleo base)<br>mm <sup>2</sup> · s <sup>-1</sup> | Comportamento em relação a água (DIN 51807) |
|----------------|-------------------------------|---|----------------------------|----------------------------|---|---|
| SM01           | KP2K-30                       | Graxa de lítio/<br>à base de óleo mineral | -30 bis +120               | 2                          | 200   | 0-90  |
| SM02           | K3N-30                        | Graxa de lítio/<br>à base de óleo mineral | -30 bis +140               | 3                          | 68  | 1-90  |
| SM11           | K2E-25                        | Graxa de lítio/<br>à base de óleo mineral | -40 <sup>1)</sup> bis +80  | 2                          | 14,5  | 1-90  |
| SM27           | K2P-30                        | Poliuréia/<br>à base de óleo mineral      | -30 bis +150               | 2                          | 115   | 0-90  |

<sup>1)</sup> Determinada segundo IP 186/85

Tabela 6-1 · Graxas lubrificantes INA para a primeira lubrificação

### Campo de temperatura de trabalho

O campo de temperatura de trabalho de um lubrificante deve cobrir com segurança suficiente as possíveis temperaturas no rolamento. As temperaturas possíveis de trabalho não devem ultrapassar os limites inferior e superior.

A INA recomenda escolher uma graxa lubrificante de forma que a temperatura máxima de funcionamento se encontre +20 °C abaixo do limite superior e a mínima +20 °C acima do limite inferior.

Em casos extremos pedimos consultar-nos.

### Tipo de graxa lubrificante

O óleo base e o saponificante são decisivos para as propriedades de uma graxa para rolamentos. Estas duas características determinam também a resistência e a compatibilidade.

### Consistência

As graxas lubrificantes dividem-se em classes de consistência (classes NLGI). Para rolamentos utilizam-se preferencialmente as classes NLGI 1, 2 e 3.

Devem-se utilizar graxas para rolamentos que em elevadas temperaturas não fluidifiquem (NLGI 1) e em baixas temperaturas não se tornem demasiadamente espessas (NLGI 3).

Na escolha da graxa deve-se levar em conta as rotações de funcionamento: para rolamentos com elevadas rotações ou para pequenos momentos de torque, são apropriadas graxas com baixa viscosidade dinâmica; para rolamentos com baixas rotações utilizam-se graxas com elevada viscosidade dinâmica.

### Comportamento em relação a água

Água na graxa reduz consideravelmente o tempo da vida útil do rolamento.

O comportamento das graxas em relação a água é avaliado segundo DIN 51 807 (vide tabela 6-1).

As propriedades de proteção contra a corrosão são ensaiadas segundo a DIN 51 802 (indicações nos folhetos técnicos dos fabricantes de graxas).

### Capacidade de carga por compressão

A condição para a existência de uma película lubrificante resistente é a viscosidade da graxa suficientemente alta na temperatura de funcionamento do rolamento.

Para cargas elevadas a INA recomenda utilizar graxas com características EP («extreme pressure») e elevada viscosidade do óleo base.

As graxas a base de silicone só podem ser empregadas para pequenas cargas ( $S_0 > 20$ ).

### Miscibilidade

A mistura de graxas é possível se forem cumpridas as seguintes condições:

- óleo base igual
- tipo de saponificante igual
- as viscosidades dos óleos bases devem ser semelhantes; (não mais distintas que uma classe ISO-VG)
- consistência (classe NLGI) igual.

Em caso de dúvida recomendamos consultar o fabricante da graxa.

### Capacidade de armazenamento

Os lubrificantes envelhecem devido a influência do meio ambiente. Portanto, é responsabilidade do usuário observar as indicações do fabricante.

As graxas lubrificantes a base de óleos minerais empregadas nos rolamentos INA podem ser armazenadas até 3 anos, segundo mostra a experiência, se forem cumpridas as seguintes condições:

- local fechado (armazém)
- temperatura entre 0 °C e +40 °C
- umidade relativa do ar inferior a 65%
- não devem estar expostas a agentes químicos (vapores, gases, líquidos)
- rolamentos vedados.

Após um longo período de armazenamento, o momento de atrito pode ser temporariamente superior ao dos rolamentos recém-engraxados; além disto o poder lubrificante da graxa pode ter-se reduzido.

| Tipo de rolamento                                   | $K_L$ |
|---|-------|
| Gaiolas de agulhas, rolamentos de agulhas           | 1     |
| Buchas de agulhas/buchas de agulhas com fundo       | 0,8   |
| Rolamentos axiais de esferas                        | 0,2   |
| Rolamentos de apoio e comando com ou sem gaiola     | 0,25  |
| Rolamentos de apoio e comando sem gaiola            | 0,1   |
| Rolamentos de rolos cilíndricos                     | 0,45  |
| Rolamentos axiais de agulhas e de rolos cilíndricos | 0,1   |
| Rolamentos de esferas $C/P > 25$                    | 4     |
| $C/P < 25$  | 2     |
| Rolamentos de esferas de contato angular            | 1,5   |

Tabela 6-2 · Fator de rolamentos  $K_L$

### 6.1.2 Período de relubrificação

O período de relubrificação só pode ser determinado de forma exata mediante ensaios nas condições de funcionamento.

Um valor orientativo para o período de relubrificação  $t_{fR}$  pode ser obtido pela equação (6-1):

$$t_{fR} = t_f \cdot K_T \cdot K_P \cdot K_R \cdot K_U \quad (6-1)$$

$t_{fR}$  h  
Valor orientativo para o período de relubrificação em horas de funcionamento

$t_f$  h  
Período básico de relubrificação em horas de funcionamento

$K_T, K_P, K_R, K_U$  -  
Fatores de correção para temperatura, carga, oscilação e meio ambiente.

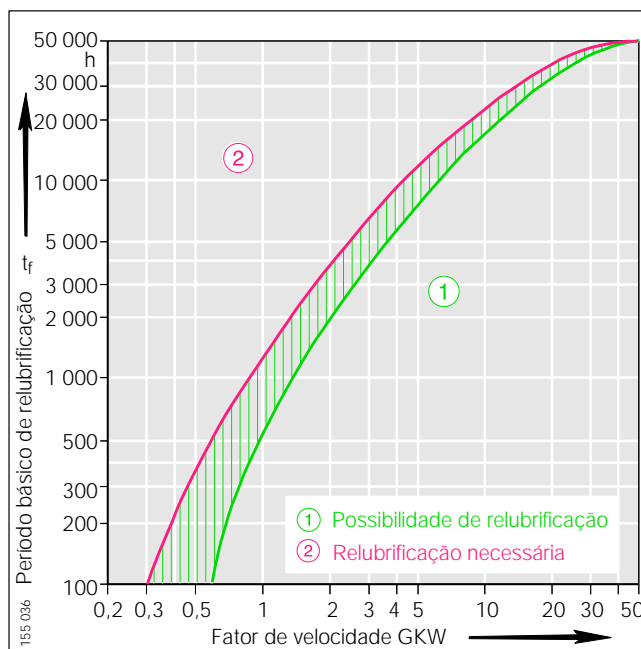


Fig. 6-1 · Determinação do período básico de relubrificação  $t_f$

### Período básico de relubrificação

O período básico de relubrificação  $t_f$  é função do coeficiente de velocidade GWK que é obtido através do diagrama da Fig. 6-1.

No coeficiente de velocidade é considerado o tipo de rolamento (fator  $K_L$ ), assim como a rotação e o diâmetro médio do rolamento (vide equação (6-2) e tabela (6-2).

$$GWK = K_L \cdot \frac{270\,000}{n \cdot d_M} \quad (6-2)$$

O período básico de relubrificação está definido para as seguintes condições de funcionamento:

- temperatura do rolamento até +70 °C
- relação de cargas ( $C_0/P = 20$ )
- rotação e carga constantes
- carga na direção principal (rolamento radial: sentido radial; rolamento axial: sentido axial)
- lubrificação com graxa de lítio
- eixo na horizontal (rolamento radial)
- anel interno giratório
- sem influências prejudiciais do meio ambiente.

Nos rolamentos combinados deve-se calcular separadamente para o rolamento radial e para o axial, valendo o período de relubrificação mais curto. O cálculo não é válido para gaiolas tipo roda livre.

No caso de movimentos laterais alternados, uma parte da graxa lubrificante sai do rolamento e se reparte ao longo do percurso. Devido a este fato, o período de relubrificação se reduz em função do comprimento do percurso.

Quando o anel externo gira, deve-se contar igualmente com uma redução do período de relubrificação em função da rotação. Em rolamentos tipo rolos de apoio e comando, esta redução do período de relubrificação está considerada no fator  $K_L$ .

Em rolos de apoio e comando é considerado que estes foram ajustados corretamente, e portanto que funcionem sem erro angular.

Sob as seguintes condições não é admissível a determinação do período de relubrificação, segundo os métodos descritos:

- quando a graxa lubrificante pode sair do rolamento, seja devido a sua construção (rolamento sem vedação) ou devido a sua posição de montagem (rolamentos radiais com eixo vertical ou muito inclinado, rolamentos axiais com eixo horizontal)
- quando durante o funcionamento é aspirado ar através do rolamento (perigo de oxidação da graxa).

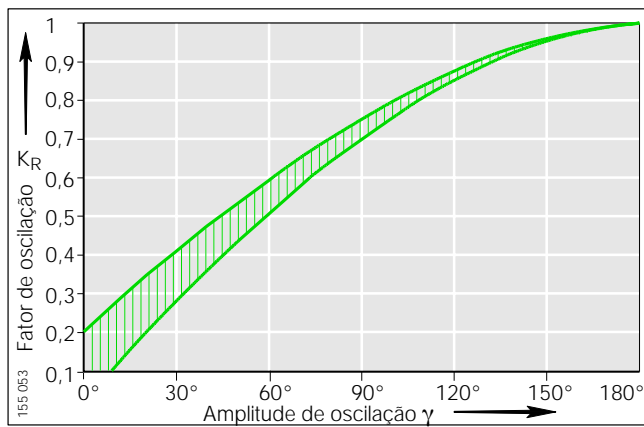


Fig. 6-2 · Fator de oscilação  $K_R$

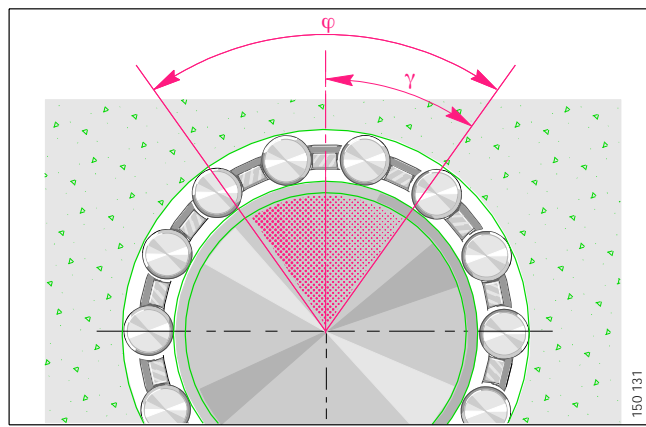


Fig. 6-3 · Ângulo de oscilação  $\phi$  e amplitude de oscilação  $\gamma$

### Fatores de correção

#### Fator de temperatura $K_T$

Quando a temperatura do rolamento ultrapassar  $+70\text{ }^\circ\text{C}$ , deve-se levar em conta o fator de temperatura  $K_T$  da Fig. 6-4.

A redução do período de relubrificação é válida para graxas de lítio a), assim como para graxas tipo gel e complexas b), à base de óleo mineral.

Este diagrama não é válido para outras graxas lubrificantes com diferentes óleos base ou saponificantes.

#### Fator de carga $K_P$

O fator de carga  $K_P$  considera a sollicitação de uma graxa sob cargas maiores  $C_0/P < 20$ . Os fatores de redução da tabela 6-3 são válidos para uma lubrificação com graxa de sabão de lítio de boa qualidade.

Tabela 6-3 · Fator de carga  $K_P$

| Carga $C_0/P$ | $K_P$        |
|---------------|--------------|
| até 5         | 0,15         |
| 5 até 8       | 0,2 até 0,55 |
| 8 até 16      | 0,55 até 0,8 |
| 16 até 20     | 0,8 até 1    |

#### Fator de oscilação $K_R$

Em movimentos oscilantes a sollicitação da graxa é superior do que com rotação constante.

O fator de oscilação  $K_R$  atua a partir de um ângulo menor que  $180^\circ$  (amplitude de oscilação  $< 90^\circ$ , comparar figuras 6-2 e 6-3). A redução do período de reengraxe têm como objetivo diminuir a tribocorrosão.

#### Fator para influência externas $K_U$

O fator para influências externas  $K_U$ , leva em conta interferências do meio ambiente, como umidade, choques, vibrações (causa da tribocorrosão), que representam uma sollicitação adicional para a graxa lubrificante. O fator de correção  $K_U$  leva em consideração estas influências (tabela 6-4). Influências extremas do meio ambiente não são levadas em conta pelo fator ambiental  $K_U$ .

Tabela 6-4 · Fator ambiental  $K_U$

| Influências do meio ambiente | $K_U$ |
|------------------------------|-------|
| pequena                      | 1     |
| média                        | 0,8   |
| forte                        | 0,5   |

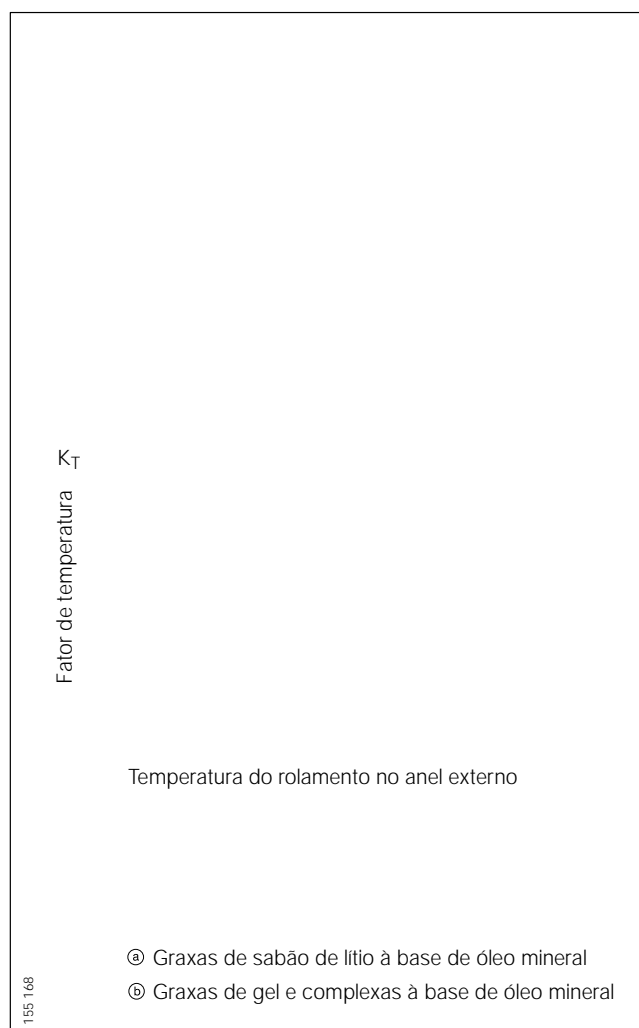


Fig. 6-4 · Fator de temperatura  $K_T$

### 6.1.3 Vida útil da graxa lubrificante

Em casos em que não é possível a relubrificação, a vida útil da graxa lubrificante têm importância.

A experiência mostra que o valor orientativo para a vida útil da graxa lubrificante  $t_{rG}$ , na maioria das aplicações é o dobro (fator 2) do valor orientativo do período de relubrificação  $t_{rR}$ .

Por motivos de segurança de serviço, a vida útil da graxa lubrificante não deve ultrapassar 3 anos.

Presumindo-se que o rolamento ao final do período de vida útil da graxa ainda esteja em condições de funcionamento, ele pode ser limpo e relubricado com a mesma quantidade de graxa inicial; se para isto o rolamento precisa ser desmontado, vide capítulo Montagem e desmontagem, pág. 53.

### 6.1.4 Manutenção

A relubrificação deveria efetuar-se com os rolamentos à temperatura de trabalho e em funcionamento, se possível antes da parada da máquina. As quantidades de graxas necessárias se estabelecem em função das condições de funcionamento, podendo ser de 20% a 80% da quantidade empregada na lubrificação original. Em caso de dúvida, por exemplo, se os condutores de graxas são extensos, deve-se engraxar até que surja através do lábio da vedação um colar de graxa nova. Deve-se garantir a saída sem obstruções da graxa usada.

## 6.2 Lubrificação com óleo

As vantagens da lubrificação com óleo residem na boa distribuição do lubrificante e consequente limpeza das superfícies de contato. Ela é usada particularmente nos casos onde peças contíguas dentro da máquina são providas de óleo ou onde deve-se dissipar calor do rolamento.

Para a lubrificação de rolamentos são adequados óleos lubrificantes com aditivos, à base de óleos minerais ou sintéticos. Óleos minerais aditivados podem ser utilizados para temperaturas de até cerca de, +130 °C e óleos sintéticos até cerca de +200 °C.

### 6.2.1 Óleos lubrificantes

#### Determinação da viscosidade

Uma película lubrificante com capacidade de carga será formada na zona das superfícies de contato entre os corpos rolantes e as pistas, se o óleo lubrificante à temperatura de trabalho apresentar no mínimo a viscosidade necessária  $v_1$  e alcançar a rotação correspondente.

Para os óleos minerais, os valores orientativos para  $v_1$  dependem do diâmetro médio do rolamento  $d_M$ , da rotação  $n$  e levam em conta as condições de lubrificação no rolamento:

- as conclusões da teoria EHD, assim como
- a experiência prática.

Procedimento a seguir:

- determinar  $v_1$  pela Fig. 6-5
- relacionar a viscosidade requerida  $v_1$  à uma das viscosidades nominais ISO-VG, entre 10 e 680 (viscosidade média segundo DIN 51 519)
- aproximar os valores intermediários até o valor ISO-VG mais próximo, superior ou inferior (em consequência do escalonamento dos valores).

Este procedimento não é válido para os óleos lubrificantes sintéticos, já que entre outros seu comportamento V/P e V/T é diferente.

Uma propriedade importante dos óleos lubrificantes é a dependência da viscosidade em função da temperatura: a viscosidade diminui com o aumento da temperatura.

Na escolha da viscosidade também deve-se levar em consideração a temperatura mínima de funcionamento, visto que com o aumento da viscosidade diminui o poder de fluidez dos óleos lubrificantes, aumentando consequentemente as perdas de potência.

## Compatibilidade, miscibilidade

Antes de empregar os óleos lubrificantes, deve-se ensaiar seu comportamento frente aos plásticos, aos elastômeros, às ligas não ferrosas e aos metais leves, sob solicitações dinâmicas à temperatura de funcionamento, sempre que não se dispõe de experiências ou indicações do fabricante.

Em geral, os lubrificantes à base de óleos minerais e de mesma classificação (por exemplo HLP), são compatíveis. No entanto suas viscosidades deverão diferenciar-se no máximo em uma classe (ISO-VG).

Os óleos sintéticos, no entanto, devem ser ensaiados antes de sua utilização, quanto à miscibilidade e compatibilidade. Recomendamos consultar o fabricante do óleo.

## Capacidade de carga por compressão

Por motivos de segurança de funcionamento, a INA recomenda usar óleos lubrificantes com aditivos EP (símbolo P, segundo DIN 51 502).

Estes óleos devem ser empregados nos seguintes casos:

- no caso da viscosidade nominal  $\nu_1$  ser inferior à da prescrita segundo Fig. 6-5
- para rolamentos radiais de rolos cilíndricos sob cargas axiais
- rolamentos axiais de agulhas e de rolos cilíndricos.

Os óleos de silicone só podem ser usados para cargas reduzidas ( $S_0 > 20$ ).

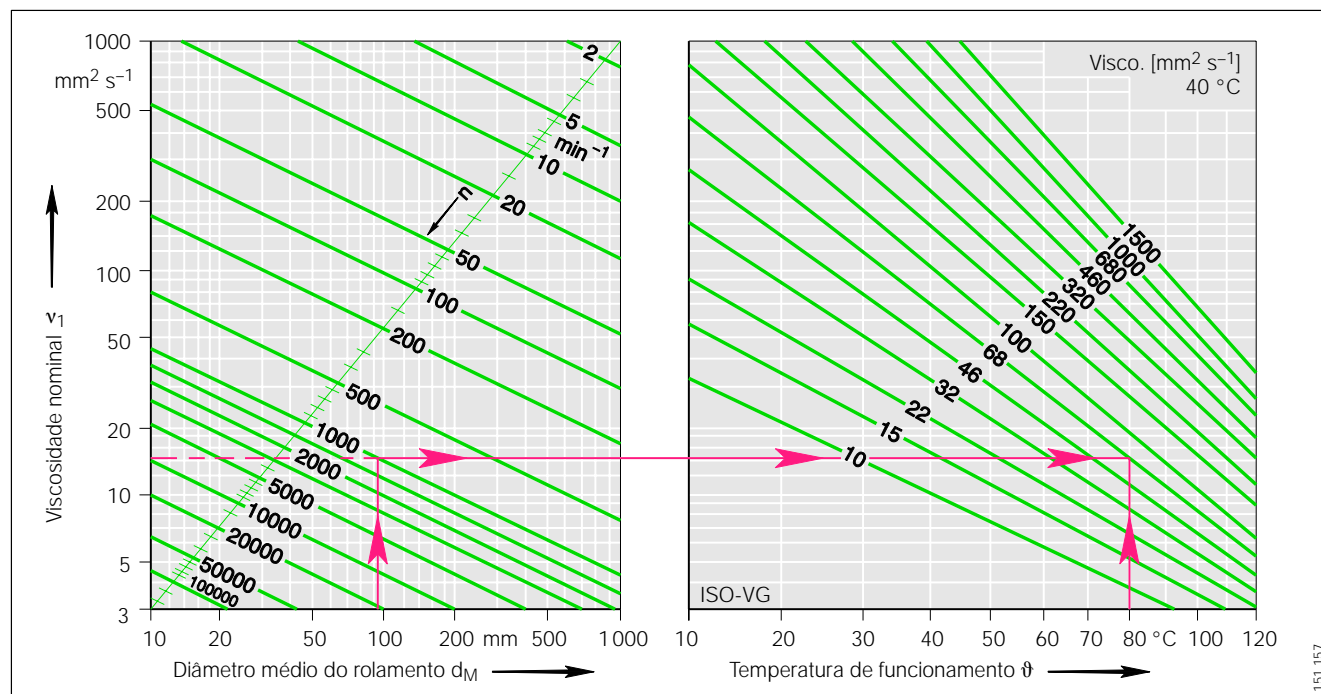


Fig. 6-5 · Determinação da viscosidade necessária  $\nu_1$

### 6.2.2 Sistemas de lubrificação

Na prática os sistemas que se usam com mais frequência, são:

- lubrificação em banho de óleo
- lubrificação por gotejamento de óleo
- lubrificação por névoa de óleo e lubrificação óleo-ar
- lubrificação por circulação de óleo.

A lubrificação em banho de óleo, também chamada lubrificação por imersão, é apropriada para rolamentos radiais. Neste tipo de lubrificação a velocidade máxima admissível deve ser determinada segundo os capítulos Atrito e temperatura, pág. 20 e Limites de rotação, pág. 24.

O nível de óleo deve ser determinado de tal forma que o corpo rolante mais baixo esteja submerso no óleo até a sua metade. Se o nível de óleo estiver acima do recomendado em elevadas velocidades periféricas, pode-se contar com um aumento da temperatura do rolamento (perdas por espirramento ou perdas por bombeamento). Além disso, sob estas condições o óleo pode formar espuma.

A quantidade de óleo contida no alojamento não deve ser demasiadamente reduzida, pois seriam necessárias reposições muito frequentes.

Para a lubrificação em banho de óleo dos rolamentos axiais pode-se conseguir, mediante medidas construtivas, que a gaiola axial movimente o óleo radialmente, provocando assim uma circulação do mesmo. Para isso é necessário que o nível de óleo cubra pelo menos parcialmente o furo da gaiola (diâmetro interno).

A lubrificação por gotejamento de óleo aplica-se para rolamentos radiais de alta rotação, com furo de lubrificação no anel externo. A quantidade de óleo necessária depende do tamanho, do tipo, da rotação e da carga no rolamento variando de 3 a 50 gotas/min. por carreira de corpos rolantes (1 gota pesa cerca de 0,025 g).

Deve-se prever o escoamento do óleo excedente no alojamento do rolamento.

A lubrificação por névoa de óleo e lubrificação óleo-ar é especialmente apropriada para rolamentos de alta rotação e sob baixa carga. Os dados necessários para o projeto da instalação devem ser consultados nas empresas fabricantes destes sistemas.

Ambos os métodos de lubrificação conduzem o óleo até o rolamento mediante ar comprimido seco e limpo. O efeito refrigerante do ar comprimido é pequeno. A sobrepressão protege o rolamento contra a entrada de sujeira.

Antes de prever a lubrificação de rolamentos axiais por névoa de óleo ou óleo-ar, é indispensável consultar previamente a INA.

A lubrificação por circulação de óleo é vantajosa para a dissipação do calor em rolamentos de temperatura elevada e quando há probabilidade de entrada de contaminações, pois permite filtrar e esfriar o óleo. Quanto mais limpo está o óleo, maior será a vida nominal do rolamento (recomendação: filtro  $\leq 25 \mu\text{m}$ ).

Para assegurar o abastecimento de óleo junto ao rolamento, a INA recomenda:

- os furos de lubrificação do alojamento ou do eixo devem estar alinhados com o furo do rolamento
- se isto não é possível, deve-se prever ranhuras circulares, bolsas ou qualquer outro sistema com seção suficientemente grande.

O óleo lubrificante deve poder sair do rolamento sem pressão, para evitar que o seu represamento provoque um aquecimento adicional. Por isso, as seções dos furos de lubrificação de saída do óleo devem ser significativamente maiores que os de entrada.

Na Fig. 6-6 pode-se obter valores orientativos para a secção de saída em função da quantidade de óleo. Levando em conta a viscosidade, calcula-se a seção de saída como segue:

$$A_{\text{rab}} = K_{\text{ab}} \cdot A_{\text{ab}}$$

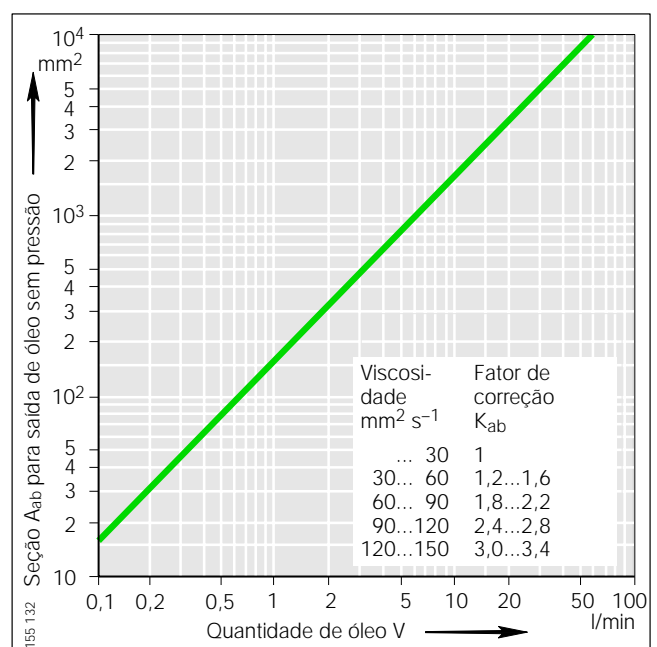


Fig. 6-6 · Valores orientativos para as secções de saída

Nos rolamentos axiais, o fluxo de óleo deverá ser dirigido sempre de dentro para fora. A quantidade de óleo necessária para a dissipação do calor depende das condições de refrigeração.

Se a totalidade do calor de atrito resultante no rolamento deve ser dissipada através do óleo lubrificante, pode-se calcular a quantidade de óleo necessária para a refrigeração, partindo-se do gradiente térmico da seguinte forma:

$$V_L = \frac{0,035 \cdot N_R}{\Delta\theta_s} \quad (6-3)$$

V l/min

Quantidade de óleo necessária para refrigeração

$N_R$  W

Potência de atrito (ver capítulo Atrito e temperatura, pág. 20)

$\Delta\theta_s$  K

Diferença das temperaturas do óleo de saída e de entrada.

Valores orientativos para  $\Delta\theta_s$  em:

- Rolamentos radiais: 15 K a 30 K
- Rolamentos axiais: 5 K a 15 K.

Uma parte do calor de atrito é eliminada normalmente através das contra-peças. Neste caso a quantidade de óleo refrigerante necessária será menor. Na Fig. 6-7 pode-se obter valores orientativos da quantidade de óleo necessária para lubrificação e refrigeração. São válidos para uma diferença de temperatura de  $\Delta\theta_s = 10$  K para os 3 casos seguintes:

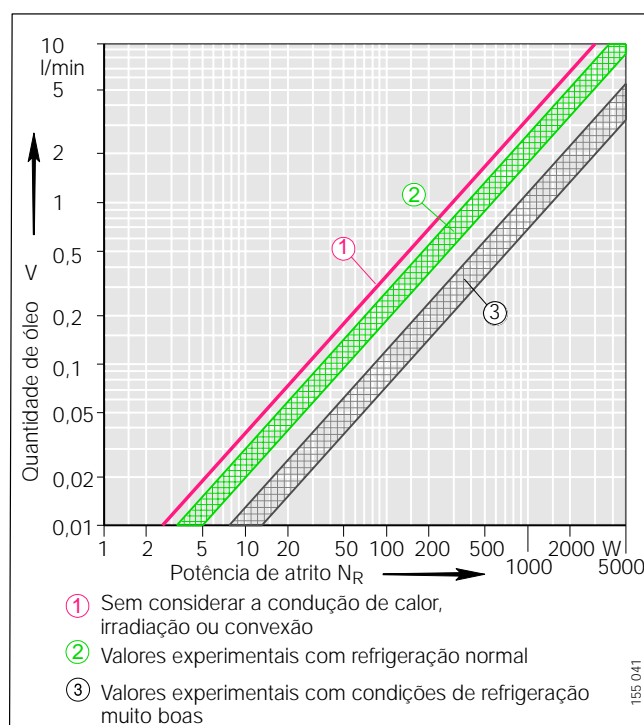


Fig. 6-7 · Valores orientativos para a quantidade de óleo necessária para lubrificação e refrigeração

### 6.2.3 Troca de óleo

Durante o amaciamento é comum o óleo sujar demasiadamente. Nestes casos o óleo deve ser trocado após o amaciamento.

Se a temperatura do óleo permanecer abaixo dos +50 °C e a contaminação por sujeira for pequena, em geral uma troca de óleo por ano é suficiente.

Em condições menos adequadas é necessário trocar o óleo com maior frequência, isto vale por exemplo para:

- temperaturas elevadas
- quantidades de óleo reduzidas
- elevadas velocidades de circulação de óleo.

Em todo caso, a INA recomenda entrar em contato com o fabricante de óleo, sobre os períodos de troca de óleo.

# 7

## Tolerâncias de medida, forma e posição

As tolerâncias dos rolamentos contidos neste catálogo, com exceção dos rolamentos especiais, identificados com o prefixo F-..., estão em conformidade com a norma DIN 620, parte 2 e 3.

Em casos normais, a precisão dos rolamentos INA corresponde à classe de tolerância PN (antigo PO). Para rolamentos com maior precisão, as tolerâncias são reduzidas para os valores das classes P6 e P5 (para rolamentos axiais de rolos cilíndricos também P4).

Visto que, entre os usuários de rolamentos, são utilizados os símbolos para tolerâncias de forma e posição conforme a DIN ISO 1101, na tabela ao lado estão listadas as equivalências com os símbolos conforme a norma de rolamentos DIN ISO 1132/DIN 620. Para o controle dos rolamentos INA valem os métodos de medição conforme norma DIN 620, parte 1.

### 7.1 Distâncias de canto

As distâncias de canto indicadas na tabela 7-1, correspondem a norma DIN 620, parte 6 e ISO 582-1979 revisada, não indicando mais a medida nominal, e sim a medida mínima da distância de canto.

A nova norma elaborada internacionalmente, estabelece distâncias mínimas (para cantos) do que as até então estabelecidas, segundo DIN 620.

Para o usuário não haverá nenhum inconveniente com estas mudanças, contanto que se tenha previsto as contra-peças conforme DIN 5 418. Com a nova norma foi aumentada, em alguns casos, a superfície de apoio axial (condicionada pela redução dos valores radiais), e favorece o ajuste alojamento/diâmetro externo (devido ao aumento dos valores axiais), facilita-se assim o processo de montagem. Nos rolamentos axiais de esferas, as tolerâncias das distâncias de canto em direção axial são iguais às das em direção radial.

| Distâncias segundo norma antiga<br>(DIN 620, parte 2,<br>Janeiro 1965, ISO 582-1972)                     | Distâncias segundo nova norma<br>(DIN 620, parte 6,<br>Junho 1982, ISO 582-1979) |
|--|--|
| Axial    Radial  |  |
| Raio de círculo<br>(Raio com a distância nominal)<br>além do qual não deve sobressair<br>nenhum material |  |

Fig. 7-1 · Distâncias de canto

### Letras e símbolos de tolerâncias

|                | DIN ISO 1132/DIN 620   | DIN ISO 1101                  |
|----------------|--|-------------------------------|
| d              | Diâmetro interno nominal   | –                             |
| $\Delta_{dmp}$ | Desvio do diâmetro interno médio em um plano   | –                             |
| $V_{dp}$       | Varição do diâmetro interno em um plano radial   | Circularidade $\text{O}^{1)}$ |
| $V_{dmp}$      | Varição do diâmetro interno médio do furo  | Paralelismo //                |
| D              | Diâmetro externo nominal   | –                             |
| $\Delta_{Dmp}$ | Desvio do diâmetro externo médio em um plano   | –                             |
| $V_{Dp}$       | Varição do diâmetro externo em um plano radial   | Circularidade $\text{O}^{1)}$ |
| $V_{Dmp}$      | Varição do diâmetro externo médio  | Paralelismo //                |
| $\Delta_{Bs}$  | Desvio de uma largura única do anel interno  | –                             |
| $V_{Bs}$       | Varição da largura do anel interno   | Paralelismo //                |
| $\Delta_{Cs}$  | Desvio de uma largura única do anel externo  | –                             |
| $V_{Cs}$       | Varição da largura do anel externo   | Paralelismo //                |
| $K_{ia}$       | Salto radial do anel interno, montado no rolamento                                       | Salto radial ↗                |
| $K_{ea}$       | Salto radial do anel externo, montado no rolamento                                       | Salto radial ↗                |
| $S_d$          | Salto radial da face frontal, com relação ao furo  | Salto radial ↗                |
| $S_D$          | Varição da inclinação da superfície cilíndrica, com relação a face lateral de referência | Salto radial ↗                |
| T              | Altura nominal de um rolamento axial de atuação unilateral                               | –                             |
| $S_l$          | Varição da espessura do disco de eixo  | –                             |
| $S_e$          | Varição da espessura do disco de alojamento  | –                             |

1) A circularidade conforme DIN ISO 1101 corresponde à metade do valor da tolerância da variação dos diâmetros únicos  $V_{dp}$  ou  $V_{Dp}$  conforme DIN 620.

## Tolerâncias de medida, forma e posição

Tabela 7-1 · Tolerâncias das distâncias de canto

| Distância nominal do canto<br>$r_{\min.}$ | Diâmetro interno do rolamento<br>d |     | Tolerâncias das distâncias |      |       |      |
|---|------------------------------------|-----|----------------------------|------|-------|------|
|   | mais de                            | até | Radial                     |      | Axial |      |
|   |                                    |     | mín.                       | máx. | mín.  | máx. |
| 0,2                                       | -                                  | -   | 0,2                        | 0,5  | 0,2   | 0,8  |
| 0,3                                       | -                                  | 40  | 0,3                        | 0,6  | 0,3   | 1    |
|   | 40                                 | -   | 0,3                        | 0,8  | 0,3   | 1    |
| 0,6                                       | -                                  | 40  | 0,6                        | 1    | 0,6   | 2    |
|   | 40                                 | -   | 0,6                        | 1,3  | 0,6   | 2    |
| 1   | -                                  | 50  | 1                          | 1,5  | 1     | 3    |
|   | 50                                 | -   | 1                          | 1,9  | 1     | 3    |
| 1,1                                       | -                                  | 120 | 1,1                        | 2    | 1,1   | 3,5  |
|   | 120                                | -   | 1,1                        | 2,5  | 1,1   | 4    |
| 1,5                                       | -                                  | 120 | 1,5                        | 2,3  | 1,5   | 4    |
|   | 120                                | -   | 1,5                        | 3    | 1,5   | 5    |
| 2   | -                                  | 80  | 2                          | 3    | 2     | 4,5  |
|   | 80                                 | 220 | 2                          | 3,5  | 2     | 5    |
| 2,1                                       | -                                  | 280 | 2,1                        | 4    | 2,1   | 6,5  |
| 2,5                                       | -                                  | 100 | 2,5                        | 3,8  | 2,5   | 6    |
|   | 100                                | 280 | 2,5                        | 4,5  | 2,5   | 6    |
| 3   | -                                  | 280 | 3                          | 5    | 3     | 8    |

## 7.2 Tolerâncias normais para rolamentos de esferas de fixação rápida

Tabela 7-2 · Tolerâncias normais para rolamentos de esferas de fixação rápida

| Anel interno           |     |   |      | Anel externo           |     |   |      |
|------------------------|-----|---|------|------------------------|-----|---|------|
| Medida nominal d<br>mm |     | Diâmetro interno <sup>1)</sup><br>$\mu\text{m}$ |      | Medida nominal D<br>mm |     | Diâmetro externo <sup>2)</sup><br>$\mu\text{m}$ |      |
| mais de                | até | mín.  | máx. | mais de                | até | mín.  | máx. |
| 12                     | 18  | 0   | +18  | 30                     | 50  | 0   | -11  |
| 18                     | 24  | 0   | +18  | 50                     | 80  | 0   | -13  |
| 24                     | 30  | 0   | +18  | 80                     | 120 | 0   | -15  |
| 30                     | 40  | 0   | +18  | 120                    | 150 | 0   | -18  |
| 40                     | 50  | 0   | +18  | 150                    | 180 | 0   | -25  |
| 50                     | 60  | 0   | +18  | 180                    | 250 | 0   | -30  |
| 60                     | 90  | 0   | +25  | -                      | -   | -   | -    |
| 90                     | 120 | 0   | +30  | -                      | -   | -   | -    |

<sup>1)</sup> Corresponde à média aritmética do diâmetro menor e maior conferido com um medidor de dois pontos.

<sup>2)</sup> Em rolamentos vedados o valor mín. e máx. do diâmetro externo pode apresentar desvio em torno de 0,03 mm.

### 7.3 Tolerâncias para rolamentos radiais

#### 7.3.1 Classe de tolerância PN (tolerância normal)

Tabela 7-3 · Anel interno  
(tolerâncias em  $\mu\text{m}$ )

| d                 |       | $\Delta_{\text{dmp}}$ |      | $V_{\text{dp}}$<br>Série de diâmetros |    |      | $V_{\text{dm}}$ | $K_{\text{ia}}$ | $\Delta_{\text{Bs}}$ |        | $V_{\text{Bs}}$ |
|-------------------|-------|-----------------------|------|---------------------------------------|----|------|-----------------|-----------------|----------------------|--------|-----------------|
| mm                |       | Limites               |      | 8, 9                                  | 0  | 2, 3 | máx.            | máx.            | Limites              |        | máx.            |
| mais de           | até   | sup.                  | inf. | máx.                                  |    |      |                 |                 | sup.                 | inf.   |                 |
| 0,6 <sup>1)</sup> | 2,5   | 0                     | -8   | 10                                    | 8  | 6    | 6               | 10              | 0                    | -40    | 12              |
| 2,5               | 10    | 0                     | -8   | 10                                    | 8  | 6    | 6               | 10              | 0                    | -120   | 15              |
| 10                | 18    | 0                     | -8   | 10                                    | 8  | 6    | 6               | 10              | 0                    | -120   | 20              |
| 18                | 30    | 0                     | -10  | 13                                    | 10 | 8    | 8               | 13              | 0                    | -120   | 20              |
| 30                | 50    | 0                     | -12  | 15                                    | 12 | 9    | 9               | 15              | 0                    | -120   | 20              |
| 50                | 80    | 0                     | -15  | 19                                    | 19 | 11   | 11              | 20              | 0                    | -150   | 25              |
| 80                | 120   | 0                     | -20  | 25                                    | 25 | 15   | 15              | 25              | 0                    | -200   | 25              |
| 120               | 180   | 0                     | -25  | 31                                    | 31 | 19   | 19              | 30              | 0                    | -250   | 30              |
| 180               | 250   | 0                     | -30  | 38                                    | 38 | 23   | 23              | 40              | 0                    | -300   | 30              |
| 250               | 315   | 0                     | -35  | 44                                    | 44 | 26   | 26              | 50              | 0                    | -350   | 35              |
| 315               | 400   | 0                     | -40  | 50                                    | 50 | 30   | 30              | 60              | 0                    | -400   | 40              |
| 400               | 500   | 0                     | -45  | 56                                    | 56 | 34   | 34              | 65              | 0                    | -450   | 50              |
| 500               | 630   | 0                     | -50  | 63                                    | 63 | 38   | 38              | 70              | 0                    | -500   | 60              |
| 630               | 800   | 0                     | -75  | -                                     | -  | -    | -               | 80              | 0                    | -750   | 70              |
| 800               | 1 000 | 0                     | -100 | -                                     | -  | -    | -               | 90              | 0                    | -1 000 | 80              |
| 1 000             | 1 250 | 0                     | -125 | -                                     | -  | -    | -               | 100             | 0                    | -1 250 | 100             |
| 1 250             | 1 600 | 0                     | -160 | -                                     | -  | -    | -               | 120             | 0                    | -1 600 | 120             |
| 1 600             | 2 000 | 0                     | -200 | -                                     | -  | -    | -               | 140             | 0                    | -2 000 | 140             |

1) Este diâmetro está incluído.

Tabela 7-4 · Anel externo  
(tolerâncias em  $\mu\text{m}$ )

| D                 |       | $\Delta_{\text{Dmp}}$ |      | $V_{\text{Dp}}$<br>Série de diâmetros |     |      | $V_{\text{Dmp}}^{2)}$ | $K_{\text{ea}}$ | $\Delta_{\text{Cs}}$   | $V_{\text{Cs}}$ |
|-------------------|-------|-----------------------|------|---------------------------------------|-----|------|-----------------------|-----------------|--|-----------------|
| mm                |       | Limites               |      | 8, 9                                  | 0   | 2, 3 | máx.                  | máx.            |  |                 |
| mais de           | até   | sup.                  | inf. | máx.                                  |     |      |                       |                 |  |                 |
| 2,5 <sup>1)</sup> | 6     | 0                     | -8   | 10                                    | 8   | 6    | 6                     | 15              | Idênticos a $\Delta_{\text{Bs}}$ e $V_{\text{Bs}}$ para o anel interno do mesmo (vide tabela 7-3). |                 |
| 6                 | 18    | 0                     | -8   | 10                                    | 8   | 6    | 6                     | 15              |  |                 |
| 18                | 30    | 0                     | -9   | 12                                    | 9   | 7    | 7                     | 15              |  |                 |
| 30                | 50    | 0                     | -11  | 14                                    | 11  | 8    | 8                     | 20              |  |                 |
| 50                | 80    | 0                     | -13  | 16                                    | 13  | 10   | 10                    | 25              |  |                 |
| 80                | 120   | 0                     | -15  | 19                                    | 19  | 11   | 11                    | 35              |  |                 |
| 120               | 150   | 0                     | -18  | 23                                    | 23  | 14   | 14                    | 40              |  |                 |
| 150               | 180   | 0                     | -25  | 31                                    | 31  | 19   | 19                    | 45              |  |                 |
| 180               | 250   | 0                     | -30  | 38                                    | 38  | 23   | 23                    | 50              |  |                 |
| 250               | 315   | 0                     | -35  | 44                                    | 44  | 26   | 26                    | 60              |  |                 |
| 315               | 400   | 0                     | -40  | 50                                    | 50  | 30   | 30                    | 70              |  |                 |
| 400               | 500   | 0                     | -45  | 56                                    | 56  | 34   | 34                    | 80              |  |                 |
| 500               | 630   | 0                     | -50  | 63                                    | 63  | 38   | 38                    | 100             |  |                 |
| 630               | 800   | 0                     | -75  | 94                                    | 94  | 55   | 55                    | 120             |  |                 |
| 800               | 1 000 | 0                     | -100 | 125                                   | 125 | 75   | 75                    | 140             |  |                 |
| 1 000             | 1 250 | 0                     | -125 | -                                     | -   | -    | -                     | 160             |  |                 |
| 1 250             | 1 600 | 0                     | -160 | -                                     | -   | -    | -                     | 190             |  |                 |
| 1 600             | 2 000 | 0                     | -200 | -                                     | -   | -    | -                     | 220             |  |                 |
| 2 000             | 2 500 | 0                     | -250 | -                                     | -   | -    | -                     | 250             |  |                 |

1) Este diâmetro está incluído.

2) Válido antes da montagem do rolamento e após retirados os anéis elásticos internos e/ou externos.

## Tolerâncias de medida, forma e posição

### 7.3.2 Classe de tolerância P6

Tabela 7-5 · Anel interno (tolerâncias em  $\mu\text{m}$ )

| d                 |     | $\Delta_{\text{dmp}}$ |      | $V_{\text{dp}}$<br>Série de diâmetros |    |      | $V_{\text{dmp}}$ | $K_{\text{ia}}$ | $\Delta_{\text{Bs}}$ |      | $V_{\text{Bs}}$ |
|-------------------|-----|-----------------------|------|---------------------------------------|----|------|------------------|-----------------|----------------------|------|-----------------|
| mm                |     | Limites               |      | 8, 9                                  | 0  | 2, 3 |                  |                 | Limites              |      |                 |
| mais de           | até | sup.                  | inf. | máx.                                  |    |      | máx.             | máx.            | sup.                 | inf. | máx.            |
| 0,6 <sup>1)</sup> | 2,5 | 0                     | -7   | 9                                     | 7  | 5    | 5                | 5               | 0                    | -40  | 12              |
| 2,5               | 10  | 0                     | -7   | 9                                     | 7  | 5    | 5                | 6               | 0                    | -120 | 15              |
| 10                | 18  | 0                     | -7   | 9                                     | 7  | 5    | 5                | 7               | 0                    | -120 | 20              |
| 18                | 30  | 0                     | -8   | 10                                    | 8  | 6    | 6                | 8               | 0                    | -120 | 20              |
| 30                | 50  | 0                     | -10  | 13                                    | 10 | 8    | 8                | 10              | 0                    | -120 | 20              |
| 50                | 80  | 0                     | -12  | 15                                    | 15 | 9    | 9                | 10              | 0                    | -150 | 25              |
| 80                | 120 | 0                     | -15  | 19                                    | 19 | 11   | 11               | 13              | 0                    | -200 | 25              |
| 120               | 180 | 0                     | -18  | 23                                    | 23 | 14   | 14               | 18              | 0                    | -250 | 30              |
| 180               | 250 | 0                     | -22  | 28                                    | 28 | 17   | 17               | 20              | 0                    | -300 | 30              |
| 250               | 315 | 0                     | -25  | 31                                    | 31 | 19   | 19               | 25              | 0                    | -350 | 35              |
| 315               | 400 | 0                     | -30  | 38                                    | 38 | 23   | 23               | 30              | 0                    | -400 | 40              |
| 400               | 500 | 0                     | -35  | 44                                    | 44 | 26   | 26               | 35              | 0                    | -450 | 45              |
| 500               | 630 | 0                     | -40  | 50                                    | 50 | 30   | 30               | 40              | 0                    | -500 | 50              |

<sup>1)</sup> Este diâmetro está incluído.

Tabela 7-6 · Anel externo (tolerâncias em  $\mu\text{m}$ )

| D                 |       | $\Delta_{\text{Dmp}}$ |      | $V_{\text{Dp}}$<br>Série de diâmetros |    |      | $V_{\text{Dmp}}^{2)}$ | $K_{\text{ea}}$ | $\Delta_{\text{Cs}}$  | $V_{\text{Cs}}$ |
|-------------------|-------|-----------------------|------|---------------------------------------|----|------|-----------------------|-----------------|---|-----------------|
| mm                |       | Limites               |      | 8, 9                                  | 0  | 2, 3 |                       |                 |   |                 |
| mais de           | até   | sup.                  | inf. | máx.                                  |    |      | máx.                  | máx.            |   |                 |
| 2,5 <sup>1)</sup> | 6     | 0                     | -7   | 9                                     | 7  | 5    | 5                     | 8               | Idênticos a $\Delta_{\text{Bs}}$ e $V_{\text{Bs}}$<br>para o anel interno do mesmo<br>(vide tabela 7-5) |                 |
| 6                 | 18    | 0                     | -7   | 9                                     | 7  | 5    | 5                     | 8               |   |                 |
| 18                | 30    | 0                     | -8   | 10                                    | 8  | 6    | 6                     | 9               |   |                 |
| 30                | 50    | 0                     | -9   | 11                                    | 9  | 7    | 7                     | 10              |   |                 |
| 50                | 80    | 0                     | -11  | 14                                    | 11 | 8    | 8                     | 13              |   |                 |
| 80                | 120   | 0                     | -13  | 16                                    | 16 | 10   | 10                    | 18              |   |                 |
| 120               | 150   | 0                     | -15  | 19                                    | 19 | 11   | 11                    | 20              |   |                 |
| 150               | 180   | 0                     | -18  | 23                                    | 23 | 14   | 14                    | 23              |   |                 |
| 180               | 250   | 0                     | -20  | 25                                    | 25 | 15   | 15                    | 25              |   |                 |
| 250               | 315   | 0                     | -25  | 31                                    | 31 | 19   | 19                    | 30              |   |                 |
| 315               | 400   | 0                     | -28  | 35                                    | 35 | 21   | 21                    | 35              |   |                 |
| 400               | 500   | 0                     | -33  | 41                                    | 41 | 25   | 25                    | 40              |   |                 |
| 500               | 630   | 0                     | -38  | 48                                    | 48 | 29   | 29                    | 50              |   |                 |
| 630               | 800   | 0                     | -45  | 56                                    | 56 | 34   | 34                    | 60              |   |                 |
| 800               | 1 000 | 0                     | -60  | 75                                    | 75 | 45   | 45                    | 75              |   |                 |

<sup>1)</sup> Este diâmetro está incluído.

<sup>2)</sup> Válido antes da montagem do rolamento e após retirados os anéis elásticos internos e/ou externos.

### 7.3.3 Classe de tolerância P5

Tabela 7-7 · Anel interno (tolerâncias em  $\mu\text{m}$ )

| d                 |     | $\Delta_{\text{dmp}}$ |      | $V_{\text{dp}}$<br>Série de diâmetros |         | $V_{\text{dmp}}$ | $K_{\text{ia}}$ | $S_{\text{d}}$ | $\Delta_{\text{Bs}}$ |      | $V_{\text{Bs}}$ |
|-------------------|-----|-----------------------|------|---------------------------------------|---------|------------------|-----------------|----------------|----------------------|------|-----------------|
| mm                |     | Limites               |      | 8, 9                                  | 0, 2, 3 |                  |                 |                | Limites              |      |                 |
| mais de           | até | sup.                  | inf. | máx.                                  |         | máx.             | máx.            | máx.           | sup.                 | inf. | máx.            |
| 0,6 <sup>1)</sup> | 2,5 | 0                     | -5   | 5                                     | 4       | 3                | 4               | 7              | 0                    | -40  | 5               |
| 2,5               | 10  | 0                     | -5   | 5                                     | 4       | 3                | 4               | 7              | 0                    | -40  | 5               |
| 10                | 18  | 0                     | -5   | 5                                     | 4       | 3                | 4               | 7              | 0                    | -80  | 5               |
| 18                | 30  | 0                     | -6   | 6                                     | 5       | 3                | 4               | 8              | 0                    | -120 | 5               |
| 30                | 50  | 0                     | -8   | 8                                     | 6       | 4                | 5               | 8              | 0                    | -120 | 5               |
| 50                | 80  | 0                     | -9   | 9                                     | 7       | 5                | 5               | 8              | 0                    | -150 | 6               |
| 80                | 120 | 0                     | -10  | 10                                    | 8       | 5                | 6               | 9              | 0                    | -200 | 7               |
| 120               | 180 | 0                     | -13  | 13                                    | 10      | 7                | 8               | 10             | 0                    | -250 | 8               |
| 180               | 250 | 0                     | -15  | 15                                    | 12      | 8                | 10              | 11             | 0                    | -300 | 10              |
| 250               | 315 | 0                     | -18  | 18                                    | 14      | 9                | 13              | 13             | 0                    | -350 | 13              |
| 315               | 400 | 0                     | -23  | 23                                    | 18      | 12               | 15              | 15             | 0                    | -400 | 15              |

1) Este diâmetro está incluído.

Tabela 7-8 · Anel externo (tolerâncias em  $\mu\text{m}$ )

| D                 |     | $\Delta_{\text{Dmp}}$ |      | $V_{\text{Dp}}$<br>Série de diâmetros |         | $V_{\text{Dmp}}^{2)}$ | $K_{\text{ea}}$ | $S_{\text{D}}$ | $\Delta_{\text{Cs}}$  | $V_{\text{Cs}}$ |
|-------------------|-----|-----------------------|------|---------------------------------------|---------|-----------------------|-----------------|----------------|---|-----------------|
| mm                |     | Limites               |      | 8, 9                                  | 0, 2, 3 |                       |                 |                |   |                 |
| mais de           | até | sup.                  | inf. | máx.                                  |         | máx.                  | máx.            | máx.           |   |                 |
| 2,5 <sup>1)</sup> | 6   | 0                     | -5   | 5                                     | 4       | 3                     | 5               | 8              | Idênticos a $\Delta_{\text{Bs}}$ e para o anel interno do mesmo rolamento (vide tabela 7-7) | 5               |
| 6                 | 18  | 0                     | -5   | 5                                     | 4       | 3                     | 5               | 8              |   | 5               |
| 18                | 30  | 0                     | -6   | 6                                     | 5       | 3                     | 6               | 8              |   | 5               |
| 30                | 50  | 0                     | -7   | 7                                     | 5       | 4                     | 7               | 8              |   | 5               |
| 50                | 80  | 0                     | -9   | 9                                     | 7       | 5                     | 8               | 8              |   | 6               |
| 80                | 120 | 0                     | -10  | 10                                    | 8       | 5                     | 10              | 9              |   | 8               |
| 120               | 150 | 0                     | -11  | 11                                    | 8       | 6                     | 11              | 10             |   | 8               |
| 150               | 180 | 0                     | -13  | 13                                    | 10      | 7                     | 13              | 10             |   | 8               |
| 180               | 250 | 0                     | -15  | 15                                    | 11      | 8                     | 15              | 11             |   | 10              |
| 250               | 315 | 0                     | -18  | 18                                    | 14      | 9                     | 18              | 13             |   | 11              |
| 315               | 400 | 0                     | -20  | 20                                    | 15      | 10                    | 20              | 13             |   | 13              |
| 400               | 500 | 0                     | -23  | 23                                    | 17      | 12                    | 23              | 15             |   | 15              |
| 500               | 630 | 0                     | -28  | 28                                    | 21      | 14                    | 25              | 18             |   | 18              |
| 630               | 800 | 0                     | -35  | 35                                    | 26      | 18                    | 30              | 20             | 20  |                 |

1) Este diâmetro está incluído.

2) Válido antes da montagem do rolamento e após retirados os anéis elásticos internos e/ou externos.

## Tolerâncias de medida, forma e posição

### 7.4 Tolerâncias para rolamentos axiais

Tabela 7-9 · Tolerâncias do diâmetro interno para discos de eixo (tolerância em  $\mu\text{m}$ )

| d<br>mm |      | Classe de tolerância PN (Tolerância normal),<br>P6 e P5 |      |                  | Classe de tolerância P4   |      |                  |
|---------|------|---|------|------------------|---------------------------|------|------------------|
|         |      | $\Delta_{dmp}$<br>Limites                               |      | $V_{dp}$<br>máx. | $\Delta_{dmp}$<br>Limites |      | $V_{dp}$<br>máx. |
| mais de | até  | sup.  | inf. |                  | sup.                      | inf. |                  |
| -       | 18   | 0   | -8   | 6                | 0                         | -7   | 5                |
| 18      | 30   | 0   | -10  | 8                | 0                         | -8   | 6                |
| 30      | 50   | 0   | -12  | 9                | 0                         | -10  | 8                |
| 50      | 80   | 0   | -15  | 11               | 0                         | -12  | 9                |
| 80      | 120  | 0   | -20  | 15               | 0                         | -15  | 11               |
| 120     | 180  | 0   | -25  | 19               | 0                         | -18  | 14               |
| 180     | 250  | 0   | -30  | 23               | 0                         | -22  | 17               |
| 250     | 315  | 0   | -35  | 26               | 0                         | -25  | 19               |
| 315     | 400  | 0   | -40  | 30               | 0                         | -30  | 23               |
| 400     | 500  | 0   | -45  | 34               | 0                         | -35  | 26               |
| 500     | 630  | 0   | -50  | 38               | 0                         | -40  | 30               |
| 630     | 800  | 0   | -75  | -                | 0                         | -50  | -                |
| 800     | 1000 | 0   | -100 | -                | 0                         | -    | -                |
| 1000    | 1250 | 0   | -125 | -                | 0                         | -    | -                |

Tabela 7-10 · Tolerâncias do diâmetro externo para discos de alojamento (tolerâncias em  $\mu\text{m}$ )

| D<br>mm |       | Classe de tolerância PN (Tolerância normal),<br>P6 e P5 |      |                  | Classe de tolerância P4   |      |                  |
|---------|-------|---|------|------------------|---------------------------|------|------------------|
|         |       | $\Delta_{Dmp}$<br>Limites                               |      | $V_{Dp}$<br>máx. | $\Delta_{Dmp}$<br>Limites |      | $V_{Dp}$<br>máx. |
| mais de | até   | sup.  | inf. |                  | sup.                      | inf. |                  |
| 10      | 18    | 0   | -11  | 8                | 0                         | -7   | 5                |
| 18      | 30    | 0   | -13  | 10               | 0                         | -8   | 6                |
| 30      | 50    | 0   | -16  | 12               | 0                         | -9   | 7                |
| 50      | 80    | 0   | -19  | 14               | 0                         | -11  | 8                |
| 80      | 120   | 0   | -22  | 17               | 0                         | -13  | 10               |
| 120     | 180   | 0   | -25  | 19               | 0                         | -15  | 11               |
| 180     | 250   | 0   | -30  | 23               | 0                         | -20  | 15               |
| 250     | 315   | 0   | -35  | 26               | 0                         | -25  | 19               |
| 315     | 400   | 0   | -40  | 30               | 0                         | -28  | 21               |
| 400     | 500   | 0   | -45  | 34               | 0                         | -33  | 25               |
| 500     | 630   | 0   | -50  | 38               | 0                         | -38  | 29               |
| 630     | 800   | 0   | -75  | 55               | 0                         | -45  | 34               |
| 800     | 1 000 | 0   | -100 | 75               | -                         | -    | -                |
| 1 000   | 1 250 | 0   | -125 | -                | -                         | -    | -                |
| 1 250   | 1 600 | 0   | -160 | -                | -                         | -    | -                |

Tabela 7-11 · Variação da espessura para discos de eixo e de alojamento (tolerâncias em  $\mu\text{m}$ )

| d<br>mm |       | S <sub>i</sub><br>Classe de tolerância |      |      |      | S <sub>e</sub><br>Classe de tolerância<br>PN<br>(Tolerância normal)<br>P6, P5, P4 |
|---------|-------|--|------|------|------|---|
|         |       | PN<br>(Tolerância normal)              | P6   | P5   | P4   |   |
| mais de | até   | máx.                                   | máx. | máx. | máx. | Idêntica a S <sub>i</sub> para o disco do eixo do mesmo rolamento                 |
| -       | 18    | 10                                     | 5    | 3    | 2    |   |
| 18      | 30    | 10                                     | 5    | 3    | 2    |   |
| 30      | 50    | 10                                     | 6    | 3    | 2    |   |
| 50      | 80    | 10                                     | 7    | 4    | 3    |   |
| 80      | 120   | 15                                     | 8    | 4    | 3    |   |
| 120     | 180   | 15                                     | 9    | 5    | 4    |   |
| 180     | 250   | 20                                     | 10   | 5    | 4    |   |
| 250     | 315   | 25                                     | 13   | 7    | 5    |   |
| 315     | 400   | 30                                     | 15   | 7    | 5    |   |
| 400     | 500   | 30                                     | 18   | 9    | 6    |   |
| 500     | 630   | 35                                     | 21   | 11   | 7    |   |
| 630     | 800   | 40                                     | 25   | 13   | 8    |   |
| 800     | 1 000 | 45                                     | 30   | 15   | -    |   |
| 1 000   | 1 250 | 50                                     | 35   | 18   | -    |   |

Tabela 7-12 · Tolerâncias da altura do rolamento (tolerâncias em  $\mu\text{m}$ )

| d<br>mm |       | T<br>Limites |        |
|---------|-------|--------------|--------|
| mais de | até   | sup.         | inf.   |
| -       | 30    | +20          | -250   |
| 30      | 50    | +20          | -250   |
| 50      | 80    | +20          | -300   |
| 80      | 120   | +25          | -300   |
| 120     | 180   | +25          | -400   |
| 180     | 250   | +30          | -400   |
| 250     | 315   | +40          | -400   |
| 315     | 400   | +40          | -500   |
| 400     | 500   | +50          | -500   |
| 500     | 630   | +60          | -600   |
| 630     | 800   | +70          | -750   |
| 800     | 1 000 | +80          | -1 000 |
| 1 000   | 1 250 | +100         | -1 400 |

# 8 Folga radial e folga de funcionamento

| Grupo            | Significado               |
|------------------|---------------------------|
| C2               | Folga radial menor que CN |
| CN <sup>1)</sup> | Folga radial normal       |
| C3               | Folga radial maior que CN |
| C4               | Folga radial maior que C3 |

1) Era C0.

Tabela 8-1 · Grupos de folga radial

O perfeito funcionamento de um rolamento depende em grande parte da correta folga de funcionamento. A folga de funcionamento é obtida a partir da folga radial existente na peça não-montada e de sua alteração devido às influências do ajuste e da temperatura.

## 8.1 Folga radial

A folga radial do rolamento é a medida do deslocamento de um anel interno em relação ao anel externo, em um rolamento não-montado e sem carga, em direção radial, de uma posição-limite à posição oposta.

A folga radial se divide em quatro grupos (vide tabela 8-1). Os rolamentos INA com folga radial normal, tem uma folga correta para condições de funcionamento normais, sempre que são respeitados os valores recomendados para eixo e alojamento.

As folgas radiais C3 e C4 entram em consideração principalmente para rolamentos maiores e com cargas elevadas, mas também em caso de ajustes dos anéis com prensa ou grandes diferenças de temperatura entre os anéis interno ou externo (vide parágrafo 8.3.1 e 8.3.2).

Rolamentos com folga C2 somente deverão ser utilizados em casos excepcionais, p. ex. em fortes cargas alternadas combinadas com movimentos oscilantes ou rotações reduzidas. Neste caso recomenda-se uma cuidadosa observação do rolamento durante o funcionamento, pois pode-se contar com um forte aquecimento.

Os valores de folga radial C2, CN, C3 e C4 estão nas tabelas 8-2 e 8-3.

A folga radial desejada se indica mediante um sufixo, exceto a CN.

## 8.2 Círculo inscrito (Rolamentos de agulhas e de rolos sem anel interno)

Para rolamentos de agulhas e de rolos sem anel interno, no lugar da folga radial se indica a medida do círculo inscrito.

Por círculo inscrito se entende o círculo interno tangente aos corpos rolantes, estando estes apoiados sem folga na pista externa.

Para estes rolamentos, o diâmetro do círculo inscrito do rolamento não montado, se encontra dentro do campo de tolerância F6, (fora os rolamentos especiais).

Tabela 8-2 · Folga radial de rolamentos de agulhas e de rolos

| Diâmetro nominal do furo<br>d<br>mm |     | Folga radial |      |          |      |          |      |          |      |
|-------------------------------------|-----|--------------|------|----------|------|----------|------|----------|------|
|                                     |     | C2<br>µm     |      | CN<br>µm |      | C3<br>µm |      | C4<br>µm |      |
| acima de                            | até | min.         | máx. | min.     | máx. | min.     | máx. | min.     | máx. |
| -                                   | 24  | 0            | 25   | 20       | 45   | 35       | 60   | 50       | 75   |
| 24                                  | 30  | 0            | 25   | 20       | 45   | 35       | 60   | 50       | 75   |
| 30                                  | 40  | 5            | 30   | 25       | 50   | 45       | 70   | 60       | 85   |
| 40                                  | 50  | 5            | 35   | 30       | 60   | 50       | 80   | 70       | 100  |
| 50                                  | 65  | 10           | 40   | 40       | 70   | 60       | 90   | 80       | 110  |
| 65                                  | 80  | 10           | 45   | 40       | 75   | 65       | 100  | 90       | 125  |
| 80                                  | 100 | 15           | 50   | 50       | 85   | 75       | 110  | 105      | 140  |
| 100                                 | 120 | 15           | 55   | 50       | 90   | 85       | 125  | 125      | 165  |
| 120                                 | 140 | 15           | 60   | 60       | 105  | 100      | 145  | 145      | 190  |
| 140                                 | 160 | 20           | 70   | 70       | 120  | 115      | 165  | 165      | 215  |
| 160                                 | 180 | 25           | 75   | 75       | 125  | 120      | 170  | 170      | 220  |
| 180                                 | 200 | 35           | 90   | 90       | 145  | 140      | 195  | 195      | 250  |
| 200                                 | 225 | 45           | 105  | 105      | 165  | 160      | 220  | 220      | 280  |
| 225                                 | 250 | 45           | 110  | 110      | 175  | 170      | 235  | 235      | 300  |
| 250                                 | 280 | 55           | 125  | 125      | 195  | 190      | 260  | 260      | 330  |
| 280                                 | 315 | 55           | 130  | 130      | 205  | 200      | 275  | 275      | 350  |
| 315                                 | 355 | 65           | 145  | 145      | 225  | 225      | 305  | 305      | 385  |
| 355                                 | 400 | 100          | 190  | 190      | 280  | 280      | 370  | 370      | 460  |
| 400                                 | 450 | 110          | 210  | 210      | 310  | 310      | 410  | 410      | 510  |
| 450                                 | 500 | 110          | 220  | 220      | 330  | 330      | 440  | 440      | 550  |

Tabela 8-3 · Folga radial de rolamentos de esferas de uma ou duas carreiras

| Furo<br>d<br>mm |     | Folga radial |      |          |      |          |      |          |      |
|-----------------|-----|--------------|------|----------|------|----------|------|----------|------|
|                 |     | C2<br>µm     |      | CN<br>µm |      | C3<br>µm |      | C4<br>µm |      |
| mais de         | até | min.         | máx. | min.     | máx. | min.     | máx. | min.     | máx. |
| 2,5             | 10  | 0            | 7    | 2        | 13   | 8        | 23   | 14       | 29   |
| 10              | 18  | 0            | 9    | 3        | 18   | 11       | 25   | 18       | 33   |
| 18              | 24  | 0            | 10   | 5        | 20   | 13       | 28   | 20       | 36   |
| 24              | 30  | 1            | 11   | 5        | 20   | 13       | 28   | 23       | 41   |
| 30              | 40  | 1            | 11   | 6        | 20   | 15       | 33   | 28       | 46   |
| 40              | 50  | 1            | 11   | 6        | 23   | 18       | 36   | 30       | 51   |
| 50              | 65  | 1            | 15   | 8        | 28   | 23       | 43   | 38       | 61   |
| 65              | 80  | 1            | 15   | 10       | 30   | 25       | 51   | 46       | 71   |
| 80              | 100 | 1            | 18   | 12       | 36   | 30       | 58   | 53       | 84   |
| 100             | 120 | 2            | 20   | 15       | 41   | 36       | 66   | 61       | 97   |
| 120             | 140 | 2            | 23   | 18       | 48   | 41       | 81   | 71       | 114  |
| 140             | 160 | 2            | 23   | 18       | 53   | 46       | 91   | 81       | 130  |

### 8.3 Folga de funcionamento

Entende-se por folga de funcionamento a medida do deslocamento radial que o eixo pode realizar em relação ao anel externo de um rolamento montado de uma posição limite à posição oposta. A folga de funcionamento resulta da folga radial e suas alterações (em  $\mu\text{m}$ ) provocadas pela interferência de ajuste e pela influência da temperatura.

$$\Delta S = \Delta S_p + \Delta S_T \quad (8-1)$$

A parcela  $\Delta S_p$  relativa ao ajuste é conforme a equação (8-2), a parcela relativa à temperatura conforme a equação (8-5). Na utilização desta última deve-se observar que  $\Delta S_T$  seja introduzido com o sinal correto.

#### Folga de funcionamento normal

Nos rolamentos de agulhas INA sem anel interno se obtém a folga normal de funcionamento, quando são utilizadas tolerâncias de eixo da tabela 9-1.

A folga normal de funcionamento é alcançada com a folga radial CN e nos rolamentos maiores e com cargas elevadas com C3, quando são utilizados as tolerâncias para alojamento e para eixo recomendadas nas tabelas 9-2 e 9-3.

#### Folga de funcionamento superior

Folga de funcionamento superior é recomendada para rolamentos com apoios desalinhados, flexões do eixo e quando há dissipação de calor através do eixo.

#### Folga de funcionamento inferior

Folga de funcionamento inferior deveria ser utilizada somente em casos, especiais. p. ex. rolamentos para máquinas operatrizes e máquinas de medição ou para cargas alternadas.

#### 8.3.1 Influências dos ajustes sobre a folga de funcionamento

A redução da folga radial  $\Delta S_p$  (em  $\mu\text{m}$ ) do rolamento montado resulta da expansão do anel interno  $\Delta d$  e da contração do anel externo  $\Delta D$ , sendo:

$$\Delta S_p = \Delta d + \Delta D \quad (8-2)$$

Demonstrou-se na prática que para se determinar a interferência teórica  $U$  (em  $\mu\text{m}$ ) ou se considera os limites médios das tolerâncias das contra-peças, ou se considera os limites de 1/3 a partir do limite máximo do eixo e 1/3 a partir do limite mínimo do furo.

Do resultado acima deve-se subtrair ainda a parcela, devido ao alisamento das superfícies de ajuste, na montagem.

As modificações das medidas poderão ser obtidas com as equações (8-3) e (8-4).

Expansão do anel interno empregando-se um eixo maciço:

$$\Delta d \approx 0,9 \cdot U \cdot d/F \approx 0,8 \cdot U \quad (8-3)$$

Contração do anel externo:

$$\Delta D \approx 0,8 \cdot U \cdot E/D \approx 0,7 \cdot U \quad (8-4)$$

Em alojamentos de paredes muito finas ou em alojamentos de metal leve, a interferência efetiva não pode ser determinada com segurança através de cálculos. Nestes casos, recomenda-se determinar a redução da folga radial através de ensaios de montagem com prensa.

#### 8.3.2 Influência da temperatura sobre a folga de funcionamento

Uma diferença maior de temperatura entre os anéis internos e externos de um rolamento origina uma sensível alteração na folga de funcionamento.

Consequentemente fica prejudicado, em alguns casos, o bom funcionamento do rolamento.

Com um coeficiente de dilatação linear para o aço de  $\alpha = 0,000011 \text{ K}^{-1}$  e uma diferença de temperatura  $\Delta\vartheta$  entre os anéis interno e externo, a variação da folga radial  $\Delta S_T$  (em  $\mu\text{m}$ ) é:

$$\Delta S_T = 0,011 \cdot d_M \cdot \Delta\vartheta \quad (8-5)$$

A diferença de temperatura  $\Delta\vartheta$  entre os anéis interno e externo pode levar a uma redução ou a um aumento na folga de funcionamento. Portanto  $\Delta\vartheta$  deve ser introduzido na equação (8-5) com o sinal correto.

$\Delta\vartheta$  é positivo quando a temperatura do anel interno é maior que a do anel externo;  $\Delta\vartheta$  é negativo quando a temperatura do anel externo é maior que a do anel interno.

### 8.4 Rolamentos de esferas de fixação rápida

Tem folga radial padrão de C3.

Com isto estes rolamentos tem uma folga radial maior do que rolamentos de esferas similares.

#### 8.4.1 Vedação dos rolamentos de esferas de fixação rápida

A segurança de funcionamento e a vida útil de cada rolamento dependem substancialmente da eficácia da vedação, tanto contra a entrada de corpos estranhos e umidade, como também contra a perda do lubrificante do rolamento.

A escolha do tipo de vedação adequada tem que ser feita segundo as condições específicas de cada aplicação.

Seguem exemplos dos tipos mais comuns de vedações em rolamentos de fixação rápida.

## Folga radial e folga de funcionamento

### Vedação tipo P – zincada

Com esta versão de tres partes, com a capa externa bem abaixada se obtém uma ótima ação vedadora com largura reduzida.

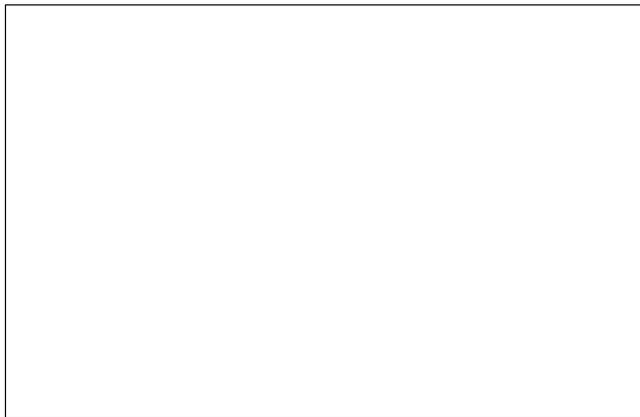


Fig. 2

### Vedação tipo R – zincada

Devido a pré-carga radial da membrana vedadora se obtém um efeito vedador ainda melhor. Além disto existem reservas maiores de graxa.



Fig. 3

### Vedação tipo tripla P3 – zincada

Devido a pré-carga radial nas tres membranas vedadoras, se alcança melhor efeito vedador para aplicações realmente críticas.

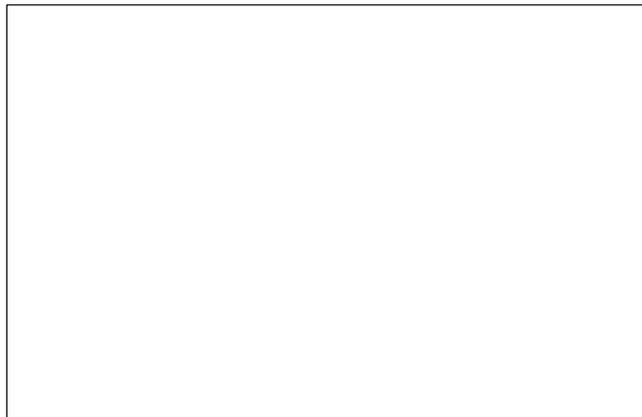


Fig. 4

### 8.4.2 Momentos de apêto

Momentos de apêto para parafusos em rolamentos de esferas de fixação rápida:

Tabela 8-4

| SW  | Momento de apêto máximo para rolamentos de esferas de fixação rápida |                     |
|-----|--|---------------------|
|     | Com anel de fixação  | Sem anel de fixação |
| mm  | Nm   | Nm                  |
| 2,5 | 4,2  | 4,2                 |
| 3,0 | 7,4  | 7,4                 |
| 4,0 | 18,0   | 18,0                |
| 5,0 | 34,0   | 34,0                |
| 6,0 | 60,0   | 60,0                |

# 9 Configuração das pistas de rolamento

- ① Têmpera por chama ou por indução
- ② Cementação
- ③ Dureza necessária

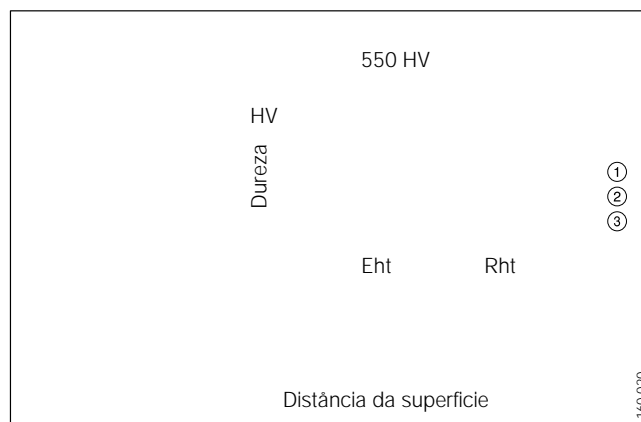


Fig. 9-1 · Profundidade de têmpera Eht resp. Rht

## 9.1 Configuração das pistas

São utilizados rolamentos INA sem anéis com o objetivo de se conseguir construções bastante compactas e que tenham a máxima rigidez e capacidade de carga.

Este é o caso, por exemplo, das gaiolas de agulhas, buchas de agulhas, rolamentos de agulhas sem anel interno e das buchas de agulhas tipo catraca.

Para a construção das pistas, deve-se levar em consideração os seguintes pontos.

(Para rolamentos axiais observar complementação na pág. 85).

### 9.1.1 Materiais

O material para as pistas dos rolamentos deve ser escolhido de forma que permita alcançar a profundidade de têmpera necessária, com uma dureza superficial de 670 +170 HV.

Pode-se empregar materiais com um grau de pureza correspondente ao dos aços finos de construção, por exemplo:

#### Aços para têmpera total

Segundo DIN 17 230, por exemplo 100 Cr6.

Nestes aços para rolamentos também é possível, em casos especiais, efetuar-se uma têmpera superficial.

#### Aços para cementação

Segundo DIN 17 230, por exemplo 17MnCr5 ou DIN 17 210, por exemplo 16MnCr5.

Ao efetuar a escolha deve-se levar em conta, além da temperabilidade, também a resistência do núcleo. Para a cementação é preciso uma estrutura de têmpera de grão fino e uma espessura da camada de cementação conforme equação (9-1).

#### Aços para têmpera por chama ou por indução

Segundo DIN 17 230, por exemplo Cf54 ou DIN 17 212, por exemplo Cf53.

Na têmpera por chama ou por indução, se endurecem somente as zonas da peça que irão servir de pista de rolamento. Também neste caso, a temperabilidade é uma premissa essencial para a seleção do material.

O material a ser temperado já deverá estar beneficiado.

### 9.1.2 Profundidade de têmpera

As pistas temperadas por cementação, chama ou indução, devem apresentar além de uma dureza superficial de 670 +170 HV, também uma profundidade de camada Ht suficiente; (no caso de cementação: profundidade de cementação Eht; na têmpera por chama ou indução: profundidade de têmpera Rht). Como profundidade de têmpera, segundo DIN 50 190, considera-se a espessura da camada superficial, na qual ainda se encontra uma dureza de 550 HV. Na Fig. 9-1 estão esquematizados os gráficos das durezas, onde a curva de dureza necessária em Vickers foi convertida a partir da comparação do diagrama de tensões do material.

A profundidade mínima necessária da camada temperada, depende essencialmente do diâmetro dos corpos rolantes, da solicitação do material, da resistência no núcleo e do processo de têmpera.

Para pistas que estão solicitadas até sua capacidade de carga estática  $C_0$  (pressão de Hertz  $p_H = 4\,000\text{ N/mm}^2$ ), as profundidades de têmpera podem ser determinadas mediante as seguintes equações:

Cementação:

$$Eht \geq 0,078 \cdot D_w \quad (9-1)$$

Têmpera por chama ou por indução:

$$Rht \geq 140 \cdot D_w / R_{p0,2} \quad (9-2)$$

Eht mm

Profundidade de cementação

Rht mm

Profundidade da camada temperada

$D_w$  mm

Diâmetro dos corpos rolantes

$R_{p0,2}$  N/mm<sup>2</sup>

Límite de elasticidade.

Depois da retífica final, a profundidade de têmpera deve ser no mínimo 0,3 mm.

Para cargas menores que  $P = C_0$  podem-se admitir profundidades de têmpera menores que as obtidas pelas equações (9-1) e (9-2).

## Configuração das pistas de rolamento

### 9.1.3 Execução

A qualidade superficial das pistas deve ser escolhida de acordo com as condições de funcionamento do rolamento.

Para aproveitar completamente a capacidade de carga do rolamento, as pistas devem ter uma rugosidade de  $R_z1$  ( $R_a0,2$ ). Se as exigências não são muito elevadas, pode-se admitir uma rugosidade de até  $R_z4$  ( $R_a0,8$ ).

Para obter um funcionamento suave e para eliminar ruídos, as pistas deveriam ser retificadas sem ondulações e, se possível, lapidadas.

As tolerâncias das medidas das pistas para gaiola de agulhas, buchas de agulhas e buchas de agulhas com fundo, estão indicadas na descrição de produtos para rolamentos de agulhas sem anel interno na tabela 9-1.

A tolerância da circularidade pode ser no máximo 25% da tolerância do diâmetro. A tolerância do paralelismo pode ser no máximo 50% da tolerância do diâmetro.

Tabela 9-1 · Orientações para escolha de tolerâncias de eixo para rolamentos de agulhas sem anel interno<sup>1)</sup>

| Circulo inscrito de agulhas (tolerância F6)<br>Fw<br>mm |     | Folga de funcionamento |        |                  |
|---|-----|------------------------|--------|------------------|
| mais de   | até | menor que normal       | normal | maior que normal |
| -   | 65  | k5                     | h5     | g6               |
| 65  | 80  | k5                     | h5     | f6               |
| 80  | 160 | k5                     | g5     | f6               |
| 160   | 180 | k5                     | g5     | e6               |
| 180   | 200 | j5                     | g5     | e6               |
| 200   | 250 | j5                     | f6     | e6               |
| 250   | 315 | h5                     | f6     | e6               |
| 315   | 400 | g5                     | f6     | d6               |

<sup>1)</sup> É válida p/ tolerâncias de alojamento até K7; para tolerâncias de alojamento acima de K7 deve-se controlar a folga de funcionamento mediante cálculo, (vide parágrafo 8.3) ou através de medições.

### 9.2 Influência da temperatura e estabilização da medida

Os rolamentos INA podem ser empregados em temperaturas de funcionamento contínuo de até +120 °C, sem prejudicar sua capacidade funcional, na correspondente descrição do produto contanto que não conste outra restrição. Temperaturas de funcionamento contínuas acima de +120 °C provocam alterações na estrutura do material e portanto alterações de medidas. A conseqüente perda da dureza influi na capacidade de carga dinâmica e deve ser levada em conta segundo o parágrafo 2.3.2. Se a alteração da medida prejudica a função do rolamento, pode ser necessária uma execução especial com medidas estabilizadas (fabricação separada). Esta versão com medidas estabilizadas terá, em função da temperatura de funcionamento, os correspondentes sufixos.

Para rolamentos com diâmetro do furo menor que 100 mm, para rolos de apoio, rolos de comando e para rolamentos axiais pode-se, na maioria dos casos, dispensar a estabilização de medidas.

### 9.3 Fixação radial dos rolamentos

A correta fixação radial e apoio uniforme dos anéis do rolamento em todo seu perímetro e largura, são de grande importância para o bom funcionamento e uma elevada vida útil. Portanto deve-se proceder com especial cuidado ao escolher as tolerâncias de montagem.

As tolerâncias recomendadas nas tabelas 9-2 e 9-3 para as contra-peças, são válidas para eixos maciços de aço e para alojamentos, também maciços de aço ou ferro fundido, sempre supondo-se cargas médias ( $8 < S_0 < 15$ ).

A escolha das tolerâncias depende dos seguintes fatores:

#### Condições de giro

Por condições de giro, entende-se o movimento relativo de cada um dos anéis com relação à direção de carga.

**Carga rotativa** (circunferencial) se configura quando o anel do rolamento e a direção da carga giram relativamente entre si.

Com carga rotativa, o anel do rolamento pode se movimentar se o ajuste no eixo ou no alojamento for sem interferência. Isto deve ser evitado de qualquer forma.

Portanto, para evitar a oxidação de ajuste e o desgaste das superfícies em contato, deverá se empregar um ajuste com interferência suficiente.

**Carga pontual** se configura quando o anel do rolamento e a direção da carga estão paradas entre si.

Para carga pontual pode-se adotar um ajuste menos firme, pois o perigo do deslocamento do anel não existe.

#### Tensão da carga

Os campos de tolerâncias recomendados nas tabelas 9-2 e 9-3, são válidos para cargas médias ( $8 < S_0 < 15$ ). Para cargas elevadas ( $S_0 < 8$ ) e choques, para anel com carga rotativa se recomenda um ajuste mais apertado, por exemplo (p6 no lugar de n6). Com cargas reduzidas ( $S_0 > 15$ ), para anel com carga rotativa, pode se escolher um ajuste menos firme, (por exemplo m6 no lugar de n6).

Tabela 9-2 · Orientações para escolha das tolerâncias de eixo (eixos maciços de aço)

| Condições de giro              | Diâmetro do eixo d em mm | Tolerâncias ISO      |
|--------------------------------|--------------------------|----------------------|
| Carga pontual no anel interno  | Todos os diâmetros       | h6(g6) <sup>1)</sup> |
| Carga rotativa no anel interno | até 50                   | k6                   |
|                                | mais de 50 até 120       | m6                   |
|                                | mais de 120 até 250      | n6                   |
|                                | mais de 250 até 400      | p6                   |
|                                | mais de 400 até 500      | r6                   |
| mais de 500                    | r6                       |                      |

1) Montagem leve.

Após determinação das tolerâncias de eixo e alojamento, deve-se controlar a folga de funcionamento (vide parágrafo 8.3), e se necessário, partindo-se desta, deve-se determinar a folga radial (vide parágrafo 8.1).

Tabela 9-3 · Orientações para escolha das tolerâncias de alojamento (alojamento de aço ou de ferro fundido)

| Condições de giro              | Diâmetro do alojamento D em mm   | Tolerâncias ISO            |
|--------------------------------|----------------------------------|----------------------------|
| Carga pontual no anel externo  | Todos os diâmetros do alojamento | J7, JS7 (H7) <sup>1)</sup> |
| Carga rotativa no anel externo | até 150                          | N7                         |
|                                | mais de 150                      | P7                         |

Após determinação das tolerâncias de eixo e alojamento, deve-se controlar a folga de funcionamento (vide parágrafo 8.3), e se necessário, partindo-se desta, deve-se determinar a folga radial (vide parágrafo 8.1).

1) Alojamento bi-partido.

## Configuração das pistas de rolamento

### Material e execução das peças complementares

Se o material das peças complementares é diferente do recomendado (vide pág. 43), para o ajuste com interferência deverá se levar em conta também o módulo de elasticidade. Para um alojamento de alumínio e carga rotativa no anel externo, deve-se escolher um ajuste mais apertado para este anel.

Na escolha dos ajustes, no caso de materiais diferentes, deve-se levar em conta especialmente a diferença dos coeficientes de dilatação térmica.

Nos casos de eixos ocos, a sua maior elasticidade se faz notar a partir da relação diâmetro do furo em relação ao diâmetro externo de 0,6 a 0,8. Neste caso é recomendável escolher um ajuste mais apertado para o anel interno. O mesmo é válido para o anel externo, no caso de alojamentos de paredes finas.

### Precisão

Para rolamentos com precisão especial (classes de tolerância P5 ou P6), recomenda-se utilizar tolerâncias de eixo e alojamento de uma classe de qualidade mais precisa, por exemplo IT6 no lugar de IT7, (vide também tabela 9-4).

São possíveis outros fatores de influência na escolha das tolerâncias. Em casos especiais, pode ser necessário determinar as tolerâncias corretas através de ensaio.

### 9.3.1 Execução das superfícies de apoio dos anéis dos rolamentos

Para o correto funcionamento dos rolamentos em função de sua precisão é necessário que as superfícies de apoio dos mesmos obedeçam determinadas classes de qualidade IT.

Na tabela 9-4 figuram valores orientativos para as tolerâncias das superfícies de apoio dos rolamentos.

No caso de alojamentos bi-partidos, deve-se ter cuidado para que as linhas de separação estejam livres de rebarbas e bem arredondadas.

Tabela 9-4 · Tolerâncias de forma e de posição das superfícies de apoio

| Classe de tolerância do rolamento | Apoio do rolamento | Tolerância do diâmetro | Tolerância de circularidade | Tolerância de paralelismo | Tolerância do salto axial do apoio |
|-----------------------------------|--------------------|------------------------|-----------------------------|---------------------------|------------------------------------|
| PN                                | Eixo               | IT 6 (IT 5)            | carga rotativa<br>IT 4/2    | IT 4                      | IT 4                               |
|                                   |                    |                        | carga pontual<br>IT 5/2     | IT 5                      |                                    |
|                                   | Alojamento         | IT 7 (IT 6)            | carga rotativa<br>IT 5/2    | IT 5                      | IT 5                               |
|                                   |                    |                        | carga pontual<br>IT 6/2     | IT 6                      |                                    |
| P6                                | Eixo               | IT 5                   | carga rotativa<br>IT 3/2    | IT 3                      | IT 3                               |
|                                   |                    |                        | carga pontual<br>IT 4/2     | IT 4                      |                                    |
|                                   | Alojamento         | IT 6                   | carga rotativa<br>IT 4/2    | IT 4                      | IT 4                               |
|                                   |                    |                        | carga pontual<br>IT 5/2     | IT 5                      |                                    |
| P5                                | Eixo               | IT 5                   | carga rotativa<br>IT 2/2    | IT 2                      | IT 2                               |
|                                   |                    |                        | carga pontual<br>IT 3/2     | IT 3                      |                                    |
|                                   | Alojamento         | IT 6                   | carga rotativa<br>IT 3/2    | IT 3                      | IT 3                               |
|                                   |                    |                        | carga pontual<br>IT 4/2     | IT 4                      |                                    |

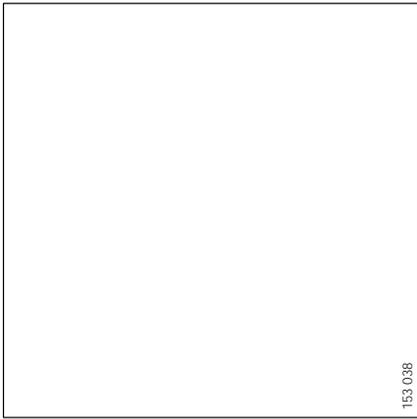


Fig. 9-2

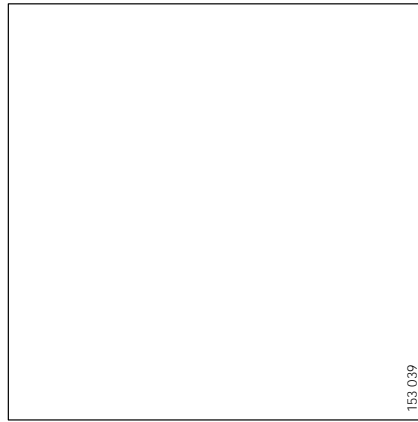


Fig. 9-3

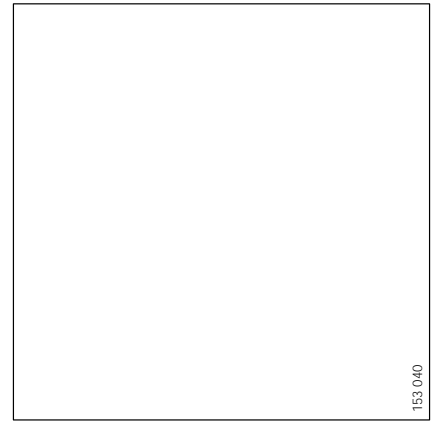


Fig. 9-4

#### 9.4 Fixação axial dos rolamentos

Em geral, os dois anéis dos rolamentos de agulhas e dos rolos cilíndricos deveriam ser axialmente fixados para evitar deslocamentos axiais. Se a tolerância de montagem gera uma interferência suficiente para oferecer um assento fixo, (por exemplo buchas de agulhas Fig. 9-2), pode-se dispensar uma fixação adicional. Gaiolas de agulhas devem ter sempre uma limitação axial, (vide Fig. 9-3 e 9-4).

##### 9.4.1 Execução das superfícies da guia lateral

As superfícies da guia lateral para gaiolas de agulhas (vide Fig. 9-3 e 9-4), devem estar torneadas com acabamento fino e livres de rebarbas. Para rotações elevadas recomenda-se temperar e retificar as superfícies.

No emprego de anéis de retenção deve-se colocar um disco adicional entre estes e a gaiola de agulhas (Fig. 9-3).

##### 9.4.2 Fixação axial dos anéis do rolamento

Os anéis dos rolamentos são muitas vezes montados apoiando-se estes de um lado em um ressalto no eixo ou no alojamento. Os ressaltos devem ter altura suficiente e serem perpendiculares ao eixo dos rolamentos; devem ser usinados juntamente com as superfícies de assento dos anéis.

A transição entre o assento e o ressalto de apoio se realiza normalmente com um raio, segundo DIN 5418 ou com uma sangria segundo DIN 509, com o objetivo de que a face do rolamento se apoie em toda a sua superfície de apoio. Deve-se respeitar os valores mínimos das distâncias de cantos  $r$ .

Fixações simples, dos anéis interno e externo, são possíveis através de anéis elásticos (Fig. 9-5). Ao escolher os anéis elásticos, deve-se verificar se o assento lateral é suficiente, pelo menos até a superfície dos anéis do rolamento. Deve-se respeitar os valores máximos das distâncias de canto dos anéis (DIN 620 – parte 6).

Se um rolamento axialmente fixo deve transmitir também esforços axiais, os anéis devem estar apoiados lateralmente em ambos os lados, (Fig. 9-6, 9-7, 9-8).

Em rolamentos axialmente fixos com apoio diagonal é suficiente apenas o apoio de um lado dos anéis, (Fig. 9-9 e 9-10).

As bordas dos rolamentos de rolos cilíndricos carregados axialmente, devem estar apoiadas até o diâmetro  $d_1$  ou  $D_1$ .

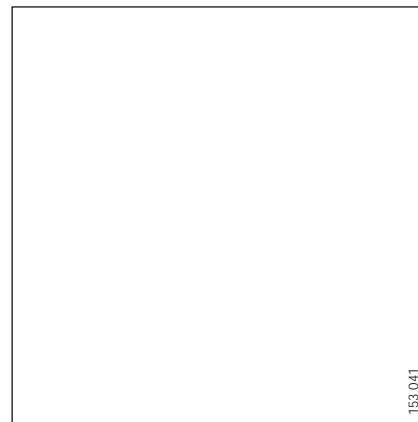


Fig. 9-5

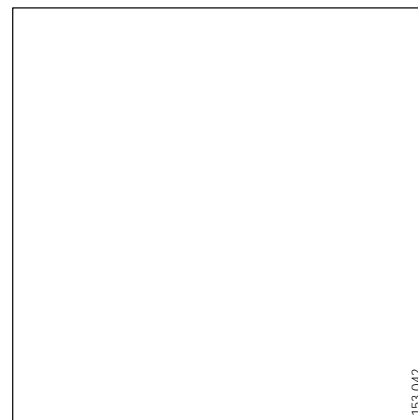


Fig. 9-6

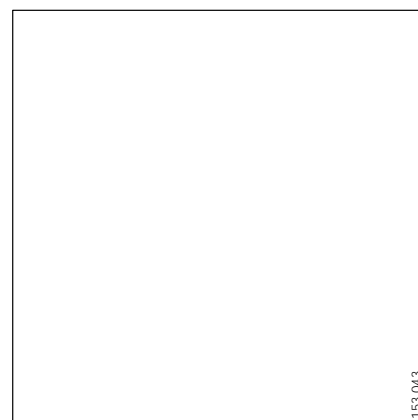


Fig. 9-7

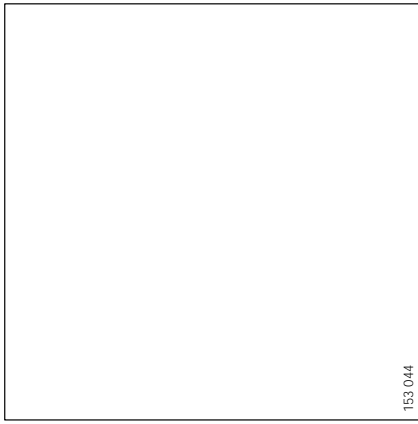


Fig. 9-8

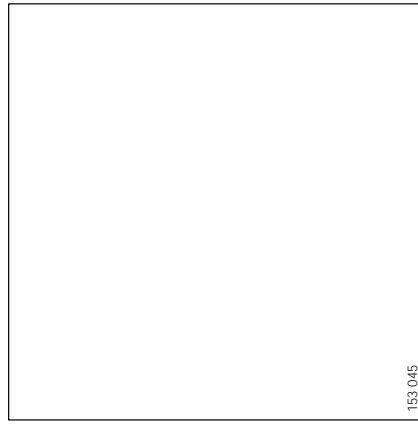


Fig. 9-9

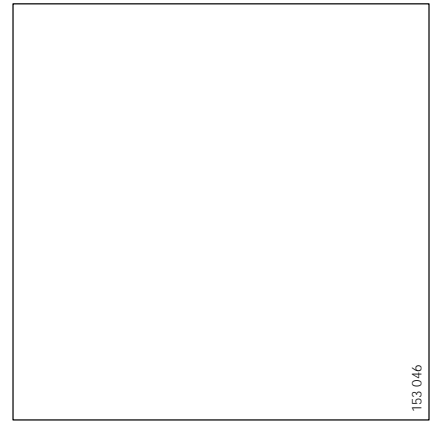


Fig. 9-10

### 9.5 Sistema de vedação dos rolamentos

A segurança de funcionamento e a duração em serviço de qualquer rolamento, depende basicamente da eficiência do sistema de proteção, tanto contra a penetração de corpos estranhos e umidade como contra as perdas de lubrificante.

A escolha do tipo de vedação mais conveniente, depende da aplicação de cada caso em particular.

#### 9.5.1 Vedações sem contato

As vedações sem contato são usadas preferencialmente nos casos em que devido a velocidades periféricas elevadas, é inadmissível o atrito da vedação, não podendo haver desgaste da mesma, ou quando se apresentam temperaturas elevadas.

Este tipo com canais estreitos são de grande eficiência para graxa. São também apropriadas para vedar óleo, se a construção for recirculante (ranhuras no eixo, anéis defletores, ranhuras em espiral, Fig. 9-12).

Vedações com canais estreitos simples, devem ter uma fenda de 0,1 a 0,2 mm e aproveitar todo o comprimento disponível permitido pela disposição construtiva. Sua eficiência pode ser melhorada mediante ranhuras (Fig. 9-11).

As vedações de labirinto (Fig. 9-13), são adotadas quando se exige uma maior eficiência da vedação. Os canais radiais não devem ser demasiadamente estreitos, afim de evitar o efeito de bombeamento. O funcionamento das vedações pode ser melhorado preenchendo-se os canais com graxa lubrificante. Normalmente utiliza-se a mesma graxa empregada no rolamento, ou pelo menos uma graxa com a mesma base de saponificante. Se isto não for possível devido aos ambientes a serem vedados, deve-se empregar uma graxa vedadora, procurando-se mediante uma câmara de separação, evitar que esta chegue ao rolamento.

#### 9.5.2 Vedações por contato

As vedações por contato dão bons resultados para óleo e graxa, principalmente na forma de vedações com lábios.

O lábio vedador atua pré-carregado contra a superfície a ser vedada. O calor de atrito é o fato que limita a velocidade periférica admissível.

A superfície de atrito do retentor deve ser umedecida pelo lubrificante durante o funcionamento, para evitar atrito a seco.

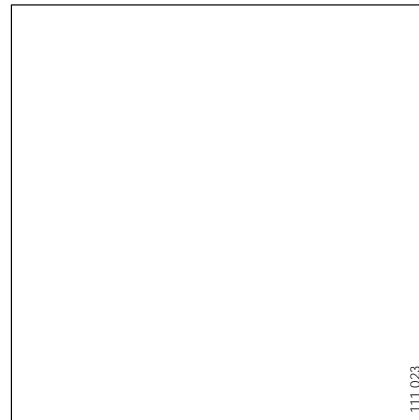


Fig. 9-11 · Vedação de canal estreito

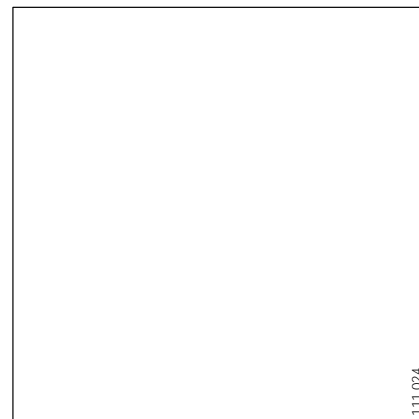


Fig. 9-12 · Vedação de canal estreito com defletor

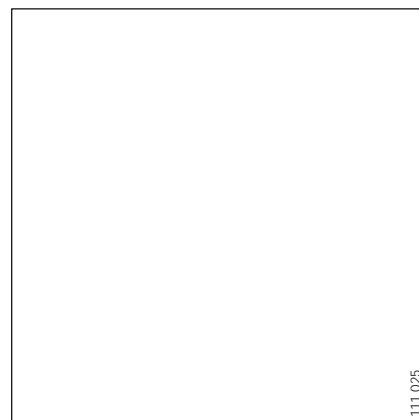


Fig. 9-13 · Vedação de labirinto com defletor



Fig. 9-14 · Vedação com lábio PP

111 026

#### Vedações com lábio

As vedações com lábio (Figs. 9-14 até 9-17), podem ser empregadas para lubrificação a óleo ou graxa, e são, dependendo do tipo, para velocidades periféricas de até 12 m/s.

Objetivando evitar a saída de lubrificante do rolamento o lábio vedador deve estar dirigido para dentro. A montagem do lábio para fora, protege o rolamento contra entrada de sujeira.

#### Retentores radiais para eixos

Segundo DIN 3760 e DIN 3761 (Fig. 9-17) são vedações com lábio, de eficiência comprovada na vedação de rolamentos.

#### Retentores de vedação INA das séries G e SD

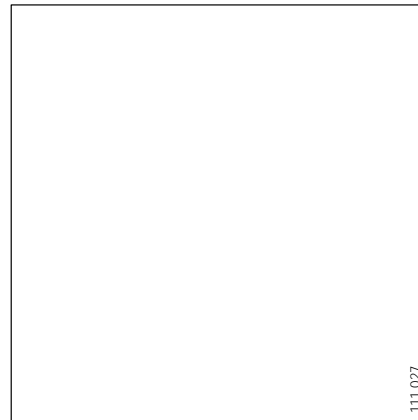
(Fig. 9-15, 9-16), são elementos que ocupam pouco espaço, e foram projetados especialmente para serem montados juntamente com os rolamentos de agulhas INA. Suas medidas radiais correspondem às dos rolamentos de agulhas INA, de forma que não são necessários rebaixos nos eixos ou nos alojamentos. São apropriadas para velocidades periféricas de até 10 m/s. A elasticidade de seus lábios se adapta às folgas de funcionamento usuais, de forma que encostando sem exercer pressão, se obtém uma boa ação vedadora com reduzidas perdas por atrito.

#### Rolamentos de agulhas e de rolos cilíndricos vedados

(Fig. 9-14 e os capítulos rolamentos de agulhas e de rolos cilíndricos), com vedações integradas, (sufixos RS, .2RS ou P, PP) não necessitam espaços adicionais para as vedações. As vedações por atrito são apropriadas para a vedação sem pressão, e em condições de funcionamento normal, proporcionam aos rolamentos uma proteção eficaz contra contaminações e a perda de lubrificante. Na relubrificação permitem a saída da graxa usada do rolamento.

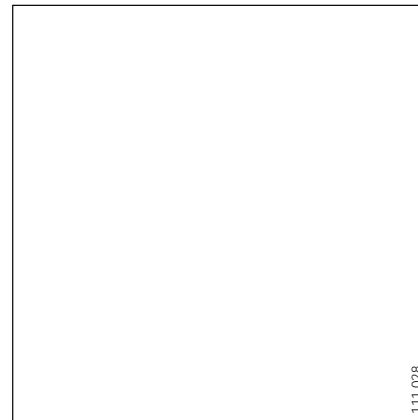
#### Vedações de feltro

São apropriadas para velocidades periféricas de até 4 m/s. Os anéis de feltro e as ranhuras circulares estão normalizados segundo DIN 5419. Ao usar estas vedações é imprescindível impregnar o feltro com óleo quente (aprox. +80 °C) antes de colocá-lo em seu alojamento.



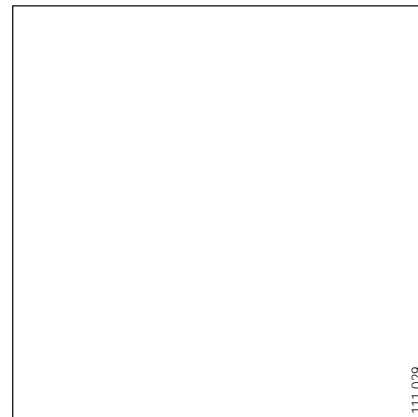
111 027

Fig. 9-15 · Retentor NA série G



111 028

Fig. 9-16 · Retentor INA série SD



111 029

Fig. 9-17 · Retentor para eixos DIN 3760 DIN 3761

## Configuração das pistas de rolamento

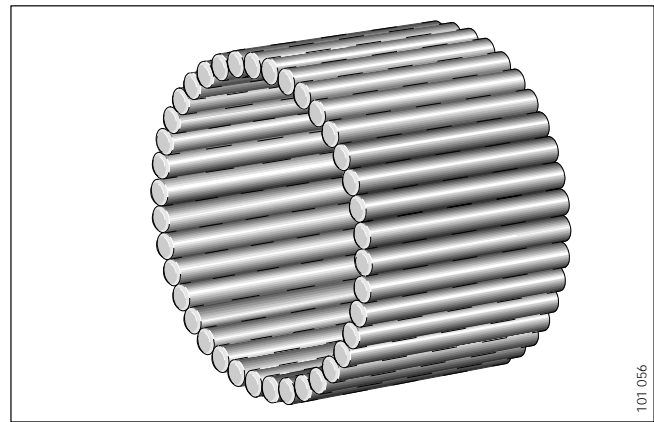


Fig. 9-18 · Rolamento com agulhas sem gaiola

### Anéis internos INA utilizados como pistas para vedações

A pista para rolamento dos anéis internos IR, têm uma rugosidade muito baixa.

Sua superfície é apropriada como pista para os lábios da vedação, quando lubrificado com graxa. No caso de lubrificação a óleo e no intuito de se obter uma melhor ação vedadora, os anéis internos podem ser retificados por mergulho (IR...EGS).

O chanfro previsto nos cantos, evita danos a vedação durante a montagem (ver também o capítulo *Anéis internos*, pág. 87).

### Instruções de montagem para as vedações por atrito

A superfície de deslizamento para a vedação, deve estar livre de estrias. Obtém-se o melhor efeito de vedação quando a superfície é retificada sem estrias em espiral. Recomenda-se uma rugosidade  $R_{z1}$  até  $R_{z4}$  ou  $R_a0,2$  até  $R_a0,8$ .

A dureza deve ser de pelo menos 450 HV e para velocidades periféricas superiores a 4 m/s, no mínimo 600 HV.

Os extremos das pistas para vedações por atrito, devem ser chanfrados com o objetivo de evitar que o lábio vedador se danifique ou seja dobrado durante a montagem. Uma boa lubrificação do lábio vedador e de sua pista antes da montagem evita funcionamento a seco durante as primeiras rotações do eixo. Quando se empregam vedações de lábio duplo ou várias vedações seguidas, deve-se preencher com graxa os espaços livres.

Quando se quer evitar a saída do lubrificante, o lábio da vedação radial deve ser montado dirigido para dentro.

O lábio vedador dirigido para fora evita em primeiro lugar, a entrada de sujeira e possibilita a saída de graxa usada ao se efetuar a relubrificação.

Para a montagem prensada das vedações com lábio em seu alojamento, é conveniente utilizar-se um punção para garantir o assentamento centrado e perpendicular. Se as superfícies sobre as quais devem deslizar tem cantos vivos, deve-se utilizar uma bucha de montagem.

Esta bucha deve ter um diâmetro externo ligeiramente superior ao diâmetro da pista da vedação e um chanfro largo de entrada com aproximadamente  $15^\circ$ .

### 9.6 Rolamentos de agulhas sem gaiola

Os rolamentos de agulhas sem gaiolas, se empregam geralmente em aplicações com rotações reduzidas, movimentos oscilantes ou cargas estáticas. Entretanto para segurança de funcionamento desses rolamentos pressupõe-se a exata obediência dos valores necessários quanto à folga de funcionamento e tolerâncias.

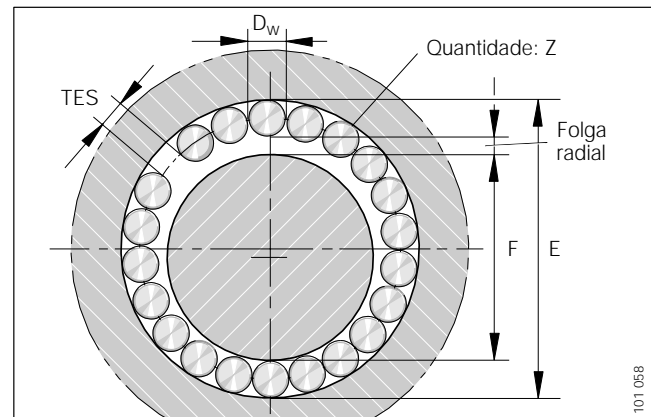


Fig. 9-19 · Medidas nominais e tolerâncias

Para a construção de rolamentos de agulhas sem gaiola, são indicados na tabela 9-6 os diâmetros F para eixos e E para alojamentos em função do diâmetro da agulha  $D_W$  e da quantidade de agulhas Z. Os valores da tabela tem validade sob as seguintes condições:

Agulhas: classe de qualidade G2, todos os grupos de classificação, dentro do campo de variação de 0 até  $-7 \mu\text{m}$ .

Folga final circunferencial (para  $D_W \leq 6 \text{ mm}$ ):

$$TES_{\min} = 5 \cdot 10^{-3} \cdot Z \quad (9-3)$$

Para  $D_W \leq 3,5 \text{ mm}$  deve-se considerar um valor mínimo de 0,1 e para  $D_W > 3,5$  um valor mínimo de 0,15 para  $TES_{\min}$ .

### Medidas da pista do rolamento:

$$F = \frac{D_w + TES/Z}{\sin(180/Z)} - D_w \quad (9-4)$$

$$E = F + 2 \cdot D_w \quad (9-5)$$

As equações 9-4 e 9-5 só consideram as medidas nominais. Para se obter uma folga radial de funcionamento  $s$  e uma folga circunferencial TES corretas, deve-se levar em conta as tolerâncias da tabela 9-5 para as cotas F e E, (vide também exemplo de cálculo).

Tabela 9-5 · Tolerâncias das pistas do rolamento

| Exigências do rolamento | Eixo:<br>Medida F | Alojamento:<br>Medida E |
|-------------------------|-------------------|-------------------------|
| Normal                  | h6                | G7                      |
| Elevada                 | g5                | G6                      |

Em geral, deve-se considerar uma folga axial mínima de 0,2 mm. Para maiores esclarecimentos referente a construção das pistas do rolamento, vide pág. 43, capítulo 9.1.

### Rotação máxima

O deslizamento contrário das agulhas entre si produz um maior atrito e portanto um maior aquecimento do que em rolamentos guiados por gaiolas. Por ser mais reduzido o espaço disponível para a graxa, requer-se uma maior frequência de relubrificação. Como valor orientativo para a rotação máxima, tem-se:

Rotação máx. para lubrificação à graxa:

$$n_G = \frac{120\,000}{d_M} \text{ min}^{-1}$$

Rotação máx. para lubrificação a óleo:

$$n_G = \frac{160\,000}{d_M} \text{ min}^{-1}$$

$$d_M = 0,5 (F + E)$$

### Determinação das capacidades de carga

As capacidades de carga C e  $C_0$  de um rolamento de agulhas sem gaiola resultam de:

$$C = k_C \cdot L_{we}^{7/9} \quad (9-6)$$

$$C_0 = \frac{44}{1 + D_w/F} \cdot D_w \cdot L_{we} \cdot Z \quad (9-7)$$

C,  $C_0$  N  
Capacidades de carga dinâmica e estática

$D_w$  mm  
Diâmetro da agulha

$L_w$  mm  
Comprimento da agulha

$L_{we}$  mm  
Comprimento efetivo da agulha  
( $L_{we} \approx L_w - 0,1 D_w$ )

$k_C$   
Fator de capacidade de carga segundo tabela 9-6

Z  
Quantidade de agulhas.

### Exemplo de cálculo

Um rolamento de agulhas sem gaiola para um pinhão satélite é constituído de 24 agulhas NRB 3 x 11,8 G2.

Deve-se determinar as medidas das pistas e as capacidades de carga.

Medidas das pistas segundo a tabela 9-6 com tolerâncias g5/G6:

$$F = 20,022_{-0,016}^{-0,007}$$

$$E = 26,022_{+0,007}^{+0,020}$$

Cálculo das capacidades de carga:

Com  $k_C = 2\,984$  segundo tabela 9-6 e  $L_{we} = 11,8 - 0,1 \cdot 3 = 11,5$  mm, calculam-se as capacidades de carga através das equações (9-6) e (9-7) respectivamente.

$$C = 19\,900 \text{ N}$$

$$C_0 = 31\,700 \text{ N}$$

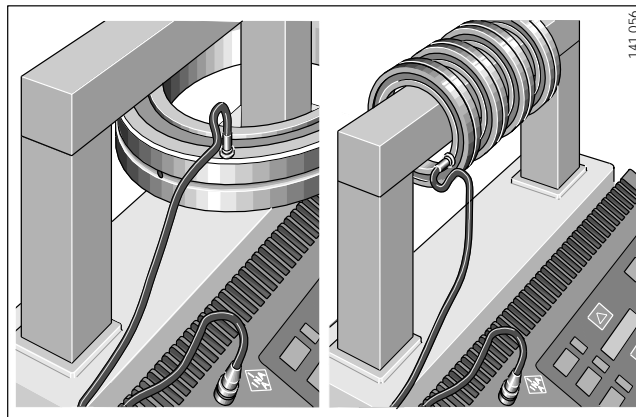
Tabela 9-6 · Medidas nominais e fatores de capacidade de carga (medidas em mm)

| Z  | D <sub>w</sub> = 1,0 mm |        |                | D <sub>w</sub> = 1,5 mm |        |                | D <sub>w</sub> = 2,0 mm |        |                | D <sub>w</sub> = 2,5 mm |        |                |
|----|-------------------------|--------|----------------|-------------------------|--------|----------------|-------------------------|--------|----------------|-------------------------|--------|----------------|
|    | F                       | E      | k <sub>c</sub> |
| 10 | 2,268                   | 4,268  | 454            | 3,386                   | 6,386  | 702            | 4,504                   | 8,504  | 956            | 5,623                   | 10,623 | 1214           |
| 11 | 2,582                   | 4,582  | 500            | 3,856                   | 6,856  | 772            | 5,131                   | 9,131  | 1051           | 6,406                   | 11,406 | 1335           |
| 12 | 2,896                   | 4,896  | 542            | 4,328                   | 7,328  | 837            | 5,760                   | 9,760  | 1140           | 7,191                   | 12,191 | 1448           |
| 13 | 3,211                   | 5,211  | 582            | 4,800                   | 7,800  | 899            | 6,389                   | 10,389 | 1224           | 7,979                   | 12,979 | 1555           |
| 14 | 3,526                   | 5,526  | 619            | 5,273                   | 8,273  | 957            | 7,020                   | 11,020 | 1304           | 8,767                   | 13,767 | 1657           |
| 15 | 3,842                   | 5,842  | 655            | 5,747                   | 8,747  | 1012           | 7,652                   | 11,652 | 1379           | 9,556                   | 14,556 | 1752           |
| 16 | 4,158                   | 6,158  | 689            | 6,221                   | 9,221  | 1065           | 8,284                   | 12,284 | 1451           | 10,347                  | 15,347 | 1844           |
| 17 | 4,474                   | 6,474  | 722            | 6,695                   | 9,695  | 1115           | 8,916                   | 12,916 | 1519           | 11,138                  | 16,137 | 1931           |
| 18 | 4,791                   | 6,791  | 753            | 7,170                   | 10,170 | 1163           | 9,550                   | 13,550 | 1585           | 11,929                  | 16,929 | 2014           |
| 19 | 5,108                   | 7,108  | 783            | 7,645                   | 10,645 | 1210           | 10,183                  | 14,183 | 1648           | 12,721                  | 17,721 | 2094           |
| 20 | 5,424                   | 7,424  | 811            | 8,121                   | 11,121 | 1254           | 10,817                  | 14,817 | 1708           | 13,513                  | 18,513 | 2171           |
| 21 | 5,743                   | 7,743  | 839            | 8,598                   | 11,598 | 1297           | 11,453                  | 15,453 | 1766           | 14,307                  | 19,307 | 2245           |
| 22 | 6,062                   | 8,062  | 866            | 9,075                   | 12,075 | 1338           | 12,088                  | 16,088 | 1823           | 15,102                  | 20,102 | 2317           |
| 23 | 6,381                   | 8,381  | 891            | 9,553                   | 12,553 | 1378           | 12,725                  | 16,725 | 1877           | 15,897                  | 20,897 | 2386           |
| 24 | 6,700                   | 8,700  | 917            | 10,030                  | 13,030 | 1417           | 13,361                  | 17,361 | 1930           | 16,692                  | 21,692 | 2453           |
| 25 | 7,019                   | 9,019  | 941            | 10,508                  | 13,508 | 1455           | 13,997                  | 17,997 | 1982           | 17,487                  | 22,487 | 2518           |
| 26 | 7,338                   | 9,338  | 965            | 10,986                  | 13,986 | 1491           | 14,634                  | 18,634 | 2031           | 18,282                  | 23,282 | 2582           |
| 27 | 7,657                   | 9,657  | 988            | 11,464                  | 14,464 | 1527           | 15,271                  | 19,271 | 2080           | 19,078                  | 24,078 | 2644           |
| 28 | 7,976                   | 9,976  | 1010           | 11,942                  | 14,942 | 1562           | 15,907                  | 19,907 | 2128           | 19,873                  | 24,873 | 2704           |
| 29 | 8,295                   | 10,295 | 1032           | 12,420                  | 15,420 | 1596           | 16,544                  | 20,544 | 2174           | 20,669                  | 25,669 | 2763           |
| 30 | 8,615                   | 10,615 | 1054           | 12,898                  | 15,898 | 1629           | 17,181                  | 21,181 | 2219           | 21,465                  | 26,465 | 2820           |
| 31 | 8,934                   | 10,934 | 1075           | 13,376                  | 16,376 | 1662           | 17,818                  | 21,818 | 2264           | 22,261                  | 27,261 | 2877           |
| 32 | 9,253                   | 11,253 | 1095           | 13,854                  | 16,854 | 1694           | 18,456                  | 22,456 | 2307           | 23,057                  | 28,057 | 2932           |
| 33 | 9,573                   | 11,573 | 1116           | 14,333                  | 17,333 | 1725           | 19,093                  | 23,093 | 2350           | 23,853                  | 28,853 | 2986           |
| 34 | 9,892                   | 11,892 | 1135           | 14,811                  | 17,811 | 1755           | 19,730                  | 23,730 | 2391           | 24,649                  | 29,649 | 3039           |
| 35 | 10,212                  | 12,212 | 1155           | 15,290                  | 18,290 | 1786           | 20,367                  | 24,367 | 2432           | 25,445                  | 30,445 | 3091           |
| 36 | 10,531                  | 12,531 | 1174           | 15,768                  | 18,768 | 1815           | 21,005                  | 25,005 | 2473           | 26,242                  | 31,242 | 3143           |
| 37 | 10,851                  | 12,851 | 1193           | 16,246                  | 19,246 | 1844           | 21,642                  | 25,642 | 2512           | 27,038                  | 32,038 | 3193           |
| 38 | 11,170                  | 13,170 | 1211           | 16,725                  | 19,725 | 1873           | 22,280                  | 26,280 | 2551           | 27,834                  | 32,834 | 3242           |
| 39 | 11,490                  | 13,490 | 1229           | 17,203                  | 20,203 | 1901           | 22,917                  | 26,917 | 2590           | 28,631                  | 33,631 | 3291           |
| 40 | 11,809                  | 13,809 | 1247           | 17,682                  | 20,682 | 1929           | 23,555                  | 27,555 | 2627           | 29,428                  | 34,428 | 3339           |
| 41 | 12,129                  | 14,129 | 1265           | 18,161                  | 21,161 | 1956           | 24,192                  | 28,192 | 2665           | 30,224                  | 35,224 | 3387           |
| 42 | 12,448                  | 14,448 | 1282           | 18,639                  | 21,639 | 1983           | 24,830                  | 28,830 | 2701           | 31,021                  | 36,021 | 3433           |
| 43 | 12,768                  | 14,768 | 1300           | 19,118                  | 22,118 | 2009           | 25,468                  | 29,468 | 2737           | 31,817                  | 36,817 | 3479           |
| 44 | 13,088                  | 15,088 | 1317           | 19,596                  | 22,596 | 2036           | 26,105                  | 30,105 | 2773           | 32,614                  | 37,614 | 3525           |
| 45 | 13,407                  | 15,407 | 1333           | 20,075                  | 23,075 | 2062           | 26,743                  | 30,743 | 2808           | 33,411                  | 38,411 | 3569           |
| 46 | 13,727                  | 15,727 | 1350           | 20,554                  | 23,554 | 2087           | 27,381                  | 31,381 | 2843           | 34,207                  | 39,207 | 3614           |
| 47 | 14,047                  | 16,047 | 1366           | 21,032                  | 24,032 | 2112           | 28,018                  | 32,018 | 2878           | 35,004                  | 40,004 | 3657           |
| 48 | 14,366                  | 16,366 | 1382           | 21,511                  | 24,511 | 2137           | 28,656                  | 32,656 | 2912           | 35,801                  | 40,801 | 3701           |
| 49 | 14,686                  | 16,686 | 1398           | 21,990                  | 24,990 | 2162           | 29,294                  | 33,294 | 2945           | 36,598                  | 41,598 | 3743           |
| 50 | 15,006                  | 17,006 | 1414           | 22,469                  | 25,469 | 2186           | 29,932                  | 33,932 | 2978           | 37,395                  | 42,395 | 3785           |

| Z  | D <sub>w</sub> = 3,0 mm |        |                | D <sub>w</sub> = 3,5 mm |        |                | D <sub>w</sub> = 4,0 mm |        |                | D <sub>w</sub> = 5,0 mm |        |                | D <sub>w</sub> = 6,0 mm |        |                |
|----|-------------------------|--------|----------------|-------------------------|--------|----------------|-------------------------|--------|----------------|-------------------------|--------|----------------|-------------------------|--------|----------------|
|    | F                       | E      | k <sub>c</sub> |
| 10 | 6,741                   | 12,741 | 1476           | 7,859                   | 14,859 | 1742           | 8,993                   | 16,993 | 2011           | 11,229                  | 21,229 | 2555           | 13,465                  | 25,465 | 3107           |
| 11 | 7,681                   | 13,681 | 1623           | 8,955                   | 15,955 | 1916           | 10,246                  | 18,246 | 2211           | 12,796                  | 22,796 | 2810           | 15,345                  | 27,345 | 3417           |
| 12 | 8,623                   | 14,623 | 1762           | 10,055                  | 17,055 | 2079           | 11,503                  | 19,503 | 2400           | 14,367                  | 24,367 | 3049           | 17,231                  | 29,231 | 3709           |
| 13 | 9,568                   | 15,568 | 1892           | 11,157                  | 18,157 | 2232           | 12,763                  | 20,763 | 2577           | 15,941                  | 25,941 | 3274           | 19,120                  | 31,120 | 3983           |
| 14 | 10,514                  | 16,514 | 2015           | 12,261                  | 19,261 | 2378           | 14,024                  | 22,024 | 2744           | 17,518                  | 27,518 | 3487           | 21,012                  | 33,012 | 4242           |
| 15 | 11,461                  | 17,461 | 2131           | 13,366                  | 20,366 | 2515           | 15,287                  | 23,287 | 2903           | 19,097                  | 29,097 | 3689           | 22,907                  | 34,907 | 4487           |
| 16 | 12,410                  | 18,410 | 2242           | 14,472                  | 21,472 | 2646           | 16,551                  | 24,551 | 3054           | 20,677                  | 30,677 | 3881           | 24,803                  | 36,803 | 4721           |
| 17 | 13,359                  | 19,359 | 2348           | 15,580                  | 22,580 | 2771           | 17,817                  | 25,817 | 3199           | 22,259                  | 32,259 | 4065           | 26,701                  | 38,701 | 4944           |
| 18 | 14,308                  | 20,308 | 2450           | 16,688                  | 23,688 | 2891           | 19,083                  | 27,083 | 3337           | 23,842                  | 33,842 | 4240           | 28,601                  | 40,601 | 5158           |
| 19 | 15,259                  | 21,259 | 2547           | 17,796                  | 24,796 | 3006           | 20,350                  | 28,350 | 3469           | 25,426                  | 35,426 | 4409           | 30,501                  | 42,501 | 5363           |
| 20 | 16,209                  | 22,209 | 2640           | 18,906                  | 25,906 | 3116           | 21,618                  | 29,618 | 3596           | 27,010                  | 37,010 | 4571           | 32,403                  | 44,403 | 5560           |
| 21 | 17,162                  | 23,162 | 2731           | 20,017                  | 27,017 | 3222           | 22,886                  | 30,886 | 3719           | 28,595                  | 38,595 | 4727           | 34,305                  | 46,305 | 5749           |
| 22 | 18,115                  | 24,115 | 2818           | 21,129                  | 28,129 | 3325           | 24,155                  | 32,155 | 3838           | 30,181                  | 40,181 | 4877           | 36,208                  | 48,208 | 5933           |
| 23 | 19,069                  | 25,069 | 2902           | 22,241                  | 29,241 | 3425           | 25,424                  | 33,424 | 3953           | 31,768                  | 41,768 | 5023           | 38,112                  | 50,112 | 6111           |
| 24 | 20,022                  | 26,022 | 2984           | 23,353                  | 30,353 | 3521           | 26,693                  | 34,693 | 4064           | 33,354                  | 43,354 | 5165           | 40,016                  | 52,016 | 6283           |
| 25 | 20,976                  | 26,976 | 3063           | 24,465                  | 31,465 | 3615           | 27,963                  | 35,963 | 4172           | 34,942                  | 44,942 | 5302           | 41,920                  | 53,920 | 6450           |
| 26 | 21,930                  | 27,930 | 3140           | 25,578                  | 32,578 | 3706           | 29,233                  | 37,233 | 4278           | 36,529                  | 46,529 | 5436           | 43,826                  | 55,826 | 6613           |
| 27 | 22,884                  | 28,884 | 3216           | 26,691                  | 33,691 | 3795           | 30,503                  | 38,503 | 4380           | 38,117                  | 48,117 | 5567           | 45,734                  | 57,734 | 6771           |
| 28 | 23,839                  | 29,839 | 3289           | 27,805                  | 34,805 | 3881           | 31,773                  | 39,773 | 4480           | 39,705                  | 49,705 | 5694           | 47,641                  | 59,641 | 6926           |
| 29 | 24,793                  | 30,793 | 3361           | 28,918                  | 35,918 | 3966           | 33,044                  | 41,044 | 4578           | 41,293                  | 51,293 | 5818           | 49,549                  | 61,549 | 7077           |
| 30 | 25,748                  | 31,748 | 3431           | 30,032                  | 37,032 | 4049           | 34,315                  | 42,315 | 4673           | 42,884                  | 52,884 | 5939           | 51,457                  | 63,457 | 7224           |
| 31 | 26,703                  | 32,703 | 3499           | 31,145                  | 38,145 | 4130           | 35,588                  | 43,588 | 4766           | 44,474                  | 54,474 | 6058           | 53,365                  | 65,365 | 7369           |
| 32 | 27,658                  | 33,658 | 3566           | 32,259                  | 39,259 | 4209           | 36,860                  | 44,860 | 4858           | 46,065                  | 56,065 | 6174           | 55,274                  | 67,274 | 7510           |
| 33 | 28,613                  | 34,613 | 3632           | 33,373                  | 40,373 | 4286           | 38,133                  | 46,133 | 4948           | 47,655                  | 57,655 | 6288           | 57,183                  | 69,183 | 7649           |
| 34 | 29,568                  | 35,568 | 3697           | 34,487                  | 41,487 | 4363           | 39,406                  | 47,406 | 5036           | 49,246                  | 59,246 | 6400           | 59,092                  | 71,092 | 7785           |
| 35 | 30,523                  | 36,523 | 3760           | 35,601                  | 42,601 | 4437           | 40,679                  | 48,679 | 5122           | 50,837                  | 60,837 | 6509           | 61,001                  | 73,001 | 7918           |
| 36 | 31,479                  | 37,479 | 3823           | 36,715                  | 43,715 | 4511           | 41,952                  | 49,952 | 5207           | 52,428                  | 62,428 | 6617           | 62,910                  | 74,910 | 8049           |
| 37 | 32,434                  | 38,434 | 3884           | 37,830                  | 44,830 | 4583           | 43,226                  | 51,226 | 5290           | 54,020                  | 64,020 | 6723           | 64,819                  | 76,819 | 8178           |
| 38 | 33,389                  | 39,389 | 3944           | 38,944                  | 45,944 | 4654           | 44,499                  | 52,499 | 5372           | 55,611                  | 65,611 | 6828           | 66,729                  | 78,729 | 8305           |
| 39 | 34,345                  | 40,345 | 4003           | 40,059                  | 47,059 | 4724           | 45,772                  | 53,772 | 5453           | 57,202                  | 67,202 | 6930           | 68,638                  | 80,638 | 8430           |
| 40 | 35,300                  | 41,300 | 4062           | 41,173                  | 48,173 | 4793           | 47,046                  | 55,046 | 5533           | 58,794                  | 68,794 | 7031           | 70,548                  | 82,548 | 8553           |
| 41 | 36,256                  | 42,256 | 4119           | 42,288                  | 49,288 | 4861           | 48,319                  | 56,319 | 5611           | 60,385                  | 70,385 | 7131           | 72,458                  | 84,458 | 8674           |
| 42 | 37,211                  | 43,211 | 4176           | 43,402                  | 50,402 | 4928           | 49,593                  | 57,593 | 5688           | 61,977                  | 71,977 | 7229           | 74,368                  | 86,368 | 8794           |
| 43 | 38,167                  | 44,167 | 4232           | 44,517                  | 51,517 | 4994           | 50,867                  | 58,867 | 5765           | 63,569                  | 73,569 | 7326           | 76,278                  | 88,278 | 8912           |
| 44 | 39,123                  | 45,123 | 4287           | 45,632                  | 52,632 | 5059           | 52,140                  | 60,140 | 5840           | 65,161                  | 75,161 | 7422           | 78,188                  | 90,188 | 9028           |
| 45 | 40,078                  | 46,078 | 4342           | 46,746                  | 53,746 | 5124           | 53,414                  | 61,414 | 5914           | 66,753                  | 76,753 | 7516           | 80,098                  | 92,098 | 9143           |
| 46 | 41,034                  | 47,034 | 4396           | 47,861                  | 54,861 | 5187           | 54,688                  | 62,688 | 5988           | 68,345                  | 78,345 | 7609           | 82,008                  | 94,008 | 9256           |
| 47 | 41,990                  | 47,990 | 4449           | 48,976                  | 55,976 | 5250           | 55,962                  | 63,962 | 6060           | 69,937                  | 79,937 | 7701           | 83                      |        |                |

# 10

## Montagem e desmontagem



Aquecedor indutivo INAt therm

Os rolamentos INA são produtos de precisão, e portanto requerem um tratamento muito cuidadoso antes e durante a montagem. O seu correto funcionamento dependerá muito do cuidado que se tenha tido durante a montagem.

### 10.1 Armazenagem

Os rolamentos devem ser armazenados em locais secos e limpos, se possível à uma temperatura constante e com umidade relativa do ar máxima de 65%. Os rolamentos INA são fornecidos de fábrica em estado conservado (com uma proteção antioxidante à base de óleo mineral ou envoltos com papel parafinado VCI) e não devem ser desembalados antes da sua montagem.

Ao se retirar alguns rolamentos de um pacote, o mesmo deve ser imediatamente fechado para que se mantenham os vapores protetores do papel VCI. Os rolamentos retirados devem ser imediatamente protegidos com uma camada de óleo ou graxa. A duração do armazenamento de rolamentos engraxados é limitada (vide capítulo *Lubrificação*, pág. 25).

### 10.2 Compatibilidade e miscibilidade

Rolamentos INA protegidos contra a corrosão com óleos conservantes, são compatíveis e perfeitamente miscíveis com os óleos e graxas à base de óleos minerais.

A compatibilidade deverá ser analisada quando se aplicam:

- lubrificantes sintéticos
- outros saponificantes diferentes de lítio ou de complexos de lítio.

Caso comprovada a incompatibilidade, o óleo conservante deverá ser eliminado através de uma lavagem antes do engraxe para garantir um funcionamento seguro.

Isto se aplica especialmente nos seguintes casos:

- lubrificantes à base de PTFE/álcool oxifluoréter
- poliuréia como saponificante.

Também é indicado lavar o rolamento quando:

- se troca o lubrificante
- o rolamento estiver sujo.

Consultas aos fabricantes dos lubrificantes em questão são recomendáveis.

### 10.3 Limpeza

Para se desengraxar e lavar os rolamentos, diversos produtos de limpeza podem ser utilizados, principalmente:

- produtos de limpeza aquosos
- produtos de limpeza orgânicos.

Produtos de limpeza aquosos podem ser neutros, ácidos ou alcalinos. Antes de efetuar a limpeza com produtos alcalinos a sua compatibilidade com peças de alumínio (p. ex. gaiolas de alumínio) deve ser verificada.

Produtos de limpeza orgânicos como petróleo sem conter água ou ácido, gasolina (não o combustível), produtos substitutos de freon ou clorohidrocarbonetos são indicados para a lavagem.

 Após a limpeza, os rolamentos devem ser imediatamente secados e conservados ou engraxados (Perigo de corrosão).

Em todo caso, é de interesse próprio observar a legislação vigente (Proteção ambiental, segurança de trabalho, etc.), como também as instruções dos fabricantes (p. ex. para manuseio).

## Montagem e desmontagem

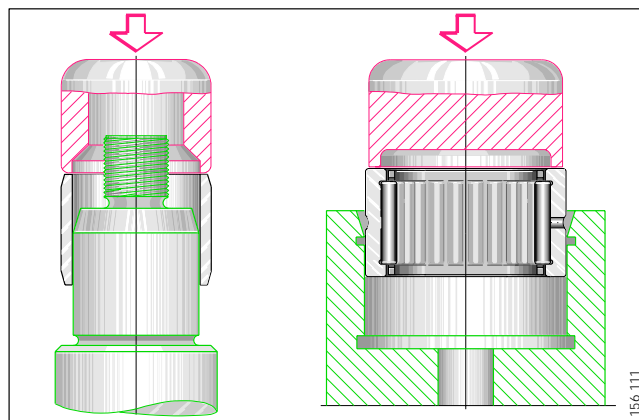


Fig. 10-1 · Montagem dos anéis de rolamentos

### 10.4 Montagem

A área de montagem deverá estar completamente isenta de pó. Sujeira é prejudicial para o funcionamento e a vida útil dos rolamentos.

Antes da montagem deverá se verificar as precisões de medida, forma e posição do alojamento e do eixo, assim como sua limpeza.

Os anéis se montam, preferencialmente, com auxílio de um dispositivo de montagem e uma prensa (vide Fig. 10-1).

As buchas de montagem devem apoiar-se em toda superfície da face dos anéis do rolamento. Caso não se dispuser de uma prensa, a montagem poderá ser efetuada com ligeiros golpes de martelo centrados na superfície da bucha de montagem.

**!** Em nenhum caso os esforços de montagem devem passar através dos corpos rolantes, assim como evitar batidas diretamente sobre as faces dos anéis.

A montagem do rolamento é facilitada quando se passa uma camada de óleo ou graxa na superfície de assento ou uma camada de um lubrificante sólido. É recomendável se prever um chanfro de entrada de 10° a 15° nas superfícies de assento.

A montagem com interferência de anéis internos ou de rolamentos completos sobre eixos é facilitada utilizando o aquecedor indutivo *INAtherm*, (vide programa de fornecimento).

No caso de não se dispôr deste aparelho, deve-se aquecer o rolamento em banho de óleo ou numa estufa a +80 °C.

Não aconselhamos o esfriamento do rolamento com gelo seco para facilitar a montagem em alojamentos, pois a água de condensação oxidará as superfícies de assento e o próprio rolamento.

Nas instruções técnicas das respectivas tabelas de medidas são fornecidas indicações para a montagem de cada tipo de rolamento.

Uma vez terminada a montagem e feita a lubrificação, recomenda-se um ensaio de funcionamento do rolamento.

### 10.5 Desmontagem

Ao se projetar a posição de um rolamento em um equipamento deve-se prever a possibilidade de desmontá-lo. Se os anéis do rolamento foram montados com ajuste prensado é necessário se projetar ranhuras no eixo e/ou no alojamento que permitam a aplicação de extratores para uma fácil desmontagem.

No caso de reutilização do rolamento deve-se evitar golpes diretamente sobre os anéis ou que qualquer tipo de esforço passe pelos corpos rolantes. Antes de serem remontados, os rolamentos deverão ser rigorosamente limpos, preferencialmente no estado desmontado, (vide parágrafo 10.3).

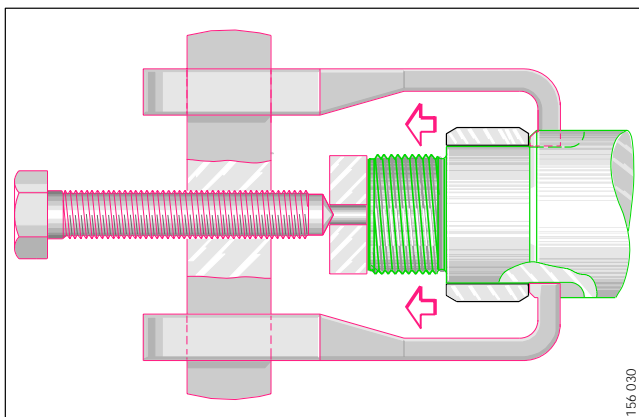


Fig. 10-2 · Extrator para anéis de rolamentos

*INAtherm* é uma marca registrada da Wälzlager Schaeffler oHG

# 11

## Tolerâncias – ISO

### 11.1 Formação de campos de tolerâncias

a partir dos limites básicos e das tolerâncias básicas ISO

Com as tabelas 11-1 e 11-3 obtém-se os desvios da medida base, isto é, o limite mais próximo (distâncias mínimas) à linha zero, levando-se em conta o sinal. O outro limite obtém-se

somando ou subtraindo a tolerância básica (T), segundo a tabela 11-2.

#### Exemplos:

Deve-se determinar os limites das seguintes tolerâncias:

25 f7

$A_o = G = -20 \mu\text{m}$  (vide tabela 11-1)  
 $T = 21 \mu\text{m}$  (vide tabela 11-2)  
 $A_u = -20 - 21 = -41 \mu\text{m}$ .

$25 f7 = 25 \begin{smallmatrix} -0,02 \\ -0,041 \end{smallmatrix}$

125 H6

$A_u = G = 0 \mu\text{m}$  (vide tabela 11-3)  
 $T = 25 \mu\text{m}$  (vide tabela 11-2)  
 $A_o = 0 + 25 = 25 \mu\text{m}$ .

$125 H6 = 12 \begin{smallmatrix} +0,025 \\ 0 \end{smallmatrix}$

60 js5

$T = 13 \mu\text{m}$  (vide tabela 11-2)  
 $A_o = + 6,5 \mu\text{m}$   
 $A_u = - 6,5 \mu\text{m}$ .

$60 js5 = 60 \pm 0,0065$

250 R7

$A_o = G = -67 \mu\text{m}$  (vide tabela 11-3)  
 $T = 46 \mu\text{m}$  (vide tabela 11-2)  
 $A_u = -67 - 46 = -113 \mu\text{m}$ .

$250 R7 = 250 \begin{smallmatrix} -0,067 \\ -0,113 \end{smallmatrix}$

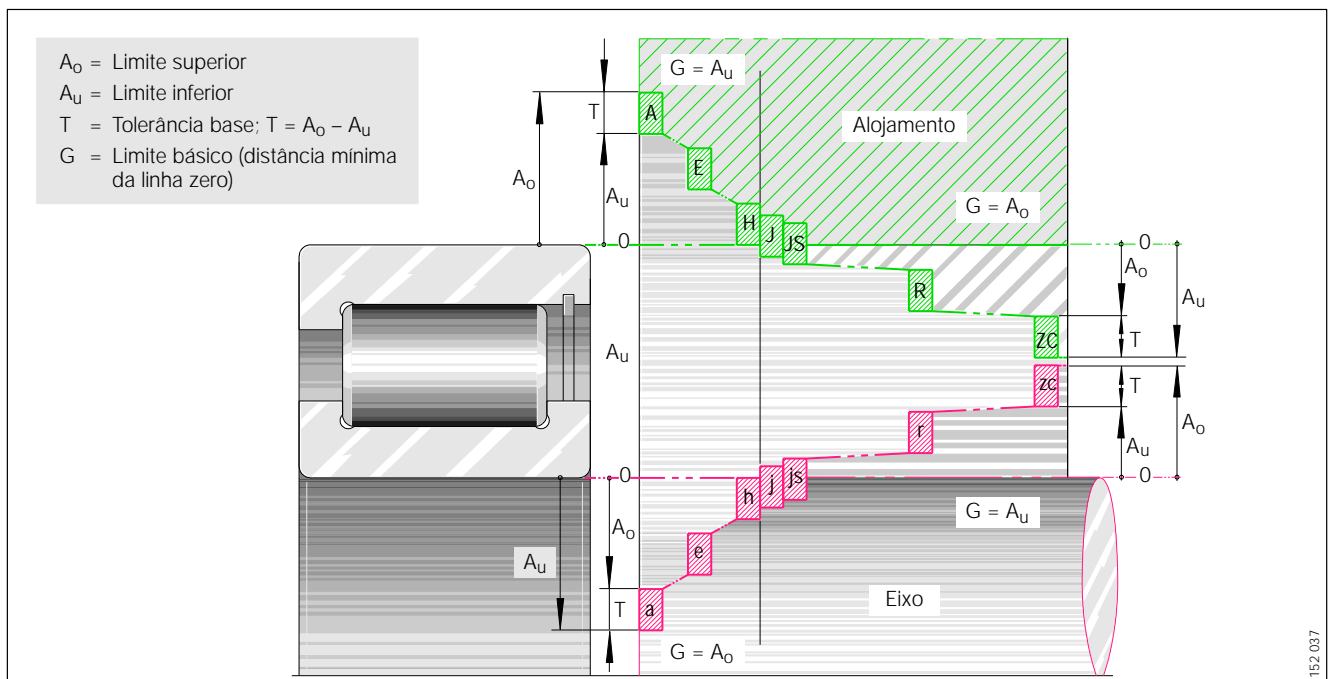


Fig. 11-1 · Campos de tolerâncias para eixos e alojamentos

Tabela 11-1 · Limites básicos ISO (distâncias mínimas) para medidas externas (eixos)

| Campo de tolerância | Qualidade           | Sinal   | Campo de medida nominal em mm                 |       |        |         |         |         |         |         |         |         |         |          |           |           |           |           |           |           |           |           |           |           |           |           |           |  |
|---------------------|---------------------|---|---|-------|--------|---------|---------|---------|---------|---------|---------|---------|---------|----------|-----------|-----------|-----------|-----------|-----------|-----------|-----------|-----------|-----------|-----------|-----------|-----------|-----------|--|
|                     |                     |   | acima de 1 até 3                              | 3 a 6 | 6 a 10 | 10 a 14 | 14 a 18 | 18 a 24 | 24 a 30 | 30 a 40 | 40 a 50 | 50 a 65 | 65 a 80 | 80 a 100 | 100 a 120 | 120 a 140 | 140 a 160 | 160 a 180 | 180 a 200 | 200 a 225 | 225 a 250 | 250 a 280 | 280 a 315 | 315 a 355 | 355 a 400 | 400 a 450 | 450 a 500 |  |
|                     |                     |   | Tolerâncias base em µm (DIN ISO 286, Parte 1) |       |        |         |         |         |         |         |         |         |         |          |           |           |           |           |           |           |           |           |           |           |           |           |           |  |
| a                   | Todas qualidades    | -   | 270   | 270   | 280    | 290     | 290     | 300     | 300     | 310     | 320     | 340     | 360     | 380      | 410       | 460       | 520       | 580       | 660       | 740       | 820       | 920       | 1050      | 1200      | 1350      | 1500      | 1650      |  |
| b                   |                     | -   | 140   | 140   | 150    | 150     | 150     | 160     | 160     | 170     | 180     | 190     | 200     | 220      | 240       | 260       | 280       | 310       | 340       | 380       | 420       | 480       | 540       | 600       | 680       | 760       | 840       |  |
| c                   |                     | -   | 60  | 70    | 80     | 95      | 95      | 110     | 110     | 120     | 130     | 140     | 150     | 170      | 180       | 200       | 210       | 230       | 240       | 260       | 280       | 300       | 330       | 360       | 400       | 440       | 480       |  |
| d                   |                     | -   | 20  | 30    | 40     | 50      | 50      | 65      | 65      | 80      | 80      | 100     | 100     | 120      | 120       | 145       | 145       | 145       | 170       | 170       | 170       | 190       | 190       | 210       | 210       | 230       | 230       |  |
| e                   |                     | -   | 14  | 20    | 25     | 32      | 32      | 40      | 40      | 50      | 50      | 60      | 60      | 72       | 72        | 85        | 85        | 85        | 100       | 100       | 100       | 110       | 110       | 125       | 125       | 135       | 135       |  |
| f                   |                     | -   | 6   | 10    | 13     | 16      | 16      | 20      | 20      | 25      | 25      | 30      | 30      | 36       | 36        | 43        | 43        | 43        | 50        | 50        | 50        | 56        | 56        | 62        | 62        | 68        | 68        |  |
| g                   |                     | -   | 2   | 4     | 5      | 6       | 6       | 7       | 7       | 9       | 9       | 10      | 10      | 12       | 12        | 14        | 14        | 14        | 15        | 15        | 15        | 17        | 17        | 18        | 18        | 20        | 20        |  |
| h                   |                     | -   | 0   | 0     | 0      | 0       | 0       | 0       | 0       | 0       | 0       | 0       | 0       | 0        | 0         | 0         | 0         | 0         | 0         | 0         | 0         | 0         | 0         | 0         | 0         | 0         | 0         |  |
| j <sup>1)</sup>     | 5 e 6               | -   | 2   | 2     | 2      | 3       | 3       | 4       | 4       | 5       | 5       | 7       | 7       | 9        | 9         | 11        | 11        | 11        | 13        | 13        | 13        | 16        | 16        | 18        | 18        | 20        | 20        |  |
| j <sup>1)</sup>     | 7                   | -   | 4   | 4     | 5      | 6       | 6       | 8       | 8       | 10      | 10      | 12      | 12      | 15       | 15        | 18        | 18        | 18        | 21        | 21        | 21        | 26        | 26        | 28        | 28        | 32        | 32        |  |
| js                  | Todas qualidades    | Nos limites são considerados ± 1/2 IT da respectiva qualidade |   |       |        |         |         |         |         |         |         |         |         |          |           |           |           |           |           |           |           |           |           |           |           |           |           |  |
| k                   | 4 até 7             | +   | 0   | 1     | 1      | 1       | 1       | 2       | 2       | 2       | 2       | 2       | 2       | 3        | 3         | 3         | 3         | 3         | 4         | 4         | 4         | 4         | 4         | 4         | 5         | 5         |           |  |
| k                   | acima de 8          |   | 0   | 0     | 0      | 0       | 0       | 0       | 0       | 0       | 0       | 0       | 0       | 0        | 0         | 0         | 0         | 0         | 0         | 0         | 0         | 0         | 0         | 0         | 0         | 0         | 0         |  |
| m                   | Todas as qualidades | +   | 2   | 4     | 6      | 7       | 7       | 8       | 8       | 9       | 9       | 11      | 11      | 13       | 13        | 15        | 15        | 15        | 17        | 17        | 17        | 20        | 20        | 21        | 21        | 23        | 23        |  |
| n                   |                     | +   | 4   | 8     | 10     | 12      | 12      | 15      | 15      | 17      | 17      | 20      | 20      | 23       | 23        | 27        | 27        | 27        | 31        | 31        | 31        | 34        | 34        | 37        | 37        | 40        | 40        |  |
| p                   |                     | +   | 6   | 12    | 15     | 18      | 18      | 22      | 22      | 26      | 26      | 32      | 32      | 37       | 37        | 43        | 43        | 43        | 50        | 50        | 50        | 56        | 56        | 62        | 62        | 68        | 68        |  |
| r                   |                     | +   | 10  | 15    | 19     | 23      | 23      | 28      | 28      | 34      | 34      | 41      | 43      | 51       | 54        | 63        | 65        | 68        | 77        | 80        | 84        | 94        | 98        | 108       | 114       | 126       | 132       |  |
| s                   |                     | +   | 14  | 19    | 23     | 28      | 28      | 35      | 35      | 43      | 43      | 53      | 59      | 71       | 79        | 92        | 100       | 108       | 122       | 130       | 140       | 158       | 170       | 190       | 208       | 232       | 252       |  |
| t                   |                     | +   | -   | -     | -      | -       | -       | -       | 41      | 48      | 54      | 66      | 75      | 91       | 104       | 122       | 134       | 146       | 166       | 180       | 196       | 218       | 240       | 268       | 294       | 330       | 360       |  |
| u                   |                     | +   | 18  | 23    | 28     | 33      | 33      | 41      | 48      | 60      | 70      | 87      | 102     | 124      | 144       | 170       | 190       | 210       | 236       | 258       | 284       | 315       | 350       | 390       | 435       | 490       | 540       |  |
| v                   |                     | +   | -   | -     | -      | -       | 39      | 47      | 55      | 68      | 81      | 102     | 120     | 146      | 172       | 202       | 228       | 252       | 284       | 310       | 340       | 385       | 425       | 475       | 530       | 595       | 660       |  |
| x                   |                     | +   | 20  | 28    | 34     | 40      | 45      | 54      | 64      | 80      | 97      | 122     | 146     | 178      | 210       | 248       | 280       | 310       | 350       | 385       | 425       | 475       | 525       | 590       | 660       | 740       | 820       |  |
| y                   |                     | +   | -   | -     | -      | -       | 63      | 75      | 94      | 114     | 144     | 174     | 214     | 254      | 300       | 340       | 380       | 425       | 470       | 520       | 580       | 650       | 730       | 820       | 920       | 1000      | 1000      |  |
| z                   |                     | +   | 26  | 35    | 42     | 50      | 60      | 73      | 88      | 112     | 136     | 172     | 210     | 258      | 310       | 365       | 415       | 465       | 520       | 575       | 640       | 710       | 790       | 900       | 1000      | 1100      | 1250      |  |
| za                  |                     | +   | 32  | 42    | 52     | 64      | 77      | 98      | 118     | 148     | 180     | 226     | 274     | 335      | 400       | 470       | 535       | 600       | 670       | 740       | 820       | 920       | 1000      | 1150      | 1300      | 1450      | 1600      |  |
| zb                  |                     | +   | 40  | 50    | 67     | 90      | 108     | 136     | 160     | 200     | 242     | 300     | 360     | 445      | 525       | 620       | 700       | 780       | 880       | 960       | 1050      | 1200      | 1300      | 1500      | 1650      | 1850      | 2100      |  |
| zc                  |                     | +   | 60  | 80    | 97     | 130     | 150     | 188     | 218     | 274     | 325     | 405     | 480     | 585      | 690       | 800       | 900       | 1000      | 1150      | 1250      | 1350      | 1550      | 1700      | 1900      | 2100      | 2400      | 2600      |  |

1) Em geral no campo de tolerância j está indicado na tabela o limite inferior.

Tabela 11-2 · Tolerâncias base T segundo ISO

| Qualidade | Campo de medida nominal em mm                   |       |        |         |         |         |         |          |           |           |           |           |           |           |           |            |
|-----------|---|-------|--------|---------|---------|---------|---------|----------|-----------|-----------|-----------|-----------|-----------|-----------|-----------|------------|
|           | acima de 1 até 3                                | 3 a 6 | 6 a 10 | 10 a 18 | 18 a 30 | 30 a 50 | 50 a 80 | 80 a 120 | 120 a 180 | 180 a 250 | 250 a 315 | 315 a 400 | 400 a 500 | 500 a 630 | 630 a 800 | 800 a 1000 |
|           | Tolerâncias base T em µm (DIN ISO 286, Parte 1) |       |        |         |         |         |         |          |           |           |           |           |           |           |           |            |
| 1         | 0,8   | 1     | 1      | 1,2     | 1,5     | 1,5     | 2       | 2,5      | 3,5       | 4,5       | 6         | 7         | 8         | -         | -         | -          |
| 2         | 1,2   | 1,5   | 1,5    | 2       | 2,5     | 2,5     | 3       | 4        | 5         | 7         | 8         | 9         | 10        | -         | -         | -          |
| 3         | 2   | 2,5   | 2,5    | 3       | 4       | 4       | 5       | 6        | 8         | 10        | 12        | 13        | 15        | -         | -         | -          |
| 4         | 3   | 4     | 4      | 5       | 6       | 7       | 8       | 10       | 12        | 14        | 16        | 18        | 20        | -         | -         | -          |
| 5         | 4   | 5     | 6      | 8       | 9       | 11      | 13      | 15       | 18        | 20        | 23        | 25        | 27        | -         | -         | -          |
| 6         | 6   | 8     | 9      | 11      | 13      | 16      | 19      | 22       | 25        | 29        | 32        | 36        | 40        | 44        | 50        | 56         |
| 7         | 10  | 12    | 15     | 18      | 21      | 25      | 30      | 35       | 40        | 46        | 52        | 57        | 63        | 70        | 80        | 90         |
| 8         | 14  | 18    | 22     | 27      | 33      | 39      | 46      | 54       | 63        | 72        | 81        | 89        | 97        | 110       | 125       | 140        |
| 9         | 25  | 30    | 36     | 43      | 52      | 62      | 74      | 87       | 100       | 115       | 130       | 140       | 155       | 175       | 200       | 230        |
| 10        | 40  | 48    | 58     | 70      | 84      | 100     | 120     | 140      | 160       | 185       | 210       | 230       | 250       | 280       | 320       | 360        |
| 11        | 60  | 75    | 90     | 110     | 130     | 160     | 190     | 220      | 250       | 290       | 320       | 360       | 400       | 440       | 500       | 560        |
| 12        | 100   | 120   | 150    | 180     | 210     | 250     | 300     | 350      | 400       | 460       | 520       | 570       | 630       | 700       | 800       | 900        |
| 13        | 140   | 180   | 220    | 270     | 330     | 390     | 460     | 540      | 630       | 720       | 810       | 890       | 970       | 1100      | 1250      | 1400       |
| 14        | 250   | 300   | 360    | 430     | 520     | 620     | 740     | 870      | 1000      | 1150      | 1300      | 1400      | 1550      | 1750      | 2000      | 2300       |
| 15        | 400   | 480   | 580    | 700     | 840     | 1000    | 1200    | 1400     | 1600      | 1850      | 2100      | 2300      | 2500      | 2800      | 3200      | 3600       |
| 16        | 600   | 750   | 900    | 1100    | 1300    | 1600    | 1900    | 2200     | 2500      | 2900      | 3200      | 3600      | 4000      | 4400      | 5000      | 5600       |

Tabela 11-3 · Limites básicos ISO (distâncias mínimas) para medidas internas (alojamentos)

| Campo de tolerância | Qualidade        | Campo de medida nominal em mm                                     |     |     |     |     |     |     |     |     |     |     |     |     |     |     |     |     |     |      |      |      |      |      |      |      |      |      |     |     |     |     |      |      |
|---------------------|------------------|---|-----|-----|-----|-----|-----|-----|-----|-----|-----|-----|-----|-----|-----|-----|-----|-----|-----|------|------|------|------|------|------|------|------|------|-----|-----|-----|-----|------|------|
|                     |                  | acima de até  | 1   | 3   | 6   | 10  | 14  | 18  | 24  | 30  | 40  | 50  | 65  | 80  | 100 | 120 | 140 | 160 | 180 | 200  | 225  | 250  | 280  | 315  | 355  | 400  | 450  | 500  | 560 | 630 | 710 | 800 | 900  |      |
|                     |                  |   | 3   | 6   | 10  | 14  | 18  | 24  | 30  | 40  | 50  | 65  | 80  | 100 | 120 | 140 | 160 | 180 | 200 | 225  | 250  | 280  | 315  | 355  | 400  | 450  | 500  | 560  | 630 | 710 | 800 | 900 | 1000 |      |
|                     |                  | Tolerâncias base em $\mu\text{m}$ (DIN ISO 286, Parte 1)          |     |     |     |     |     |     |     |     |     |     |     |     |     |     |     |     |     |      |      |      |      |      |      |      |      |      |     |     |     |     |      |      |
| A                   | Todas qualidades | +   | 270 | 270 | 280 | 290 | 290 | 300 | 300 | 310 | 320 | 340 | 360 | 380 | 410 | 460 | 520 | 580 | 660 | 740  | 820  | 920  | 1050 | 1200 | 1350 | 1500 | 1650 | -    | -   | -   | -   | -   | -    |      |
| B                   |                  | +   | 140 | 140 | 150 | 150 | 150 | 160 | 160 | 170 | 180 | 190 | 200 | 220 | 240 | 260 | 280 | 310 | 340 | 380  | 420  | 480  | 540  | 600  | 680  | 760  | 840  | -    | -   | -   | -   | -   | -    |      |
| C                   |                  | +   | 60  | 70  | 80  | 95  | 95  | 110 | 110 | 120 | 130 | 140 | 150 | 170 | 180 | 200 | 210 | 230 | 240 | 260  | 280  | 300  | 330  | 360  | 400  | 440  | 480  | -    | -   | -   | -   | -   | -    |      |
| D                   |                  | +   | 20  | 30  | 40  | 50  | 50  | 65  | 65  | 80  | 80  | 100 | 100 | 120 | 120 | 145 | 145 | 170 | 170 | 170  | 170  | 170  | 190  | 190  | 210  | 210  | 230  | 230  | 260 | 260 | 290 | 290 | 320  | 320  |
| E                   |                  | +   | 14  | 20  | 25  | 32  | 32  | 40  | 40  | 50  | 50  | 60  | 60  | 72  | 72  | 85  | 85  | 100 | 100 | 100  | 100  | 110  | 110  | 125  | 125  | 135  | 135  | 145  | 145 | 160 | 160 | 170 | 170  | 170  |
| F                   |                  | +   | 6   | 10  | 13  | 16  | 16  | 20  | 20  | 25  | 25  | 30  | 30  | 36  | 36  | 43  | 43  | 50  | 50  | 56   | 56   | 62   | 62   | 62   | 62   | 68   | 68   | 76   | 76  | 80  | 80  | 86  | 86   | 86   |
| G                   |                  | +   | 2   | 4   | 5   | 6   | 6   | 7   | 7   | 9   | 9   | 10  | 10  | 12  | 12  | 14  | 14  | 14  | 14  | 15   | 15   | 15   | 17   | 17   | 18   | 18   | 20   | 20   | 22  | 22  | 24  | 24  | 26   | 26   |
| H                   |                  | +   | 0   | 0   | 0   | 0   | 0   | 0   | 0   | 0   | 0   | 0   | 0   | 0   | 0   | 0   | 0   | 0   | 0   | 0    | 0    | 0    | 0    | 0    | 0    | 0    | 0    | 0    | 0   | 0   | 0   | 0   | 0    | 0    |
| J <sup>1)</sup>     |                  | 6   | +   | 2   | 5   | 5   | 6   | 6   | 8   | 8   | 10  | 10  | 13  | 13  | 16  | 16  | 18  | 18  | 18  | 22   | 22   | 22   | 25   | 25   | 29   | 29   | 33   | 33   | -   | -   | -   | -   | -    | -    |
| J <sup>1)</sup>     |                  | 7   | +   | 4   | 6   | 8   | 10  | 10  | 12  | 12  | 14  | 14  | 18  | 18  | 22  | 22  | 26  | 26  | 26  | 30   | 30   | 30   | 36   | 36   | 39   | 39   | 43   | 43   | -   | -   | -   | -   | -    | -    |
| J <sup>1)</sup>     | 8                | +   | 6   | 10  | 12  | 15  | 15  | 20  | 20  | 24  | 24  | 28  | 28  | 34  | 34  | 41  | 41  | 41  | 47  | 47   | 47   | 55   | 55   | 60   | 60   | 66   | 66   | -    | -   | -   | -   | -   | -    |      |
| JS                  | Todas qualid.    | Nos limites são considerados $\pm 1/2$ IT da respectiva qualidade |     |     |     |     |     |     |     |     |     |     |     |     |     |     |     |     |     |      |      |      |      |      |      |      |      |      |     |     |     |     |      |      |
| K                   | 5                | +   | 0   | 0   | 1   | 2   | 2   | 1   | 1   | 2   | 2   | 3   | 3   | 2   | 2   | 3   | 3   | 3   | 2   | 2    | 2    | 3    | 3    | 3    | 3    | 2    | 2    | -    | -   | -   | -   | -   | -    |      |
| K                   | 6                | +   | 0   | 2   | 2   | 2   | 2   | 2   | 2   | 3   | 3   | 4   | 4   | 4   | 4   | 4   | 4   | 4   | 5   | 5    | 5    | 5    | 5    | 7    | 7    | 8    | 8    | 0    | 0   | 0   | 0   | 0   | 0    |      |
| K                   | 7                | +   | 0   | 3   | 5   | 6   | 6   | 6   | 6   | 7   | 7   | 9   | 9   | 10  | 10  | 12  | 12  | 12  | 13  | 13   | 13   | 16   | 16   | 17   | 17   | 18   | 18   | 0    | 0   | 0   | 0   | 0   | 0    |      |
| K                   | 8                | +   | 0   | 5   | 6   | 8   | 8   | 10  | 10  | 12  | 12  | 14  | 14  | 16  | 16  | 20  | 20  | 20  | 22  | 22   | 22   | 25   | 25   | 28   | 28   | 29   | 29   | 0    | 0   | 0   | 0   | 0   | 0    |      |
| M                   | 6                | -   | 2   | 1   | 3   | 4   | 4   | 4   | 4   | 4   | 5   | 5   | 6   | 6   | 8   | 8   | 8   | 8   | 8   | 8    | 9    | 9    | 10   | 10   | 10   | 10   | 10   | 26   | 26  | 30  | 30  | 34  | 34   |      |
| M                   | 7                | -   | 2   | 0   | 0   | 0   | 0   | 0   | 0   | 0   | 0   | 0   | 0   | 0   | 0   | 0   | 0   | 0   | 0   | 0    | 0    | 0    | 0    | 0    | 0    | 0    | 0    | 26   | 26  | 30  | 30  | 34  | 34   |      |
| M                   | 8                | -   | -2  | +2  | +1  | +2  | +2  | +4  | +4  | +5  | +5  | +5  | +6  | +6  | +8  | +8  | +8  | +9  | +9  | +9   | +9   | +9   | +9   | +11  | +11  | +11  | +11  | -26  | -26 | -30 | -30 | -34 | -34  |      |
| M                   | acima de 9       | -   | 2   | 4   | 6   | 7   | 7   | 8   | 8   | 9   | 9   | 11  | 11  | 13  | 13  | 15  | 15  | 15  | 17  | 17   | 17   | 20   | 20   | 21   | 21   | 23   | 23   | 26   | 26  | 30  | 30  | 34  | 34   |      |
| N                   | 6                | -   | 4   | 5   | 7   | 9   | 9   | 11  | 11  | 12  | 12  | 14  | 14  | 16  | 16  | 20  | 20  | 20  | 22  | 22   | 22   | 25   | 25   | 26   | 26   | 27   | 27   | 44   | 44  | 50  | 50  | 56  | 56   |      |
| N                   | 7                | -   | 4   | 4   | 4   | 5   | 5   | 7   | 7   | 8   | 8   | 9   | 9   | 10  | 10  | 12  | 12  | 12  | 14  | 14   | 14   | 14   | 14   | 16   | 16   | 17   | 17   | 44   | 44  | 50  | 50  | 56  | 56   |      |
| N                   | 8                | -   | 4   | 2   | 3   | 3   | 3   | 3   | 3   | 3   | 4   | 4   | 4   | 4   | 4   | 4   | 4   | 4   | 5   | 5    | 5    | 5    | 5    | 5    | 6    | 6    | 44   | 44   | 50  | 50  | 56  | 56  |      |      |
| N                   | acima de 9       | -   | 4   | 0   | 0   | 0   | 0   | 0   | 0   | 0   | 0   | 0   | 0   | 0   | 0   | 0   | 0   | 0   | 0   | 0    | 0    | 0    | 0    | 0    | 0    | 0    | 0    | -    | -   | -   | -   | -   | -    |      |
| P                   | 6                | -   | 6   | 9   | 12  | 15  | 15  | 18  | 18  | 21  | 21  | 26  | 26  | 30  | 30  | 36  | 36  | 36  | 41  | 41   | 41   | 47   | 47   | 51   | 51   | 55   | 55   | 78   | 78  | 88  | 88  | 100 | 100  |      |
| R                   | Qualidade        | -   | 10  | 12  | 16  | 20  | 20  | 24  | 24  | 29  | 29  | 35  | 37  | 44  | 47  | 56  | 58  | 61  | 68  | 71   | 75   | 85   | 89   | 97   | 103  | 113  | 119  | 150  | 155 | 175 | 185 | 210 | 220  |      |
| S                   |                  | -   | 14  | 16  | 20  | 25  | 25  | 31  | 31  | 38  | 38  | 47  | 53  | 64  | 72  | 85  | 93  | 101 | 113 | 121  | 131  | 149  | 161  | 179  | 197  | 219  | 239  | 280  | 310 | 340 | 380 | 430 | 470  |      |
| T                   |                  | -   | -   | -   | -   | -   | -   | -   | 37  | 43  | 49  | 60  | 69  | 84  | 97  | 115 | 127 | 139 | 157 | 171  | 187  | 209  | 231  | 257  | 283  | 317  | 347  | 400  | 450 | 500 | 560 | 620 | 680  |      |
| U                   |                  | -   | 18  | 20  | 25  | 30  | 30  | 37  | 44  | 55  | 65  | 81  | 96  | 117 | 137 | 163 | 183 | 203 | 227 | 249  | 275  | 306  | 341  | 379  | 424  | 477  | 527  | 600  | 660 | 740 | 840 | 940 | 1050 |      |
| V                   |                  | -   | -   | -   | -   | -   | 36  | 43  | 51  | 63  | 76  | 96  | 114 | 139 | 165 | 195 | 221 | 245 | 275 | 301  | 331  | 376  | 416  | 464  | 519  | 582  | 647  | -    | -   | -   | -   | -   | -    |      |
| X                   |                  | -   | 20  | 25  | 31  | 37  | 42  | 50  | 60  | 75  | 92  | 116 | 140 | 171 | 203 | 241 | 273 | 303 | 341 | 376  | 416  | 466  | 516  | 579  | 649  | 727  | 807  | -    | -   | -   | -   | -   | -    |      |
| Y                   |                  | -   | -   | -   | -   | -   | 59  | 71  | 89  | 109 | 138 | 168 | 207 | 247 | 293 | 333 | 373 | 416 | 461 | 511  | 571  | 641  | 719  | 809  | 907  | 987  | -    | -    | -   | -   | -   | -   | -    |      |
| Z                   |                  | -   | 26  | 32  | 39  | 47  | 57  | 69  | 84  | 107 | 131 | 166 | 204 | 251 | 303 | 358 | 408 | 458 | 511 | 566  | 631  | 701  | 781  | 889  | 989  | 1087 | 1237 | -    | -   | -   | -   | -   | -    |      |
| ZA                  |                  | -   | 32  | 39  | 49  | 61  | 74  | 94  | 114 | 143 | 175 | 220 | 268 | 328 | 393 | 463 | 528 | 593 | 661 | 731  | 811  | 911  | 991  | 1139 | 1289 | 1437 | 1587 | -    | -   | -   | -   | -   | -    |      |
| ZB                  |                  | -   | 40  | 47  | 64  | 87  | 105 | 132 | 156 | 195 | 237 | 294 | 354 | 438 | 518 | 613 | 693 | 773 | 871 | 951  | 1041 | 1191 | 1291 | 1489 | 1639 | 1837 | 2087 | -    | -   | -   | -   | -   | -    |      |
| ZB                  |                  | 6   | -   | 60  | 77  | 94  | 127 | 147 | 184 | 214 | 269 | 320 | 399 | 474 | 578 | 683 | 793 | 893 | 993 | 1141 | 1241 | 1341 | 1541 | 1691 | 1889 | 2089 | 2387 | 2587 | -   | -   | -   | -   | -    | -    |
| P                   |                  | 7   | -   | 6   | 8   | 9   | 11  | 11  | 14  | 14  | 17  | 17  | 21  | 21  | 24  | 24  | 28  | 28  | 28  | 33   | 33   | 33   | 36   | 36   | 41   | 41   | 45   | 45   | 78  | 78  | 88  | 88  | 100  | 100  |
| R                   |                  | Qualidade   | -   | 10  | 11  | 13  | 16  | 16  | 20  | 20  | 25  | 25  | 30  | 32  | 38  | 41  | 48  | 50  | 53  | 60   | 63   | 67   | 74   | 78   | 87   | 93   | 103  | 109  | 150 | 155 | 175 | 185 | 210  | 220  |
| S                   |                  |   | -   | 14  | 15  | 17  | 21  | 21  | 27  | 27  | 34  | 34  | 42  | 48  | 58  | 66  | 77  | 85  | 93  | 105  | 113  | 123  | 138  | 150  | 169  | 187  | 209  | 229  | 280 | 310 | 340 | 380 | 430  | 470  |
| T                   |                  |   | -   | -   | -   | -   | -   | -   | 33  | 39  | 45  | 55  | 64  | 78  | 91  | 107 | 119 | 131 | 149 | 163  | 179  | 198  | 220  | 247  | 273  | 307  | 337  | 400  | 450 | 500 | 560 | 620 | 680  |      |
| U                   |                  |   | -   | 18  | 19  | 22  | 26  | 26  | 33  | 40  | 51  | 61  | 76  | 91  | 111 | 131 | 155 | 175 | 195 | 219  | 241  | 267  | 295  | 330  | 369  | 414  | 467  | 517  | 600 | 660 | 740 | 840 | 940  | 1050 |
| V                   |                  |   | -   | -   | -   | -   | -   | 32  | 39  | 47  | 59  | 72  | 91  | 109 | 133 | 159 | 187 | 213 | 237 | 267  | 293  | 323  | 365  | 405  | 454  | 509  | 572  | 637  | -   | -   | -   | -   | -    | -    |
| X                   | -                |   | 20  | 24  | 28  | 33  | 38  | 46  | 56  | 71  | 88  | 111 | 135 | 165 | 197 | 233 | 265 | 295 | 333 | 368  | 408  | 455  | 505  | 569  | 639  | 717  | 797  | -    | -   | -   | -   | -   | -    |      |
| Y                   | -                |   | -   | -   | -   | -   | 55  | 67  | 85  | 105 | 133 | 163 | 201 | 241 | 285 | 325 | 365 | 408 | 453 | 503  | 560  | 630  | 709  | 799  | 897  | 977  | -    | -    | -   | -   | -   | -   | -    |      |
| Z                   | -                |   | 26  | 31  | 36  | 43  | 53  | 65  | 80  | 103 | 127 | 161 | 199 | 245 | 297 | 350 | 400 | 450 | 503 | 558  | 623  | 690  | 770  | 879  | 979  | 1077 | 1227 | -    | -   | -   | -   | -   | -    |      |
| ZA                  | -                |   | 32  | 38  | 46  | 57  | 70  | 90  | 110 | 139 | 171 | 215 | 263 | 322 | 387 | 455 | 520 | 585 | 653 | 723  | 803  | 900  | 980  | 1129 | 1279 | 1427 | 1577 | -    | -   | -   | -   | -   | -    |      |
| ZB                  | -                |   | 40  | 46  | 61  | 83  | 101 | 128 | 152 | 191 | 233 | 289 | 349 | 432 | 512 | 605 | 685 | 765 | 863 | 943  | 1033 | 1180 | 1280 | 1479 | 1629 | 1827 | 2077 | -    | -   | -   | -   | -   | -    |      |
| ZC                  | 7                |   | -   | 60  | 76  | 91  | 123 | 143 | 180 | 210 | 265 | 316 | 394 | 469 | 572 | 677 | 785 | 885 | 985 | 1133 | 1233 | 1333 | 1530 | 1680 | 1879 | 2079 | 2377 | 2577 | -   | -   | -   | -   | -    | -    |
| P                   | acima de 8       |   | -   | 6   | 12  | 15  | 18  | 18  | 22  | 22  | 26  | 26  | 32  | 32  | 37  | 37  | 43  | 43  | 43  | 50   | 50   | 50   | 56   | 56   | 62   | 62   | 68   | 68   | 78  | 78  | 88  | 88  | 100  | 100  |
| R                   | Qualidade        |   | -   | 10  | 15  | 19  | 23  | 23  | 28  | 28  |     |     |     |     |     |     |     |     |     |      |      |      |      |      |      |      |      |      |     |     |     |     |      |      |

# 11.2 Tolerâncias ISO para alojamentos e eixos

Tabela 11-4 · Tolerâncias ISO para alojamentos (DIN ISO 286, Parte 2)

Medidas em µm

| Código | Limites      | Campo de medida nominal em mm |              |                |                |                |              |                |                |                |                |                |                |                |                |                |             |             |             |              |              |              |              |              |              |              |              |              |             |
|--------|--------------|-------------------------------|--------------|----------------|----------------|----------------|--------------|----------------|----------------|----------------|----------------|----------------|----------------|----------------|----------------|----------------|-------------|-------------|-------------|--------------|--------------|--------------|--------------|--------------|--------------|--------------|--------------|--------------|-------------|
|        |              | 3<br>até 6                    | 6<br>10      | 10<br>18       | 18<br>30       | 30<br>40       | 40<br>50     | 50<br>65       | 65<br>80       | 80<br>100      | 100<br>120     | 120<br>140     | 140<br>160     | 160<br>180     | 180<br>200     | 200<br>225     | 225<br>250  | 250<br>280  | 280<br>315  | 315<br>355   | 355<br>400   | 400<br>450   | 450<br>500   | 500<br>560   | 560<br>630   | 630<br>710   | 710<br>800   | 800<br>900   | 900<br>1000 |
| E 6    | sup.<br>inf. | +28<br>+20                    | +34<br>+25   | +43<br>+32     | +53<br>+40     | +66<br>+50     | +79<br>+60   | +94<br>+72     | +110<br>+85    | +129<br>+100   | +142<br>+110   | +161<br>+125   | +175<br>+135   | +189<br>+145   | +210<br>+160   | +226<br>+170   |             |             |             |              |              |              |              |              |              |              |              |              |             |
| E 7    | sup.<br>inf. | +32<br>+25                    | +40<br>+25   | +50<br>+32     | +61<br>+40     | +75<br>+50     | +90<br>+60   | +107<br>+72    | +125<br>+85    | +146<br>+100   | +162<br>+110   | +182<br>+125   | +198<br>+135   | +215<br>+145   | +240<br>+160   | +260<br>+170   |             |             |             |              |              |              |              |              |              |              |              |              |             |
| E 11   | sup.<br>inf. | +95<br>+20                    | +115<br>+25  | +142<br>+32    | +170<br>+40    | +210<br>+50    | +250<br>+60  | +292<br>+72    | +335<br>+85    | +390<br>+100   | +430<br>+110   | +485<br>+125   | +535<br>+135   | +585<br>+145   | +660<br>+160   | +730<br>+170   |             |             |             |              |              |              |              |              |              |              |              |              |             |
| E 12   | sup.<br>inf. | +140<br>+20                   | +175<br>+25  | +212<br>+32    | +250<br>+40    | +300<br>+50    | +360<br>+60  | +422<br>+72    | +485<br>+85    | +560<br>+100   | +630<br>+110   | +695<br>+125   | +765<br>+135   | +845<br>+145   | +960<br>+160   | +1 070<br>+170 |             |             |             |              |              |              |              |              |              |              |              |              |             |
| E 13   | sup.<br>inf. | +200<br>+25                   | +245<br>+25  | +302<br>+32    | +370<br>+40    | +440<br>+50    | +520<br>+60  | +612<br>+72    | +715<br>+85    | +820<br>+100   | +920<br>+110   | +1 015<br>+125 | +1 105<br>+135 | +1 245<br>+145 | +1 410<br>+160 | +1 570<br>+170 |             |             |             |              |              |              |              |              |              |              |              |              |             |
| F 6    | sup.<br>inf. | +18<br>+10                    | +22<br>+13   | +27<br>+16     | +33<br>+20     | +41<br>+25     | +49<br>+30   | +58<br>+36     | +68<br>+43     | +79<br>+50     | +88<br>+56     | +98<br>+62     | +108<br>+68    | +120<br>+76    | +130<br>+80    | 142<br>+86     |             |             |             |              |              |              |              |              |              |              |              |              |             |
| F 7    | sup.<br>inf. | +22<br>+10                    | +28<br>+13   | +34<br>+16     | +41<br>+20     | +50<br>+25     | +60<br>+30   | +71<br>+36     | +83<br>+43     | +96<br>+50     | +108<br>+56    | +119<br>+62    | +131<br>+68    | +146<br>+76    | +160<br>+80    | +176<br>+86    |             |             |             |              |              |              |              |              |              |              |              |              |             |
| F 8    | sup.<br>inf. | +28<br>+10                    | +35<br>+13   | +43<br>+16     | +53<br>+20     | +64<br>+25     | +76<br>+30   | +90<br>+36     | +106<br>+43    | +122<br>+50    | +137<br>+56    | +151<br>+62    | +165<br>+68    | +186<br>+76    | +205<br>+80    | +226<br>+86    |             |             |             |              |              |              |              |              |              |              |              |              |             |
| G 6    | sup.<br>inf. | +12<br>+4                     | +14<br>+5    | +17<br>+6      | +20<br>+7      | +25<br>+9      | +29<br>+10   | +34<br>+12     | +39<br>+14     | +44<br>+15     | +49<br>+17     | +54<br>+18     | +60<br>+20     | +66<br>+22     | +74<br>+24     | +82<br>+26     |             |             |             |              |              |              |              |              |              |              |              |              |             |
| G 7    | sup.<br>inf. | +16<br>+4                     | +20<br>+5    | +24<br>+6      | +28<br>+7      | +34<br>+9      | +40<br>+10   | +47<br>+12     | +54<br>+14     | +61<br>+15     | +69<br>+17     | +75<br>+18     | +83<br>+20     | +92<br>+22     | +104<br>+24    | +116<br>+26    |             |             |             |              |              |              |              |              |              |              |              |              |             |
| G 8    | sup.<br>inf. | +22<br>+4                     | +27<br>+5    | +33<br>+6      | +40<br>+7      | +48<br>+9      | +56<br>+10   | +66<br>+12     | +77<br>+14     | +87<br>+15     | +98<br>+17     | +107<br>+18    | +117<br>+20    | +132<br>+22    | +149<br>+24    | +166<br>+26    |             |             |             |              |              |              |              |              |              |              |              |              |             |
| H 6    | sup.<br>inf. | +8<br>0                       | +9<br>0      | +11<br>0       | +13<br>0       | +16<br>0       | +19<br>0     | +22<br>0       | +25<br>0       | +29<br>0       | +32<br>0       | +36<br>0       | +40<br>0       | +44<br>0       | +50<br>0       | +56<br>0       |             |             |             |              |              |              |              |              |              |              |              |              |             |
| H 7    | sup.<br>inf. | +12<br>0                      | +15<br>0     | +18<br>0       | +21<br>0       | +25<br>0       | +30<br>0     | +35<br>0       | +40<br>0       | +46<br>0       | +52<br>0       | +57<br>0       | +63<br>0       | +70<br>0       | +80<br>0       | +90<br>0       |             |             |             |              |              |              |              |              |              |              |              |              |             |
| H 8    | sup.<br>inf. | +18<br>0                      | +22<br>0     | +27<br>0       | +33<br>0       | +39<br>0       | +46<br>0     | +54<br>0       | +63<br>0       | +72<br>0       | +81<br>0       | +89<br>0       | +97<br>0       | +110<br>0      | +125<br>0      | +140<br>0      |             |             |             |              |              |              |              |              |              |              |              |              |             |
| H 9    | sup.<br>inf. | +30<br>0                      | +36<br>0     | +43<br>0       | +52<br>0       | +62<br>0       | +74<br>0     | +87<br>0       | +100<br>0      | +115<br>0      | +130<br>0      | +140<br>0      | +155<br>0      | +175<br>0      | +200<br>0      | +230<br>0      |             |             |             |              |              |              |              |              |              |              |              |              |             |
| H 10   | sup.<br>inf. | +48<br>0                      | +58<br>0     | +70<br>0       | +84<br>+0      | +100<br>0      | +120<br>0    | +140<br>+0     | +160<br>0      | +185<br>0      | +210<br>0      | +230<br>0      | +250<br>0      | +280<br>0      | +320<br>0      | +360<br>0      |             |             |             |              |              |              |              |              |              |              |              |              |             |
| H 11   | sup.<br>inf. | +75<br>0                      | +90<br>0     | +110<br>0      | +130<br>0      | +160<br>0      | +190<br>0    | +220<br>0      | +250<br>0      | +290<br>0      | +320<br>0      | +360<br>0      | +400<br>0      | +440<br>0      | +500<br>0      | +560<br>0      |             |             |             |              |              |              |              |              |              |              |              |              |             |
| J 6    | sup.<br>inf. | +5<br>-3                      | +5<br>-4     | +6<br>-5       | +8<br>-5       | +10<br>-6      | +13<br>-6    | +16<br>-6      | +18<br>-7      | +22<br>-7      | +25<br>-7      | +29<br>-7      | +33<br>-7      | -              | -              | -              |             |             |             |              |              |              |              |              |              |              |              |              |             |
| J 7    | sup.<br>inf. | +6<br>-6                      | +8<br>-7     | +10<br>-8      | +12<br>-9      | +14<br>-11     | +18<br>-12   | +22<br>-13     | +26<br>-14     | +30<br>-16     | +36<br>-16     | +39<br>-18     | +43<br>-20     | -              | -              | -              |             |             |             |              |              |              |              |              |              |              |              |              |             |
| J 8    | sup.<br>inf. | +10<br>-8                     | +12<br>-10   | +15<br>-12     | +20<br>-13     | +24<br>-15     | +28<br>-18   | +34<br>-20     | +41<br>-22     | +47<br>-25     | +55<br>-26     | +60<br>-29     | +66<br>-31     | -              | -              | -              |             |             |             |              |              |              |              |              |              |              |              |              |             |
| JS 6   | sup.<br>inf. | +4<br>-4                      | +4,5<br>-4,5 | +5,5<br>-5,5   | +6,5<br>-6,5   | +8<br>-8       | +9,5<br>-9,5 | +11<br>-11     | +12,5<br>-12,5 | +14,5<br>-14,5 | +16<br>-16     | +18<br>-18     | +20<br>-20     | +22<br>-22     | +25<br>-25     | +28<br>-28     |             |             |             |              |              |              |              |              |              |              |              |              |             |
| JS 7   | sup.<br>inf. | +6<br>-6                      | +7,5<br>-7,5 | +9<br>-9       | +10,5<br>-10,5 | +12,5<br>-12,5 | +15<br>-15   | +17,5<br>-17,5 | +20<br>-20     | +23<br>-23     | +26<br>-26     | +28,5<br>-28,5 | +31,5<br>-31,5 | +35<br>-35     | +40<br>-40     | +45<br>-45     |             |             |             |              |              |              |              |              |              |              |              |              |             |
| JS 8   | sup.<br>inf. | +9<br>-9                      | +11<br>-11   | +13,5<br>-13,5 | +16,5<br>-16,5 | +19,5<br>-19,5 | +23<br>-23   | +27<br>-27     | +31,5<br>-31,5 | +36<br>-36     | +40,5<br>-40,5 | +44,5<br>-44,5 | +48,5<br>-48,5 | +55<br>-55     | +62,5<br>-62,5 | +70<br>-70     |             |             |             |              |              |              |              |              |              |              |              |              |             |
| K 6    | sup.<br>inf. | +2<br>-6                      | +2<br>-7     | +2<br>-9       | +2<br>-11      | +3<br>-13      | +4<br>-15    | +4<br>-18      | +4<br>-21      | +5<br>-24      | +5<br>-27      | +7<br>-29      | +8<br>-32      | 0<br>-44       | 0<br>-50       | 0<br>-56       |             |             |             |              |              |              |              |              |              |              |              |              |             |
| K 7    | sup.<br>inf. | +3<br>-9                      | +5<br>-10    | +6<br>-12      | +6<br>-15      | +7<br>-18      | +9<br>-21    | +10<br>-25     | +12<br>-28     | +13<br>-33     | +16<br>-36     | +17<br>-40     | +18<br>-45     | 0<br>-70       | 0<br>-80       | 0<br>-90       |             |             |             |              |              |              |              |              |              |              |              |              |             |
| K 8    | sup.<br>inf. | +5<br>-13                     | +6<br>-16    | +8<br>-19      | +10<br>-23     | +12<br>-27     | +14<br>-32   | +16<br>-38     | +20<br>-43     | +22<br>-50     | +25<br>-56     | +28<br>-61     | +29<br>-68     | 0<br>-110      | 0<br>-125      | 0<br>-140      |             |             |             |              |              |              |              |              |              |              |              |              |             |
| M 6    | sup.<br>inf. | -1<br>-9                      | -3<br>-12    | -4<br>-15      | -4<br>-17      | -4<br>-20      | -5<br>-24    | -6<br>-28      | -8<br>-33      | -8<br>-37      | -9<br>-41      | -10<br>-46     | -10<br>-50     | -26<br>-70     | -30<br>-80     | -34<br>-90     |             |             |             |              |              |              |              |              |              |              |              |              |             |
| M 7    | sup.<br>inf. | 0<br>-12                      | 0<br>-15     | 0<br>-18       | 0<br>-21       | 0<br>-25       | 0<br>-30     | 0<br>-35       | 0<br>-40       | 0<br>-46       | 0<br>-52       | 0<br>-57       | 0<br>-63       | -26<br>-96     | -30<br>-110    | -34<br>-124    |             |             |             |              |              |              |              |              |              |              |              |              |             |
| M 8    | sup.<br>inf. | +2<br>-16                     | +1<br>-21    | +2<br>-25      | +4<br>-29      | +5<br>-34      | +5<br>-41    | +6<br>-48      | +8<br>-55      | +9<br>-63      | +9<br>-72      | +11<br>-86     | +11<br>-98     | -26<br>-136    | -30<br>-150    | -34<br>-174    |             |             |             |              |              |              |              |              |              |              |              |              |             |
| N 6    | sup.<br>inf. | -5<br>-13                     | -7<br>-16    | -9<br>-20      | -11<br>-24     | -12<br>-28     | -14<br>-33   | -16<br>-38     | -20<br>-45     | -22<br>-51     | -25<br>-57     | -26<br>-62     | -27<br>-67     | -44<br>-88     | -50<br>-100    | -56<br>-112    |             |             |             |              |              |              |              |              |              |              |              |              |             |
| N 7    | sup.<br>inf. | -4<br>-16                     | -4<br>-19    | -5<br>-23      | -7<br>-28      | -8<br>-33      | -9<br>-39    | -10<br>-45     | -12<br>-52     | -14<br>-60     | -14<br>-66     | -16<br>-73     | -17<br>-80     | -44<br>-114    | -50<br>-130    | -56<br>-146    |             |             |             |              |              |              |              |              |              |              |              |              |             |
| N 8    | sup.<br>inf. | -2<br>-20                     | -3<br>-25    | -3<br>-30      | -3<br>-36      | -3<br>-42      | -4<br>-50    | -4<br>-58      | -4<br>-67      | -5<br>-77      | -5<br>-86      | -5<br>-94      | -6<br>-103     | -44<br>-154    | -50<br>-170    | -56<br>-196    |             |             |             |              |              |              |              |              |              |              |              |              |             |
| P 6    | sup.<br>inf. | -9<br>-17                     | -12<br>-21   | -15<br>-26     | -18<br>-31     | -21<br>-37     | -26<br>-45   | -30<br>-52     | -36<br>-61     | -41<br>-70     | -47<br>-79     | -51<br>-87     | -55<br>-95     | -78<br>-122    | -88<br>-138    | -100<br>-156   |             |             |             |              |              |              |              |              |              |              |              |              |             |
| P 7    | sup.<br>inf. | -8<br>-20                     | -9<br>-24    | -11<br>-29     | -14<br>-35     | -17<br>-42     | -21<br>-51   | -24<br>-59     | -28<br>-68     | -33<br>-79     | -36<br>-88     | -41<br>-98     | -45<br>-108    | -78<br>-148    | -88<br>-168    | -100<br>-190   |             |             |             |              |              |              |              |              |              |              |              |              |             |
| P 8    | sup.<br>inf. | -12<br>-30                    | -15<br>-37   | -18<br>-45     | -22<br>-55     | -26<br>-65     | -32<br>-78   | -37<br>-91     | -43<br>-106    | -50<br>-122    | -56<br>-137    | -62<br>-151    | -68<br>-165    | -78<br>-188    | -88<br>-213    | -100<br>-240   |             |             |             |              |              |              |              |              |              |              |              |              |             |
| R 6    | sup.<br>inf. | -12<br>-20                    | -16<br>-25   | -20<br>-31     | -24<br>-37     | -29<br>-45     | -35<br>-54   | -37<br>-56     | -44<br>-66     | -47<br>-69     | -56<br>-81     | -58<br>-83     | -61<br>-86     | -68<br>-97     | -71<br>-100    | -75<br>-104    | -85<br>-117 | -89<br>-121 | -97<br>-133 | -103<br>-139 | -113<br>-153 | -119<br>-159 | -150<br>-194 | -155<br>-199 | -175<br>-225 | -185<br>-235 | -210<br>-266 | -220<br>-276 |             |
| R 7    | sup.<br>inf. | -11<br>-23                    | -13<br>-28   | -16<br>-34     | -20<br>-41     | -25<br>-50     | -30<br>-60   | -32<br>-62     | -38<br>-73     | -41<br>-76     | -48<br>-88     | -50<br>-90     | -53<br>-93     | -60<br>-106    | -63<br>-109    | -67<br>-113    | -74<br>-126 | -78<br>-130 | -87<br>-144 | -93<br>-150  | -103<br>-166 | -109<br>-172 | -150<br>-220 | -155<br>-225 | -175<br>-255 | -185<br>-265 | -210<br>-300 | -220<br>-310 |             |

Tabela 11-5 · Tolerâncias ISO para eixos (DIN ISO 286, Parte 2)

Medidas em µm

| Código | Límites      | Campo de medida nominal em mm |              |              |                |                |              |                |                |                |                |                |                |                |                |               |               |               |                |                |                |                |                |
|--------|--------------|-------------------------------|--------------|--------------|----------------|----------------|--------------|----------------|----------------|----------------|----------------|----------------|----------------|----------------|----------------|---------------|---------------|---------------|----------------|----------------|----------------|----------------|----------------|
|        |              | 3<br>de<br>6                  | 6<br>10      | 10<br>18     | 18<br>30       | 30<br>40       | 40<br>50     | 50<br>65       | 65<br>80       | 80<br>100      | 100<br>120     | 120<br>140     | 140<br>160     | 160<br>180     | 180<br>200     | 200<br>225    | 225<br>250    | 250<br>280    | 280<br>315     | 315<br>355     | 355<br>400     | 400<br>450     | 450<br>500     |
| a12    | sup.<br>inf. | -270<br>-390                  | 280<br>-430  | -290<br>-470 | -300<br>-510   | -310<br>-560   | -320<br>-570 | -340<br>-640   | -360<br>-660   | -380<br>-730   | -410<br>-760   | -460<br>-860   | -520<br>-920   | -580<br>-980   | -660<br>-1120  | -740<br>-1200 | -820<br>-1280 | -920<br>-1440 | -1050<br>-1570 | -1200<br>-1770 | -1350<br>-1920 | -1500<br>-2130 | -1650<br>-2280 |
| a13    | sup.<br>inf. | -270<br>-450                  | -280<br>-500 | -290<br>-560 | -300<br>-630   | -310<br>-700   | -320<br>-710 | -340<br>-800   | -360<br>-820   | -380<br>-920   | -410<br>-950   | -460<br>-1090  | -520<br>-1150  | -580<br>-1210  | -660<br>-1380  | -740<br>-1460 | -820<br>-1540 | -920<br>-1730 | -1050<br>-1860 | -1200<br>-2090 | -1350<br>-2240 | -1500<br>-2470 | -1650<br>-2620 |
| c13    | sup.<br>inf. | -70<br>-250                   | -80<br>-300  | -95<br>-365  | -110<br>-440   | -120<br>-510   | -130<br>-520 | -140<br>-600   | -150<br>-610   | -170<br>-710   | -180<br>-720   | -200<br>-830   | -210<br>-840   | -230<br>-860   | -240<br>-960   | -260<br>-980  | -280<br>-1000 | -300<br>-1110 | -330<br>-1140  | -360<br>-1250  | -400<br>-1290  | -440<br>-1410  | -480<br>-1450  |
| d6     | sup.<br>inf. | -30<br>-38                    | -40<br>-49   | -50<br>-61   | -65<br>-78     | -80<br>-96     | -100<br>-119 | -120<br>-142   | -145<br>-170   | -170<br>-199   | -190<br>-222   | -210<br>-246   | -230<br>-270   | -250<br>-280   | -280<br>-320   | -310<br>-360  | -340<br>-400  | -370<br>-440  | -410<br>-490   | -450<br>-540   | -500<br>-600   | -550<br>-660   | -600<br>-720   |
| e6     | sup.<br>inf. | -20<br>-28                    | -25<br>-34   | -32<br>-43   | -40<br>-53     | -50<br>-66     | -60<br>-79   | -72<br>-94     | -85<br>-110    | -100<br>-129   | -110<br>-142   | -125<br>-161   | -135<br>-175   | -150<br>-195   | -170<br>-210   | -190<br>-235  | -210<br>-260  | -230<br>-290  | -260<br>-330   | -290<br>-370   | -330<br>-420   | -370<br>-470   | -410<br>-520   |
| e13    | sup.<br>inf. | -20<br>-200                   | -25<br>-245  | -32<br>-302  | -40<br>-370    | -50<br>-440    | -60<br>-520  | -72<br>-612    | -85<br>-715    | -100<br>-820   | -110<br>-920   | -125<br>-1015  | -135<br>-1105  | -150<br>-1300  | -170<br>-1510  | -190<br>-1730 | -210<br>-1960 | -230<br>-2110 | -260<br>-2460  | -290<br>-2810  | -330<br>-3260  | -370<br>-3710  | -410<br>-4160  |
| f5     | sup.<br>inf. | -10<br>-15                    | -13<br>-19   | -16<br>-24   | -20<br>-29     | -25<br>-36     | -30<br>-43   | -36<br>-51     | -43<br>-61     | -50<br>-70     | -56<br>-79     | -62<br>-87     | -68<br>-95     | -75<br>-105    | -85<br>-115    | -95<br>-135   | -105<br>-155  | -115<br>-165  | -130<br>-180   | -145<br>-205   | -160<br>-230   | -175<br>-255   | -190<br>-280   |
| f6     | sup.<br>inf. | -10<br>-18                    | -13<br>-22   | -16<br>-27   | -20<br>-33     | -25<br>-41     | -30<br>-49   | -36<br>-58     | -43<br>-68     | -50<br>-79     | -56<br>-88     | -62<br>-98     | -68<br>-108    | -75<br>-115    | -85<br>-135    | -95<br>-155   | -105<br>-165  | -115<br>-185  | -130<br>-200   | -145<br>-230   | -160<br>-250   | -175<br>-280   | -190<br>-310   |
| f7     | sup.<br>inf. | -10<br>-22                    | -13<br>-28   | -16<br>-34   | -20<br>-41     | -25<br>-50     | -30<br>-60   | -36<br>-71     | -43<br>-83     | -50<br>-96     | -56<br>-108    | -62<br>-119    | -68<br>-131    | -75<br>-151    | -85<br>-181    | -95<br>-211   | -105<br>-241  | -115<br>-271  | -130<br>-310   | -145<br>-340   | -160<br>-380   | -175<br>-420   | -190<br>-460   |
| g5     | sup.<br>inf. | -4<br>-9                      | -5<br>-11    | -6<br>-14    | -7<br>-16      | -9<br>-20      | -10<br>-23   | -12<br>-27     | -14<br>-32     | -15<br>-35     | -17<br>-40     | -18<br>-47     | -20<br>-54     | -22<br>-63     | -25<br>-75     | -30<br>-90    | -35<br>-105   | -40<br>-120   | -45<br>-150    | -50<br>-180    | -55<br>-210    | -60<br>-240    | -65<br>-280    |
| g6     | sup.<br>inf. | -4<br>-12                     | -5<br>-14    | -6<br>-17    | -7<br>-20      | -9<br>-25      | -10<br>-29   | -12<br>-34     | -14<br>-39     | -15<br>-44     | -17<br>-49     | -18<br>-54     | -20<br>-60     | -22<br>-69     | -25<br>-85     | -30<br>-105   | -35<br>-125   | -40<br>-150   | -45<br>-180    | -50<br>-210    | -55<br>-240    | -60<br>-280    | -65<br>-320    |
| g7     | sup.<br>inf. | -4<br>-16                     | -5<br>-20    | -6<br>-24    | -7<br>-28      | -9<br>-34      | -10<br>-40   | -12<br>-47     | -14<br>-54     | -15<br>-61     | -17<br>-69     | -18<br>-75     | -20<br>-83     | -22<br>-99     | -25<br>-125    | -30<br>-150   | -35<br>-180   | -40<br>-210   | -45<br>-240    | -50<br>-280    | -55<br>-320    | -60<br>-360    | -65<br>-400    |
| h4     | sup.<br>inf. | 0<br>-4                       | 0<br>-4      | 0<br>-5      | 0<br>-6        | 0<br>-7        | 0<br>-8      | 0<br>-10       | 0<br>-12       | 0<br>-14       | 0<br>-16       | 0<br>-18       | 0<br>-20       | 0<br>-22       | 0<br>-25       | 0<br>-29      | 0<br>-32      | 0<br>-36      | 0<br>-40       | 0<br>-45       | 0<br>-50       | 0<br>-55       | 0<br>-60       |
| h5     | sup.<br>inf. | 0<br>-5                       | 0<br>-6      | 0<br>-8      | 0<br>-9        | 0<br>-11       | 0<br>-13     | 0<br>-15       | 0<br>-18       | 0<br>-20       | 0<br>-23       | 0<br>-25       | 0<br>-28       | 0<br>-32       | 0<br>-36       | 0<br>-40      | 0<br>-45      | 0<br>-50      | 0<br>-55       | 0<br>-60       | 0<br>-65       | 0<br>-70       | 0<br>-75       |
| h6     | sup.<br>inf. | 0<br>-8                       | 0<br>-9      | 0<br>-11     | 0<br>-13       | 0<br>-16       | 0<br>-19     | 0<br>-22       | 0<br>-25       | 0<br>-29       | 0<br>-32       | 0<br>-36       | 0<br>-40       | 0<br>-45       | 0<br>-50       | 0<br>-55      | 0<br>-60      | 0<br>-65      | 0<br>-70       | 0<br>-75       | 0<br>-80       | 0<br>-85       | 0<br>-90       |
| h7     | sup.<br>inf. | 0<br>-12                      | 0<br>-15     | 0<br>-18     | 0<br>-21       | 0<br>-25       | 0<br>-30     | 0<br>-35       | 0<br>-40       | 0<br>-46       | 0<br>-52       | 0<br>-57       | 0<br>-63       | 0<br>-69       | 0<br>-75       | 0<br>-82      | 0<br>-88      | 0<br>-95      | 0<br>-102      | 0<br>-110      | 0<br>-117      | 0<br>-125      | 0<br>-132      |
| h8     | sup.<br>inf. | 0<br>-18                      | 0<br>-22     | 0<br>-27     | 0<br>-33       | 0<br>-39       | 0<br>-46     | 0<br>-54       | 0<br>-63       | 0<br>-72       | 0<br>-81       | 0<br>-89       | 0<br>-97       | 0<br>-107      | 0<br>-117      | 0<br>-127     | 0<br>-137     | 0<br>-147     | 0<br>-157      | 0<br>-167      | 0<br>-177      | 0<br>-187      | 0<br>-197      |
| h10    | sup.<br>inf. | 0<br>-48                      | 0<br>-58     | 0<br>-70     | 0<br>-84       | 0<br>-100      | 0<br>-120    | 0<br>-140      | 0<br>-160      | 0<br>-185      | 0<br>-210      | 0<br>-230      | 0<br>-250      | 0<br>-280      | 0<br>-310      | 0<br>-340     | 0<br>-370     | 0<br>-400     | 0<br>-430      | 0<br>-460      | 0<br>-490      | 0<br>-520      | 0<br>-550      |
| h11    | sup.<br>inf. | 0<br>-75                      | 0<br>-90     | 0<br>-110    | 0<br>-130      | 0<br>-160      | 0<br>-190    | 0<br>-220      | 0<br>-250      | 0<br>-290      | 0<br>-320      | 0<br>-360      | 0<br>-400      | 0<br>-450      | 0<br>-490      | 0<br>-540     | 0<br>-590     | 0<br>-640     | 0<br>-690      | 0<br>-740      | 0<br>-790      | 0<br>-840      | 0<br>-890      |
| h12    | sup.<br>inf. | 0<br>-120                     | 0<br>-150    | 0<br>-180    | 0<br>-210      | 0<br>-250      | 0<br>-300    | 0<br>-350      | 0<br>-400      | 0<br>-460      | 0<br>-520      | 0<br>-570      | 0<br>-630      | 0<br>-690      | 0<br>-750      | 0<br>-810     | 0<br>-870     | 0<br>-930     | 0<br>-990      | 0<br>-1050     | 0<br>-1110     | 0<br>-1170     | 0<br>-1230     |
| j5     | sup.<br>inf. | +3<br>-2                      | +4<br>-2     | +5<br>-3     | +5<br>-4       | +6<br>-5       | +6<br>-7     | +6<br>-9       | +7<br>-11      | +7<br>-13      | +7<br>-16      | +7<br>-18      | +7<br>-20      | +7<br>-23      | +7<br>-27      | +7<br>-31     | +7<br>-35     | +7<br>-39     | +7<br>-43      | +7<br>-47      | +7<br>-51      | +7<br>-55      | +7<br>-59      |
| j6     | sup.<br>inf. | +6<br>-2                      | +7<br>-2     | +8<br>-3     | +9<br>-4       | +11<br>-5      | +12<br>-7    | +13<br>-9      | +14<br>-11     | +16<br>-13     | +16<br>-16     | +18<br>-18     | +20<br>-20     | +22<br>-22     | +25<br>-25     | +28<br>-28    | +32<br>-32    | +36<br>-36    | +40<br>-40     | +45<br>-45     | +50<br>-45     | +55<br>-50     | +60<br>-55     |
| j7     | sup.<br>inf. | +8<br>-4                      | +10<br>-5    | +12<br>-6    | +13<br>-8      | +15<br>-10     | +18<br>-12   | +20<br>-15     | +22<br>-18     | +25<br>-21     | +28<br>-24     | +32<br>-28     | +36<br>-32     | +40<br>-36     | +45<br>-41     | +50<br>-46    | +55<br>-51    | +60<br>-56    | +65<br>-61     | +70<br>-66     | +75<br>-71     | +80<br>-76     | +85<br>-81     |
| js5    | sup.<br>inf. | +2,5<br>-2,5                  | +3<br>-3     | +4<br>-4     | +4,5<br>-4,5   | +5,5<br>-5,5   | +6,5<br>-6,5 | +7,5<br>-7,5   | +9<br>-9       | +10<br>-10     | +11,5<br>-11,5 | +12,5<br>-12,5 | +13,5<br>-13,5 | +15<br>-15     | +17,5<br>-17,5 | +20<br>-20    | +23<br>-23    | +26<br>-26    | +29<br>-29     | +32<br>-32     | +36<br>-36     | +40<br>-40     | +45<br>-45     |
| js6    | sup.<br>inf. | +4<br>-4                      | +4,5<br>-4,5 | +5,5<br>-5,5 | +6,5<br>-6,5   | +8<br>-8       | +9,5<br>-9,5 | +11<br>-11     | +12,5<br>-12,5 | +14,5<br>-14,5 | +16<br>-16     | +18<br>-18     | +20<br>-20     | +22,5<br>-22,5 | +25<br>-25     | +28<br>-28    | +32<br>-32    | +36<br>-36    | +40<br>-40     | +45<br>-45     | +50<br>-50     | +55<br>-55     | +60<br>-60     |
| js7    | sup.<br>inf. | +6<br>-6                      | +7,5<br>-7,5 | +9<br>-9     | +10,5<br>-10,5 | +12,5<br>-12,5 | +15<br>-15   | +17,5<br>-17,5 | +20<br>-20     | +23<br>-23     | +26<br>-26     | +29<br>-29     | +32,5<br>-32,5 | +36<br>-36     | +40<br>-40     | +45<br>-45    | +50<br>-50    | +55<br>-55    | +60<br>-60     | +65<br>-65     | +70<br>-70     | +75<br>-75     | +80<br>-80     |
| k5     | sup.<br>inf. | +6<br>+1                      | +7<br>+1     | +9<br>+1     | +11<br>+2      | +13<br>+2      | +15<br>+2    | +18<br>+3      | +21<br>+3      | +24<br>+4      | +27<br>+4      | +29<br>+4      | +32<br>+5      | +36<br>+5      | +40<br>+5      | +45<br>+5     | +50<br>+5     | +55<br>+5     | +60<br>+5      | +65<br>+5      | +70<br>+5      | +75<br>+5      | +80<br>+5      |
| k6     | sup.<br>inf. | +9<br>+1                      | +10<br>+1    | +12<br>+1    | +15<br>+2      | +18<br>+2      | +21<br>+2    | +25<br>+3      | +28<br>+3      | +33<br>+4      | +36<br>+4      | +40<br>+4      | +45<br>+4      | +50<br>+4      | +55<br>+4      | +60<br>+4     | +65<br>+4     | +70<br>+4     | +75<br>+4      | +80<br>+4      | +85<br>+4      | +90<br>+4      | +95<br>+4      |
| k7     | sup.<br>inf. | +13<br>+1                     | +16<br>+1    | +19<br>+1    | +23<br>+2      | +27<br>+2      | +32<br>+2    | +38<br>+3      | +43<br>+3      | +50<br>+4      | +56<br>+4      | +61<br>+4      | +68<br>+5      | +75<br>+5      | +82<br>+5      | +90<br>+5     | +98<br>+5     | +105<br>+5    | +115<br>+5     | +125<br>+5     | +135<br>+5     | +145<br>+5     | +155<br>+5     |
| m5     | sup.<br>inf. | +9<br>+4                      | +12<br>+6    | +15<br>+7    | +17<br>+8      | +20<br>+9      | +24<br>+11   | +28<br>+13     | +33<br>+15     | +37<br>+17     | +43<br>+20     | +46<br>+21     | +50<br>+23     | +55<br>+25     | +60<br>+27     | +65<br>+29    | +70<br>+31    | +75<br>+33    | +80<br>+35     | +85<br>+37     | +90<br>+39     | +95<br>+41     | +100<br>+43    |
| m6     | sup.<br>inf. | +12<br>+4                     | +15<br>+6    | +18<br>+7    | +21<br>+8      | +25<br>+9      | +30<br>+11   | +35<br>+13     | +40<br>+15     | +46<br>+17     | +52<br>+20     | +57<br>+21     | +63<br>+23     | +68<br>+25     | +75<br>+27     | +82<br>+29    | +90<br>+31    | +98<br>+33    | +105<br>+35    | +115<br>+37    | +125<br>+39    | +135<br>+41    | +145<br>+43    |
| m7     | sup.<br>inf. | +16<br>+4                     | +21<br>+6    | +25<br>+7    | +29<br>+8      | +34<br>+9      | +41<br>+11   | +48<br>+13     | +55<br>+15     | +63<br>+17     | +72<br>+20     | +78<br>+21     | +86<br>+23     | +95<br>+25     | +105<br>+27    | +115<br>+29   | +125<br>+31   | +135<br>+33   | +145<br>+35    | +155<br>+37    | +165<br>+39    | +175<br>+41    | +185<br>+43    |
| n5     | sup.<br>inf. | +13<br>+8                     | +16<br>+10   | +20<br>+12   | +24<br>+15     | +28<br>+17     | +33<br>+20   | +38<br>+23     | +45<br>+27     | +51<br>+31     | +57<br>+34     | +62<br>+37     | +67<br>+40     | +75<br>+43     | +82<br>+45     | +90<br>+47    | +98<br>+49    | +105<br>+51   | +115<br>+53    | +125<br>+55    | +135<br>+57    | +145<br>+59    | +155<br>+61    |
| n6     | sup.<br>inf. | +16<br>+8                     | +19<br>+10   | +23<br>+12   | +28<br>+15     | +33<br>+17     | +39<br>+20   | +45<br>+23     | +52<br>+27     | +60<br>+31     | +66<br>+34     | +73<br>+37     | +80<br>+40     | +88<br>+43     | +98<br>+47     | +105<br>+49   | +115<br>+51   | +125<br>+53   | +135<br>+55    | +145<br>+57    | +155<br>+59    | +165<br>+61    | +175<br>+63    |
| n7     | sup.<br>inf. | +20<br>+8                     | +25<br>+10   | +30<br>+12   | +36<br>+15     | +42<br>+17     | +50<br>+20   | +58<br>+23     | +67<br>+27     | +77<br>+31     | +86<br>+34     | +94<br>+37     | +103<br>+40    | +115<br>+43    | +125<br>+45    | +135<br>+47   | +145<br>+49   | +155<br>+51   | +165<br>+53    | +175<br>+55    | +185<br>+57    | +195<br>+59    | +205<br>+61    |
| p5     | sup.<br>inf. | +17<br>+12                    | +21<br>+15   | +26<br>+18   | +31<br>+22     | +37<br>+26     | +45<br>+32   | +52<br>+37     | +61<br>+43     | +70<br>+50     | +79<br>+56     | +87<br>+62     | +95<br>+68     | +105<br>+75    | +115<br>+81    | +125<br>+87   | +135<br>+93   | +145<br>+99   | +155<br>+105   | +165<br>+111   | +175<br>+117   | +185<br>+123   | +195<br>+129   |
| p6     | sup.<br>inf. | +20<br>+12                    | +24<br>+15   | +29<br>+18   | +35<br>+22     | +42<br>+26     | +51<br>+32   | +59<br>+37     | +68<br>+43     | +79<br>+50     | +88<br>+56     | +98<br>+62     | +108<br>+68    | +118<br>+75    | +128<br>+81    | +138<br>+87   | +148<br>+93   | +158<br>+99   | +168<br>+105   | +178<br>+111   | +188<br>+117   | +198<br>+123   | +208<br>+129   |
| r6     | sup.<br>inf. | +23<br>+15                    | +28<br>+19   | +34<br>+23   | +41<br>+28     | +50<br>+34     | +60<br>+41   | +62<br>+43     | +73<br>+51     | +76<br>+54     | +88<br>+63     | +90<br>+65     | +93<br>+68     | +106<br>+77    | +109<br>+80    | +113<br>+84   | +126<br>+94   | +130<br>+98   | +144<br>+108   | +150<br>+114   | +166<br>+126   | +172<br>+132   | +188<br>+144   |

## B Tipos de rolamentos

Descrição do produto e tabelas de medidas

**Programa de rolamentos**

|  |     |
|--|-----|
| Gaiolas de agulhas   | 62  |
| Gaiolas de agulhas para bielas   | 66  |
| Buchas de agulhas  | 72  |
| Rolamentos de agulhas  | 76  |
| Rolamentos de esferas  | 81  |
| Rolamentos de rodas para veículos de passeio                                 | 83  |
| Gaiolas axiais de agulhas  | 85  |
| Anéis internos   | 87  |
| Rótulas radiais  | 89  |
| Rolamentos axiais para suspensão de veículos                                 | 91  |
| Rolamentos de rolos cilíndricos  | 93  |
| Rolamentos de embreagem  | 97  |
| Polias tensoras  | 101 |
| Rolamentos de bomba d'água   | 104 |
| Rolamentos têxteis   | 108 |
| Agulhas e rolos cilíndricos  | 110 |
| Roldanas de esferas  | 114 |
| Rolamentos de esferas de fixação rápida                                      | 116 |
| Mancais de ferro fundido e de chapa  | 117 |
| Mancais de chapa   | 131 |
| Rolamentos de esferas especiais  | 136 |
| Rolamentos de esferas de fixação rápida com anel de borracha                 | 137 |
| Rolamentos de esferas especiais com furo sextavado                           | 138 |
| Instruções para montagem de rolamentos de esferas de fixação rápida          | 139 |
| Produtos diversos  | 140 |
| Fábricas INA no Brasil e no Exterior   | 146 |
| Filiais no Exterior<br>Representações no Exterior<br>Representações técnicas | 147 |

# Gaiolas de agulhas

| Descrição do produto           | Página |
|--------------------------------|--------|
| Gaiolas de agulhas             | 62     |
| Gaiolas de agulhas para bielas | 66     |

As gaiolas de agulhas INA permitem aplicações com elevada precisão, capacidade de carga e rigidez em um reduzido espaço radial. Para tanto é necessário que eixos e alojamentos sejam adequados como pistas de rolamentos.

## Gaiola de agulhas K

A gaiola de agulhas K é um elemento de rolamento independente e compreende uma gaiola e agulhas.

A superfície de contato das agulhas é abaulada na direção das pontas. Esta forma diminui os picos de tensões nas pontas dos corpos rolantes sob carga e flexão do eixo.

As agulhas são guiadas individualmente com precisão nas janelas da gaiola, o que permite rotações maiores que rolamentos sem gaiola e facilita a sua montagem.

A gaiola pode ser de aço, plástico (pequenos diâmetros, sufixo TN) ou latão (grandes diâmetros). A guia radial da gaiola é efetuada pelos corpos rolantes ou pela superfície da gaiola.

A gaiola de agulhas K pode ser de uma ou duas carreiras. A construção em duas carreiras tem o sufixo ZW.

Tabela 1 · Par de grupos de classificação das agulhas

|                  | Par de grupos  | Classificação da agulha em $\mu\text{m}$ |
|------------------|----------------|--|
| Grupos normais   | Vermelho       | 0 - 2 / -1 - 3                           |
|                  | Azul           | -2 - 4 / -3 - 5                          |
|                  | Branco (cinza) | -4 - 6 / -5 - 7                          |
| Grupos especiais | Verde          | -6 - 8 / -7 - 9                          |
|                  | Amarelo        | -8 -10 / -9 -11                          |

**Formas construtivas** · Gaiolas de agulhas INA existem nas seguintes construções:

| Série | Características                           |
|-------|---|
| K     | Gaiola de agulhas de uma e duas carreiras |

## Precisão

As gaiolas de agulhas série K têm agulhas da classe de qualidade G2, segundo Norma DIN 5 402 (vide também capítulo *Agulhas* pág.110).

As agulhas se classificam em grupos de acordo com as variações do seu diâmetro em relação ao diâmetro nominal. Um grupo de classificação é caracterizado pela medida máxima e mínima (em  $\mu\text{m}$ ) do diâmetro, com tolerância máxima de 2  $\mu\text{m}$ .

Na tabela 1 figuram os grupos normais e especiais de agulhas, assim como os pares de grupos de classificação das mesmas.

A INA fornece as gaiolas de agulhas com agulhas de classificação normal, salvo solicitação especial.

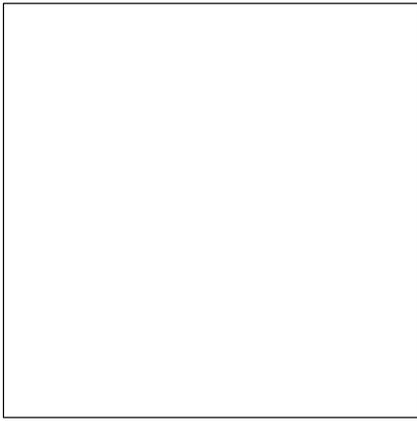
Numa gaiola de agulhas são utilizadas agulhas de um mesmo grupo e o grupo de agulhas está impresso na embalagem.

Com os grupos de classificação normal de agulhas, obtém-se uma folga de funcionamento suficiente para a maioria das aplicações, desde que se observem as tolerâncias de montagem indicadas na tabela 2.

Para se conseguir uma determinada folga radial, é recomendado escolher um certo grupo de classificação, segundo um plano de agrupamento (exemplo de plano de classificação pág. 69).

## Montagem em par:

Se várias gaiolas são montadas juntas numa mesma pista interna e externa, é necessário que as agulhas das mesmas pertençam a um único grupo de classificação, para que a carga seja distribuída uniformemente entre todas as gaiolas.



Gaiola de agulhas K

Sob consulta, a INA pode fornecer gaiolas de agulhas em execução especial:

- com agulhas de um determinado grupo de classificação dentro do campo 0 -2 até -5 -7 (vermelho, azul ou branco). Desta forma se atinge uma folga radial com variação menor. A escolha deverá depender das medidas efetivas das pistas
- com agulhas de grupo de classificação -6 -8/-7 -9 ou -8 -10/-9 -11 (verde ou amarelo)
- partidas para pistas rebaixadas no eixo (sufixo D).

#### Configuração das pistas

Eixo e alojamento devem ser construídos como pistas de rolamentos.

Vide instruções no parágrafo 9.1, pág. 43.

Para uma aplicação de alta precisão, as pistas deverão ser construídas com tolerâncias estreitas.

A folga radial de funcionamento é determinada pelas tolerâncias da pista interna e externa, pelo grupo de classificação das agulhas e pela temperatura de funcionamento.

Os campos de tolerância são escolhidos segundo a tabela 2, dependendo das condições de funcionamento de cada caso.

A largura  $B_c$  da gaiola de agulhas (vide tabela de medidas), é menor que a medida nominal em consideração à folga axial necessária.

A distância axial entre as superfícies de encosto para as gaiolas de agulhas deve ser  $B_c$  com tolerância H11.

Na prática se adota  $B_c +0,2$  mm.

Tabela 2 · Tolerâncias de montagem

| Diâmetro nominal do eixo<br>mm |     | Campo de tolerância do alojamento | Campo de tolerância do eixo<br>Folga radial de funcionamento |        |       |
|--------------------------------|-----|-----------------------------------|--|--------|-------|
| acima de                       | até |                                   | menor  | normal | maior |
| -                              | 80  | G6                                | j5   | h5     | g6    |
|                                |     | H6                                | h5   | g5     | f6    |
| 80                             | 140 | G6                                | h5   | g5     | f6    |
| 140                            | -   | G6                                | h5   | g5     | f6    |
|                                |     | H6                                | -  | f5     | e6    |

#### Exemplo de pedido 1

Gaiola de agulhas da série K, de uma carreira:

Diâmetro do eixo: 24 mm

Diâmetro do alojamento: 28 mm

Largura: 10 mm.

Grupo de classificação das agulhas 0 -2 até -5 -7 (vermelho, azul ou branco)

|                     |                |
|---------------------|----------------|
| Descrição do pedido | K 24 × 28 × 10 |
| Referência          |                |

#### Exemplo de pedido 2

Gaiola de agulhas da série K, de duas carreiras:

Diâmetro do eixo: 32 mm

Diâmetro do alojamento: 40 mm

Largura: 42 mm.

Grupo de classificação das agulhas -2 -4 / -3 -5 (azul)

|  |                      |                       |
|--|----------------------|-----------------------|
| Descrição do pedido  | K 32 × 40 × 42 ZW TN | SORT<br>-2 -4 / -3 -5 |
| Referência   |                      |                       |
| Precisão<br>(Execução especial: seleção de um par de grupos) |                      |                       |

#### Informações técnicas complementares

- ⚠ Na parte do catálogo *Fundamentos da técnica de rolamentos* (pág. 10).
- Lubrificação* (pág. 25)
- deve-se considerar em todos os casos.

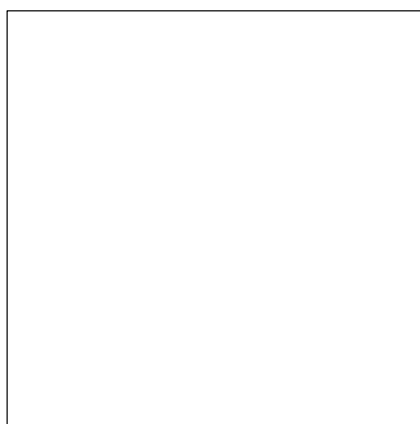
#### Sufixos para execuções especiais

No capítulo - *Índice de sufixos* (pág. 8).

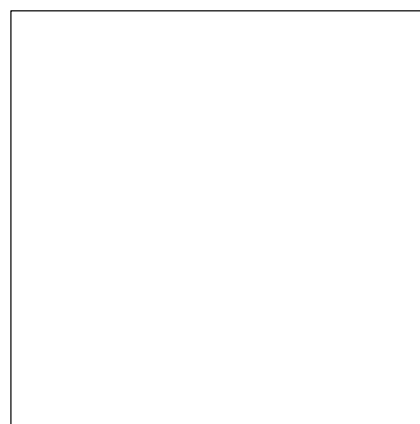
# Gaiolas de agulhas

Série K

| Tabela de medidas - Medidas em mm |                             |                |                |                |                            |                             |   |       |            |      |
|-----------------------------------|-----------------------------|----------------|----------------|----------------|----------------------------|-----------------------------|---|-------|------------|------|
| Diâmetro nominal do eixo          | Código                      | Medidas        |                |                | Capacidade básica de carga |                             | Rotações máximas <sup>1)</sup><br>min <sup>-1</sup> | Forma | Peso<br>kg | 2)   |
|                                   |                             | F <sub>w</sub> | E <sub>w</sub> | B <sub>c</sub> | din.<br>C<br>N             | est.<br>C <sub>0</sub><br>N |   |       |            |      |
| <b>8</b>                          | <b>K 8 × 11 × 10 TN</b>     | 8              | 11             | 10             | 3 950                      | 4 100                       | 32 000  | A     | 0,0012     | TN   |
| <b>10</b>                         | <b>K 10 × 13 × 10 TN</b>    | 10             | 13             | 10             | 4 750                      | 5 500                       | 29 000  | A     | 0,0016     | TN   |
| <b>12</b>                         | <b>F-91 662</b>             | 12             | 16             | 24             | 12 100                     | 16 100                      | 27 000  | B     | 0,0066     | TN   |
| <b>14</b>                         | <b>K 14 × 18 × 15 TN</b>    | 14             | 18             | 15             | 9 500                      | 12 300                      | 25 000  | A     | 0,0049     | TN   |
| <b>15</b>                         | <b>K 15 × 18 × 17 TN</b>    | 15             | 18             | 17             | 8 000                      | 12 100                      | 25 000  | A     | 0,0036     | TN   |
|                                   | <b>F-45 928</b>             | 15             | 19             | 22             | 11 500                     | 16 100                      | 24 000  | B     | 0,0067     | TN   |
| <b>17</b>                         | <b>K 17 × 21 × 17</b>       | 17             | 21             | 17             | 12 200                     | 17 900                      | 23 000  | A     | 0,0095     | -    |
| <b>18</b>                         | <b>F-91 449</b>             | 18             | 22             | 35             | 15 000                     | 23 800                      | 22 000  | B     | 0,0103     | TN   |
| <b>20</b>                         | <b>K 20 × 26 × 17</b>       | 20             | 26             | 17             | 19 200                     | 26 000                      | 21 000  | A     | 0,0161     | -    |
| <b>22</b>                         | <b>K 22 × 27 × 40</b>       | 22             | 27             | 40             | 28 000                     | 48 500                      | 19 000  | B     | 0,0238     | TN   |
| <b>24</b>                         | <b>K 24 × 28 × 10</b>       | 24             | 28             | 10             | 9 600                      | 14 800                      | 19 000  | A     | 0,0077     | -    |
|                                   | <b>K 24 × 28 × 13</b>       | 24             | 28             | 13             | 11 000                     | 17 600                      | 19 000  | A     | 0,0106     | -    |
| <b>25,4</b>                       | <b>C 16 21 12</b>           | 25,4           | 33,336         | 19,25          | 28 500                     | 38 000                      | 17 000  | A     | 0,0320     | -    |
|                                   | <b>C 16 21 16</b>           | 25,4           | 33,336         | 25,6           | 36 500                     | 53 000                      | 17 000  | A     | 0,0426     | -    |
| <b>26</b>                         | <b>F-91 680</b>             | 26             | 30             | 46,4           | 22 300                     | 44 500                      | 18 000  | B     | 0,0350     | TN   |
| <b>27</b>                         | <b>F-54 217</b>             | 27             | 32             | 23             | 20 700                     | 35 000                      | 16 000  | A     | 0,0160     | TN** |
| <b>28</b>                         | <b>F-58 529</b>             | 28             | 38             | 25             | 39 000                     | 51 000                      | 13 000  | A     | 0,0479     | TN   |
|                                   | <b>F-44 468</b>             | 28             | 44             | 24             | 49 500                     | 48 000                      | 12 000  | A     | 0,1160     | M    |
|                                   | <b>F-53 381</b>             | 28             | 44             | 24             | 52 000                     | 56 000                      | 12 000  | A     | 0,0960     | -    |
|                                   | <b>F-59 345</b>             | 28             | 46             | 31             | 69 000                     | 70 000                      | 11 000  | A     | 0,1355     | TN   |
|                                   | <b>F-44 920.1</b>           | 28             | 48             | 24             | 61 000                     | 56 000                      | 11 000  | A     | 0,1550     | M    |
| <b>28,575</b>                     | <b>F-54 970</b>             | 28,575         | 41,275         | 33,55          | 63 000                     | 81 000                      | 12 000  | A     | 0,1056     | -    |
| <b>30</b>                         | <b>F-218 709-120</b>        | 30             | 34             | 17,2           | 13 500                     | 24 500                      | 13 000  | A     | 0,0200     | TN** |
| <b>31</b>                         | <b>F-207 909.1</b>          | 31             | 35             | 25             | 19 000                     | 38 500                      | 13 000  | B     | 0,0100     | TN** |
|                                   | <b>F-58 695</b>             | 31             | 51             | 31             | 84 000                     | 86 000                      | 13 000  | A     | 0,1780     | TN   |
| <b>32</b>                         | <b>F-54 208</b>             | 32             | 37             | 20             | 18 700                     | 32 500                      | 14 000  | A     | 0,0150     | TN** |
|                                   | <b>K 32 × 37 × 28 TN</b>    | 32             | 37             | 28             | 23 600                     | 43 500                      | 14 000  | A     | 0,0209     | TN   |
|                                   | <b>K 32 × 38 × 26 TN</b>    | 32             | 38             | 26             | 27 500                     | 46 500                      | 14 000  | A     | 0,0264     | TN*  |
|                                   | <b>K 32 × 40 × 42 ZW TN</b> | 32             | 40             | 42             | 50 000                     | 84 000                      | 14 000  | B     | 0,0771     | TN   |
| <b>34</b>                         | <b>K 34 × 42 × 38</b>       | 34             | 42             | 38             | 49 500                     | 84 000                      | 11 000  | A     | 0,1134     | -    |
| <b>35</b>                         | <b>F-207 908.3</b>          | 35             | 39             | 25,5           | 20 600                     | 44 500                      | 13 000  | B     | 0,0180     | TN** |
|                                   | <b>F-219 529.1</b>          | 35             | 40             | 24             | 27 500                     | 56 000                      | 13 000  | A     | 0,0230     | TN** |
|                                   | <b>K 35 × 40 × 26 ZW</b>    | 35             | 40             | 26             | 25 500                     | 50 000                      | 13 000  | B     | 0,0410     | -    |
|                                   | <b>K 35 × 45 × 20</b>       | 35             | 45             | 20             | 37 000                     | 50 000                      | 12 000  | A     | 0,0555     | -    |



Forma A



Forma B

**Tabela de medidas** · Medidas em mm

| Diâmetro nominal do eixo | Código            | Medidas        |                |                | Capacidade básica de carga |                             | Rotações máximas <sup>1)</sup><br>min <sup>-1</sup> | Forma | Peso<br>kg | 2)   |
|--------------------------|-------------------|----------------|----------------|----------------|----------------------------|-----------------------------|---|-------|------------|------|
|                          |                   | F <sub>w</sub> | E <sub>w</sub> | B <sub>c</sub> | din.<br>C<br>N             | est.<br>C <sub>0</sub><br>N |   |       |            |      |
| 37                       | F-222 813         | 37             | 41             | 15,7           | 14 100                     | 27 500                      | 12 000  | A     | 0,0110     | TN** |
|                          | K 37 × 44 × 18    | 37             | 44             | 18             | 28 000                     | 45 500                      | 12 000  | A     | 0,0348     | -    |
| 38                       | F-219 528.1       | 38             | 43             | 25,2           | 29 000                     | 61 000                      | 12 000  | A     | 0,0280     | TN** |
|                          | F-204 333.3       | 38             | 43             | 29,7           | 29 500                     | 62 000                      | 12 000  | B     | 0,0190     | TN** |
| 39,543                   | F-94 488          | 39,543         | 47,495         | 37,6           | 51 000                     | 91 000                      | 11 000  | B     | 0,1105     | -    |
| 40                       | K 40 × 45 × 17    | 40             | 45             | 17             | 21 400                     | 41 500                      | 12 000  | A     | 0,0228     | -    |
|                          | K 40 × 48 × 20    | 40             | 48             | 20             | 36 000                     | 59 000                      | 11 000  | A     | 0,0560     | -    |
|                          | F-44 469.1        | 40             | 56             | 25,2           | 64 000                     | 72 000                      | 9 000   | A     | 0,1597     | LP   |
| 45                       | K 45 × 52 × 21 TN | 45             | 52             | 21             | 30 000                     | 52 000                      | 10 000  | A     | 0,0345     | TN*  |
|                          | K 45 × 53 × 21 TN | 45             | 53             | 21             | 38 500                     | 67 000                      | 10 000  | A     | 0,0586     | -    |
| 50                       | K 50 × 55 × 20    | 50             | 55             | 20             | 28 500                     | 65 000                      | 9 500   | A     | 0,0430     | -    |
| 51                       | K 51 × 58 × 28    | 51             | 58             | 28             | 44 500                     | 92 000                      | 7 500   | A     | 0,0844     | -    |
| 52                       | F-84 003          | 52             | 59             | 38             | 51 000                     | 110 000                     | 7 500   | B     | 0,1249     | -    |
| 53,460                   | F-45 517          | 53,46          | 59,46          | 16,6           | 27 500                     | 56 000                      | 7 500   | A     | 0,0364     | -    |
|                          | F-218 120         | 53,46          | 61,46          | 35             | 59 000                     | 121 000                     | 7 000   | B     | 0,0870     | TN   |
| 55                       | K 55 × 60 × 20    | 55             | 60             | 20             | 28 500                     | 66 000                      | 8 500   | A     | 0,0476     | -    |
| 55,562                   | F-54 686          | 55,562         | 65,088         | 19,25          | 44 500                     | 76 000                      | 8 000   | A     | 0,0800     | -    |
|                          | F-55 326          | 55,562         | 65,088         | 25,6           | 58 000                     | 107 000                     | 8 000   | A     | 0,1100     | -    |
| 57,290                   | F-94 490          | 57,29          | 65,242         | 39,7           | 64 000                     | 139 000                     | 7 000   | B     | 0,1635     | -    |
| 58                       | K 58 × 65 × 18    | 58             | 65             | 18             | 35 000                     | 70 000                      | 8 000   | A     | 0,0501     | -    |
| 62,100                   | F-52 386          | 62,1           | 68,1           | 21,3           | 34 000                     | 77 000                      | 6 500   | A     | 0,0534     | -    |
| 63,660                   | F-52 385          | 63,66          | 71,67          | 19,5           | 42 500                     | 84 000                      | 6 500   | A     | 0,0739     | -    |
| 65                       | K 65 × 70 × 20    | 65             | 70             | 20             | 31 500                     | 80 000                      | 7 500   | A     | 0,0495     | -    |
| 70                       | K 70 × 76 × 20    | 70             | 76             | 20             | 36 000                     | 86 000                      | 6 500   | A     | 0,0737     | -    |
|                          | F-58 551          | 70             | 78             | 37             | 66 000                     | 154 000                     | 6 500   | B     | 0,1844     | -    |
|                          | F-58 549          | 70             | 78             | 39             | 70 000                     | 165 000                     | 6 500   | B     | 0,1940     | -    |
|                          | F-58 550          | 70             | 78             | 44,5           | 80 000                     | 195 000                     | 6 500   | B     | 0,2236     | -    |
| 81,500                   | F-58 554          | 81,5           | 89,5           | 28,5           | 61 000                     | 145 000                     | 6 000   | A     | 0,1617     | -    |
| 82                       | F-84 228          | 82             | 90             | 50             | 93 000                     | 250 000                     | 6 000   | B     | 0,2910     | -    |
| 88                       | F-92 082.1        | 88             | 96             | 24,3           | 49 500                     | 115 000                     | 5 000   | A     | 0,0871     | TN** |

1) Lubrificação a óleo.

Com graxa usar somente 60% dos valores.

2) Material da gaiola, forma de construção e aplicação.

TN = Plástico (Temperatura máxima de trabalho 120 °C).

LP = Metal leve.

M = Bronze.

\* = Com duas agulhas por janela.

\*\* = Partida.

# Gaiolas de agulhas para bielas

As gaiolas de agulhas para bielas são empregadas nos mecanismos de biela-manivela, especialmente nos motores de combustão interna e nos compressores. São projetadas para exigências específicas, como por exemplo, elevadas forças centrífugas e de aceleração e elevadas rotações.

Devido a diferentes exigências, existem gaiolas de agulhas para os apoios da biela:

- no virabrequim série KZK
- no pino de pistão série KBK.

## Gaiola de agulhas KZK

No virabrequim, devido ao giro excêntrico, são produzidas elevadas forças centrífugas. Para manter o movimento radial da gaiola o menor possível em relação ao alojamento da biela e aos elementos rolantes, a gaiola é guiada externamente pelo alojamento.

A gaiola, sendo beneficiada, apresenta uma elevada resistência e um reduzido desgaste. As grandes superfícies de guia conformadas adequadamente do ponto de vista da lubrificação e um peso reduzido, permitem alcançar rotações elevadas.

Sob consulta, a INA pode fornecer a gaiola de agulhas KZK em execuções especiais:

- bi-partida (sufixo D)
- com camada
  - gaiola cobreada (sufixo CU)
  - gaiola prateada (sufixo AG)
- desenvolvidas para máquinas de alta potência.

## Gaiola de agulhas KBK

No pino de pistão atuam cargas oscilantes de elevada frequência. Para estas condições de funcionamento e para manter o desgaste reduzido, a gaiola é de aço cementado de alta resistência.

Também neste caso é necessário guiar a gaiola radialmente com a menor folga possível. Com o objetivo de poder utilizar a largura do olhal da biela para as agulhas, a gaiola é guiada internamente pelo eixo.

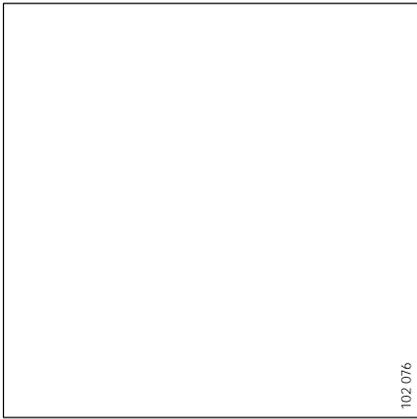
| Formas construtivas · Gaiolas de agulhas INA para bielas existem nas seguintes construções: |  |
|---|--|
| Série   | Características  |
| KZK   | Gaiola de agulhas para virabrequim, guiada externamente    |
| KBK   | Gaiola de agulhas para pino de pistão, guiada internamente |

## Dimensões preferenciais

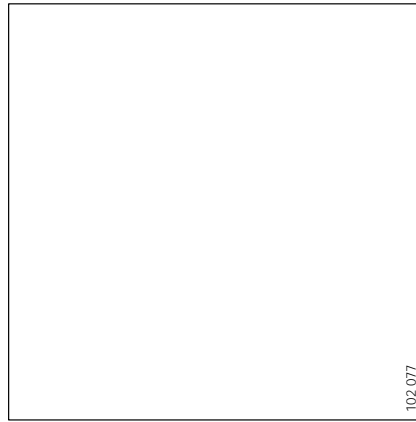
As medidas das gaiolas de agulhas KZK e KBK são determinadas em função do volume do cilindro (cilindrada). A tabela 3 fornece as dimensões usuais para diversas classes de cilindrada.

Tabela 3 · Dimensões preferenciais

| Volume de compressão por cilindro   | Série KZK  | Série KBK   |
|-------------------------------------|--|---|
| até 35 cm <sup>3</sup>              | 12 × 16 × 10<br>12 × 17 × 10<br>14 × 18 × 10                     | 9 × 13 × 12,5<br>10 × 13 × 14,5<br>10 × 14 × 13<br>12 × 15 × 13 |
| mais de 35 até 50 cm <sup>3</sup>   | 14 × 18 × 10<br>14,4 × 20,4 × 10<br>16 × 21 × 10<br>16 × 22 × 12 | 12 × 15 × 15<br>12 × 15 × 17,5<br>12 × 16 × 13                  |
| mais de 50 até 100 cm <sup>3</sup>  | 16 × 22 × 12<br>18 × 24 × 12<br>18 × 24 × 15                     | 12 × 16 × 16<br>14 × 18 × 14,5<br>14 × 18 × 17                  |
| mais de 100 até 150 cm <sup>3</sup> | 18 × 24 × 15<br>20 × 26 × 12<br>20 × 26 × 17                     | 14 × 18 × 21<br>15 × 19 × 20<br>16 × 20 × 20                    |
| mais de 150 até 200 cm <sup>3</sup> | 20 × 26 × 17<br>22 × 28 × 13<br>22 × 28 × 16<br>22 × 29 × 16     | 16 × 20 × 20<br>18 × 22 × 22<br>18 × 22 × 24                    |
| mais de 200 até 300 cm <sup>3</sup> | 22 × 29 × 16<br>25 × 32 × 16                                     | 18 × 22 × 24<br>18 × 22 × 25<br>20 × 24 × 30                    |
| mais de 300 cm <sup>3</sup>         | 30 × 37 × 16<br>35 × 42 × 20<br>40 × 48 × 20                     | 20 × 24 × 30<br>20 × 25 × 22                                    |



Gaiola de agulhas KZK  
para virabrequim



Gaiola de agulhas KBK  
para pino de pistão

### Configuração das pistas

Em função dos elementos do mecanismo biela-manivela que efetuam a guia lateral da biela, distingue-se entre «guia inferior» e «guia superior».

#### Guia inferior

A biela e a gaiola de agulhas KZK são guiadas axialmente pelas contra-peças (flanges) do virabrequim. É melhor usar arruelas axiais.

No pino de pistão deve-se prever folga axial para a biela. A gaiola de agulhas KBK é guiada lateralmente entre os furos do pistão.

#### Guia superior

Os furos do pistão guiam a biela e a gaiola de agulhas KBK. Isto geralmente pressupõe gaiolas de agulhas para pino de pistão mais largas e um pistão mais comprido. Uma pequena folga radial impede o tombamento da biela. No eixo virabrequim deve-se toronar as faces laterais suficientemente a fim de permitir o movimento livre da biela.

Para assegurar uma correta guia radial da gaiola, o alojamento do olhal da biela deve ter a mesma largura da gaiola de agulhas KZK.

#### Materiais e acabamentos superficiais

Para as contra-peças anexas têm-se obtido bons resultados com os seguintes aços de cementação.

- Biela: 16MnCr5, 15CrNi6
- Virabrequim: 15Cr3, 17Cr3, 15CrNi6
- Pino de pistão: Ck15, 15Cr3, 17Cr3.

Todas as peças, principalmente as pistas de rolamentos, as superfícies e as arruelas de encosto devem ter uma profundidade mínima de cementação de 0,5 mm, com uma dureza superficial de 700 HV.

Para poder utilizar a capacidade de carga total, as pistas de rolamentos (alojamentos, pinos e virabrequim) devem ser retificadas com uma elevada qualidade superficial. Observar a rugosidade de  $R_z1$  ( $R_a0,2$ ).

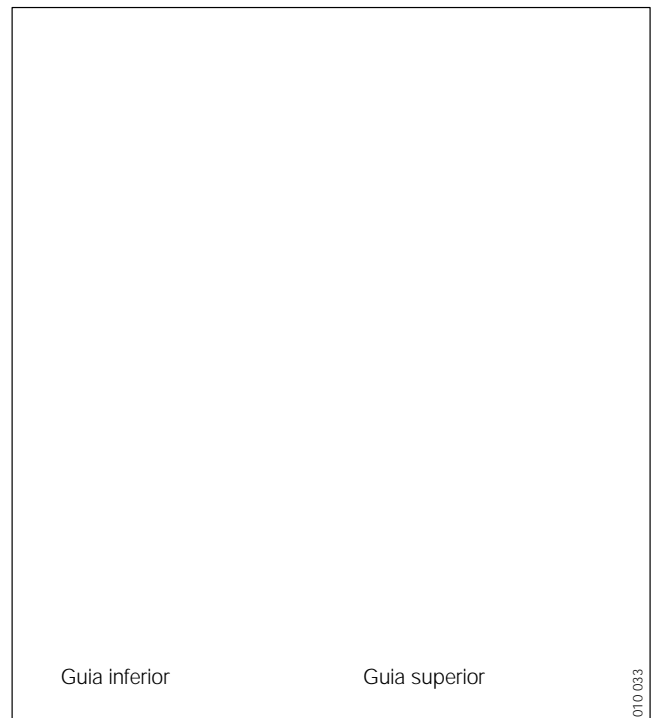


Fig. 1 · Guia lateral da biela

## Gaiolas de agulhas para bielas

### Tolerâncias de montagem

A variação de paralelismo entre o pino de pistão e o virabrequim não deve ultrapassar o valor de 0,03 mm para 100 mm de comprimento.

Para as pistas de rolamento, recomenda-se tolerâncias de forma e posição segundo as tabelas 4 e 4a. (vide também desenhos de medidas, pág. 70 e 71).

Tabela 4 · Tolerâncias de forma e de posição admissíveis

| Medida nominal em mm |     | Gaiola de agulhas para virabrequim<br>Valor em $\mu\text{m}$ |               |             |               |                  |                |
|----------------------|-----|--|---------------|-------------|---------------|------------------|----------------|
| F1                   |     | F1   |               | E1          |               | Folga radial min |                |
| acima de             | até | Paralelismo  | Circularidade | Paralelismo | Circularidade | Motor 2 tempos   | Motor 4 tempos |
| 9                    | 14  | 1  | 1             | 2           | 1             | 14               | –              |
| 14                   | 18  | 1  | 1             | 2           | 1             | 17               | –              |
| 18                   | 22  | 1  | 2             | 3           | 2             | 20               | 14             |
| 22                   | 25  | 2  | 2             | 3           | 2             | 24               | 18             |
| 25                   | 30  | 2  | 2             | 4           | 2             | 28               | 20             |
| 30                   | –   | 2  | 2             | 4           | 3             | 32               | 25             |

Tabela 4a · Tolerâncias de forma e de posição admissíveis

| Medida nominal em mm |     | Gaiola de agulhas para pino de pistão<br>Valor em $\mu\text{m}$ |               |             |               |                  |  |
|----------------------|-----|---|---------------|-------------|---------------|------------------|--|
| F2                   |     | F2  |               | E2          |               | Folga radial min |  |
| acima de             | até | Paralelismo   | Circularidade | Paralelismo | Circularidade |                  |  |
| 9                    | 14  | 1   | 1             | 2           | 1             | 2                |  |
| 14                   | 18  | 1   | 1             | 2           | 1             | 2                |  |
| 18                   | 22  | 2   | 2             | 3           | 2             | 2                |  |

### Folga radial

A folga radial das gaiolas de agulhas para virabrequim depende da rotação, da rigidez e da precisão dos componentes do conjunto.

Nas tabelas 4 e 4a são indicados valores orientativos para a folga radial mínima.

O campo de tolerância deve ser determinado com 0,01 mm até 0,015 mm.

Se alcançadas rotações muito elevadas, (por exemplo em motores de competição), pedimos que nos consultem.

Nas gaiolas de agulhas para pino de pistão deve-se considerar uma folga radial mínima de 0,002 mm, porém não deverá ser superior a 0,012 mm.

A folga radial pode ser ajustada por classificação, vide tabela 5.

De uma forma simplificada, para a determinação da folga radial pode-se utilizar os valores médios dos grupos de classificação das agulhas.

### Lubrificação

Para o acesso do lubrificante às gaiolas de agulhas para bielas, são previstos furos e bolsas de lubrificação. No caso de guia inferior da biela deve-se prever também ranhuras de lubrificação.

Tabela 5 · Plano de classificação para gaiolas de agulhas para bielãs (exemplo)

| Desvio de medida do eixo em 3 grupos | Gaiola de agulhas para virabrequim |                |               |                                    | Gaiola de agulhas para pino de pistão |                |               | Desvio de medida do pino em 3 grupos |
|--------------------------------------|------------------------------------|----------------|---------------|------------------------------------|---------------------------------------|----------------|---------------|--------------------------------------|
|                                      | 17 até 30 µm                       |                |               | Folga radial                       | 1 até 11 µm                           |                |               |                                      |
|                                      | 0 -2 até -5 -7                     |                |               | Classificação da agulha            | 0 -2 até -5 -7                        |                |               |                                      |
|                                      | G6 para diâmetros de 18 até 30 mm  |                |               | Tolerância do alojamento           | K6 para diâmetros de 10 até 18 mm     |                |               |                                      |
|                                      | h5 para diâmetros de 14 até 18 mm  |                |               | Tolerância do eixo                 | -                                     |                |               |                                      |
|                                      | -                                  |                |               | Tolerância do pino                 | 0 -6 em 3 grupos                      |                |               |                                      |
|                                      | Desvio de medida do alojamento     |                |               |                                    | Desvio de medida do alojamento        |                |               |                                      |
|                                      | +7 +11                             | +11 +15        | +15 +20       |                                    | -9 -5                                 | -5 -1          | -1 +2         |                                      |
| 0<br>-3                              | -4 -6<br>-5 -7                     | -2 -4<br>-3 -5 | 0 -2<br>-1 -3 | Grupo de classificação das agulhas | -4 -6<br>-5 -7                        | -2 -4<br>-3 -5 | 0 -2<br>-1 -3 | 0<br>-2                              |
|                                      | 17 até 26                          | 17 até 26      | 17 até 27     | Folga radial                       | 1 até 9                               | 1 até 9        | 1 até 8       |                                      |
| -3<br>-6                             | -3 -5<br>-4 -6                     | -1 -3<br>-2 -4 | 0 -2<br>-1 -3 | Grupo de classificação das agulhas | -4 -6<br>-5 -7                        | -2 -4<br>-3 -5 | 0 -2<br>-1 -3 | -2<br>-4                             |
|                                      | 18 até 27                          | 18 até 27      | 20 até 30     | Folga radial                       | 3 até 11                              | 3 até 11       | 3 até 10      |                                      |
| -6<br>-8                             | -1 -3<br>-2 -4                     | 0 -2<br>-1 -3  | 0 -2          | Grupo de classificação das agulhas | -2 -4<br>-3 -5                        | 0 -2<br>-1 -3  | 0 -2<br>-1 -3 | -4<br>-6                             |
|                                      | 17 até 25                          | 19 até 27      | 23 até 30     | Folga radial                       | 1 até 9                               | 1 até 9        | 5 até 12      |                                      |

**Exemplo de pedido**

Gaiola de agulhas da série KZK:  
 Diâmetro do eixo: 16 mm  
 Diâmetro do alojamento: 22 mm  
 Largura: 12 mm.  
 Grupo de classificação das agulhas: -2 -4 e -3 -5  
 (Par de grupo azul)  
 Características adicionais:  
 Gaiola bi-partida (D) e cobreada (CU)

|                     |                  |                     |      |
|---------------------|------------------|---------------------|------|
| Descrição do pedido | KZK 16 × 22 × 12 | SORT<br>-2 -4/-3 -5 | D CU |
| Referência          |                  |                     |      |
| Precisão            |                  |                     |      |
| Execução especial   |                  |                     |      |

**Informações técnicas complementares**

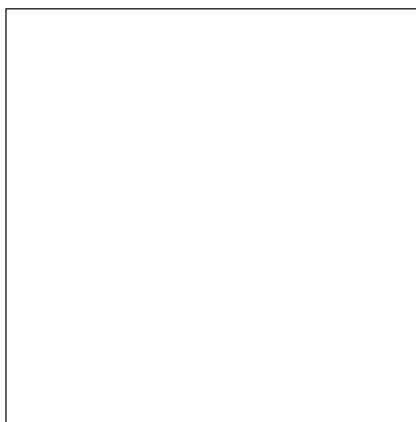
⚠ Na parte do catálogo  
*Fundamentos da técnica de rolamentos* (pág. 10).  
*Lubrificação* (pág. 25)  
 deve-se considerar em todos os casos.

**Sufixos para execuções especiais**

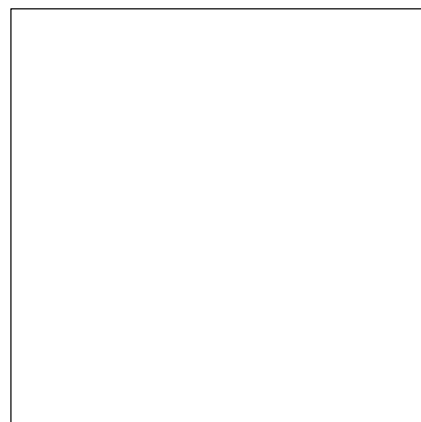
No capítulo - *Índice de sufixos* (pág. 8).

# Gaiolas de agulhas para bielas

Série KZK para virabrequim



KZK



Tolerâncias recomendadas  
vide pág. 68

| Tabela de medidas - Medidas em mm |                             |                |                |                |                            |                             |   |            |    |
|-----------------------------------|-----------------------------|----------------|----------------|----------------|----------------------------|-----------------------------|---|------------|----|
| Diâmetro nominal do eixo          | Código                      | Medidas        |                |                | Capacidade básica de carga |                             | Rotações máximas <sup>1)</sup><br>min <sup>-1</sup> | Peso<br>kg | 2) |
|                                   |                             | F <sub>w</sub> | E <sub>w</sub> | B <sub>c</sub> | din.<br>C<br>N             | est.<br>C <sub>0</sub><br>N |   |            |    |
| <b>14,400</b>                     | <b>KZK 14,4 × 20,4 × 10</b> | 14,4           | 20,4           | 10             | 8 100                      | 7 800                       | 25 000  | 0,0070     | –  |
|                                   | <b>F-95 109.2</b>           | 14,4           | 20,4           | 10             | 8 100                      | 7 800                       | 25 000  | 0,0078     | AG |
| <b>16</b>                         | <b>F-93 687</b>             | 16             | 22             | 10             | 9 200                      | 9 500                       | 23 000  | 0,0080     | AG |
| <b>18</b>                         | <b>F-96 003</b>             | 18             | 24             | 12             | 11 600                     | 13 100                      | 22 000  | 0,0110     | AG |

1) Lubrificação a óleo.

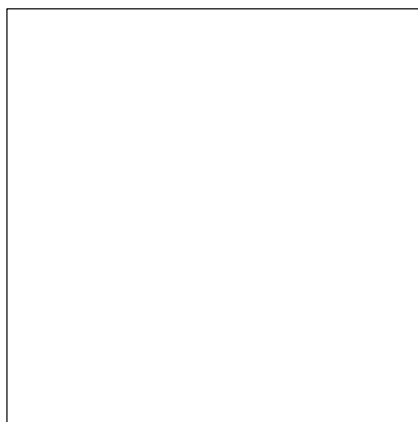
2) Material da gaiola.

CU = Cobreada.

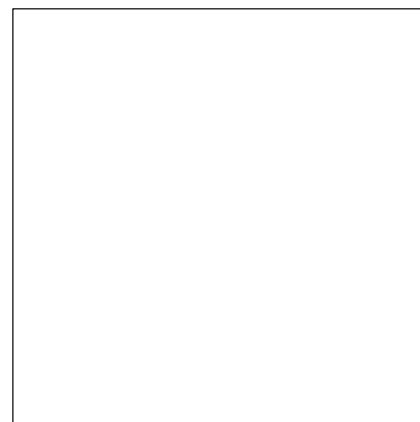
AG = Prateada.

# Gaiolas de agulhas para bielas

Série KBK para pino de pistão



KBK



Tolerâncias recomendadas  
vide pág. 68

**Tabela de medidas** · Medidas em mm

| Diâmetro nominal do eixo | Código                  | Medidas        |                |                |                | Capacidade básica de carga |                             | Rotações máximas <sup>1)</sup><br>min <sup>-1</sup> | Peso<br>kg | 2) |
|--------------------------|-------------------------|----------------|----------------|----------------|----------------|----------------------------|-----------------------------|---|------------|----|
|                          |                         | F <sub>w</sub> | E <sub>w</sub> | B <sub>c</sub> | L <sub>w</sub> | din.<br>C<br>N             | est.<br>C <sub>0</sub><br>N |   |            |    |
| <b>10</b>                | <b>F-207 394</b>        | 10             | 14             | 13             | 9,8            | 6000                       | 6200                        | 29000   | 0,0058     | CU |
| <b>12</b>                | <b>KBK 12 × 16 × 13</b> | 12             | 16             | 13             | 9,8            | 6900                       | 7800                        | 27000   | 0,0068     | -  |
|                          | <b>F-207 393</b>        | 12             | 16             | 13             | 9,8            | 6900                       | 7800                        | 27000   | 0,0068     | CU |
| <b>13</b>                | <b>KBK 13 × 16 × 14</b> | 13             | 16             | 14             | 9,8            | 6200                       | 8300                        | 26000   | 0,0055     | -  |
|                          | <b>F-205 438.1</b>      | 13             | 17             | 17,5           | 12,8           | 9100                       | 11300                       | 26000   | 0,0115     | CU |

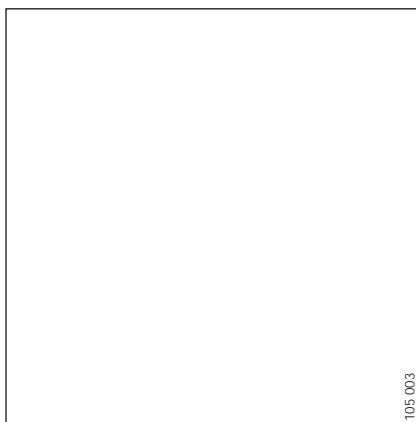
1) Lubrificação a óleo.

2) Material da gaiola.

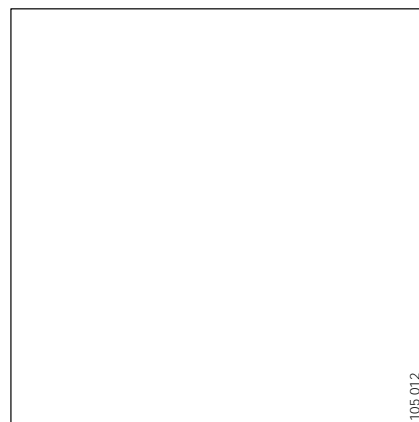
CU = Cobreada.

AG = Prateada.

# Buchas de agulhas



Bucha de agulhas sem fundo HK



Bucha de agulhas com fundo BK

As buchas de agulhas INA com e sem fundo, são rolamentos de agulhas com altura de construção radial mínima. Os rolamentos deste tipo se compõem de anéis externos de parede fina, obtidos pelo processo de repuxo com ou sem gaiolas de agulhas, que juntos formam uma unidade. Com estes rolamentos consegue-se uma elevada capacidade de carga a um custo bem reduzido.

Para um completo aproveitamento da capacidade de carga é necessário que a bucha de agulhas seja montada num alojamento suficientemente rígido. As buchas de agulhas são prensadas em um alojamento, dispensando qualquer fixação axial. As agulhas na gaiola são guiadas precisamente, garantindo um funcionamento correto do rolamento, mesmo quando aplicado em altas rotações. Nas buchas de agulhas sem gaiola, as agulhas são guiadas com precisão em razão da folga circunferencial. Nestas buchas o limite de rotação é menor, (vide tabela de medidas). Devido ao grande espaço interno das buchas, possibilita-se o armazenamento de uma grande quantidade de graxa, permitindo longo intervalo de relubrificação.

Se os rolamentos forem aplicados em eixos não temperados, estes deverão ser combinados com anéis internos da série LR ou IR. Para informações destes anéis LR ou IR vide capítulo anéis internos, pág. 87.

Devido a aspectos construtivos a maioria das buchas de agulhas é projetada com uma carreira de agulhas.

As buchas de agulhas com duas carreiras de agulhas vem indicadas com um sinal ° nas tabelas de medidas. As buchas de agulhas com e sem fundo de uma carreira, normalmente não tem furo de lubrificação, entretanto todas as de duas carreiras, vem com o furo de lubrificação.

Para cruzetas de eixos cardã a INA fabrica buchas com fundo da série BU e BBU; diâmetro interno das buchas de 4 até 48 mm. (Para maiores informações consultem-nos).

| Formas construtivas · Buchas de agulhas INA existem nas seguintes construções: |  |
|--|--|
| Série  | Características  |
| HK   | Bucha de agulhas, DIN 618 – parte 1                    |
| BK   | Bucha de agulhas com fundo, DIN 618 – parte 1          |
| HK..RS   | Bucha de agulhas vedada por um lado, DIN 618 – parte 2 |
| BK..RS   | Bucha de agulhas com fundo, com vedação                |

As séries BU, CSN, HN, SN e SNH têm as mesmas características, porém sem gaiola.

## Buchas de agulhas com e sem fundo, com vedação BK..RS, HK..RS

As buchas de agulhas com e sem fundo com vedações de um lábio de contato, em condições normais de funcionamento, protegem o interior da bucha contra entrada de impurezas e a perda do lubrificante. Normalmente são fornecidas com graxa a base de lítio de alta qualidade KP2K-30 DIN 51 825 parte 3. Devido ao grande volume de graxa possibilitam-se longos períodos para a relubrificação. Buchas com e sem fundo com vedação poderão ser aplicadas em temperaturas entre -30 °C a +100 °C.

Sob consulta a INA pode fornecer todas as buchas de agulhas com e sem fundo a partir de um diâmetro de 7 mm em execução especial:

- com um furo de lubrificação (sufixo AS1).

## Buchas de agulhas com e sem fundo BK, BCE, HK, SCE

As buchas de agulhas com e sem fundo sem vedação, das séries BK e HK são compostas por anéis externos de parede fina obtidos pelo processo de repuxo e gaiolas de agulhas formando uma unidade.

As buchas de agulhas BK, se distinguem das buchas de agulhas HK por ter um lado fechado (fundo). Portanto, são apropriadas para uma montagem nos extremos de um eixo com a função de uma tampa na ponta do eixo.

Tanto as buchas da série BK como HK são fornecidas com óleo conservante.

Sob consulta a INA poderá fornecer buchas de agulhas sem vedação, com ou sem fundo de execução especial:

- com graxa a base de lítio de alta qualidade KP2K-30, DIN 51 825, parte 3, para temperaturas entre -30 °C a +120 °C (sufixo SM01).

## Configuração das pistas de rolamentos

Os anéis externos de parede fina destas buchas, com e sem fundo, adquirem sua precisão de medida e forma definitiva somente após sua montagem no respectivo alojamento. O material e a espessura da contra-peça, assim como a precisão de medida e forma do alojamento determinam o círculo inscrito e com isto a qualidade do rolamento em seu estado montado. Por círculo inscrito entende-se o círculo interno tangente às agulhas, quando estas se apoiam sem folga na pista externa. Em alojamentos rígidos, seguindo as tolerâncias da tabela 1, o círculo inscrito se situa no campo de tolerância F8. Em combinação com as tolerâncias indicadas para os eixos, se obtém uma folga radial normal.



Fig. 1 · Montagem com punção

### Controle do círculo inscrito

A precisão de medidas das buchas de agulhas com e sem fundo não pode ser controlada em seu estado não montado sem um anel de controle pois, em função do processo de fabricação, o anel externo da agulha pode apresentar uma circularidade fora do padrão. A bucha de agulhas só adquire a forma exata após sua montagem no respectivo alojamento. O alojamento deverá obedecer às tolerâncias indicadas na tabela 1.

O diâmetro do círculo inscrito deve ser medido da seguinte forma:

1. A bucha de agulhas é montada no anel de controle de aço (espessura  $\geq 20$  mm), o diâmetro interno do anel de controle tem que corresponder ao da tabela 2.
2. O círculo inscrito das buchas sem fundo é medido com o uso de um calibre cônico e nas buchas com fundo com o uso de um calibre cilíndrico com a marcação dos limites máximo e mínimo.

As tolerâncias do círculo inscrito estão determinadas na tabela 2.

### Lubrificação



As buchas de agulhas com e sem fundo sem vedação que após montagem não podem ser relubrificadas, devem ser lubrificadas antes de sua montagem (lubrificação normal com SM01).

### Montagem e desmontagem

As buchas de agulhas com ou sem fundo são montadas, preferencialmente, com auxílio de um dispositivo de montagem (vide fig. 1). O ressalto deve apoiar-se, de preferência, na borda da bucha onde consta a marcação. No eixo do punção existe uma ranhura com um anel de vedação de perfil circular. Ele fixa a bucha no punção. Ao mesmo tempo facilita a montagem em série, que se possível deverá ser feita com uma prensa. As buchas não devem entrar no alojamento desalinhadas.

Tabela 1 · Tolerâncias de montagem

| Material do alojamento <sup>1)</sup><br>(rígido) | Tolerância do alojamento <sup>2)</sup> | Tolerância do eixo <sup>1)</sup> |                  |
|--|--|----------------------------------|------------------|
|  |  | Sem anel interno                 | Com anel interno |
| Aço ou FoFo                                      | N6 (N7)                                | h5 (h6)                          | k5 (j6)          |
| Metal leve                                       | R6 (R7)                                |                                  |                  |

<sup>1)</sup> Se o alojamento não for rígido, deve-se determinar através de ensaios de montagem com qual tolerância do eixo se obtém a folga radial requerida.

<sup>2)</sup> A precisão de forma cilíndrica do alojamento deverá ser de qualidade IT5/2.

Tabela 2 · Medidas de controle para buchas de agulhas com e sem fundo

| Círculo inscrito<br>F <sub>w</sub><br>mm | Diâmetro externo<br>D<br>mm | Anel de controle<br>Medida efetiva<br>mm | Círculo inscrito     |                      |
|--|-----------------------------|--|----------------------|----------------------|
|  |                             |  | Valor superior<br>µm | Valor inferior<br>µm |
| 3  | 6,5                         | 6,484                                    | +24                  | + 6                  |
| 4  | 8                           | 7,984                                    | +28                  | +10                  |
| 5  | 9                           | 8,984                                    | +28                  | +10                  |
| 6  | 10                          | 9,984                                    | +28                  | +10                  |
| 7  | 11                          | 10,980                                   | +31                  | +13                  |
| 8  | 12                          | 11,980                                   | +31                  | +13                  |
| 9  | 13                          | 12,980                                   | +31                  | +13                  |
| 10                                       | 14                          | 13,980                                   | +31                  | +13                  |
| 12                                       | 16                          | 15,980                                   | +34                  | +16                  |
| 12                                       | 18                          | 17,980                                   | +34                  | +16                  |
| 13                                       | 19                          | 18,976                                   | +34                  | +16                  |
| 14                                       | 20                          | 19,976                                   | +34                  | +16                  |
| 15                                       | 21                          | 20,976                                   | +34                  | +16                  |
| 16                                       | 22                          | 21,976                                   | +34                  | +16                  |
| 17                                       | 23                          | 22,976                                   | +34                  | +16                  |
| 18                                       | 24                          | 23,976                                   | +34                  | +16                  |
| 20                                       | 26                          | 25,976                                   | +41                  | +20                  |
| 22                                       | 28                          | 27,976                                   | +41                  | +20                  |
| 25                                       | 32                          | 31,972                                   | +41                  | +20                  |
| 28                                       | 35                          | 34,972                                   | +41                  | +20                  |
| 30                                       | 37                          | 36,972                                   | +41                  | +20                  |
| 35                                       | 42                          | 41,972                                   | +50                  | +25                  |
| 40                                       | 47                          | 46,972                                   | +50                  | +25                  |
| 45                                       | 52                          | 51,967                                   | +50                  | +25                  |
| 50                                       | 58                          | 57,967                                   | +50                  | +25                  |
| 55                                       | 63                          | 62,967                                   | +60                  | +30                  |
| 60                                       | 68                          | 67,967                                   | +60                  | +30                  |

### Exemplo de pedido

Bucha de agulhas da série HK:

Diâmetro do eixo: 20 mm

Largura da bucha: 16 mm.

Característica adicional: lubrificante (SM01).

|                                 |         |      |
|---------------------------------|---------|------|
| Descrição do pedido             | HK 2016 | SM01 |
| Referência                      |         |      |
| Sufixo para a execução especial |         |      |

### Informações técnicas complementares



Na parte do catálogo

*Fundamentos da técnica de rolamentos* (pág. 10).

*Lubrificação* (pág. 25)

deve-se considerar em todos os casos.

### Sufixos para execuções especiais

No capítulo – *Índice de sufixos*

(pág. 8).

# Buchas de agulhas

Série HK, HN  
BK, BU, BCE  
CSN  
SN, SCE, SNH



Forma A

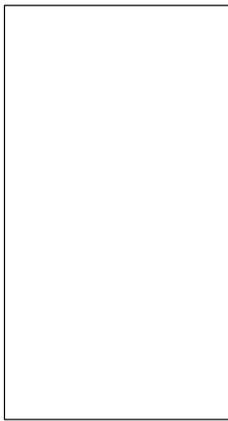


Forma B

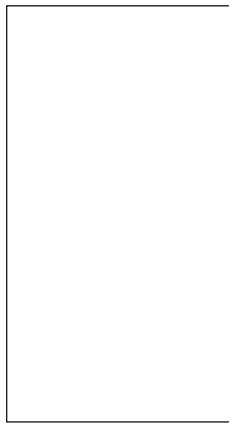


Forma C

| Tabela de medidas - Medidas em mm |                 |                |        |       |                |                            |                             |   |       |            |
|-----------------------------------|-----------------|----------------|--------|-------|----------------|----------------------------|-----------------------------|---|-------|------------|
| Diâmetro nominal do eixo          | Código          | Medidas        |        |       |                | Capacidade básica de carga |                             | Rotações máximas <sup>1)</sup><br>min <sup>-1</sup> | Forma | Peso<br>kg |
|                                   |                 | F <sub>w</sub> | D      | C     | C <sub>1</sub> | din.<br>C<br>N             | est.<br>C <sub>0</sub><br>N |   |       |            |
| 5                                 | HK 0509         | 5              | 9      | 9     | –              | 2 400                      | 1 990                       | 39 000  | D     | 0,0020     |
| 6                                 | HK 0608         | 6              | 10     | 8     | –              | 2 030                      | 1 650                       | 37 000  | D     | 0,0021     |
|                                   | HK 0609         | 6              | 10     | 9     | –              | 2 850                      | 2 600                       | 37 000  | D     | 0,0025     |
| 8                                 | HK 0808         | 8              | 12     | 8     | –              | 2 750                      | 2 600                       | 29 000  | D     | 0,0027     |
|                                   | BK 8 × 12 × 10  | 8              | 12     | 10    | –              | 3 800                      | 3 950                       | 29 000  | F     | 0,0034     |
|                                   | HK 0810         | 8              | 12     | 10    | –              | 3 800                      | 3 950                       | 29 000  | D     | 0,0031     |
|                                   | F-45 741        | 8              | 13     | 9,2   | –              | 5 800                      | 7 500                       | 9 000   | A     | 0,0040     |
|                                   | F-66 895        | 8              | 14,5   | 10    | –              | 7 400                      | 8 100                       | 8 000   | A     | 0,0070     |
| 9                                 | F-50 463        | 9              | 16     | 10    | –              | 4 550                      | 3 800                       | 20 000  | D     | 0,0071     |
| 10                                | HK 1010         | 10             | 14     | 10    | –              | 4 400                      | 5 100                       | 24 000  | D     | 0,0041     |
|                                   | HN 1010         | 10             | 14     | 10    | –              | 7 200                      | 11 100                      | 8 500   | A     | 0,0046     |
|                                   | HK 1012         | 10             | 14     | 12    | –              | 5 500                      | 6 800                       | 23 000  | D     | 0,0048     |
|                                   | F-45 730        | 10             | 16     | 8,95  | –              | 6 900                      | 8 100                       | 8 500   | A     | 0,0063     |
|                                   | F-43 088        | 10             | 16     | 8,95  | 10,2           | 6 900                      | 8 100                       | 8 500   | C     | 0,0071     |
|                                   | F-90 750        | 10             | 19     | 12,2  | –              | 11 800                     | 12 800                      | 8 500   | A     | 0,0151     |
| 11,113                            | CSN 78          | 11,113         | 15,875 | 12,70 | –              | 9 700                      | 15 700                      | 8 500   | B     | 0,0089     |
|                                   | F-45 713        | 11,113         | 17,463 | 12,70 | 15,375         | 7 900                      | 8 200                       | 20 000  | H     | 0,0108     |
|                                   | F-110 046       | 11,113         | 17,463 | 12,70 | –              | 7 900                      | 8 200                       | 8 000   | D     | 0,0080     |
| 12                                | HK 1210         | 12             | 16     | 10    | –              | 4 950                      | 6 200                       | 21 000  | D     | 0,0045     |
|                                   | BK 12 × 16 × 10 | 12             | 16     | 10    | –              | 4 950                      | 6 200                       | 21 000  | F     | 0,0052     |
|                                   | HK 1212         | 12             | 18     | 12    | –              | 6 500                      | 7 300                       | 20 000  | D     | 0,0091     |
|                                   | HK 1214 RS      | 12             | 18     | 14    | –              | 6 500                      | 7 300                       | 14 000  | E     | 0,0102     |
| 12,700                            | SCE 85          | 12,700         | 17,463 | 7,938 | –              | 3 650                      | 3 950                       | 20 000  | D     | 0,0045     |
| 13                                | BU 1319         | 13             | 19     | 11,85 | 12,35          | 10 100                     | 15 000                      | 5 700   | C     | 0,0123     |
| 14                                | F-30 705        | 14             | 20     | 12    | –              | 6 100                      | 6 900                       | 18 000  | D     | 0,0103     |
| 15                                | HK 1512         | 15             | 21     | 12    | –              | 7 800                      | 9 200                       | 16 000  | D     | 0,0104     |
|                                   | F-85 265        | 15             | 21     | 15    | –              | 7 300                      | 9 000                       | 11 000  | E     | 0,0127     |
| 16                                | HK 1612         | 16             | 22     | 12    | –              | 7 600                      | 9 700                       | 16 000  | D     | 0,0117     |
|                                   | BU 44 496       | 16             | 22     | 12,15 | 12,9           | 12 600                     | 20 300                      | 5 100   | C     | 0,0156     |
| 17                                | HK 1712         | 17             | 23     | 12    | –              | 7 900                      | 10 300                      | 15 000  | D     | 0,0117     |
|                                   | F-45 853 TN     | 17             | 23,8   | 17,48 | –              | 7 400                      | 7 900                       | 10 000  | G     | 0,0166     |
| 18                                | HK 1816         | 18             | 24     | 16    | –              | 11 600                     | 17 300                      | 14 000  | D     | 0,0174     |
| 19,050                            | SCE 1212        | 19,050         | 25,400 | 19,05 | –              | 15 300                     | 22 100                      | 13 000  | D     | 0,0211     |
| 20                                | HK 2010         | 20             | 26     | 10    | –              | 6 400                      | 8 200                       | 13 000  | D     | 0,0110     |
|                                   | HK 2016         | 20             | 26     | 16    | –              | 12 700                     | 20 100                      | 13 000  | D     | 0,0193     |
|                                   | HK 2030°        | 20             | 26     | 30    | –              | 21 800                     | 40 000                      | 13 000  | D     | 0,0347     |



Forma D



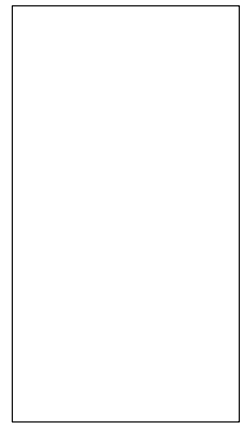
Forma E



Forma F



Forma G



Forma H

| Tabela de medidas · Medidas em mm |                    |                |        |       |                |                            |                             |   |       |            |
|-----------------------------------|--------------------|----------------|--------|-------|----------------|----------------------------|-----------------------------|---|-------|------------|
| Diâmetro nominal do eixo          | Código             | Medidas        |        |       |                | Capacidade básica de carga |                             | Rotações máximas <sup>1)</sup><br>min <sup>-1</sup> | Forma | Peso<br>kg |
|                                   |                    | F <sub>w</sub> | D      | C     | C <sub>1</sub> | din.<br>C<br>N             | est.<br>C <sub>0</sub><br>N |   |       |            |
| <b>21,244</b>                     | <b>F-110 157</b>   | 21,244         | 28     | 14    | –              | 16500                      | 29500                       | 3700  | A     | 0,0211     |
| <b>22,225</b>                     | <b>CSN 1412</b>    | 22,225         | 28,575 | 19,05 | –              | 24800                      | 51000                       | 3700  | B     | 0,0343     |
|                                   | <b>SCE 1412</b>    | 22,225         | 28,575 | 19,05 | –              | 16900                      | 27000                       | 10000   | D     | 0,0272     |
|                                   | <b>BCE 1412</b>    | 22,225         | 28,575 | 19,05 | –              | 16900                      | 27000                       | 10000   | F     | 0,0278     |
|                                   | <b>SNH 1416</b>    | 22,225         | 30,163 | 25,40 | –              | 36000                      | 69000                       | 3700  | A     | 0,0548     |
| <b>25</b>                         | <b>F-50 119</b>    | 25             | 34     | 20    | –              | 20700                      | 29500                       | 9000  | D     | 0,0436     |
| <b>28</b>                         | <b>HN 2820</b>     | 28             | 35     | 20    | –              | 30000                      | 67000                       | 2800  | A     | 0,0445     |
| <b>28,575</b>                     | <b>SN 1812</b>     | 28,575         | 34,925 | 19,05 | –              | 28000                      | 65000                       | 2800  | A     | 0,0382     |
|                                   | <b>SN 1816</b>     | 28,575         | 34,925 | 25,40 | –              | 36500                      | 91000                       | 2800  | A     | 0,0514     |
| <b>30</b>                         | <b>F-58 489 TN</b> | 30             | 45     | 18    | –              | 34000                      | 38500                       | 8000  | D     | 0,0731     |
| <b>31,750</b>                     | <b>SN 2016</b>     | 31,750         | 38,100 | 25,40 | –              | 39000                      | 101000                      | 2600  | A     | 0,0573     |
|                                   | <b>SN 2016 AS1</b> | 31,750         | 38,100 | 25,40 | –              | 39000                      | 101000                      | 2600  | A     | 0,0572     |
|                                   | <b>SN 2020</b>     | 31,750         | 38,100 | 31,75 | –              | 47000                      | 129000                      | 2600  | A     | 0,0710     |
|                                   | <b>CSN 2020</b>    | 31,750         | 38,100 | 31,75 | –              | 47000                      | 129000                      | 2600  | B     | 0,0781     |
|                                   | <b>CSN 2020 X</b>  | 31,750         | 38,100 | 31,75 | –              | 47000                      | 129000                      | 2600  | B     | 0,0780     |
|                                   | <b>BCE 2020 X</b>  | 31,750         | 38,100 | 31,75 | –              | 33500                      | 71000                       | 8000  | F     | 0,0671     |
| <b>34,925</b>                     | <b>SCE 228</b>     | 34,925         | 41,275 | 12,70 | –              | 13600                      | 23700                       | 7500  | D     | 0,0244     |
|                                   | <b>SN 2212</b>     | 34,925         | 41,275 | 19,05 | –              | 30000                      | 76000                       | 2300  | A     | 0,0460     |
| <b>37</b>                         | <b>F-3 860</b>     | 37             | 46     | 21,40 | –              | 29500                      | 48500                       | 6500  | D     | 0,0638     |
| <b>38,100</b>                     | <b>SCE 2416</b>    | 38,100         | 47,625 | 25,40 | –              | 38500                      | 66000                       | 6500  | D     | 0,0829     |
| <b>39,970</b>                     | <b>F-110 370</b>   | 39,970         | 47     | 20    | –              | 34500                      | 90000                       | 2100  | C     | 0,0630     |
| <b>40</b>                         | <b>HK 4020</b>     | 40             | 47     | 20    | –              | 25500                      | 52000                       | 6500  | D     | 0,0495     |
|                                   | <b>BK 4020</b>     | 40             | 47     | 20    | –              | 25500                      | 52000                       | 6500  | F     | 0,0610     |
| <b>41,161</b>                     | <b>F-47 905</b>    | 41,161         | 49,327 | 16,10 | –              | 24400                      | 42500                       | 6500  | D     | 0,0460     |
| <b>43</b>                         | <b>F-12 748</b>    | 43             | 50     | 20    | –              | 25000                      | 53000                       | 6000  | D     | 0,0542     |
| <b>44,450</b>                     | <b>CSN 2816</b>    | 44,45          | 53,975 | 25,40 | –              | 58000                      | 137000                      | 1800  | B     | 0,1356     |
| <b>48</b>                         | <b>F-12 470</b>    | 48             | 55     | 19    | –              | 24900                      | 54000                       | 5500  | D     | 0,0548     |
| <b>50</b>                         | <b>F-29 072</b>    | 50             | 57     | 19    | –              | 25000                      | 55000                       | 5000  | D     | 0,0600     |
| <b>50,800</b>                     | <b>SN 3216</b>     | 50,800         | 60,325 | 25,40 | –              | 63000                      | 158000                      | 1400  | A     | 0,1220     |
| <b>53,703</b>                     | <b>FC 65478</b>    | 53,7           | 66,7   | 25,40 | –              | 78000                      | 164000                      | 1400  | B     | 0,2145     |

1) Lubrificação a óleo. Com graxa usar somente 60% dos valores.

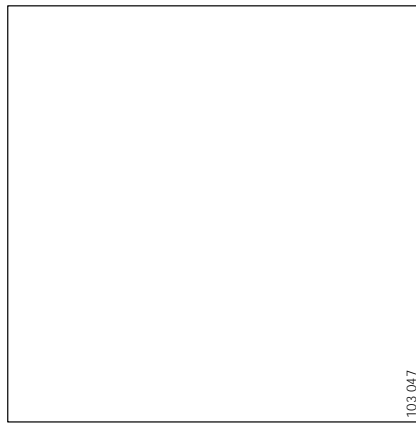
Sufixo X = Furo no centro do fundo da bucha.

AS1 = Com furo de lubrificação.

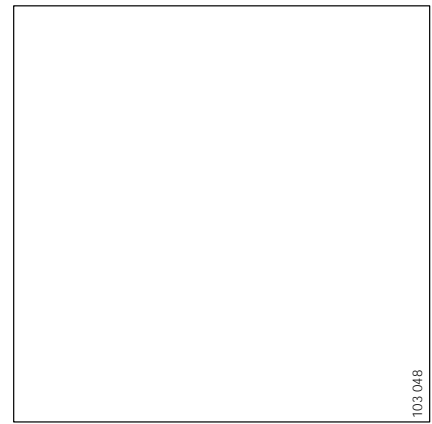
TN = Gaiola plástica.

° = Duas carreiras com furo de lubrificação.

# Rolamentos de agulhas



Rolamentos de agulhas  
NK, NCS, RNA 49  
sem anel interno



Rolamentos de agulhas  
NKI, NA 49  
com anel interno

| Descrição do produto                     | Página |
|--|--------|
| Rolamentos de agulhas                    | 76     |
| Rolamentos de agulhas NCS                | 79     |
| Gaiolas de agulhas com anéis internos KI | 80     |

Os rolamentos de agulhas INA são rolamentos com grande capacidade de carga para reduzido espaço construtivo. São fornecidos com e sem anel interno.

Uma gaiola rígida guia as agulhas paralelamente ao eixo. O diâmetro das agulhas tem uma tolerância de 2 µm.

A superfície das agulhas é abaulada para os cantos. Este formato evita pontos de tensão nos cantos das agulhas quando sob carga ou flexão do eixo. O anel externo tem bordas, formando juntamente com a gaiola de agulhas uma unidade.

Todos os rolamentos de agulhas tem uma ranhura e um furo de lubrificação no anel externo (nos rolamentos de grandes diâmetros existem vários furos de lubrificação).

| Formas construtivas · Rolamentos de agulhas INA existem nas seguintes construções: |  |
|--|--|
| Série  | Características  |
| NK   | Rolamento de agulhas, série leve, sem anel interno           |
| RNA 49   | Rolamento de agulhas, segundo DIN 617, sem anel interno      |
| NKI  | Rolamento de agulhas, série leve, com anel interno           |
| NA 49  | Rolamento de agulhas, segundo DIN 617, com anel interno      |
| NCS  | Rolamento de agulhas, sem anel interno, medidas em polegadas |
| KI   | Gaiola de agulhas com anel interno                           |

## Rolamentos de agulhas sem anel interno, NK, RNA 49, NCS

Os rolamentos de agulhas sem anel interno oferecem a melhor solução técnica, quando estes podem ser aplicados diretamente sobre o eixo temperado e retificado, permitindo assim, em comparação com um rolamento com anel interno, um eixo de diâmetro maior.

Devido a ausência do anel interno e suas tolerâncias, consegue-se uma melhor precisão de giro.

No rolamento não montado a tolerância do círculo inscrito situa-se no campo F6. Por círculo inscrito entende-se o círculo teórico internamente tangente às agulhas, quando estas se apóiam sem folga na pista externa.

Sob pedido a INA fornece rolamentos de agulhas sem anel interno em construções especiais:

- com tolerância reduzida, do círculo inscrito, dentro da metade inferior ou superior do campo F6 (sufixo H+.. +.., vide tabela, pág. 9).



Rolamento de agulhas sem bordas e sem anel interno

### Rolamentos de agulhas com anel interno, NKI, NA 49

Os rolamentos de agulhas com anel interno são aplicados nos casos em que o eixo não pode ser a própria pista.

O anel externo com a gaiola de agulhas e o anel interno podem ser montados separadamente.

Rolamentos de agulhas são fornecidos com tolerâncias de medida, forma e posição da classe de tolerância PN e uma folga radial normal CN, segundo DIN 620.

Sob pedido a INA fornece rolamentos de agulhas em execução especial:

- com precisão maior nas classes de tolerância P6 ou P5 (segundo DIN 620) (sufixo P6 ou P5)
- com folga radial diferenciada (sufixo C2, C3 ou C4)

assim como:

- com sobre medida na pista do anel interno «z», (vide capítulo Anéis internos, pág. 87). (sufixo VGS)

A precisão de giro pode ser aumentada quando a pista do anel interno é retificada após a montagem.

### Exemplo de pedido

Rolamento de agulhas com anel interno do tipo NKI:

Diâmetro do eixo: 40 mm

Largura: 20 mm.

### Características adicionais:

Elevada precisão de medida, de forma e de giro, segundo classe de tolerância P5 (sufixo P5), folga radial reduzida (C2).

|                                 |           |     |
|---------------------------------|-----------|-----|
| Descrição do pedido             | NKI 40/20 | P52 |
| Referência                      |           |     |
| Sufixo para a execução especial |           |     |

### Informações técnicas complementares

- ⚠ Na parte do catálogo *Fundamentos da técnica de rolamentos* (pág. 10).
- Lubrificação* (pág. 25)
- deve-se considerar em todos os casos.

### Sufixos para execuções especiais

No capítulo – *Índice de sufixos* (pág. 8).

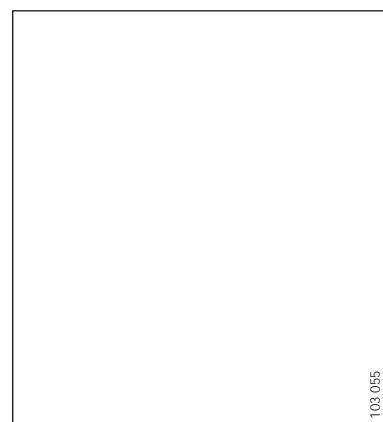
# Rolamentos de agulhas



Forma A



Forma B



Forma C

Tabela de medidas - Medidas em mm

| Diâmetro nominal do eixo | Código     | Medidas |                                     |                                 |    |        |        | Anel externo<br>$r_s$<br>min | Anel interno<br>$r_s$<br>min | Capacidade básica de carga |                    | Rotações máximas <sup>1)</sup><br>min <sup>-1</sup> | Forma             | Peso<br>kg | 2) |
|--------------------------|------------|---------|-------------------------------------|---------------------------------|----|--------|--------|------------------------------|------------------------------|----------------------------|--------------------|---|-------------------|------------|----|
|                          |            | d       | $F_w$                               | D                               | E  | C      | $C_1$  |                              |                              | din.<br>C<br>N             | est.<br>$C_0$<br>N |   |                   |            |    |
| 16                       | F-110601.1 | -       | 16                                  | 23                              | -  | 16     | -      | 0,3                          | -                            | 11 300                     | 13 900             | 23 000  | A <sub>o</sub>    | 0,0190     | -  |
|                          | F-90525    | -       | 16                                  | 23                              | -  | 22     | -      | 0,3                          | -                            | 16 000                     | 21 600             | 23 000  | A <sub>o</sub>    | 0,0256     | -  |
| 17                       | NK 17/16   | -       | 17                                  | 25                              | -  | 16     | -      | 0,3                          | -                            | 11 900                     | 15 000             | 23 000  | A                 | 0,0237     | -  |
|                          | NA 4903    | 17      | 22                                  | 30                              | -  | 13     | -      | 0,3                          | -                            | 11 000                     | 14 600             | 21 000  | B                 | 0,0380     | -  |
| 19                       | NK 19/20X  | -       | 19                                  | 27                              | -  | 20     | -      | 0,3                          | -                            | 16 500                     | 23 600             | 21 000  | A <sub>o</sub>    | 0,0322     | -  |
|                          | F-110252   | -       | 19                                  | 27                              | -  | 20     | -      | 0,3                          | -                            | 22 400                     | 40 000             | 8 000   | A*                | 0,0350     | -  |
| 19,05                    | F-45778    | -       | 19,05                               | 32,258                          | -  | 19,5   | -      | 0,25                         | -                            | 22 500                     | 29 000             | 8 000   | A <sub>o</sub> *  | 0,0617     | -  |
| 20                       | F-4650     | -       | 20                                  | 28                              | -  | 16     | -      | 0,3                          | -                            | 11 000                     | 16 400             | 21 000  | A <sub>o</sub>    | 0,0292     | -  |
| 21,935                   | F-44724    | -       | 21,935 <sup>+0,015</sup>            | 32,024                          | 27 | 40     | -      | 0,4                          | -                            | 28 000                     | 48 500             | 19 000  | C                 | 0,0932     | TN |
| 22                       | RNA 4903   | -       | 22                                  | 30                              | -  | 13     | -      | 0,3                          | -                            | 11 000                     | 14 600             | 21 000  | A                 | 0,0222     | -  |
|                          | F-4644     | -       | 22                                  | 35                              | -  | 20     | -      | 0,7                          | -                            | 19 100                     | 26 500             | 18 000  | A**               | 0,0733     | -  |
| 25                       | F-5082     | 25      | 32                                  | 47                              | -  | 17     | 20     | 0,7                          | 0,3                          | 17 800                     | 24 300             | 12 000  | B <sub>o</sub> ** | 0,1462     | -  |
| 27                       | F-45397.2  | -       | 27                                  | 42,863                          | -  | 25,4   | -      | 0,3                          | -                            | 49 500                     | 60 000             | 15 000  | A <sub>o</sub>    | 0,1187     | -  |
| 28,575                   | F-110036   | -       | 28,575 <sup>+0,046<br/>+0,023</sup> | 41,275                          | -  | 25,4   | -      | 1,1                          | -                            | 41 000                     | 72 000             | 5 000   | A <sub>o</sub> *  | 0,1079     | -  |
|                          | F-201379   | -       | 28,575 <sup>+0,046<br/>+0,023</sup> | 41,275                          | -  | 25,4   | -      | 1,1                          | -                            | 34 500                     | 51 000             | 15 000  | A <sub>o</sub>    | 0,1020     | -  |
| 28,587                   | F-45779    | -       | 28,587                              | 46,038                          | -  | 31,75  | -      | 0,8                          | -                            | 55 000                     | 80 000             | 5 000   | A <sub>o</sub> *  | 0,1983     | -  |
| 32                       | NK 32/20   | -       | 32                                  | 42                              | -  | 20     | -      | 0,3                          | -                            | 23 100                     | 37 500             | 14 000  | A                 | 0,0671     | -  |
| 32.766                   | F-52521.2  | -       | 32,766                              | 49,213                          | -  | 28,575 | -      | 0,4                          | -                            | 60 000                     | 83 000             | 12 000  | A <sub>o</sub>    | 0,1712     | -  |
| 33                       | F-51201    | -       | 33 <sup>+0,075<br/>+0,050</sup>     | 48 <sup>+0,011<br/>+0,005</sup> | -  | 15     | -      | 0,6 × 45°                    | -                            | 19 800                     | 21 900             | 13 000  | A <sub>o</sub>    | 0,0709     | TN |
|                          | F-45898    | -       | 33                                  | 50,981                          | -  | 20     | -      | 0,7                          | -                            | 33 500                     | 38 500             | 12 000  | A <sub>o</sub>    | 0,1221     | TN |
| 35                       | F-110541   | 35      | 45                                  | 55                              | -  | 20     | 21,095 | 0,3                          | 0,3                          | 27 500                     | 53 000             | 10 000  | B <sub>o</sub>    | 0,2450     | -  |
|                          | F-110543   | -       | 35                                  | 57                              | -  | 30     | -      | 0,6                          | -                            | 74 000                     | 91 000             | 10 000  | A <sub>o</sub>    | 0,2880     | -  |
| 40                       | NKI 40/20  | 40      | 45                                  | 55                              | -  | 20     | -      | 0,3                          | 0,3                          | 27 500                     | 53 000             | 10 000  | B                 | 0,1417     | -  |
|                          | NK 40/30   | -       | 40                                  | 50                              | -  | 30     | -      | 0,3                          | -                            | 39 000                     | 79 000             | 11 000  | A                 | 0,1237     | -  |
| 44,450                   | F-212083.1 | -       | 44,450                              | 58,738                          | -  | 19,18  | -      | 0,7                          | -                            | 30 000                     | 47 500             | 9 000   | A                 | 0,1300     | -  |
| 45                       | NK 45/20   | -       | 45                                  | 55                              | -  | 20     | -      | 0,3                          | -                            | 27 500                     | 53 000             | 10 000  | A                 | 0,0911     | -  |
| 48                       | F-33480    | -       | 48                                  | 62                              | -  | 14,5   | -      | 0,7                          | -                            | 22 200                     | 33 500             | 9 000   | A <sub>o</sub>    | 0,1062     | -  |
| 50,800                   | F-212227.1 | -       | 50,800                              | 65,022                          | -  | 20,04  | -      | 0,7                          | -                            | 33 500                     | 57 000             | 8 000   | A                 | 0,1530     | -  |
|                          | F-209274.1 | -       | 50,800                              | 65,088                          | -  | 22,23  | -      | 0,7                          | -                            | 36 500                     | 65 000             | 8 000   | A                 | 0,1690     | -  |

As dimensões com tolerâncias não correspondem às normas para rolamentos DIN 620.

1) Lubrificação a óleo. Com graxa usar somente 60% dos valores.

2) Material da gaiola.

o = sem furo e canaleta de lubrificação.

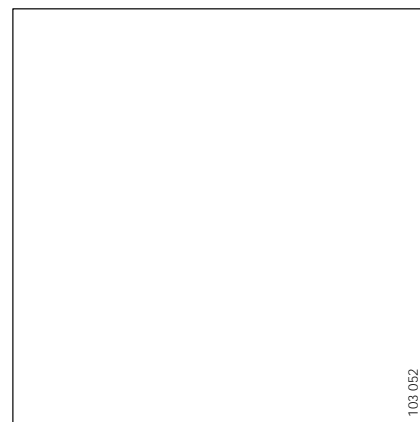
\* = sem gaiola.

\*\* = com furo de trava no anel externo.

TN = gaiola plástica.

# Rolamentos de agulhas

Série NCS



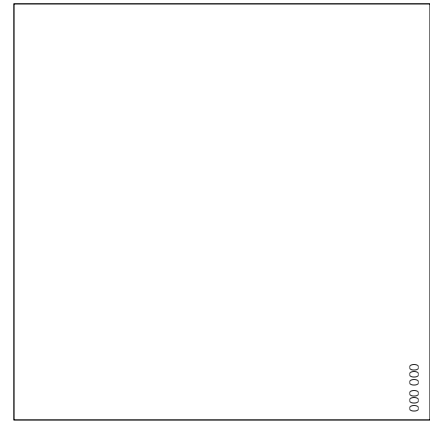
103 052

| Tabela de medidas · Medidas em mm    |          |                |         |       |                       |                            |                             |   |            |
|--------------------------------------|----------|----------------|---------|-------|-----------------------|----------------------------|-----------------------------|---|------------|
| Diâmetro nominal do eixo<br>polegada | Código   | Medidas        |         |       |                       | Capacidade básica de carga |                             | Rotações máximas <sup>1)</sup><br>min <sup>-1</sup> | Peso<br>kg |
|                                      |          | F <sub>w</sub> | D       | C     | r <sub>s</sub><br>min | din.<br>C<br>N             | est.<br>C <sub>0</sub><br>N |   |            |
| 5/8"                                 | NCS 1012 | 15,875         | 28,575  | 19,05 | 0,7                   | 16 400                     | 16 700                      | 23 000  | 0,0498     |
|                                      | NCS 1016 | 15,875         | 28,575  | 25,40 | 0,7                   | 21 100                     | 23 000                      | 23 000  | 0,0680     |
| 3/4"                                 | NCS 1212 | 19,050         | 31,750  | 19,05 | 1,1                   | 20 400                     | 23 000                      | 21 000  | 0,0544     |
|                                      | NCS 1216 | 19,050         | 31,750  | 25,40 | 1,1                   | 26 000                     | 32 000                      | 21 000  | 0,0725     |
| 7/8"                                 | NCS 1412 | 22,225         | 34,925  | 19,05 | 1,1                   | 22 800                     | 27 500                      | 18 000  | 0,0589     |
|                                      | NCS 1416 | 22,225         | 34,925  | 25,40 | 1,1                   | 29 500                     | 38 000                      | 18 000  | 0,0815     |
| 1"                                   | NCS 1612 | 25,400         | 38,100  | 19,05 | 1,1                   | 25 000                     | 32 000                      | 16 000  | 0,0680     |
|                                      | NCS 1616 | 25,400         | 38,100  | 25,40 | 1,1                   | 32 000                     | 44 500                      | 16 000  | 0,0906     |
| 1 1/8"                               | NCS 1816 | 28,575         | 41,275  | 25,40 | 1,1                   | 34 500                     | 51 000                      | 14 000  | 0,0997     |
|                                      | NCS 1820 | 28,575         | 41,275  | 31,75 | 1,1                   | 44 500                     | 70 000                      | 14 000  | 0,1268     |
| 1 1/4"                               | NCS 2012 | 31,750         | 44,450  | 19,05 | 1,1                   | 28 000                     | 39 000                      | 13 000  | 0,0815     |
|                                      | NCS 2016 | 31,750         | 44,450  | 25,40 | 1,1                   | 35 500                     | 54 000                      | 13 000  | 0,1087     |
|                                      | NCS 2020 | 31,750         | 44,450  | 31,75 | 1,1                   | 46 000                     | 75 000                      | 13 000  | 0,1359     |
| 1 3/8"                               | NCS 2216 | 34,925         | 47,625  | 25,40 | 1,1                   | 36 500                     | 57 000                      | 11 000  | 0,1178     |
|                                      | NCS 2220 | 34,925         | 47,625  | 31,75 | 1,1                   | 49 000                     | 84 000                      | 11 000  | 0,1495     |
| 1 1/2"                               | NCS 2416 | 38,100         | 52,388  | 25,40 | 1,5                   | 45 500                     | 70 000                      | 10 000  | 0,1540     |
|                                      | NCS 2420 | 38,100         | 52,388  | 31,75 | 1,5                   | 56 000                     | 91 000                      | 10 000  | 0,1903     |
| 1 5/8"                               | NCS 2616 | 41,275         | 55,562  | 25,40 | 1,5                   | 47 000                     | 74 000                      | 10 000  | 0,1631     |
|                                      | NCS 2620 | 41,275         | 55,562  | 31,75 | 1,5                   | 49 500                     | 89 000                      | 10 000  | 0,2084     |
| 1 3/4"                               | NCS 2816 | 44,450         | 58,738  | 25,40 | 1,5                   | 42 000                     | 73 000                      | 9 000   | 0,1767     |
|                                      | NCS 2820 | 44,450         | 58,738  | 31,75 | 1,5                   | 59 000                     | 102 000                     | 9 000   | 0,2174     |
| 1 7/8"                               | NCS 3016 | 47,625         | 61,912  | 25,40 | 1,5                   | 42 500                     | 77 000                      | 8 000   | 0,1857     |
|                                      | NCS 3020 | 47,625         | 61,912  | 31,75 | 1,5                   | 62 000                     | 112 000                     | 8 000   | 0,2310     |
| 2"                                   | NCS 3216 | 50,800         | 65,088  | 25,40 | 1,5                   | 51 000                     | 84 000                      | 8 000   | 0,1767     |
|                                      | NCS 3220 | 50,800         | 65,088  | 31,75 | 1,5                   | 64 000                     | 117 000                     | 8 000   | 0,2265     |
| 2 1/4"                               | NCS 3624 | 57,150         | 76,200  | 38,10 | 1,5                   | 89 000                     | 162 000                     | 7 000   | 0,4213     |
| 2 1/2"                               | NCS 4024 | 63,500         | 82,550  | 38,10 | 2,0                   | 96 000                     | 185 000                     | 6 000   | 0,4711     |
| 2 3/4"                               | NCS 4424 | 69,850         | 88,900  | 38,10 | 2,0                   | 99 000                     | 201 000                     | 6 000   | 0,5028     |
| 3"                                   | NCS 4824 | 76,200         | 95,250  | 38,10 | 2,0                   | 93 000                     | 188 000                     | 5 000   | 0,5572     |
| 3 1/4"                               | NCS 5228 | 82,550         | 107,950 | 44,45 | 2,0                   | 131 000                    | 240 000                     | 5 000   | 0,9604     |
|                                      | NCS 5232 | 82,550         | 107,950 | 50,80 | 2,0                   | 149 000                    | 280 000                     | 5 000   | 1,1008     |
| 3 1/2"                               | NCS 5632 | 88,900         | 114,300 | 50,80 | 2,0                   | 152 000                    | 295 000                     | 4 000   | 1,1642     |
| 4 1/4"                               | NCS 6832 | 107,950        | 133,350 | 50,80 | 2,0                   | 196 000                    | 430 000                     | 3 500   | 1,3182     |

1) Lubrificação a óleo. Com graxa usar somente 60% dos valores.

# Gaiolas de agulhas com anéis internos

Série KI



**Tabela de medidas** - Medidas em mm

| Diâmetro nominal do eixo | Código           | Medidas |                |       |                       | Capacidade básica de carga |                             | Rotações máximas <sup>1)</sup><br>min <sup>-1</sup> | Forma | Peso<br>kg | 2) |
|--------------------------|------------------|---------|----------------|-------|-----------------------|----------------------------|-----------------------------|---|-------|------------|----|
|                          |                  | d       | E <sub>w</sub> | C     | r <sub>1</sub><br>min | din.<br>C<br>N             | est.<br>C <sub>0</sub><br>N |   |       |            |    |
| <b>24,8</b>              | <b>F-85378.1</b> | 24,8    | 36             | 51,85 | 0,8 × 15°             | 40 500                     | 87 000                      | 13 000  | *     | 0,1496     | TN |
| <b>25</b>                | <b>F-24151</b>   | 25      | 38             | 26,1  | 0,5                   | 27 500                     | 46 500                      | 13 000  | -     | 0,0879     | TN |
| <b>26</b>                | <b>F-84701</b>   | 26      | 37             | 28,15 | 0,2 × 45°             | 23 600                     | 43 500                      | 13 000  | -     | 0,0807     | TN |
| <b>35</b>                | <b>F-24152</b>   | 35      | 52             | 21,09 | 0,5                   | 29 500                     | 52 000                      | 9 000   | -     | 0,1345     | TN |

1) Lubrificação a óleo. Com graxa usar somente 60% dos valores.

2) Material da gaiola.

\* = com duas carreiras.

TN = gaiola plástica.

# Rolamentos de esferas

Os rolamentos INA de uma carreira de esferas são adequados para as mais variadas aplicações.

Próprios para transmitir cargas radiais e axiais, podendo ser aplicados a altas rotações. Estes rolamentos podem ser utilizados em um campo de temperatura de  $-30\text{ °C}$  a  $+120\text{ °C}$ .

## Construção

Os rolamentos desta série são compostos por dois anéis, um externo e outro interno e uma gaiola separadora de esferas. Estes rolamentos seguem em suas especificações de material, acabamento e tolerâncias de medidas, a norma DIN 625.

Os anéis são fabricados com aço 100 Cr 6 temperados, retificados e lapidados. As gaiolas podem ser de poliamida 6.6, com ou sem reforço de fibra de vidro, sufixo TN, ou de chapa de aço.

Podem ser fornecidos com uma ranhura no anel externo, sufixo N e com anel de retenção sufixo NR, simplificando a fixação do rolamento na aplicação.

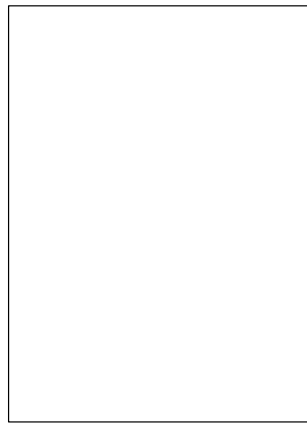
## Vedação

Estes rolamentos podem ser fornecidos com vedações ou somente com blindagem tipo Z. As vedações ou as blindagens podem ser unilaterais tipo RS ou Z, ou bilaterais tipo 2RS ou ZZ.

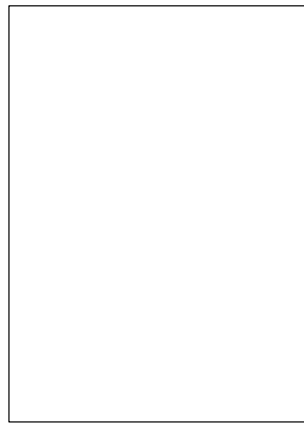
## Lubrificação

Os rolamentos INA de uma carreira de esferas vedados são fornecidos de fábrica com graxa de sabão de lítio em uma quantidade suficiente para toda sua vida útil.

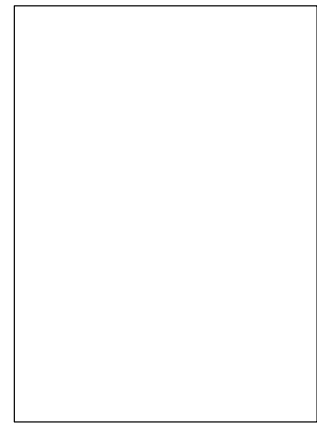
## Rolamentos de esferas



Forma A



Forma B



Forma C

**Tabela de medidas** - Medidas em mm

| Diâmetro nominal do eixo | Código             | Medidas |        |                |                |        |                |                | Capacidade básica de carga |                             | Rotações máximas <sup>1)</sup><br>min <sup>-1</sup> | Folga radial | Forma <sup>2)</sup> | Peso<br>kg |        |
|--------------------------|--------------------|---------|--------|----------------|----------------|--------|----------------|----------------|----------------------------|-----------------------------|---|--------------|---------------------|------------|--------|
|                          |                    | d       | D      | D <sub>1</sub> | D <sub>2</sub> | B      | B <sub>1</sub> | B <sub>2</sub> | din.<br>C<br>N             | est.<br>C <sub>0</sub><br>N |   |              |                     |            |        |
| <b>16</b>                | <b>F-110093</b>    | 16      | 42     | -              | -              | 13     | -              | -              | 11 400                     | 4 650                       | 16 000  | 0,015-0,025  | A                   | TN         | 0,0722 |
| <b>17</b>                | <b>F-110489</b>    | 17      | 40     | -              | -              | 9      | -              | -              | 9 560                      | 4 750                       | 16 000  | 0-0,009      | A                   | TN         | 0,0580 |
| <b>19,055</b>            | <b>F-45461</b>     | 19,055  | 30,162 | -              | -              | 6,35   | 7,13           | -              | 3 350                      | 1 770                       | 24 000  | 0,012-0,038  | C                   | TN         | 0,0155 |
| <b>20</b>                | <b>F-44170</b>     | 20      | 47     | -              | -              | 18     | -              | -              | 12 800                     | 5 700                       | 10 000  | 0,006-0,018  | A                   | TN2RS      | 0,1280 |
| <b>22</b>                | <b>F-45775.1</b>   | 22      | 50     | -              | -              | 14     | -              | -              | 17 200                     | 8 500                       | 15 000  | 0,019-0,029  | A                   | TN         | 0,1030 |
| <b>23</b>                | <b>F-110161.1</b>  | 23      | 50     | -              | -              | 14     | -              | -              | 15 200                     | 7 900                       | 9 000   | 0,013-0,028  | A                   | TN2RS      | 0,1030 |
| <b>25,400</b>            | <b>F-45980.1</b>   | 25,4    | 52     | -              | -              | 15     | -              | -              | 14 000                     | 6 800                       | 9 000   | 0,015-0,025  | A                   | TN2RS      | 0,2500 |
| <b>28</b>                | <b>F-44821</b>     | 28      | 67     | 63,6           | 71,7           | 18     | 4,95           | 1,7            | 29 000                     | 13 200                      | 14 000  | 0,005-0,020  | B                   | NRTN       | 0,2549 |
|                          | <b>F-110617</b>    | 28      | 67     | 63,6           | 71,7           | 18     | 4,98           | 1,7            | 26 500                     | 14 000                      | 8 500   | 0,013-0,028  | B                   | NRTN2RS    | 0,2740 |
|                          | <b>F-122802</b>    | 28      | 68     | 64,82          | -              | 19     | 5,18           | 1,9            | 29 500                     | 15 300                      | 8 500   | 0,017-0,034  | B                   | NTN2RS     | 0,2900 |
| <b>28,575</b>            | <b>F-45073</b>     | 28,575  | 71,425 | -              | -              | 20,638 | -              | -              | 30 000                     | 13 700                      | 11 000  | 0,013-0,028  | A                   | -          | 0,3482 |
| <b>30</b>                | <b>F-110507</b>    | 30      | 55     | -              | -              | 15,5   | -              | -              | 13 200                     | 8 300                       | 15 000  | 0,020-0,028  | A                   | TN*        | 0,1280 |
|                          | <b>F-110164</b>    | 30      | 55     | -              | -              | 19     | -              | -              | 13 200                     | 7 100                       | 9 000   | 0,023-0,041  | A                   | TN2RS      | 0,1630 |
| <b>31,750</b>            | <b>F-110099</b>    | 31,750  | 72     | -              | -              | 19     | -              | -              | 25 500                     | 13 200                      | 9 000   | 0,006-0,020  | A                   | TN2RS      | 0,3328 |
| <b>36,513</b>            | <b>F-45385</b>     | 36,513  | 68     | -              | -              | 15     | -              | -              | 16 700                     | 10 000                      | 9 000   | 0,015-0,046  | A                   | TNZZ       | 0,2005 |
| <b>45</b>                | <b>62309 2RS</b>   | 45      | 100    | -              | -              | 36     | -              | -              | 53 000                     | 27 500                      | 8 000   | 0,008-0,020  | A                   | 2RS        | 1,1450 |
| <b>50</b>                | <b>6010 TN 2RS</b> | 50      | 80     | -              | -              | 16     | -              | -              | 21 600                     | 16 000                      | 5 000   | 0,030-0,051  | A                   | TN2RS      | 0,2710 |
|                          | <b>F-45884</b>     | 50      | 90     | -              | -              | 20     | -              | -              | 46 000                     | 30 000                      | 8 500   | 0,006-0,023  | A                   | Z          | 0,4964 |
|                          | <b>F-45884.1</b>   | 50      | 90     | 86,79          | -              | 20     | 5,77           | 2,67           | 46 000                     | 30 000                      | 8 500   | 0,006-0,023  | A                   | NZ         | 0,4964 |
| <b>60</b>                | <b>F-45869.2</b>   | 60      | 95     | -              | -              | 18     | -              | -              | 29 500                     | 20 100                      | 4 300   | 0,045-0,060  | A                   | 2RS        | 0,4113 |
| <b>65</b>                | <b>F-110056.1</b>  | 65      | 100    | -              | -              | 18     | -              | -              | 30 500                     | 21 800                      | 4 000   | 0,038-0,061  | A                   | 2RS        | 0,6175 |

<sup>1)</sup> Lubrificação a óleo. Com graxa usar somente 60% dos valores.

<sup>2)</sup> Material da gaiola e forma de construção.

TN = gaiola plástica.

2RS = com dois anéis de vedação.

Z = com um anel de blindagem.

ZZ = com dois anéis de blindagem.

N = com ranhura para anel de retenção.

NR = com ranhura e anel de retenção.

\* = com dois anéis de vedação em cada lado.

# Rolamentos de rodas para veículos de passeio

São rolamentos com dupla carreira de esferas de contato angular, especialmente aplicados em rodas de automóveis. Estes rolamentos tem alta capacidade de carga radial como também axial e são aplicados em altas rotações.

Podem ser utilizados em um campo de temperatura de trabalho de  $-30\text{ °C}$  a  $+120\text{ °C}$ .

## Construção

No anel externo com duas pistas de contato angular, são previstos chanfros para facilitar a montagem.

A gaiola de poliamida com reforço de fibra de vidro garante a perfeita guia do conjunto de esferas.

O anel interno é constituído de duas partes, cada um com uma carreira de esferas, o que permite uma quantidade e diâmetro de esferas maior em relação às construções convencionais desse tipo de rolamento.

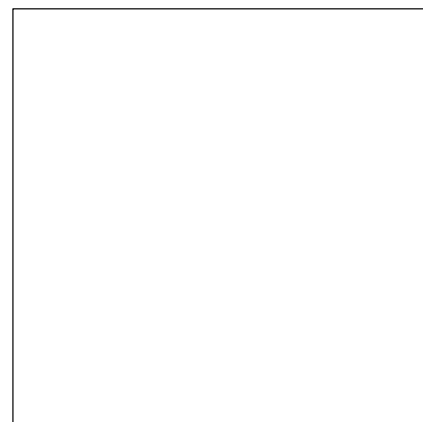
## Vedação

Devido a sua localização sujeita a contaminações deve-se dar especial atenção quanto a proteção desse tipo de rolamento. Podem ser aplicadas uma ou duas vedações em ambos os lados do rolamento ou uma vedação dupla com blindagem.

## Lubrificação

Estes rolamentos são fornecidos de fábrica com graxa de sabão de lítio em uma quantidade suficiente para toda sua vida útil.

## Rolamentos de rodas para veículos de passeio



| Tabela de medidas - Medidas em mm |                               |         |        |    |                            |                             |            |
|-----------------------------------|-------------------------------|---------|--------|----|----------------------------|-----------------------------|------------|
| Diâmetro nominal do eixo          | Código                        | Medidas |        |    | Capacidade básica de carga |                             | Peso<br>kg |
|                                   |                               | d       | D      | B  | din.<br>C<br>N             | est.<br>C <sub>0</sub><br>N |            |
| <b>30</b>                         | <b>F-45721</b>                | 30      | 60,03  | 37 | 37 500                     | 30 500                      | 0,4184     |
| <b>34</b>                         | <b>F-110487<sup>1)</sup></b>  | 34      | 66     | 37 | 43 000                     | 35 000                      | 0,4950     |
| <b>35</b>                         | <b>F-45951.1<sup>2)</sup></b> | 35      | 68     | 37 | 44 500                     | 37 500                      | 0,5300     |
| <b>37</b>                         | <b>F-110424<sup>2)</sup></b>  | 37      | 72,040 | 37 | 45 000                     | 39 000                      | 0,6140     |
| <b>39</b>                         | <b>F-45747</b>                | 39      | 68,070 | 37 | 40 000                     | 37 000                      | 0,4510     |
|                                   | <b>F-45920.1</b>              | 39      | 72,040 | 37 | 45 000                     | 39 000                      | 0,5800     |
| <b>40</b>                         | <b>F-110457</b>               | 40      | 72     | 37 | 48 500                     | 42 000                      | 0,5250     |

1) Vedação dupla com blindagem em ambos os lados.

2) Duas vedações em ambos os lados.

# Gaiolas axiais de agulhas

A gaiola axial de agulhas é o elemento base do rolamento axial de agulhas. As agulhas são fixadas e guiadas pelas janelas da gaiola. A alta precisão das agulhas contribui para uma perfeita distribuição da carga.

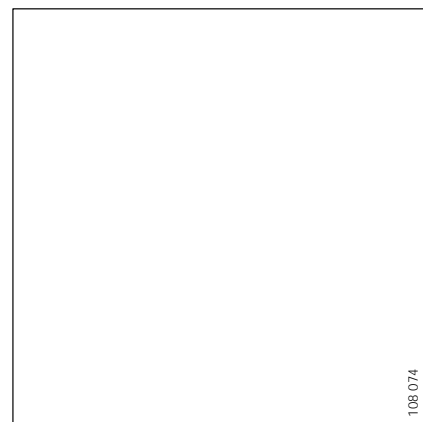
Na possibilidade das contra-peças serem utilizadas como pistas para rolamento, obtém-se construções bastante compactas. Não sendo possível, podem-se aplicar os diversos tipos de discos axiais INA.

Mesmo em altas rotações tem-se uma baixa velocidade tangencial na superfície da guia, em função da gaiola axial de agulhas ser guiada pelo eixo.

Gaiolas axiais de agulhas AXK podem ser combinadas com os discos das séries AS, GS, WS, LS e ZS (vide catálogo 307).

# Gaiolas axiais de agulhas

Série AXK



108.074

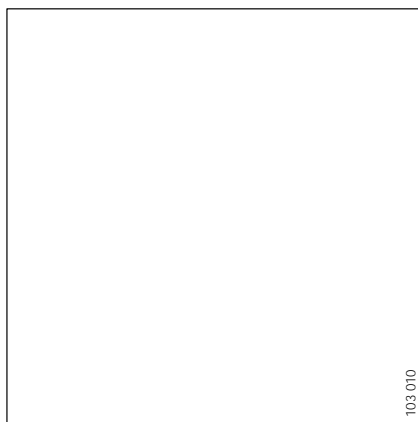
| Tabela de medidas - Medidas em mm |                    |                 |                |                |                    |                |                            |                             |   |            |    |
|-----------------------------------|--------------------|-----------------|----------------|----------------|--------------------|----------------|----------------------------|-----------------------------|---|------------|----|
| Diâmetro nominal do eixo          | Código             | Medidas         |                |                | Medidas das pistas |                | Capacidade básica de carga |                             | Rotações máximas <sup>1)</sup><br>min <sup>-1</sup> | Peso<br>kg | 2) |
|                                   |                    | D <sub>c1</sub> | D <sub>c</sub> | D <sub>w</sub> | E <sub>b</sub>     | E <sub>a</sub> | din.<br>C<br>N             | est.<br>C <sub>0</sub><br>N |   |            |    |
| 17                                | <b>AXK 1730</b>    | 17              | 30             | 2              | 19                 | 29             | 11 900                     | 39 500                      | 12 000  | 0,0040     | -  |
|                                   | <b>F-110129-50</b> | 17              | 34             | 2,5            | 20                 | 31             | 16 200                     | 51 000                      | 12 000  | 0,0060     | -  |
| 31,5                              | <b>F-94974-10</b>  | 31,5            | 47             | 2              | 34                 | 44             | 15 700                     | 66 000                      | 7 000   | 0,0050     | TN |
| 35                                | <b>AXK 3552</b>    | 35              | 52             | 2              | 39                 | 51             | 17 800                     | 81 000                      | 6 500   | 0,0100     | -  |
| 40                                | <b>AXK 4060</b>    | 40              | 60             | 3              | 45                 | 58             | 28 000                     | 114 000                     | 6 000   | 0,0160     | -  |
| 45                                | <b>AXK 4565</b>    | 45              | 65             | 3              | 50                 | 63             | 30 000                     | 128 000                     | 5 000   | 0,0180     | -  |
| 120                               | <b>AXK 120155</b>  | 120             | 155            | 4              | 125                | 153            | 102 000                    | 680 000                     | 2 100   | 0,1310     | -  |

1) Rotações máximas com lubrificação a óleo. Com lubrificação à graxa são permissíveis apenas 25% dos valores indicados.

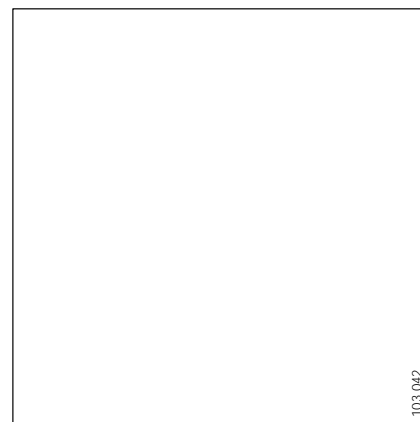
2) Material da gaiola.

TN = gaiola plástica.

# Anéis internos



Anel interno IR



Anel interno LR

Os anéis internos INA permitem resolver construções práticas e econômicas, quando os eixos não podem ser utilizados diretamente como pistas de rolamento, ou p. ex. para pistas de vedação, (vide configuração de rolamentos pág. 43).

Para adaptar-se a deslocamentos axiais maiores sobre o eixo, ou se for necessário um anel de vedação adicional, são oferecidos anéis internos de diferentes larguras.

Existem duas séries de anéis internos IR e LR. Os anéis internos da série LR, têm tolerâncias maiores do que os anéis da série IR (vide desenho de medidas).

Os anéis internos LR mais baratos, são usados principalmente em combinação com buchas de agulhas INA com e sem fundo.

## Anéis internos IR

Anéis internos IR são temperados e tem um superacabamento. A tolerância de medida, de forma e de posição corresponde a classe de tolerância PN, segundo DIN 620. A tolerância do diâmetro da pista «F» é tal que, uma vez montado num rolamento de agulha INA, se obtém uma folga de funcionamento normal.

Os chanfros nas faces laterais facilitam a montagem.

Sob pedido a INA pode fornecer anéis internos IR em execução especial:

- com maior precisão (sufixos P5 ou P6)
- com diferentes folgas radiais (sufixos C2, C3 ou C4)
- com pistas retificadas por mergulho, para retentores radiais (vide configuração dos rolamentos, pág. 43). Observar a superfície retificada quando usada para pista de rolamento (sufixo EGS)
- com sobrematerial na pista (sufixo VGS, vide tabela 1)
- com furo de lubrificação (sufixo IS1).

## Anéis internos LR

Os anéis internos LR são temperados e tem um bom acabamento. As faces laterais não são retificadas. A aresta da pista para a face lateral é chanfrada.

Anéis internos LR não tem execução especial.

**Formas construtivas** · Anéis internos INA são fornecidos nos seguintes tipos:

| Série           | Características  |
|-----------------|--|
| Anel interno IR | Anel interno com tolerâncias segundo DIN 620                   |
| Anel interno LR | Anel interno com tolerâncias maiores (vide desenho de medidas) |

Tabela 1 · Sobrematerial z para IR..VGS

| Diâmetro da pista F mm |     | Sobrematerial z mm | Diâmetro da pista preretificado F <sub>VGS</sub> |
|------------------------|-----|--------------------|--|
| acima de               | até |                    |  |
| –                      | 30  | 0,1                | F <sub>VGS</sub> = F + Z<br>(Tolerância h7)      |
| 30                     | 80  | 0,15               |  |
| 80                     | 180 | 0,2                |  |
| 180                    | 250 | 0,25               |  |
| 250                    | 315 | 0,3                |  |
| 315                    | 400 | 0,35               |  |
| 400                    | 500 | 0,4                |  |

## Exemplo de pedido

Anel interno série IR:  
 Diâmetro do eixo: 40 mm  
 Diâmetro externo: 45 mm  
 Largura: 20 mm.

|                     |                 |
|---------------------|-----------------|
| Descrição do pedido | IR 40 × 45 × 20 |
| Referência          |                 |

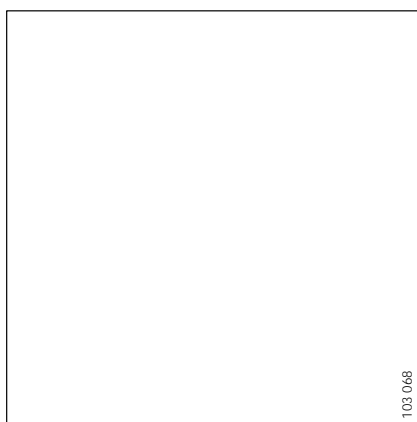
## Informações técnicas complementares

- Na parte do catálogo
- Fundamentos da técnica de rolamentos (pág. 10).

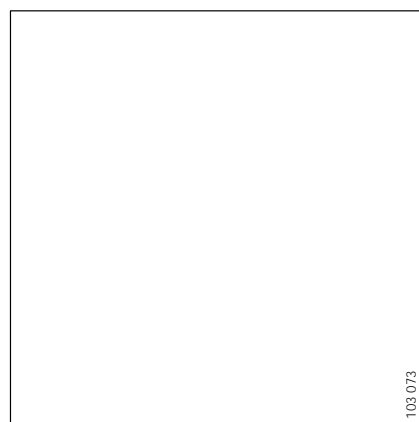
## Sufixos para execuções especiais

No capítulo – Índice de sufixos (pág. 8).

# Anéis internos



IR



LR

| Tabela de medidas - Medidas em mm |                            |                                   |                                   |                          |          |            |
|-----------------------------------|----------------------------|-----------------------------------|-----------------------------------|--------------------------|----------|------------|
| Diâmetro nominal do eixo          | Código                     | Medidas                           |                                   |                          |          | Peso<br>kg |
|                                   |                            | d                                 | F                                 | B                        | r<br>min |            |
| 12                                | F-13938-11                 | 12 <sub>-0,008</sub>              | 15 <sub>-0,008</sub>              | 18,5 <sub>-0,10</sub>    | 0,3      | 0,0090     |
| 17                                | IR 17 × 22 × 13            | 17 <sub>-0,008</sub>              | 22 <sub>-0,012</sub>              | 13 <sub>-0,12</sub>      | 0,3      | 0,0148     |
|                                   | F-45603-11                 | 17 <sub>-0,008</sub>              | 24,5 <sub>-0,014<br/>-0,029</sub> | 14 <sub>-0,12</sub>      | 0,7      | 0,0255     |
| 24,8                              | F-85378-31                 | 24,8 <sub>-0,010</sub>            | 31 <sub>-0,013<br/>-0,023</sub>   | 51,85 <sub>-0,06</sub>   | 0,2      | 0,1082     |
| 25                                | F-5082-51                  | 25 <sub>-0,010</sub>              | 32 <sub>-0,015</sub>              | 20 <sub>-0,10</sub>      | 0,3      | 0,0463     |
|                                   | F-24151-11                 | 25 <sub>-0,010</sub>              | 32 <sub>-0,011<br/>-0,023</sub>   | 26,1 <sub>-0,05</sub>    | 0,3      | 0,0617     |
| 26                                | F-50579-11                 | 26 <sub>+0,003<br/>-0,010</sub>   | 32 <sub>-0,007<br/>-0,019</sub>   | 28,15 <sub>-0,1</sub>    | 0,2      | 0,0600     |
| 28,2                              | F-110189                   | 28,2 <sub>+0,007<br/>-0,014</sub> | 35 <sub>-0,009<br/>-0,020</sub>   | 25,845 <sub>-0,04</sub>  | 0,2      | 0,0650     |
| 29                                | F-207515-11                | 29 <sub>-0,027<br/>-0,043</sub>   | 35 <sub>-0,025<br/>-0,029</sub>   | 24,25 <sub>-0,15</sub>   | 0,1      | 0,0550     |
| 29,984                            | F-67011-11                 | 29,984 <sub>+0,013</sub>          | 47 <sub>-0,016<br/>-0,031</sub>   | 30,16 <sub>-0,12</sub>   | 0,7      | 0,2400     |
| 30,6                              | F-219301-11                | 30,6 <sub>-0,029<br/>-0,047</sub> | 35 <sub>-0,029<br/>-0,033</sub>   | 25,85 <sub>-0,15</sub>   | 0,1      | 0,0450     |
| 31,75                             | LR 31,75 × 38,077 × 25,65° | 31,75 <sub>-0,013</sub>           | 38,077 <sub>-0,018</sub>          | 25,65 <sub>-0,21</sub>   | 0,3      | 0,0673     |
| 32                                | F-45504.2-11               | 32 <sub>-0,012</sub>              | 44,9 <sub>-0,019<br/>-0,029</sub> | 19 <sub>-0,12</sub>      | 1,5      | 0,1107     |
| 34,993                            | F-45818-11                 | 34,993 <sub>-0,012</sub>          | 49,5 <sub>-0,007<br/>-0,022</sub> | 23 <sub>-0,12</sub>      | 0,7      | 0,1667     |
| 35                                | F-24152-11                 | 35 <sub>-0,012</sub>              | 45 <sub>-0,011<br/>-0,023</sub>   | 21,093 <sub>-0,052</sub> | 0,3      | 0,1001     |
|                                   | F-45064                    | 35 <sub>+0,003<br/>-0,012</sub>   | 45 <sub>-0,012<br/>-0,022</sub>   | 21,095 <sub>-0,065</sub> | 0,3      | 0,1000     |
| 40                                | IR 40 × 45 × 20            | 40 <sub>-0,012</sub>              | 45 ± 0,005                        | 20 <sub>-0,12</sub>      | 0,3      | 0,0523     |
| 43,2                              | F-45930                    | 43,2 <sub>-0,017</sub>            | 48 <sub>-0,045<br/>-0,056</sub>   | 22 ± 1                   | 0,5      | 0,0572     |
|                                   | F-44516                    | 43,2 <sub>-0,017</sub>            | 48 <sub>-0,045<br/>-0,056</sub>   | 38 ± 1                   | 0,5      | 0,0997     |
| 45                                | F-45813-11                 | 45 <sub>-0,012</sub>              | 54,5 <sub>-0,005<br/>-0,020</sub> | 19 <sub>-0,12</sub>      | 1,5      | 0,1034     |
|                                   | NU 309-11                  | 45 <sub>-0,012</sub>              | 58,5 <sub>+0,009<br/>-0,003</sub> | 25 <sub>-0,12</sub>      | 1,9      | 0,2100     |
| 49                                | F-44517+                   | 49 <sub>+0,016</sub>              | 58 <sub>-0,013</sub>              | 46,2 <sub>-0,05</sub>    | 0,2      | 0,2677     |
|                                   | F-44518+                   | 49 <sub>+0,016</sub>              | 58 <sub>-0,013</sub>              | 47,2 <sub>-0,05</sub>    | 0,2      | 0,2736     |
| 53                                | F-110493                   | 53 <sub>+0,013</sub>              | 59,959 <sub>-0,013</sub>          | 42,3 <sub>-0,05</sub>    | 0,3      | 0,190      |
| 60                                | F-45809-11                 | 60 <sub>-0,015</sub>              | 72 <sub>-0,010<br/>-0,025</sub>   | 22 <sub>-0,15</sub>      | 1,9      | 0,1996     |

+ Com furo de lubrificação.

° Com furo e canaleta de lubrificação.

# Rótulas radiais

Rótulas são conjuntos completos cujas principais dimensões correspondem à dos rolamentos.

As dimensões principais estão determinadas nas tabelas de dimensão conforme DIN 648.

Em razão do tratamento superficial para se melhorar o giro e evitar a corrosão das rótulas tipo aço/aço, podem ocorrer desvios de tolerâncias que por serem tão pequenos tornam-se insignificantes. Da mesma forma em rótulas com anel externo partido podem ocorrer desvios de circularidade. A circularidade é corrigida após correta montagem em seu alojamento.

Para se determinar a exatidão dimensional da rótula, as medições do diâmetro externo só podem ser feitas após a montagem definitiva.

As tolerâncias de forma e dimensão dos diâmetros internos e externos correspondem às tolerâncias de dimensão e forma normal dos rolamentos, DIN 620. Por se tratar de valores aritméticos médios, podem ocorrer pequenos desvios em razão das medições serem feitas em pontos diferentes.

Tabela 1 · Tolerâncias de montagem

| Material do alojamento | Tolerância do alojamento | Tolerância do eixo |
|------------------------|--------------------------|--------------------|
| Aço ou Fo.Fo.          | M7                       | m6                 |
| Metal leve             | N7                       | m6                 |

## Lubrificação

As rótulas além de serem fosfatizadas e lubrificadas com uma camada de bissulfeto de molibdênio, vem protegidas com uma camada de óleo conservante. Após a montagem é necessário lubrificá-las com graxa a base de lítio de grau 2 ou 3 e de preferência com aditivo MoS<sub>2</sub> numa proporção de 3% ou aditivos à base de cálcio e ligas de fosfato de zinco.

Para efeitos de cálculo pode-se considerar que o coeficiente de atrito em rótulas de par aço/aço, em condições normais de lubrificação é de 0,08 a 0,22  $\mu\text{m}$ .

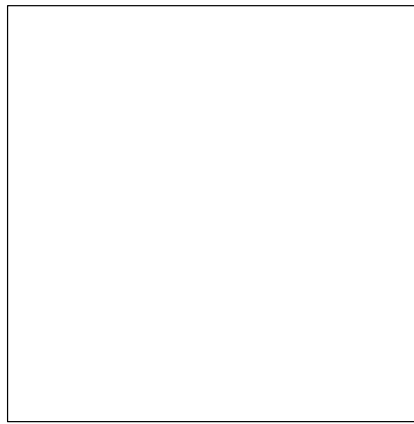
## Vedação

Em ambientes com contaminações aplicamos rótulas com vedações, isto é, com sufixo «2RS». Devido ao material (Poliuretano) das vedações a temperatura máxima de funcionamento não deve exceder 130 °C.

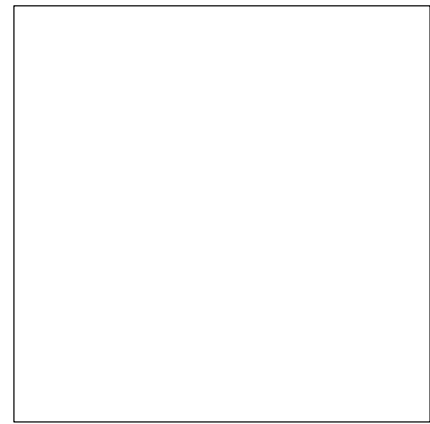
Para demais particularidades técnicas, dimensionamentos e aplicações em geral, pedimos contactar-nos.

# Rótulas radiais

lubrificáveis  
deslizamento: aço/aço



GE..DO  
GE..ZO  
16-348



GE..DO2RS

| Tabela de medidas - Medidas em mm |                         |                          |                         |                         |      |                                  |                       |                       |              |       |                            |                              |            |
|-----------------------------------|-------------------------|--------------------------|-------------------------|-------------------------|------|----------------------------------|-----------------------|-----------------------|--------------|-------|----------------------------|------------------------------|------------|
| Código                            | Medidas                 |                          |                         |                         |      |                                  |                       |                       | Folga radial |       | Capacidade básica de carga |                              | Peso<br>kg |
|                                   | d                       | D                        | B <sub>1</sub>          | B <sub>2</sub>          | K    | Angulo de Inclinação<br>$\alpha$ | r <sub>1</sub><br>min | r <sub>2</sub><br>min | de           | até   | din.<br>C<br>kN            | est.<br>C <sub>0</sub><br>kN |            |
| <b>GE 20 DO</b>                   | 20 <sub>-0,010</sub>    | 35 <sub>-0,011</sub>     | 16 <sub>-0,12</sub>     | 12 <sub>-0,24</sub>     | 29   | 9°                               | 0,3                   | 0,3                   | 0,040        | 0,082 | 146                        | 30                           | 0,061      |
| <b>GE 22 ZO</b>                   | 22,25 <sub>-0,010</sub> | 36,513 <sub>-0,011</sub> | 19,431 <sub>-0,12</sub> | 16,662 <sub>-0,24</sub> | 32   | 6°                               | 0,3                   | 0,6                   | 0,080        | 0,180 | 127                        | 42,5                         | 0,080      |
| <b>GE 25 DO</b>                   | 25 <sub>-0,010</sub>    | 42 <sub>-0,011</sub>     | 20 <sub>-0,12</sub>     | 16 <sub>-0,24</sub>     | 35,5 | 7°                               | 0,6                   | 0,6                   | 0,050        | 0,100 | 240                        | 48                           | 0,11       |
| <b>GE 25 ZO</b>                   | 25,4 <sub>-0,010</sub>  | 41,275 <sub>-0,011</sub> | 22,225 <sub>-0,12</sub> | 19,05 <sub>-0,24</sub>  | 35,5 | 6°                               | 0,3                   | 0,6                   | 0,080        | 0,180 | 163                        | 54                           | 0,12       |
| <b>GE 30 DO</b>                   | 30 <sub>-0,010</sub>    | 47 <sub>-0,011</sub>     | 22 <sub>-0,12</sub>     | 18 <sub>-0,24</sub>     | 40,7 | 6°                               | 0,6                   | 0,6                   | 0,050        | 0,100 | 310                        | 62                           | 0,14       |
| <b>GE 35 DO</b>                   | 35 <sub>-0,012</sub>    | 55 <sub>-0,013</sub>     | 25 <sub>-0,12</sub>     | 20 <sub>-0,30</sub>     | 47   | 6°                               | 0,6                   | 1,0                   | 0,050        | 0,100 | 400                        | 80                           | 0,24       |
| <b>16-348</b>                     | 38 <sub>-0,012</sub>    | 55 <sub>-0,013</sub>     | 18 <sub>-0,12</sub>     | 17 <sub>-0,30</sub>     | 47   | 1,5°                             | 0,1                   | 0,9                   | 0,060        | 0,120 | 340                        | 68                           | 0,16       |
| <b>GE 40 DO</b>                   | 40 <sub>-0,012</sub>    | 62 <sub>-0,013</sub>     | 28 <sub>-0,12</sub>     | 22 <sub>-0,30</sub>     | 53   | 7°                               | 0,6                   | 1,0                   | 0,060        | 0,120 | 500                        | 100                          | 0,29       |
| <b>GE 40 DO 2RS</b>               | 40 <sub>-0,012</sub>    | 62 <sub>-0,013</sub>     | 28 <sub>-0,12</sub>     | 22 <sub>-0,30</sub>     | 53   | 7°                               | 0,6                   | 1,0                   | 0,060        | 0,120 | 500                        | 100                          | 0,29       |
| <b>GE 45 DO</b>                   | 45 <sub>-0,012</sub>    | 68 <sub>-0,013</sub>     | 32 <sub>-0,12</sub>     | 25 <sub>-0,30</sub>     | 60   | 7°                               | 0,6                   | 1,0                   | 0,060        | 0,120 | 640                        | 127                          | 0,38       |
| <b>GE 45 DO 2RS</b>               | 45 <sub>-0,012</sub>    | 68 <sub>-0,013</sub>     | 32 <sub>-0,12</sub>     | 25 <sub>-0,30</sub>     | 60   | 7°                               | 0,6                   | 1,0                   | 0,060        | 0,120 | 640                        | 127                          | 0,38       |
| <b>GE 50 DO</b>                   | 50 <sub>-0,012</sub>    | 75 <sub>-0,013</sub>     | 35 <sub>-0,12</sub>     | 28 <sub>-0,30</sub>     | 66   | 6°                               | 0,6                   | 1,0                   | 0,060        | 0,120 | 780                        | 156                          | 0,53       |
| <b>GE 50 DO 2RS</b>               | 50 <sub>-0,012</sub>    | 75 <sub>-0,013</sub>     | 35 <sub>-0,12</sub>     | 28 <sub>-0,30</sub>     | 66   | 6°                               | 0,6                   | 1,0                   | 0,060        | 0,120 | 780                        | 156                          | 0,53       |
| <b>GE 60 DO</b>                   | 60 <sub>-0,015</sub>    | 90 <sub>-0,015</sub>     | 44 <sub>-0,15</sub>     | 36 <sub>-0,40</sub>     | 80   | 6°                               | 1,0                   | 1,0                   | 0,060        | 0,120 | 1220                       | 245                          | 1,0        |
| <b>GE 60 DO 2RS</b>               | 60 <sub>-0,015</sub>    | 90 <sub>-0,015</sub>     | 44 <sub>-0,15</sub>     | 36 <sub>-0,40</sub>     | 80   | 6°                               | 1,0                   | 1,0                   | 0,060        | 0,120 | 1220                       | 245                          | 1,0        |

As rótulas são fosfatizadas à base de manganês e tratadas com bissulfeto de molibdênio (MoS<sub>2</sub>).

Para a lubrificação, aconselha-se graxas à base de bissulfeto de molibdênio (MoS<sub>2</sub>).

O anel externo é partido no sentido longitudinal para montagem do anel interno.

# Rolamentos axiais para suspensão de veículos

Rolamento axial para suspensão de veículos é montado na parte superior da suspensão dianteira, facilita o movimento de oscilação de todo o conjunto ou pelo menos da mola da suspensão e, ao mesmo tempo, é o elo com a carroceria.

Estes tipos de rolamentos se diferenciam pela aplicação em suspensão com amortecedor ou somente com mola. Nesta última as forças de impacto são absorvidas diretamente pela carroceria.

# Rolamentos axiais para suspensão de veículos

| Tabela de medidas - Medidas em mm |                   |         |                |       |       |                            |                             |       |            |      |
|-----------------------------------|-------------------|---------|----------------|-------|-------|----------------------------|-----------------------------|-------|------------|------|
| Diâmetro nominal do eixo          | Código            | Medidas |                |       |       | Capacidade básica de carga |                             | Forma | Peso<br>kg | 1)   |
|                                   |                   | d       | D <sub>1</sub> | D     | T     | din.<br>C<br>N             | est.<br>C <sub>0</sub><br>N |       |            |      |
| <b>12,15</b>                      | <b>F-94163C</b>   | 12,15   | -              | 36,6  | 10,8  | 13 600                     | 17 300                      | B+    | 0,0530     | G40  |
|                                   | <b>F-110511.1</b> | 12,15   | -              | 36,6  | 10,8  | 13 600                     | 17 300                      | B+    | 0,0530     | G40  |
| <b>14,15</b>                      | <b>F-54825.2</b>  | 14,15   | 20,3           | 36,6  | 10,8  | 13 600                     | 17 300                      | B+    | 0,0527     | G40  |
| <b>31,9</b>                       | <b>F-45138Z</b>   | 31,9    | 31,9           | 55,8  | 16,12 | 67 000                     | 125 000                     | A     | 0,1473     | TNG5 |
| <b>37,4</b>                       | <b>F-44879Z</b>   | 37,44   | 37,44          | 55,67 | 16    | 23 100                     | 38 500                      | C     | 0,1126     | G20  |
| <b>38,1</b>                       | <b>F-44514Z</b>   | 38,1    | 38,1           | 66    | 16    | 49 500                     | 131 000                     | A     | 0,2079     | TNG5 |
| <b>41,4</b>                       | <b>F-45953</b>    | 41,4    | 41,4           | 72,88 | 21,69 | 109 000                    | 270 000                     | A     | 0,3417     | TNG4 |
| <b>46,1</b>                       | <b>F-45954</b>    | 46,1    | 46,1           | 83,22 | 24,1  | 127 000                    | 320 000                     | A     | 0,4960     | TNG4 |
| <b>50</b>                         | <b>F-45908</b>    | 50      | -              | 70    | 3,7   | 22 100                     | 117 000                     | D     | 0,0326     | TNG5 |
|                                   | <b>F-110579</b>   | 50      | 50,5           | 74,9  | 16,13 | 72 000                     | 165 000                     | A     | 0,2043     | TNG5 |
| <b>50,5</b>                       | <b>F-44878Z/2</b> | 50,5    | 50,5           | 74,9  | 16,13 | 72 000                     | 165 000                     | A     | 0,2043     | TNG5 |

1) Material da gaiola e grupos do corpo rolante.

+ = pistas das esferas não retificadas.

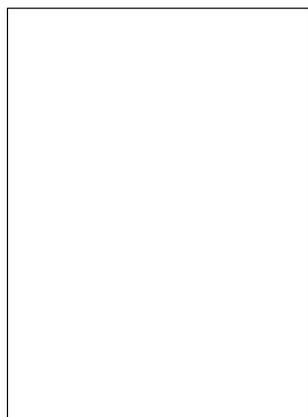
TN = gaiola plástica (Temperatura máxima de trabalho 120 °C).

G4 = grupo de agulhas 0,004.

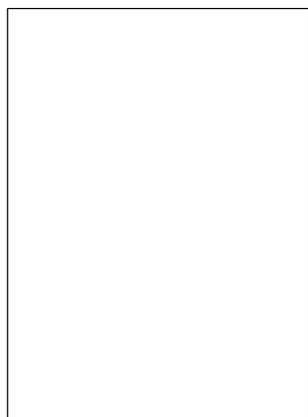
G5 = grupo de agulhas 0,005.

G20 = grupo de esferas 0,002.

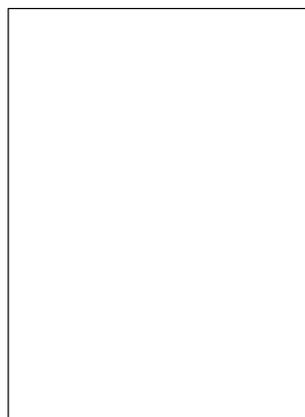
G40 = grupo de esferas 0,004.



Forma A



Forma B



Forma C



Forma D

# Rolamentos de rolos cilíndricos

Os rolamentos de rolos cilíndricos com ou sem gaiola foram projetados para suportar elevadas cargas radiais como também pequenas cargas axiais. Estes rolamentos são fornecidos com ou sem anel interno.

A superfície dos rolos cilíndricos é levemente abaulada para os cantos. Este abaulamento evita pontos de tensão nos cantos quando o rolamento está sob carga ou com flexão no eixo.

Os rolamentos de rolos cilíndricos com exceção dos sem gaiola são desmontáveis, facilitando assim a montagem e a desmontagem no equipamento.

Os anéis interno e externo podem ser montados com interferência.

## Construção

As diferentes versões dos rolamentos de rolos cilíndricos se caracterizam pelo tipo de construção das bordas.

Em versões onde o anel externo possui duas bordas e o anel interno não possui borda ou o anel externo não possui bordas e o anel interno possui duas bordas, estes são designados rolamentos axialmente livres.

As versões cujo anel externo possui duas bordas e o anel interno possui uma borda, podem transferir cargas axiais em um sentido. Os rolamentos de rolos cilíndricos denominados fixos e que podem transferir cargas axiais nos dois sentidos são construídos com duas bordas no anel externo, uma borda no anel interno e com um disco axial livre montado do outro lado.

Os rolamentos de rolos cilíndricos sem anel interno permitem uma construção mais compacta. Os rolos se apoiam diretamente sobre o eixo temperado e retificado com  $R_a \leq 0,4 \mu\text{m}$ .

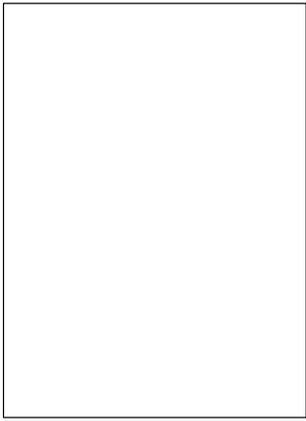


Figura A

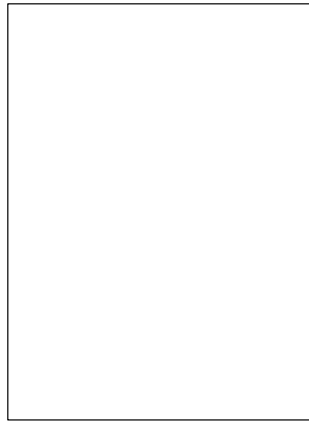


Figura B

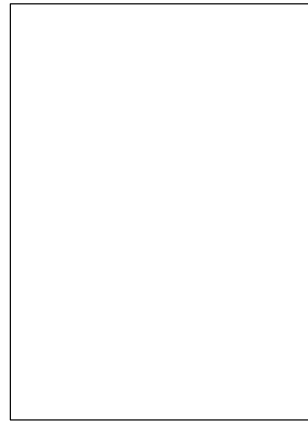


Figura C

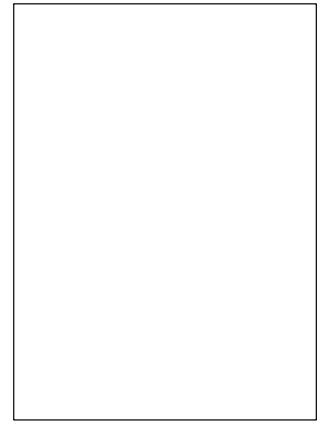


Figura D

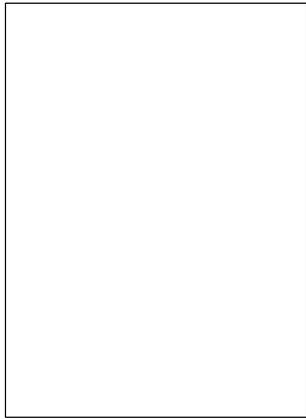


Figura E

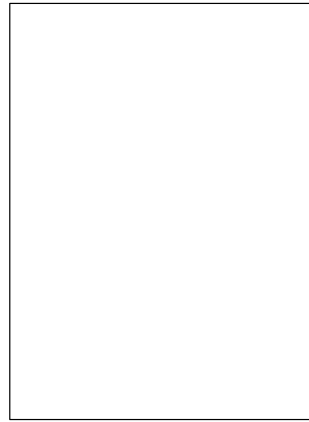


Figura F

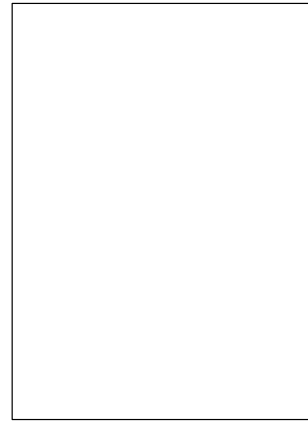


Figura G

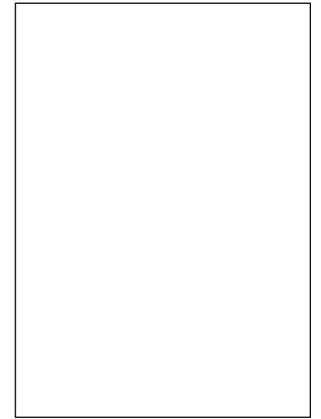


Figura H

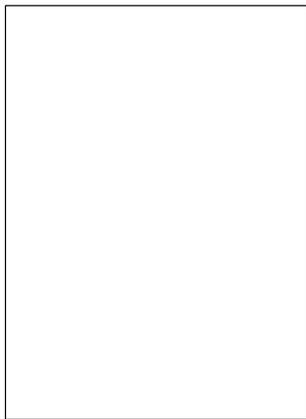


Figura I

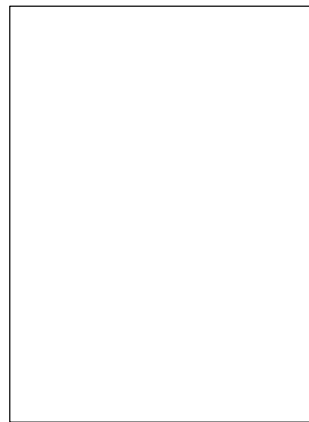


Figura J



Figura K

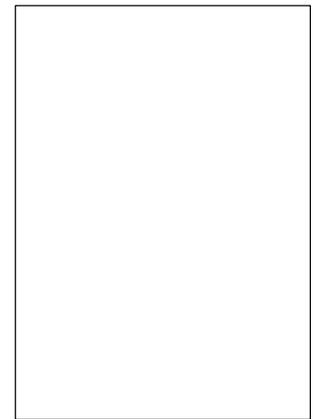


Figura L

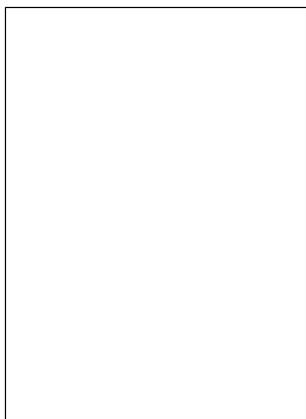


Figura N

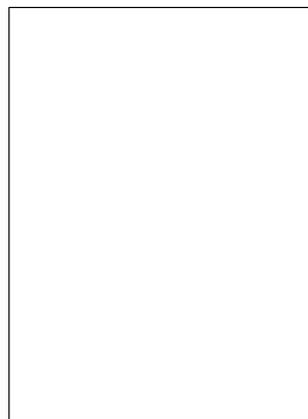


Figura O



Figura P

# Rolamentos de rolos cilíndricos

**Tabela de medidas** · Medidas em mm

| Diâmetro nominal do eixo | Código      | Medidas |        |        |        |                |                |                |                |                |                | Capacidade básica de carga |                             | Rotações máximas <sup>1)</sup><br>min <sup>-1</sup> | 2)<br>Forma | Folga radial<br>de até | Peso<br>kg  |        |
|--------------------------|-------------|---------|--------|--------|--------|----------------|----------------|----------------|----------------|----------------|----------------|----------------------------|-----------------------------|---|-------------|------------------------|-------------|--------|
|                          |             | d       | D      | B      | F      | F <sub>w</sub> | D <sub>1</sub> | D <sub>2</sub> | B <sub>1</sub> | B <sub>2</sub> | B <sub>3</sub> | din.<br>C<br>N             | est.<br>C <sub>0</sub><br>N |   |             |                        |             |        |
| 17                       | F-45603     | 17      | 47     | 14     | 24,5   | –              | –              | –              | –              | –              | –              | 19 100                     | 14 300                      | 17 000  | TN          | J                      | 0,020–0,030 | 0,1152 |
| 20                       | F-81599     | 20      | 52     | 21     | 28,5   | –              | –              | –              | –              | –              | –              | 31 500                     | 26 500                      | 14 000  | TN          | K                      | 0,013–0,038 | 0,2034 |
| 25                       | F-44322.3   | 25      | 52     | 15     | –      | –              | 48,96          | –              | –              | 3,81           | 1,42           | 29 000                     | 30 500                      | 6 000   | V           | L*                     | 0,030–0,065 | 0,1525 |
|                          | F-44952     | 25      | 52     | 15     | 31,5   | –              | –              | –              | –              | –              | –              | 25 500                     | 21 800                      | 14 000  | TN          | K                      | 0,040–0,050 | 0,1330 |
|                          | F-45063     | 25      | 52     | 15     | 32,432 | –              | 48,96          | –              | –              | 3,81           | 1,42           | 19 900                     | 18 200                      | 14 000  | –           | F                      | 0,010–0,045 | 0,1380 |
| 28,5                     | F-81599RNU  | –       | 52     | 21     | –      | 28,5           | –              | –              | –              | –              | –              | 31 500                     | 26 500                      | 14 000  | TN          | O                      | –           | 0,1493 |
| 29,984                   | F-67011     | 29,984  | 72,029 | 30,16  | 47     | –              | –              | –              | –              | –              | –              | 99 000                     | 118 000                     | 12 000  | –           | J                      | 0,041–0,079 | 0,6200 |
| 30                       | F-44501     | 30      | 61,935 | 19,05  | –      | –              | –              | –              | –              | –              | –              | 57 000                     | 62 000                      | 5 000   | V           | A                      | 0,033–0,048 | 0,2692 |
|                          | F-44494     | 30      | 61,935 | 23,813 | –      | –              | –              | –              | –              | –              | –              | 68 000                     | 78 000                      | 5 000   | V           | A                      | 0,033–0,048 | 0,3390 |
|                          | F-44948     | 30      | 62     | 16     | 37,5   | –              | –              | –              | –              | –              | –              | 34 500                     | 30 500                      | 12 000  | TN          | K                      | 0,025–0,035 | 0,2036 |
|                          | F-45425     | 30      | 62     | 16     | –      | –              | –              | –              | –              | –              | –              | 40 500                     | 37 000                      | 5 000   | V           | A                      | 0,050–0,080 | 0,2115 |
|                          | F-44907     | 30      | 62     | 19,05  | –      | –              | –              | –              | –              | –              | –              | 57 000                     | 62 000                      | 5 000   | V           | A                      | 0,033–0,048 | 0,2711 |
| 31,5                     | F-110632    | –       | 52     | 20     | –      | 31,5           | –              | –              | –              | –              | –              | 39 000                     | 41 000                      | 14 000  | TN          | O                      | –           | 0,1400 |
|                          | F-110146    | –       | 52     | 21     | –      | 31,5           | –              | –              | –              | –              | –              | 36 000                     | 34 000                      | 14 000  | TN          | O                      | –           | 0,1360 |
| 32                       | F-45504.2   | 32      | 72     | 19     | 44,9   | –              | 70,2           | –              | –              | 11,32          | 1,8            | 55 000                     | 53 000                      | 10 000  | TN          | P                      | 0,045–0,070 | 0,3384 |
| 32,432                   | F-44322.4   | –       | 52     | 15     | –      | 32,432         | 48,96          | –              | –              | 3,81           | 1,42           | 29 000                     | 30 500                      | 6 000   | V           | O*                     | –           | 0,1064 |
| 33                       | F-45086     | –       | 50,981 | 16,95  | –      | 33             | –              | –              | –              | –              | –              | 27 000                     | 28 500                      | 12 000  | TN          | O                      | –           | 0,1046 |
| 34,5                     | F-223356-10 | –       | 55     | 15,5   | –      | 34,5           | –              | –              | –              | –              | –              | 36 500                     | 40 000                      | 12 000  | TN          | O                      | –           | 0,1340 |
| 34,991                   | F-45864.1   | 34,991  | 80     | 22     | –      | –              | –              | –              | –              | –              | –              | 81 000                     | 77 000                      | 3 400   | V           | L                      | 0,045–0,070 | 0,5312 |
| 34,993                   | F-45818     | 34,993  | 80     | 23     | 49,5   | –              | –              | –              | –              | –              | –              | 73 000                     | 74 000                      | 10 000  | M           | J                      | 0,045–0,055 | 0,5703 |
| 35                       | F-45226     | 35      | 62     | 19     | –      | –              | –              | –              | –              | –              | –              | 50 000                     | 53 000                      | 12 000  | TN          | N                      | 0,055–0,070 | 0,2128 |
|                          | F-44497     | 35      | 72     | 20,65  | –      | –              | –              | –              | –              | –              | –              | 66 000                     | 71 000                      | 4 300   | V           | A                      | 0,037–0,067 | 0,4035 |
| 35,6                     | F-45084     | –       | 57,17  | 17,78  | –      | 35,6           | –              | –              | –              | –              | –              | 37 500                     | 38 500                      | 12 000  | TN          | O                      | –           | 0,1508 |
| 38                       | F-82741     | –       | 76     | 19     | –      | 38             | –              | –              | –              | –              | –              | 67 000                     | 58 000                      | 13 000  | TN          | I                      | –           | 0,3557 |
| 38,887                   | F-44552     | 38,887  | 70,631 | 22,225 | 47,5   | –              | –              | –              | 39             | –              | –              | 51 000                     | 61 000                      | 8 500   | –           | D                      | 0,065–0,100 | 0,4355 |

1) Lubrificação à óleo. Com graxa usar somente 60% dos valores.

2) Material da gaiola e forma de construção.

\* = com ranhura no anel externo.

V = sem gaiola.

TN = gaiola plástica.

M = gaiola de bronze.

## Rolamentos de rolos cilíndricos

| Tabela de medidas - Medidas em mm |             |         |        |        |      |                |                |                |                |                |                |                            |                             |   |             |                        |             |        |
|-----------------------------------|-------------|---------|--------|--------|------|----------------|----------------|----------------|----------------|----------------|----------------|----------------------------|-----------------------------|---|-------------|------------------------|-------------|--------|
| Diâmetro nominal do eixo          | Código      | Medidas |        |        |      |                |                |                |                |                |                | Capacidade básica de carga |                             | Rotações máximas <sup>1)</sup><br>min <sup>-1</sup> | 2)<br>Forma | Folga radial<br>de até | Peso<br>kg  |        |
|                                   |             | d       | D      | B      | F    | F <sub>w</sub> | D <sub>1</sub> | D <sub>2</sub> | B <sub>1</sub> | B <sub>2</sub> | B <sub>3</sub> | din.<br>C<br>N             | est.<br>C <sub>0</sub><br>N |   |             |                        |             |        |
| 41,173                            | F-45087     | -       | 64,292 | 21,08  | -    | 41,173         | -              | -              | -              | -              | -              | 51 000                     | 57 000                      | 10 000  | TN          | O                      | -           | 0,2225 |
| 44                                | F-110603    | 44      | 80     | 14     | -    | -              | -              | -              | 15             | -              | -              | 44 000                     | 49 500                      | 2 700   | V           | H                      | 0,040-0,060 | 0,3300 |
| 45                                | F-45698     | -       | 72     | 25     | -    | 45             | -              | -              | -              | -              | -              | 77 000                     | 82 000                      | 10 000  | TN          | O                      | -           | 0,3250 |
|                                   | F-45813     | 45      | 85     | 19     | 54,5 | -              | 81,81          | -              | -              | 5,18           | 1,9            | 66 000                     | 66 000                      | 8 000   | TN          | P                      | 0,030-0,045 | 0,4231 |
|                                   | F-45710     | 45      | 100    | 25     | 57,3 | -              | -              | -              | -              | -              | -              | 106 000                    | 104 000                     | 2 700   | V           | L                      | 0,050-0,075 | 0,9334 |
|                                   | F-45710N    | 45      | 100    | 25     | 57,3 | -              | 96,79          | -              | -              | 6,12           | 2,84           | 106 000                    | 104 000                     | 2 700   | V           | L*                     | 0,050-0,075 | 0,9130 |
|                                   | F-45917     | 45      | 100    | 25     | 57,3 | -              | -              | -              | -              | -              | -              | 106 000                    | 104 000                     | 2 700   | V           | K                      | 0,050-0,075 | 0,9087 |
|                                   | F-45917NR   | 45      | 100    | 25     | 57,3 | -              | 96,79          | -              | -              | 6,12           | 2,84           | 106 000                    | 104 000                     | 2 700   | V           | K                      | 0,070-0,100 | 0,8500 |
|                                   | NU 309 ENTN | 45      | 100    | 25     | 58,5 | -              | 96,6           | -              | -              | 5,98           | 2,7            | 91 000                     | 92 000                      | 7 500   | TN          | J*                     | 0,030-0,045 | 0,8700 |
| 47,683                            | F-44490     | -       | 70,657 | 22,225 | -    | 47,683         | -              | -              | -              | -              | -              | 51 000                     | 61 000                      | 10 000  | -           | B                      | -           | 0,2632 |
| 49,895                            | F-32350.4   | 49,895  | 80     | 14     | -    | -              | -              | -              | 15             | -              | -              | 42 500                     | 49 500                      | 2 900   | V           | H                      | 0,040-0,060 | 0,2700 |
| 55                                | F-45994     | 55      | 100    | 21     | 66   | -              | -              | -              | -              | -              | -              | 57 000                     | 58 000                      | 7 500   | TN          | K                      | 0,045-0,090 | 0,6186 |
|                                   | F-110228    | 55      | 100    | 21     | 66   | -              | -              | -              | -              | -              | -              | 57 000                     | 58 000                      | 7 500   | TN          | L                      | 0,020-0,065 | 0,9380 |
| 60                                | F-45809     | 60      | 110    | 22     | 72   | -              | -              | 116            | 8              | -              | -              | 98 000                     | 101 000                     | 6 300   | TN          | G                      | 0,035-0,050 | 0,8719 |
|                                   | F-92591     | 60      | 130    | 31     | -    | -              | -              | 136,8          | 5              | -              | -              | 156 000                    | 157 000                     | 5 000   | -           | C                      | 0,055-0,075 | 2,0282 |

1) Lubrificação à óleo. Com graxa usar somente 60% dos valores.

2) Material da gaiola e forma de construção.

\* = com ranhura no anel externo.

V = sem gaiola.

TN = gaiola plástica.

M = gaiola de bronze.

N = com ranhura no diâmetro externo.

NR = com ranhura e anel de retenção no diâmetro externo.

# Rolamentos de embreagem

## **Construção**

Os rolamentos mais antigos desta série são do tipo radiais de esfera, fabricados com anéis interno e externo de aço maciço. As versões mais modernas são fabricadas com a tecnologia de repuxo profundo, isto é, seus anéis são de chapa de aço repuxada e com isto reduziu-se o peso deste rolamento e conseqüentemente o custo. Além disto as pistas são de contato angular, ou seja, trabalham sem folga. As gaiolas são de poliamida 6.6. O tubo guia é fabricado em poliamida 6.6 com fibra de vidro e o seu diâmetro interior é provido de ranhuras que facilitam o deslizamento sobre a guia, sem necessidade de lubrificação.

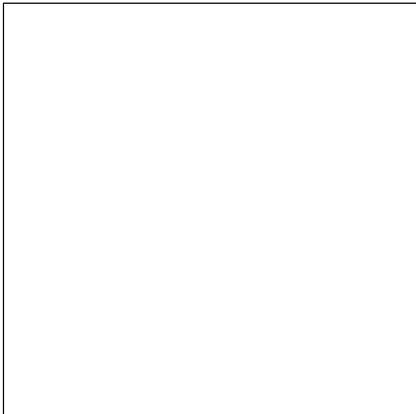
## **Vedação**

Estes rolamentos são fornecidos com vedações unilaterais ou bilaterais ou ainda com blindagem em um lado e vedação do outro.

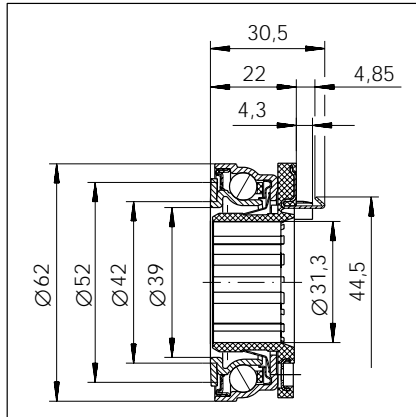
## **Lubrificação**

Estes rolamentos são fornecidos de fábrica com graxa de sabão de lítio em uma quantidade suficiente para toda sua vida útil.

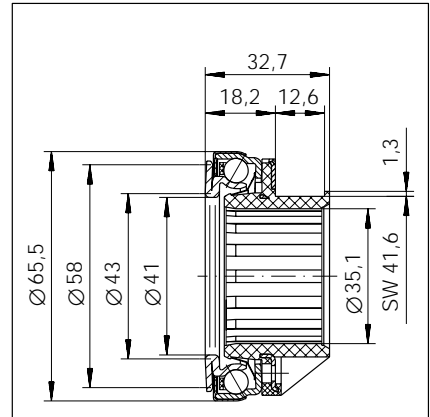
# Rolamentos de embreagem



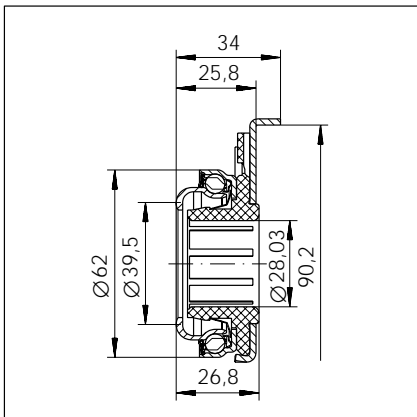
F-203222.5



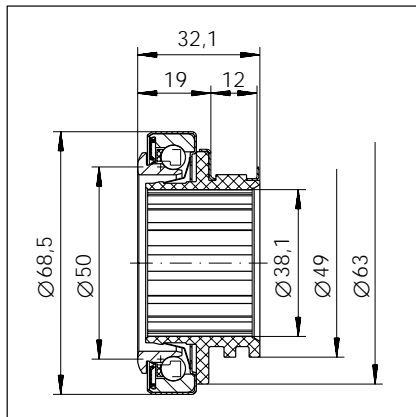
F-218230



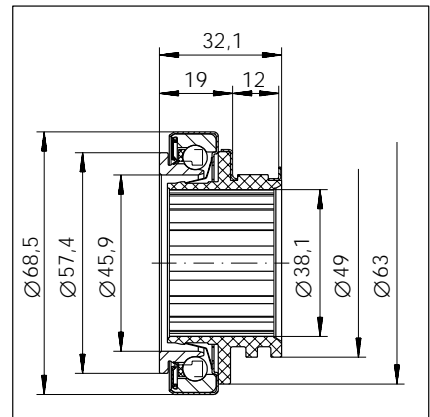
F-206071.6



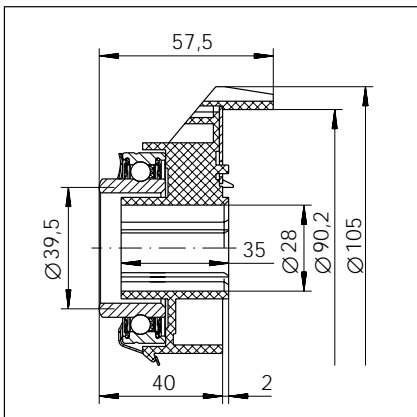
F-110648



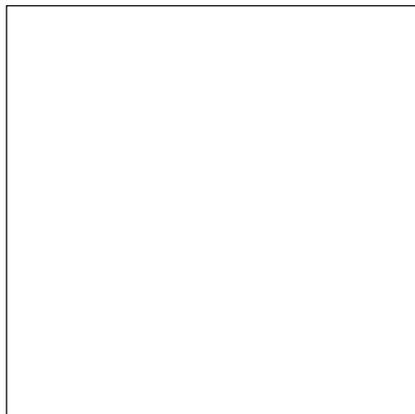
F-45914



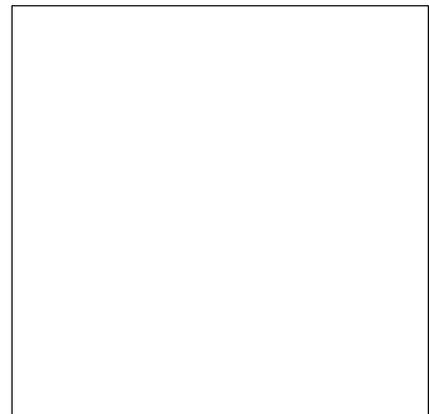
F-45914.1



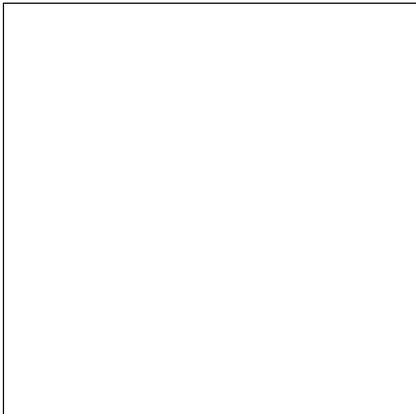
F-110354.1



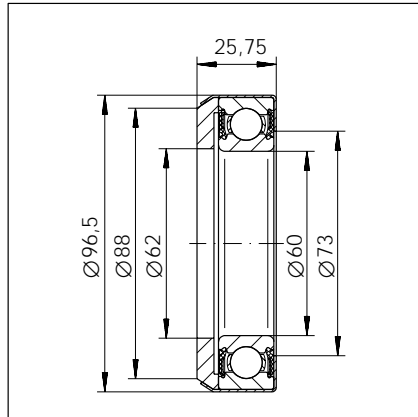
F-44828



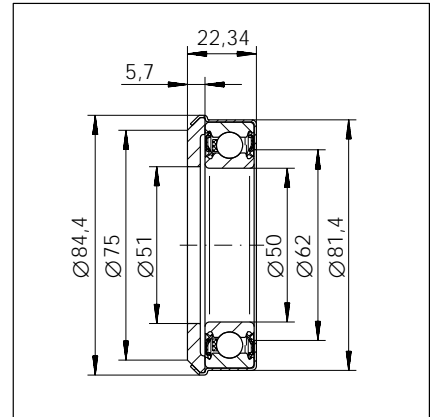
F-83001.2



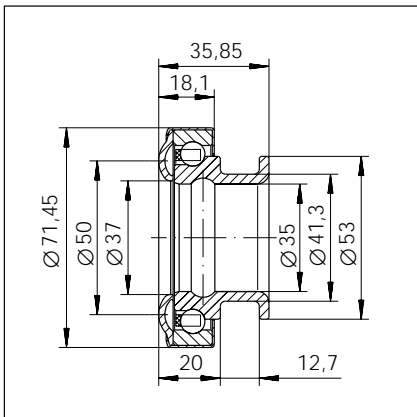
F-45815



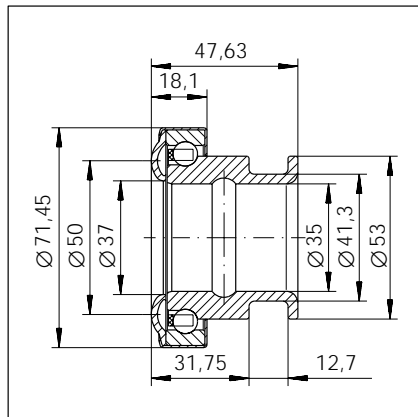
F-45815.1



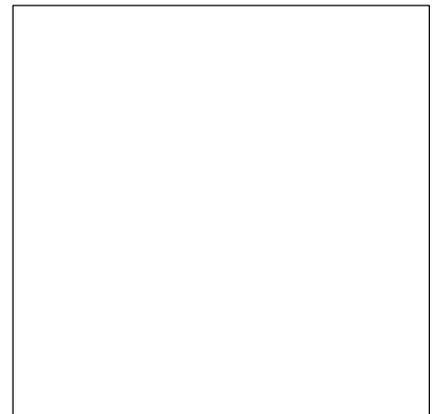
F-110327



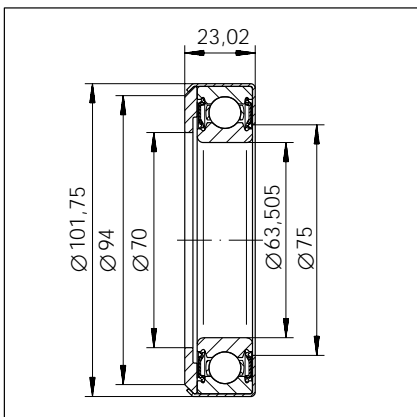
F-45458.1



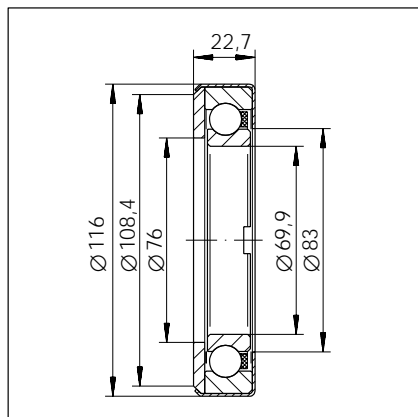
F-110438.1



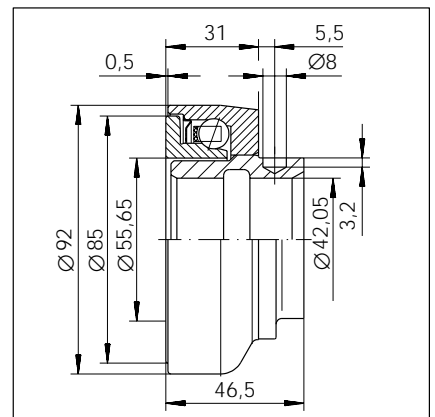
F-27066



F-45984.1

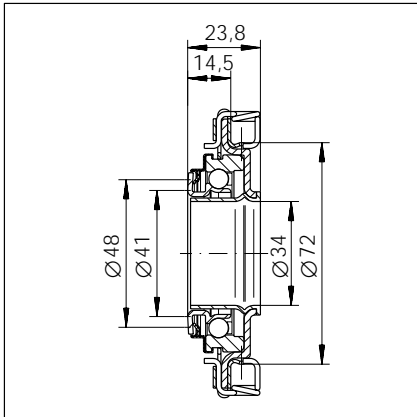


F-110373

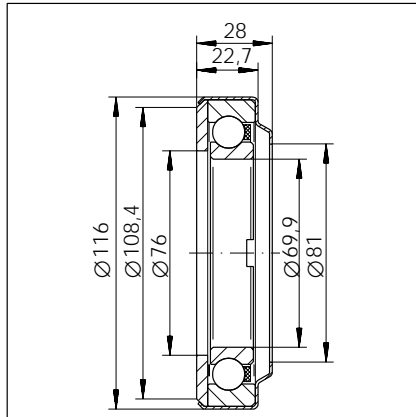


F-110381

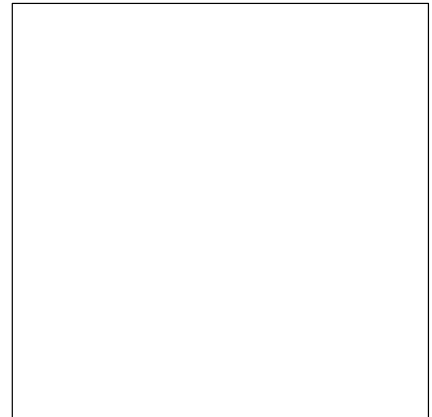
# Rolamentos de embreagem



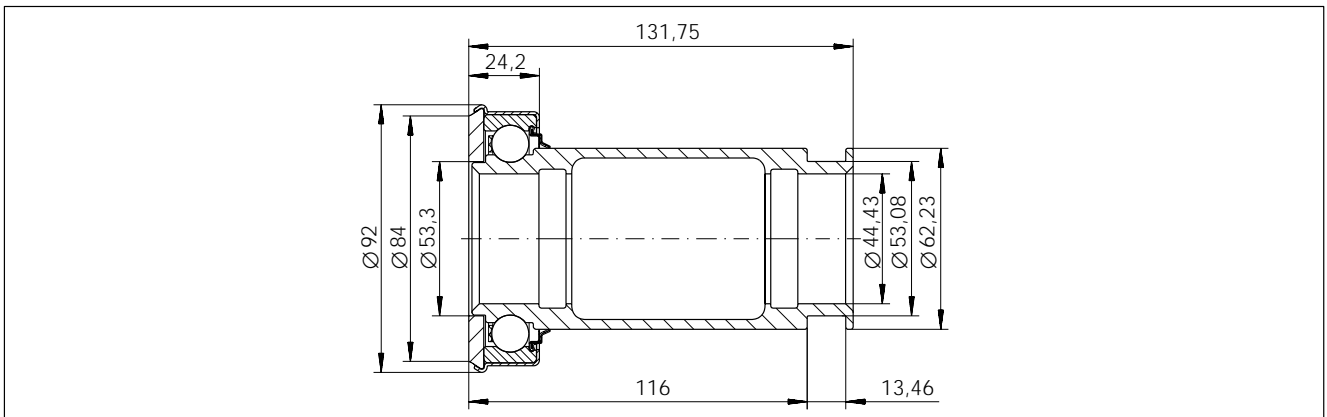
F-42225 RS



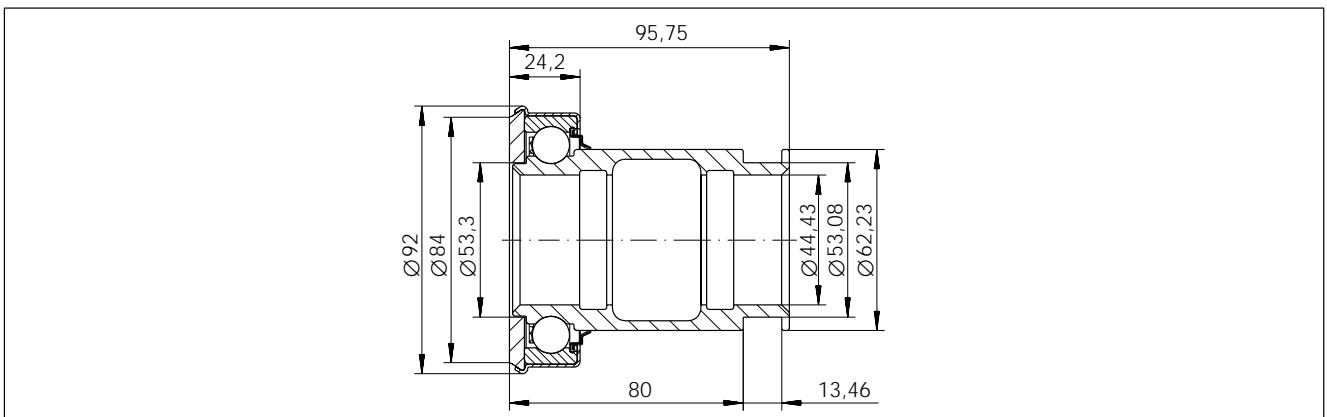
F-44343



F-45535



F-45535.1



F-45535.2

# Polias tensoras

linha automotiva

Com o uso cada vez mais frequente de eixos para comando de válvulas no cabeçote de motores para automóveis, as correias dentadas se tornam uma alternativa econômica para o funcionamento sincronizado de correntes, engrenagens e eixos para comando de válvulas.

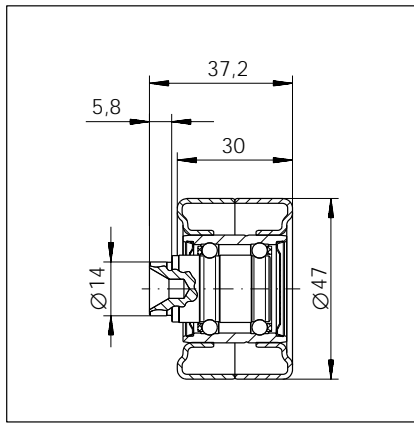
As correias dentadas também tem sido aplicadas recentemente em bomba para injeção de automóveis com motores a diesel, juntamente com o eixo para comando de válvulas ou em uma linha de correias em separado.

Para proporcionar uma fácil montagem e fixação das correias é comum se incorporar a polia tensora no lado não tensionado da correia. Em circuito de correias mais complexas, muitas vezes também são usadas polias tensoras estacionárias, no lado tensionado da correia, para aumentar o ângulo de abraçamento da polia motora ou por outras razões, para desviar o circuito de um plano.

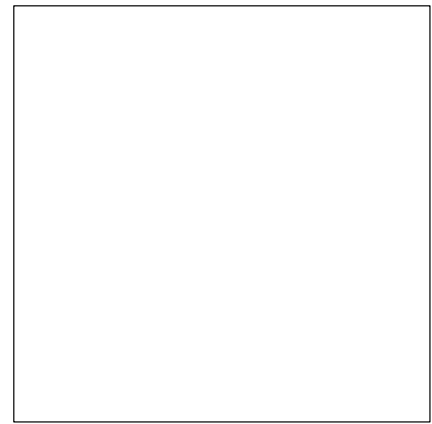
## Polia tensora com suporte

- Polia tensora com suporte – tensionamento da correia através de movimento oscilante do suporte – fixada por pinos e furos oblongos.
- Polia tensora com suporte – tensionamento da correia através de movimento oscilante do suporte – fixada por pino no anel interno do rolamento.
- Polia tensora com suporte – tensionamento da correia através de deslocamento linear do suporte – fixada por pinos nos dois furos oblongos.

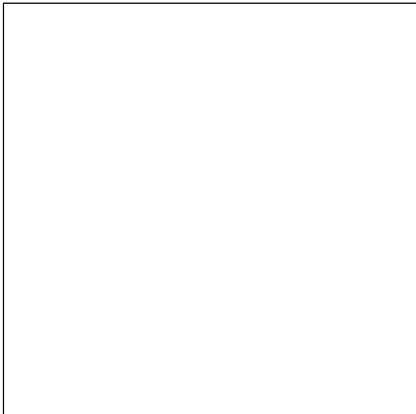
**Polias tensoras**  
 linha automotiva



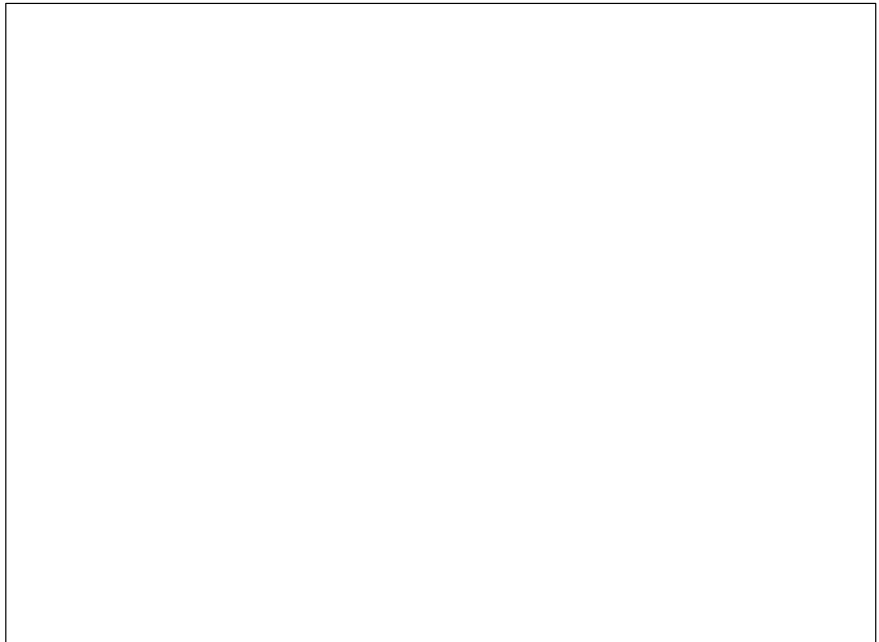
F-65251.2-100



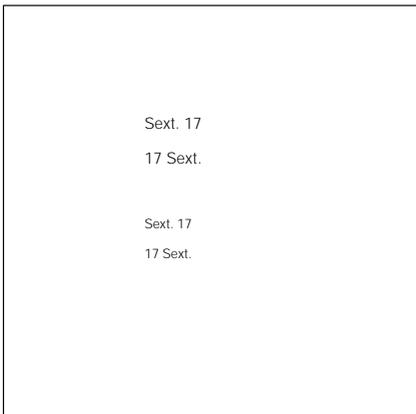
F-45398



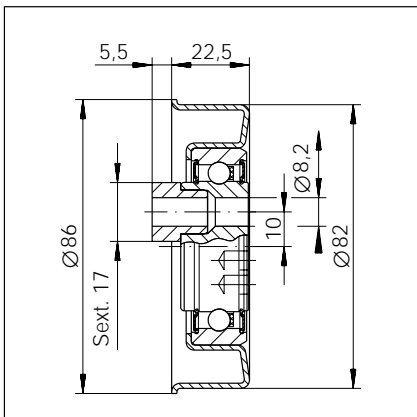
F-45605



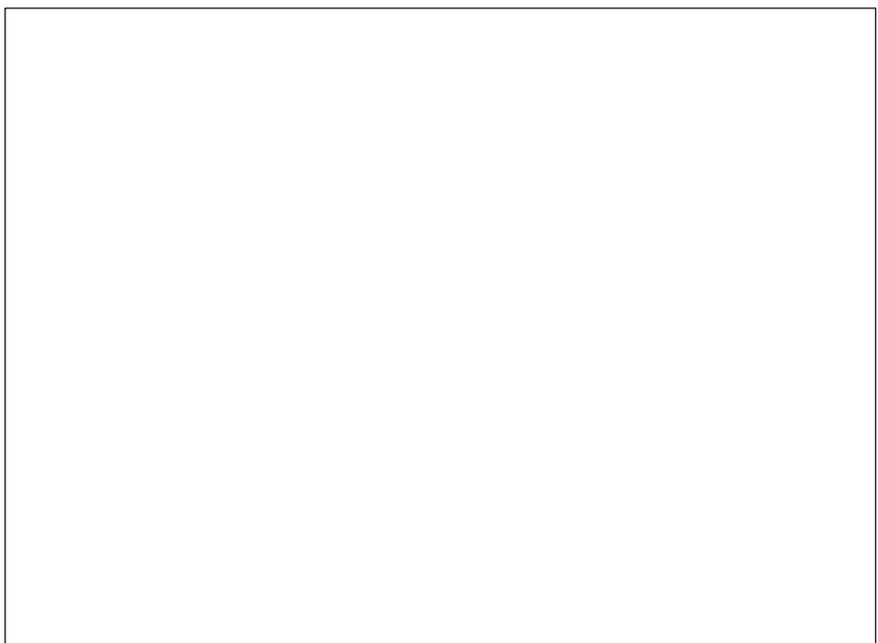
F-45442



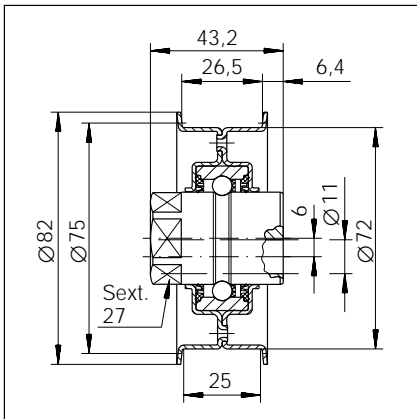
F-44818



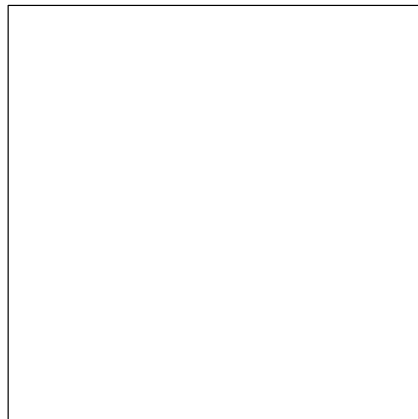
F-44818.2



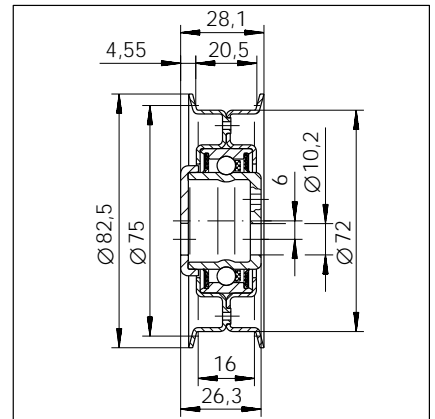
F-44573



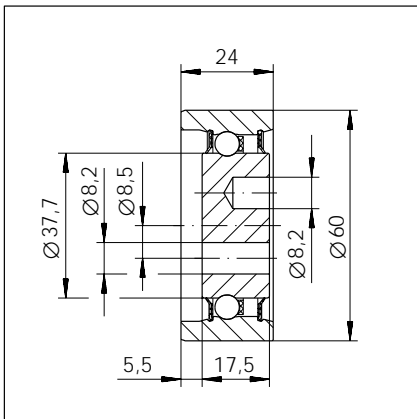
F-87936



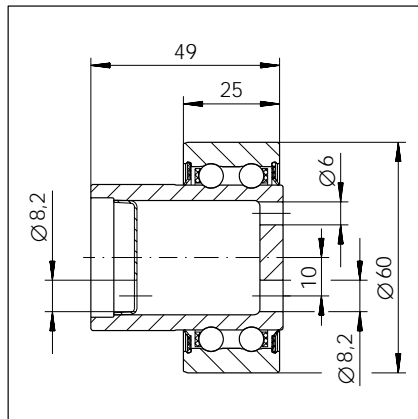
F-81749.5A



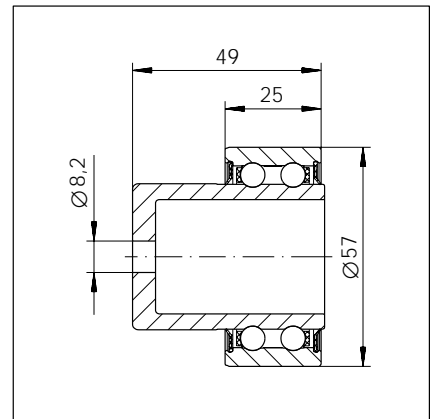
F-217668.2



F-110634



F-110273.2



F-110598

# Rolamentos de bomba d'água

Os rolamentos de bomba d'água fabricados atualmente são quase que exclusivamente vedados em ambos os lados e engraxados de fábrica para toda sua vida útil.

As duas carreiras de corpos rolantes se apóiam diretamente sobre o eixo temperado.

As gaiolas são normalmente de poliamida 6.6 com ou sem fibra de vidro.

As vedações são de borracha nitrilica NBR com alma de aço.

Entretanto, cada vez mais ocorrem aplicações onde a temperatura da água de refrigeração supera os +120 °C, neste caso utilizam-se vedações de material Viton FPM (flúor elastomer).

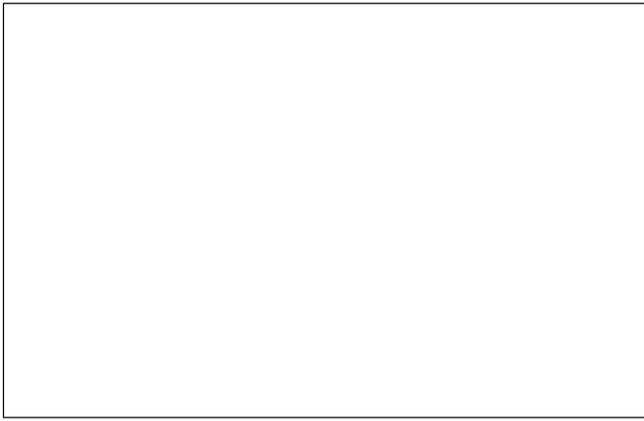
Baseado nos diversos casos de solicitação de carga são aplicadas diferentes versões:

- rolamento bomba d'água versão esfera/esfera  
Neste caso a força de tração da correia é distribuída aproximadamente igual nas 2 carreiras de esferas
- rolamento bomba d'água versão esfera/rolo  
A maior parte da carga é sustentada pelos rolos (axialmente livre), enquanto que a carreira de esferas sustenta pequenas cargas radiais; em contrapartida as esferas fixam axialmente o eixo (cargas axiais do rotor da bomba d'água).
- rolamentos bomba d'água versão 4 pontos de contato.

Aplicação em:

- Alta carga radial e baixa carga axial.
- Baixa carga radial e alta carga axial.

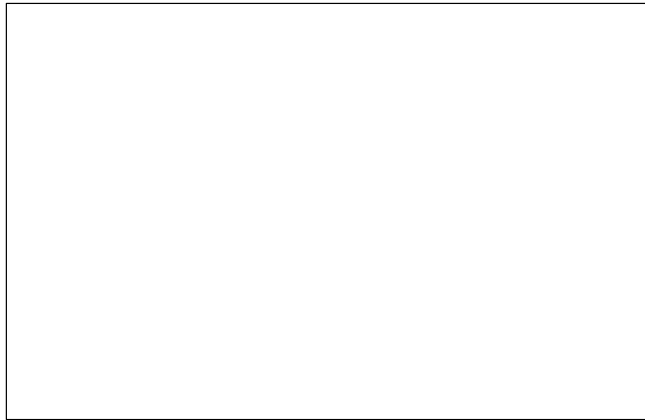
Uma vantagem que se caracteriza em relação aos rolamentos de esferas comuns é que a folga axial é 75% menor (com contato angular de 25°).



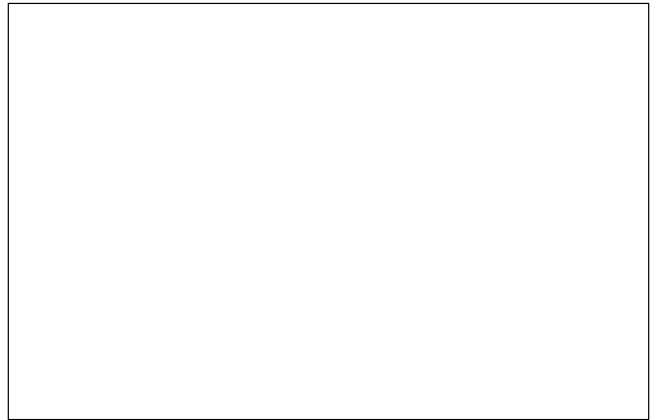
Forma A



Forma B



Forma C



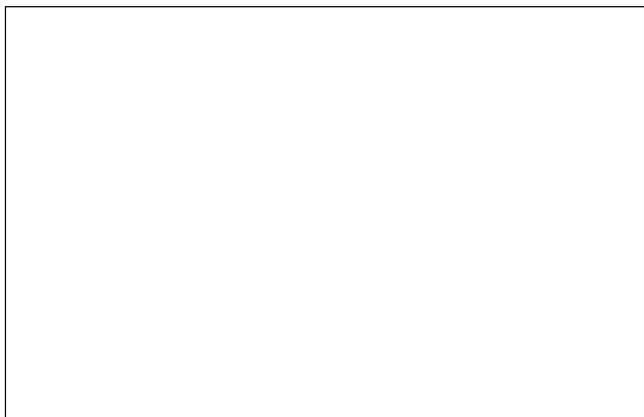
Forma D



Forma E



Forma F



Forma G



Forma H

# Rolamentos de bomba d'água

| Tabela de medidas - Medidas em mm |         |        |                |                |      |                |                |                |                |                |                            |            |           |            |                  |       |                      |
|-----------------------------------|---------|--------|----------------|----------------|------|----------------|----------------|----------------|----------------|----------------|----------------------------|------------|-----------|------------|------------------|-------|----------------------|
| Código                            | Medidas |        |                |                |      |                |                |                |                |                | Capacidade básica de carga |            |           |            | Rotações máximas | Forma | Peso                 |
|                                   |         |        |                |                |      |                |                |                |                |                | din. Cr                    |            | est. Cor  |            |                  |       |                      |
|                                   | D       | d      | d <sub>1</sub> | d <sub>2</sub> | B    | B <sub>1</sub> | B <sub>2</sub> | B <sub>3</sub> | B <sub>4</sub> | B <sub>5</sub> | P/Ag<br>N                  | p/Esf<br>N | P/Ag<br>N | p/Esf<br>N |                  |       |                      |
| F-110539                          | 30      | 15,008 | 15,008         | -              | 36   | 87,5           | 38             | -              | -              | -              | -                          | 6 500      | -         | 2 650      | 18 000           | G     | 0,2010               |
| F-110207.2                        | 30      | 15,008 | 15,008         | 14             | 38,9 | 94,5           | 39,9           | 36,4           | -              | -              | 14 200                     | 10 200     | 11 300    | 5 100      | 18 000           | C     | 0,2220               |
| F-44371                           | 30      | 15,008 | -              | -              | 38,9 | 115,5          | 39,6           | 3              | -              | -              | 14 200                     | 6 500      | 11 300    | 2 650      | 18 000           | E     | 0,2452               |
| F-44371AR                         | 30      | 15,008 | -              | -              | 38,9 | 155,5          | 39,6           | 3              | -              | -              | 14 200                     | 6 500      | 11 300    | 2 650      | 18 000           | E     | 0,2498               |
| F-110640                          | 30      | 15,008 | 15,008         | 14             | 52   | 109,25         | 39,5           | 36             | -              | -              | 14 200                     | 10 200     | 11 300    | 5 100      | 18 000           | C     | 0,2720               |
| F-45566                           | 30      | 15,918 | -              | -              | 27,5 | 84,3           | 41,5           | -              | -              | -              | -                          | 6 500      | -         | 2 650      | 18 000           | A     | 0,1899               |
| F-45566.2                         | 30      | 15,918 | -              | -              | 27,5 | 92,2           | 49,4           | -              | -              | -              | -                          | 6 500      | -         | 2 650      | 18 000           | A     | 0,2020               |
| F-45376                           | 30      | 15,918 | -              | -              | 34,5 | 101,3          | 41,5           | -              | -              | -              | 13 000                     | 6 600      | 10 600    | 2 750      | 18 000           | B     | 0,2340               |
| F-45376.3                         | 30      | 15,918 | -              | -              | 34,5 | 104,1          | 50,6           | -              | -              | -              | 13 000                     | 6 600      | 10 600    | 2 750      | 18 000           | B     | 0,2410               |
| F-45231                           | 30      | 15,918 | 14,987         | 13,59          | 34,5 | 109,05         | 41,5           | -              | -              | -              | 13 000                     | 6 600      | 10 600    | 2 750      | 18 000           | H     | 0,2332               |
| F-110470                          | 30      | 15,918 | -              | -              | 38,9 | 78,9           | 20             | -              | -              | -              | -                          | 6 300      | -         | 2 550      | 18 000           | A     | 0,2060               |
| F-110398                          | 30      | 15,918 | -              | -              | 38,9 | 98             | 42,1           | -              | -              | -              | -                          | 6 300      | -         | 2 550      | 18 000           | A     | 0,2360               |
| F-210409                          | 30      | 15,918 | -              | -              | 38,9 | 98             | 42,1           | -              | -              | -              | -                          | 6 300      | -         | 2 550      | 18 000           | A     | 0,2360 <sup>1)</sup> |
| F-110557                          | 30      | 15,918 | -              | -              | 38,9 | 98             | 42,1           | -              | -              | -              | 13 000                     | 6 600      | 10 600    | 2 750      | 18 000           | B     | 0,2340               |
| F-45943                           | 30      | 15,918 | -              | -              | 38,9 | 105,9          | 45,7           | 4              | 4,5            | -              | 13 000                     | 6 600      | 10 600    | 2 750      | 18 000           | E     | 0,2533               |
| F-45265                           | 30      | 15,918 | 15,918         | 15             | 38,9 | 106,2          | 63             | 52             | -              | -              | 13 000                     | 6 600      | 10 600    | 2 750      | 18 000           | C     | 0,2529               |

1) Material da vedação Viton FPM (Para temperatura até +200 °C).

2) O diâmetro 15,918 tem uma profundidade de 20,3 mm.

3) Furo com rosca M10 × 1,5 do lado dos rolos.

AR = furo com rosca M6 × 1 do lado dos rolos.

Os rolamentos são vedados e lubrificados para toda vida útil.

**Tabela de medidas** · Medidas em mm

| Código            | Medidas |        |                |                |      |                |                |                |                |                | Capacidade básica de carga |            |           |            | Rotações máximas<br>min <sup>-1</sup> | Forma | Peso<br>kg           |
|-------------------|---------|--------|----------------|----------------|------|----------------|----------------|----------------|----------------|----------------|----------------------------|------------|-----------|------------|---------------------------------------|-------|----------------------|
|                   |         |        |                |                |      |                |                |                |                |                | din. Cr                    |            | est. Cor  |            |                                       |       |                      |
|                   | D       | d      | d <sub>1</sub> | d <sub>2</sub> | B    | B <sub>1</sub> | B <sub>2</sub> | B <sub>3</sub> | B <sub>4</sub> | B <sub>5</sub> | P/Ag<br>N                  | p/Esf<br>N | P/Ag<br>N | p/Esf<br>N |                                       |       |                      |
| <b>F-44018AR</b>  | 30      | 15,918 | –              | –              | 38,9 | 121,9          | 45,7           | 4              | 4,5            | –              | 13 000                     | 6 600      | 10 600    | 2 750      | 18 000                                | E     | 0,2745               |
| <b>F-44018</b>    | 30      | 15,918 | –              | –              | 38,9 | 121,9          | 45,7           | 4              | 4,5            | –              | 13 000                     | 6 600      | 10 600    | 2 750      | 18 000                                | E     | 0,2789               |
| <b>F-45472</b>    | 30      | 15,918 | –              | –              | 38,9 | 128,9          | 45,7           | 4              | 4,5            | –              | 13 000                     | 6 600      | 10 600    | 2 750      | 18 000                                | E     | 0,2885               |
| <b>F-45061</b>    | 30      | 15,918 | 15,918         | 14,7           | 38,9 | 136,4          | 58,45          | 4              | 13,97          | 48,25          | –                          | 6 500      | –         | 2 650      | 18 000                                | F     | 0,2945               |
| <b>F-95348</b>    | 30      | 15,918 | –              | –              | 60   | 86             | 5              | –              | –              | –              | 13 000                     | 6 600      | 10 600    | 2 750      | 18 000                                | B     | 0,2670               |
| <b>F-93024</b>    | 30      | 16     | –              | 15             | 36,5 | 88,75          | 33             | 31             | –              | –              | 14 200                     | 10 200     | 11 300    | 5 100      | 18 000                                | C     | 0,2330               |
| <b>F-92025</b>    | 36      | 17     | 15             | 14,7           | 39   | 90,7           | 37,7           | 34             | –              | –              | –                          | 8 100      | –         | 3 450      | 18 000                                | G     | 0,2916               |
| <b>F-92025.1</b>  | 36,1    | 17     | 15             | 14,7           | 39   | 90,7           | 37,7           | 34             | –              | –              | –                          | 8 100      | –         | 3 450      | 18 000                                | G     | 0,2935               |
| <b>F-110483</b>   | 38,1    | 15,918 | –              | –              | 54,1 | 79,9           | 1,6            | –              | –              | –              | 14 400                     | 9 700      | 11 900    | 4 200      | 18 000                                | B     | 0,3940 <sup>2)</sup> |
| <b>F-45981</b>    | 38,1    | 18,960 | 15,906         | –              | 54,1 | 123,5          | 45,65          | 41,18          | –              | –              | 14 400                     | 9 700      | 11 900    | 4 200      | 18 000                                | D     | 0,4837               |
| <b>F-45646</b>    | 38,1    | 18,960 | 15,906         | –              | 54,1 | 131,6          | 53,6           | 49,28          | –              | –              | 14 400                     | 9 700      | 11 900    | 4 200      | 18 000                                | D     | 0,4966               |
| <b>F-45958</b>    | 38,1    | 18,960 | 15,918         | –              | 54,1 | 131,1          | 49,02          | 44,7           | –              | –              | 14 400                     | 9 700      | 11 900    | 4 200      | 18 000                                | D     | 0,5000               |
| <b>F-110483.1</b> | 38,1    | 18,961 | –              | –              | 54,1 | 79,9           | 1,6            | –              | –              | –              | 14 400                     | 9 700      | 11 900    | 4 200      | 18 000                                | B     | 0,4130               |
| <b>F-110404</b>   | 38,1    | 18,961 | 15,918         | –              | 54,1 | 124,9          | 48,8           | 45,3           | –              | –              | 14 400                     | 9 700      | 11 900    | 4 200      | 18 000                                | D     | 0,4570 <sup>3)</sup> |
| <b>F-200907</b>   | 55      | 25     | 15             | –              | 60   | 127            | 42             | 37,5           | –              | –              | 30 500                     | 19 800     | 22 900    | 8 500      | 12 000                                | D     | 0,9000               |

1) Material da vedação Viton FPM (Para temperatura até +200 °C).

2) O diâmetro 15,918 tem uma profundidade de 20,3 mm.

3) Furo com rosca M10 × 1,5 do lado dos rolos.

AR = furo com rosca M6 × 1 do lado dos rolos.

Os rolamentos são vedados e lubrificados para toda vida útil.

# Rolamentos têxteis

## Polias tensoras têxteis

### Aplicação

As polias tensoras têxteis são aplicadas em filatórios de fiação para tensionar a fita de acionamento dos fusos.

### Construção

As polias tensoras têxteis INA, são constituídas por um tambor em duas metades, que são fixadas sobre o anel externo da unidade de rolamento. Estas metades são construídas em chapa de aço fosfatizadas tornando-as protegidas contra a oxidação. Esta última qualidade é extremamente importante, pois em fiações reina sempre um alto grau de umidade necessário para o processo de fiandagem.

A unidade do rolamento é constituída por um rolamento especial de uma carreira de esferas e gaiola de poliamida 6.6 e um eixo para fixação da polia, que ao mesmo tempo serve de pista interna do rolamento.

O sistema de relubrificação é constituído por um furo no disco frontal, que por sua vez é fechado por uma mola diafragma e ao se apertar o bico da engraxadeira, o diafragma se afasta, permitindo a entrada da graxa para o interior do rolamento.

### Lubrificação

As polias tensoras têxteis, são fornecidas engraxadas de fábrica, porém para garantir o máximo aproveitamento destes rolamentos, recomendamos relubrificá-los de três em três meses, utilizando graxa de lítio à base de óleo mineral ou equivalente para um funcionamento de 24 h/dia.

## Rolamentos para cilindros canelados

### Aplicação

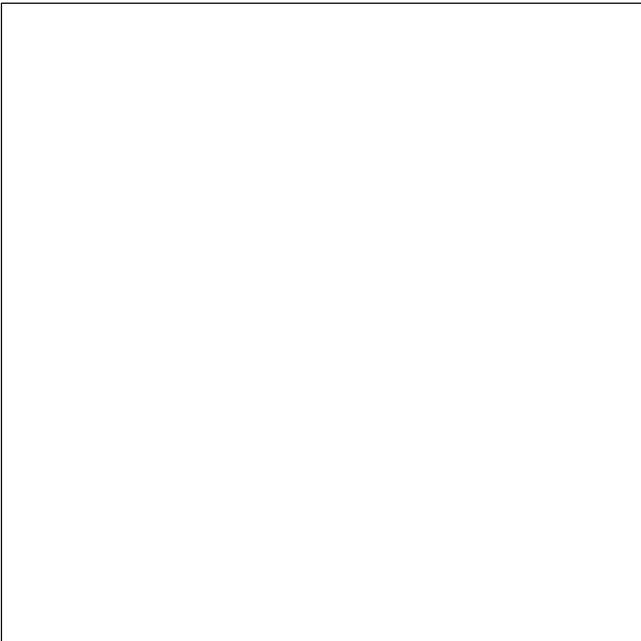
O rolamento para cilindro canelado é aplicado no eixo do trem de estiragem de filatórios de fiação. Em cada emenda destes eixos, isto é, em cada tramo, é aplicado um rolamento que se apóia simplesmente num encaixe do cavalete da bancada de cilindros.

Recomendamos que o torque de aperto axial do anel interno na emenda dos cilindros canelados, deve ser no máximo de 15 Nm.

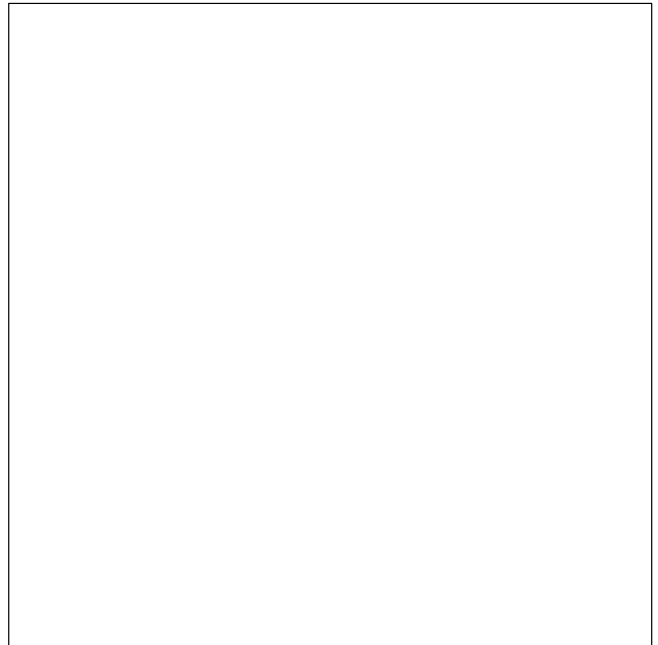
### Lubrificação

Na parte superior do anel externo encontra-se a graxeira que por sua vez também prende a chapa de fixação, responsável pela centragem do anel externo ao anel interno do rolamento. O lubrificante recomendado é a graxa de lítio à base de óleo mineral. Os rolamentos são fornecidos apenas conservados, isto é, sem graxa. Após montados na máquina, antes do funcionamento, deverão ser lubrificados bombeando a engraxadeira até que a graxa comece a sair pela fissura entre a borda do anel interno e o anel externo.

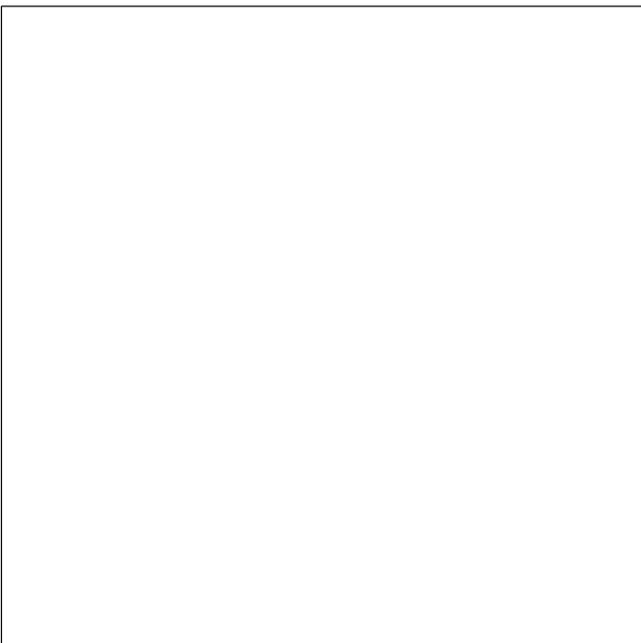
Para um trabalho normal de 24 h/dia, lubrificar a cada 200 h.



Polia F-45026 BSR 71 A (sem gancho)



Rolamento para cilindro canelado F-110401



Polia F-45499

# Agulhas e rolos cilíndricos

Com as agulhas e rolos cilíndricos INA pode-se formar rolamentos sem gaiola de elevada capacidade de carga ocupando um reduzido espaço na construção. São apropriadas para aplicações com rotações reduzidas, movimentos oscilantes ou cargas estáticas.

Configuração e cálculo vide parágrafo 9.6, página 50.

As agulhas e rolos cilíndricos seguem as normas DIN 5 402 parte 3 e 1 ou ISO 3096.

Existem duas versões de agulhas que se diferenciam pela forma da face. (Forma B com a face da agulha plana e forma A, versão especial, com a face da agulha arredondada).

A superfície das agulhas e dos rolos cilíndricos é abaulada para os cantos. Este formato evita pontos de tensão nos cantos, quando sob carga ou flexão do eixo.

Agulhas e rolos cilíndricos também são utilizados como eixos.

Sob consulta a INA fornece agulhas sob desenho.

## Material

As agulhas e rolos cilíndricos são fabricados com aço para rolamento, segundo Norma DIN 17230.

Dureza de 670 até 840 HV ou 58 até 65 HRC.

Em diâmetros grandes a dureza do núcleo em relação a dureza da superfície tende a ser menor.

## Precisão

As agulhas são fornecidas em duas classes de classificação e cada uma delas com campos de tolerâncias muito reduzidos quanto ao seu diâmetro (2  $\mu\text{m}$  e 5  $\mu\text{m}$ ). O campo total de tolerância dos grupos vai de 0 até -10  $\mu\text{m}$ .

Os rolos cilíndricos são fornecidos na mesma forma, porém as duas classes de classificação são de 1,5  $\mu\text{m}$  e 2  $\mu\text{m}$ , nos rolos com diâmetro até 26 mm.

A tolerância da classe normal é de 2  $\mu\text{m}$  e da classe com qualidade superior é de 1,5  $\mu\text{m}$ . O campo total de tolerância dos grupos vai de +1 até -9  $\mu\text{m}$ .

## Exemplo de pedido

Agulha de execução NRB

Diâmetro: 2 mm

Comprimento: 12,8 mm.

## Características especiais

Classe de qualidade G2, grupo do diâmetro -2 -4.

|                     |              |    |       |
|---------------------|--------------|----|-------|
| Descrição do pedido | NRB 2 x 12,8 | G2 | -2 -4 |
| Referência          |              |    |       |
| Classe de qualidade |              |    |       |
| Grupo do diâmetro   |              |    |       |

Em pedidos sem indicação a INA fornece classe de qualidade G2 em qualquer grupo do diâmetro.

Cada grupo é embalado em separado e é feita a marcação do respectivo grupo na embalagem.

Cada rolamento recebe agulhas de um único grupo.

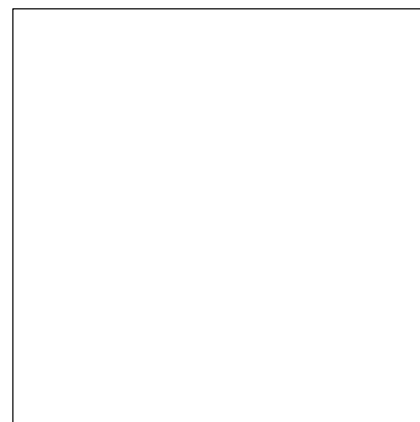
## Informações técnicas complementares

- Na parte do catálogo.
- Fundamentos da técnica de rolamentos (pág. 10).

## Sufixos para execuções especiais

No capítulo – *Índice de sufixos* (pág. 8).

# Agulhas



| Tabela de medidas · Medidas em mm |                |                |                       |                         |                |                |                       |                         |                |                |                       |
|-----------------------------------|----------------|----------------|-----------------------|-------------------------|----------------|----------------|-----------------------|-------------------------|----------------|----------------|-----------------------|
| Código                            | Medidas        |                | Peso p/100 pçs.<br>kg | Código                  | Medidas        |                | Peso p/100 pçs.<br>kg | Código                  | Medidas        |                | Peso p/100 pçs.<br>kg |
|                                   | D <sub>w</sub> | L <sub>w</sub> |                       |                         | D <sub>w</sub> | L <sub>w</sub> |                       |                         | D <sub>w</sub> | L <sub>w</sub> |                       |
| <b>NRB 1,497 × 8,5</b>            | 1,497          | 8,8            | 0,012                 | <b>NRB 2 × 11,3</b>     | 2              | 11,3           | 0,028                 | <b>NRB 2,5 × 13,8</b>   | 2,5            | 13,8           | 0,053                 |
| <b>NRB 1,5 × 4,3</b>              | 1,5            | 4,3            | 0,006                 | <b>NRB 2 × 11,8</b>     | 2              | 11,8           | 0,029                 | <b>NRB 2,5 × 14,3</b>   | 2,5            | 14,3           | 0,055                 |
| <b>NRB 1,5 × 5,3</b>              | 1,5            | 5,3            | 0,007                 | <b>NRB 2 × 12,3</b>     | 2              | 12,3           | 0,030                 | <b>NRB 2,5 × 14,8</b>   | 2,5            | 14,8           | 0,057                 |
| <b>NRB 1,5 × 5,8</b>              | 1,5            | 5,8            | 0,008                 | <b>NRB 2 × 12,8</b>     | 2              | 12,8           | 0,031                 | <b>NRB 2,5 × 15,3</b>   | 2,5            | 15,3           | 0,059                 |
| <b>NRB 1,5 × 6,3</b>              | 1,5            | 6,3            | 0,009                 | <b>NRB 2 × 13,3</b>     | 2              | 13,3           | 0,033                 | <b>NRB 2,5 × 15,8</b>   | 2,5            | 15,8           | 0,060                 |
| <b>NRB 1,5 × 7,8</b>              | 1,5            | 7,8            | 0,011                 | <b>NRB 2,015 × 11,8</b> | 2,015          | 11,8           | 0,029                 | <b>NRB 2,5 × 16,8</b>   | 2,5            | 16,8           | 0,064                 |
| <b>NRB 1,5 × 9,8</b>              | 1,5            | 9,8            | 0,013                 | <b>NRB 2,025 × 11,3</b> | 2,025          | 11,3           | 0,028                 | <b>NRB 2,5 × 17,8</b>   | 2,5            | 17,8           | 0,068                 |
| <b>NRB 1,5 × 10,3</b>             | 1,5            | 10,3           | 0,014                 | <b>NRB 2,025 × 11,8</b> | 2,025          | 11,8           | 0,030                 | <b>NRB 2,5 × 19,8</b>   | 2,5            | 19,8           | 0,076                 |
| <b>NRB 1,5 × 10,8</b>             | 1,5            | 10,8           | 0,015                 | <b>NRB 2,19 × 9,6</b>   | 2,19           | 9,6            | 0,028                 | <b>NRB 2,5 × 20,8</b>   | 2,5            | 20,8           | 0,080                 |
| <b>NRB 1,5 × 13,8</b>             | 1,5            | 13,8           | 0,019                 | <b>NRB 2,2 × 7,7</b>    | 2,2            | 7,7            | 0,023                 | <b>NRB 2,5 × 21,8</b>   | 2,5            | 21,8           | 0,083                 |
| <b>NRB 1,587 × 12,5</b>           | 1,587          | 12,5           | 0,019                 | <b>NRB 2,2 × 9,8</b>    | 2,2            | 9,8            | 0,029                 | <b>NRB 2,5 × 23,8</b>   | 2,5            | 23,8           | 0,095                 |
| <b>NRB 1,587 × 12,7</b>           | 1,587          | 12,7           | 0,020                 | <b>NRB 2,249 × 6,3</b>  | 2,249          | 6,3            | 0,019                 | <b>NRB 2,5 × 24,8</b>   | 2,5            | 24,8           | 0,095                 |
| <b>NRB 1,59 × 9,4</b>             | 1,590          | 9,4            | 0,015                 | <b>NRB 2,25 × 24,8</b>  | 2,25           | 24,8           | 0,077                 | <b>NRB 2,515 × 16,8</b> | 2,515          | 16,8           | 0,065                 |
| <b>NRB 1,59 × 11,8</b>            | 1,590          | 11,8           | 0,018                 | <b>NRB 2,286 × 8,5</b>  | 2,286          | 8,5            | 0,027                 | <b>NRB 2,515 × 17,8</b> | 2,515          | 17,8           | 0,069                 |
| <b>NRB 1,664 × 7,1</b>            | 1,664          | 7,1            | 0,012                 | <b>NRB 2,286 × 17,1</b> | 2,286          | 17,1           | 0,055                 | <b>NRB 2,525 × 15,8</b> | 2,525          | 15,8           | 0,062                 |
| <b>NRB 1,664 × 10,7</b>           | 1,664          | 10,7           | 0,018                 | <b>NRB 2,332 × 5,2</b>  | 2,332          | 5,2            | 0,017                 | <b>NRB 2,6 × 16,8</b>   | 2,6            | 16,8           | 0,069                 |
| <b>NRB 1,664 × 11,6</b>           | 1,664          | 11,6           | 0,020                 | <b>NRB 2,332 × 14,2</b> | 2,332          | 14,2           | 0,047                 | <b>NRB 2,678 × 7,6</b>  | 2,678          | 7,6            | 0,033                 |
| <b>NRB 1,8 × 6,3</b>              | 1,8            | 6,3            | 0,012                 | <b>NRB 2,332 × 17,1</b> | 2,332          | 17,1           | 0,057                 | <b>NRB 3 × 5,8</b>      | 3              | 5,8            | 0,032                 |
| <b>NRB 1,8 × 8,6</b>              | 1,8            | 8,6            | 0,017                 | <b>NRB 2,365 × 10,8</b> | 2,365          | 10,8           | 0,037                 | <b>NRB 3 × 9,8</b>      | 3              | 9,8            | 0,054                 |
| <b>NRB 2 × 4,5</b>                | 2              | 4,5            | 0,011                 | <b>NRB 2,365 × 23,4</b> | 2,365          | 23,4           | 0,080                 | <b>NRB 3 × 12,8</b>     | 3              | 12,8           | 0,071                 |
| <b>NRB 2 × 4,8</b>                | 2              | 4,8            | 0,012                 | <b>NRB 2,377 × 29,8</b> | 2,377          | 29,8           | 0,103                 | <b>NRB 3 × 13,8</b>     | 3              | 13,8           | 0,076                 |
| <b>NRB 2 × 5,3</b>                | 2              | 5,3            | 0,013                 | <b>NRB 2,398 × 14,3</b> | 2,398          | 14,3           | 0,050                 | <b>NRB 3 × 14,5</b>     | 3              | 14,5           | 0,080                 |
| <b>NRB 2 × 6,8</b>                | 2              | 6,8            | 0,017                 | <b>NRB 2,5 × 4,8</b>    | 2,5            | 4,8            | 0,018                 | <b>NRB 3 × 15,8</b>     | 3              | 15,8           | 0,087                 |
| <b>NRB 2 × 7,3</b>                | 2              | 7,3            | 0,018                 | <b>NRB 2,5 × 5,5</b>    | 2,5            | 5,5            | 0,021                 | <b>NRB 3 × 17,3</b>     | 3              | 17,3           | 0,095                 |
| <b>NRB 2 × 7,8</b>                | 2              | 7,8            | 0,019                 | <b>NRB 2,5 × 7,8</b>    | 2,5            | 7,8            | 0,030                 | <b>NRB 3 × 23,8</b>     | 3              | 23,8           | 0,132                 |
| <b>NRB 2 × 8,8</b>                | 2              | 8,8            | 0,022                 | <b>NRB 2,5 × 9,8</b>    | 2,5            | 9,8            | 0,037                 | <b>NRB 3 × 25,4</b>     | 3              | 25,4           | 0,140                 |
| <b>NRB 2 × 9,3</b>                | 2              | 9,3            | 0,023                 | <b>NRB 2,5 × 10,8</b>   | 2,5            | 10,8           | 0,041                 | <b>NRB 3,025 × 15,8</b> | 3,025          | 15,8           | 0,088                 |
| <b>NRB 2 × 9,8</b>                | 2              | 9,8            | 0,024                 | <b>NRB 2,5 × 11,3</b>   | 2,5            | 11,3           | 0,043                 | <b>NRB 3,175 × 10,8</b> | 3,175          | 10,8           | 0,066                 |
| <b>NRB 2 × 10,8</b>               | 2              | 10,8           | 0,026                 | <b>NRB 2,5 × 12,8</b>   | 2,5            | 12,8           | 0,049                 | <b>NRB 3,177 × 12,8</b> | 3,177          | 12,8           | 0,079                 |

# Agulhas

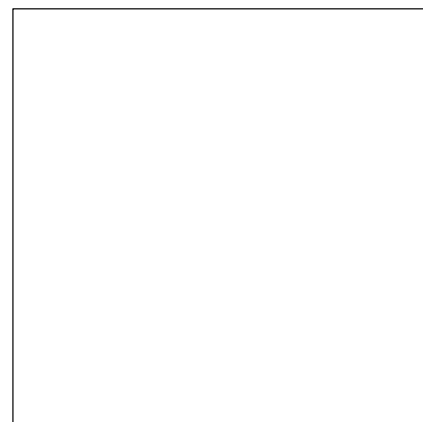
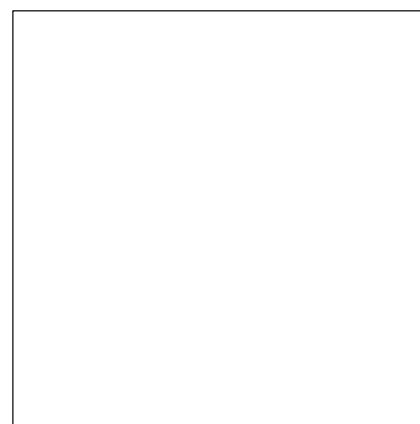


Tabela de medidas - Medidas em mm

| Código                  | Medidas        |                | Peso p/100 pçs.<br>kg | Código                  | Medidas        |                | Peso p/100 pçs.<br>kg | Código                  | Medidas        |                | Peso p/100 pçs.<br>kg |
|-------------------------|----------------|----------------|-----------------------|-------------------------|----------------|----------------|-----------------------|-------------------------|----------------|----------------|-----------------------|
|                         | D <sub>w</sub> | L <sub>w</sub> |                       |                         | D <sub>w</sub> | L <sub>w</sub> |                       |                         | D <sub>w</sub> | L <sub>w</sub> |                       |
| <b>NRB 3,493 × 10</b>   | 3,493          | 10             | 0,075                 | <b>NRB 4 × 15,3</b>     | 4              | 15,3           | 0,150                 | <b>NRB 5 × 9,8</b>      | 5              | 9,8            | 0,150                 |
| <b>NRB 3,5 × 10,8</b>   | 3,5            | 10,8           | 0,081                 | <b>NRB 4 × 15,8</b>     | 4              | 15,8           | 0,155                 | <b>NRB 5 × 13,8</b>     | 5              | 13,8           | 0,211                 |
| <b>NRB 3,5 × 13,8</b>   | 3,5            | 13,8           | 0,104                 | <b>NRB 4 × 16,3</b>     | 4              | 16,3           | 0,160                 | <b>NRB 5 × 15,8</b>     | 5              | 15,8           | 0,243                 |
| <b>NRB 3,5 × 13,812</b> | 3,5            | 13,812         | 0,104                 | <b>NRB 4 × 16,8</b>     | 4              | 16,8           | 0,165                 | <b>NRB 5 × 16,8</b>     | 5              | 16,8           | 0,257                 |
| <b>NRB 3,5 × 14,3</b>   | 3,5            | 14,3           | 0,107                 | <b>NRB 4 × 17,3</b>     | 4              | 17,3           | 0,169                 | <b>NRB 5 × 19,8</b>     | 5              | 19,8           | 0,303                 |
| <b>NRB 3,5 × 15,3</b>   | 3,5            | 15,3           | 0,115                 | <b>NRB 4 × 17,8</b>     | 4              | 17,8           | 0,174                 | <b>NRB 5 × 23,8</b>     | 5              | 23,8           | 0,358                 |
| <b>NRB 3,5 × 19,8</b>   | 3,5            | 19,8           | 0,151                 | <b>NRB 4 × 19,8</b>     | 4              | 19,8           | 0,194                 | <b>NRB 5 × 39,8</b>     | 5              | 39,8           | 0,615                 |
| <b>NRB 3,5 × 23,8</b>   | 3,5            | 23,8           | 0,185                 | <b>NRB 4 × 22,8</b>     | 4              | 22,8           | 0,223                 | <b>NRB 5,5 × 16,6</b>   | 5,5            | 16,6           | 0,308                 |
| <b>NRB 3,5 × 25,4</b>   | 3,5            | 25,4           | 0,190                 | <b>NRB 4 × 26,8</b>     | 4              | 26,8           | 0,263                 | <b>NRB 5,51 × 16,6</b>  | 5,51           | 16,6           | 0,309                 |
| <b>NRB 3,614 × 36,8</b> | 3,614          | 36,8           | 0,226                 | <b>NRB 4 × 27,8</b>     | 4              | 27,8           | 0,272                 | <b>NRB 5,542 × 17,7</b> | 5,542          | 17,7           | 0,333                 |
| <b>NRB 3,65 × 9,55</b>  | 3,65           | 9,55           | 0,078                 | <b>NRB 4 × 31,8</b>     | 4              | 31,8           | 0,312                 | <b>NRB 5,75 × 32,3</b>  | 5,75           | 32,3           | 0,654                 |
| <b>NRB 3,65 × 21</b>    | 3,65           | 21             | 0,171                 | <b>NRB 4,005 × 16</b>   | 4,005          | 16             | 0,157                 | <b>NRB 6 × 14,8</b>     | 6              | 14,8           | 0,326                 |
| <b>NRB 3,66 × 9,55</b>  | 3,66           | 9,55           | 0,078                 | <b>NRB 4,088 × 19,8</b> | 4,088          | 19,8           | 0,203                 | <b>NRB 6 × 30</b>       | 6              | 30             | 0,662                 |
| <b>NRB 3,677 × 12,8</b> | 3,677          | 12,8           | 0,106                 | <b>NRB 4,177 × 14,8</b> | 4,177          | 14,8           | 0,158                 | <b>NRB 6 × 37</b>       | 6              | 37             | 0,816                 |
| <b>NRB 3,68 × 23</b>    | 3,68           | 23             | 0,191                 | <b>NRB 4,27 × 12,8</b>  | 4,27           | 12,8           | 0,143                 | <b>NRB 6,347 × 30,3</b> | 6,347          | 30,3           | 0,748                 |
| <b>NRB 3,716 × 23</b>   | 3,716          | 23             | 0,194                 | <b>NRB 4,5 × 11,8</b>   | 4,5            | 11,8           | 0,146                 | <b>NRB 6,35 × 20,8</b>  | 6,35           | 20,8           | 0,514                 |
| <b>NRB 3,747 × 19</b>   | 3,747          | 19             | 0,163                 | <b>NRB 4,5 × 12,8</b>   | 4,5            | 12,8           | 0,159                 | <b>NRB 6,35 × 21,59</b> | 6,35           | 21,59          | 0,533                 |
| <b>NRB 3,871 × 20,6</b> | 3,871          | 20,6           | 0,189                 | <b>NRB 4,5 × 15,8</b>   | 4,5            | 15,8           | 0,196                 | <b>NRB 6,41 × 22,35</b> | 6,41           | 22,35          | 0,563                 |
| <b>NRB 3,968 × 16,3</b> | 3,968          | 16,3           | 0,157                 | <b>NRB 4,5 × 19,8</b>   | 4,5            | 19,8           | 0,245                 |                         |                |                |                       |
| <b>NRB 3,968 × 22,5</b> | 3,968          | 22,5           | 0,217                 | <b>NRB 4,5 × 29,8</b>   | 4,5            | 29,8           | 0,369                 |                         |                |                |                       |
| <b>NRB 3,976 × 14,3</b> | 3,976          | 14,3           | 0,138                 | <b>NRB 4,505 × 8</b>    | 4,505          | 8              | 0,099                 |                         |                |                |                       |
| <b>NRB 3,976 × 15,3</b> | 3,976          | 15,3           | 0,148                 | <b>NRB 4,76 × 20,3</b>  | 4,76           | 20,3           | 0,282                 |                         |                |                |                       |
| <b>NRB 4 × 9,8</b>      | 4              | 9,8            | 0,096                 | <b>NRB 4,76 × 26</b>    | 4,76           | 26             | 0,361                 |                         |                |                |                       |
| <b>NRB 4 × 11,8</b>     | 4              | 11,8           | 0,116                 | <b>NRB 4,763 × 14,3</b> | 4,763          | 14,3           | 0,198                 |                         |                |                |                       |
| <b>NRB 4 × 12,3</b>     | 4              | 12,3           | 0,120                 | <b>NRB 4,763 × 16,3</b> | 4,763          | 16,3           | 0,226                 |                         |                |                |                       |
| <b>NRB 4 × 12,8</b>     | 4              | 12,8           | 0,125                 | <b>NRB 4,763 × 20,8</b> | 4,763          | 20,8           | 0,289                 |                         |                |                |                       |
| <b>NRB 4 × 13,4</b>     | 4              | 13,4           | 0,131                 | <b>NRB 4,763 × 22,8</b> | 4,763          | 22,8           | 0,317                 |                         |                |                |                       |
| <b>NRB 4 × 13,8</b>     | 4              | 13,8           | 0,135                 | <b>NRB 4,845 × 17,8</b> | 4,845          | 17,8           | 0,256                 |                         |                |                |                       |
| <b>NRB 4 × 14,8</b>     | 4              | 14,8           | 0,145                 | <b>NRB 4,996 × 16,2</b> | 4,996          | 16,2           | 0,247                 |                         |                |                |                       |

# Rolos cilíndricos



| Tabela de medidas · Medidas em mm |                |                |                       |                    |                |                |                       |
|-----------------------------------|----------------|----------------|-----------------------|--------------------|----------------|----------------|-----------------------|
| Código                            | Medidas        |                | Peso p/100 pçs.<br>kg | Código             | Medidas        |                | Peso p/100 pçs.<br>kg |
|                                   | D <sub>w</sub> | L <sub>w</sub> |                       |                    | D <sub>w</sub> | L <sub>w</sub> |                       |
| <b>LRB 4 × 14</b>                 | 4              | 14             | 0,137                 | <b>LRB 10 × 14</b> | 10             | 14             | 0,858                 |
| <b>ZRB 5 × 8</b>                  | 5              | 8              | 0,123                 | <b>LRB 10 × 16</b> | 10             | 16             | 0,980                 |
| <b>LRB 6 × 10</b>                 | 6              | 10             | 0,221                 | <b>LRB 11 × 12</b> | 11             | 12             | 0,890                 |
| <b>ZRB 7 × 14</b>                 | 7              | 14             | 0,420                 | <b>LRB 11 × 15</b> | 11             | 15             | 1,112                 |
| <b>ZRB 7,19 × 10</b>              | 7,19           | 10             | 0,317                 | <b>ZRB 11 × 15</b> | 11             | 15             | 1,112                 |
| <b>LRB 7,5 × 7,5</b>              | 7,5            | 7,5            | 0,259                 | <b>ZRB 12 × 12</b> | 12             | 12             | 1,058                 |
| <b>ZRB 7,5 × 7,5</b>              | 7,5            | 7,5            | 0,259                 | <b>ZRB 12 × 18</b> | 12             | 18             | 1,588                 |
| <b>ZRB 7,5 × 11</b>               | 7,5            | 11             | 0,379                 | <b>ZRB 12 × 23</b> | 12             | 23             | 2,029                 |
| <b>LRB 7,539 × 14</b>             | 7,539          | 14             | 0,487                 | <b>LRB 14 × 14</b> | 14             | 14             | 1,681                 |
| <b>ZRB 8 × 12</b>                 | 8              | 12             | 0,471                 | <b>ZRB 14 × 20</b> | 14             | 20             | 2,401                 |
| <b>ZRB 8 × 20</b>                 | 8              | 20             | 0,784                 | <b>ZRB 15 × 15</b> | 15             | 15             | 2,068                 |
| <b>ZRB 9 × 9</b>                  | 9              | 9              | 0,447                 | <b>LRB 15 × 15</b> | 15             | 15             | 2,068                 |
| <b>LRB 9 × 11</b>                 | 9              | 11             | 0,546                 | <b>LRB 18 × 26</b> | 18             | 26             | 5,161                 |
| <b>LRB 9 × 14</b>                 | 9              | 14             | 0,694                 | <b>ZRB 19 × 20</b> | 19             | 20             | 4,423                 |

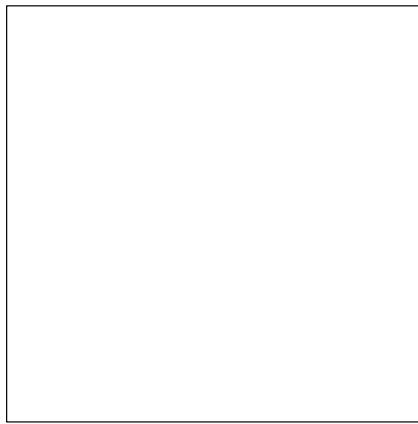
# Roldanas de esferas

As roldanas de esferas conforme forma A, são adequadas para utilização de rolos guia, por ser a borda no diâmetro externo, em um dos lados, maior.

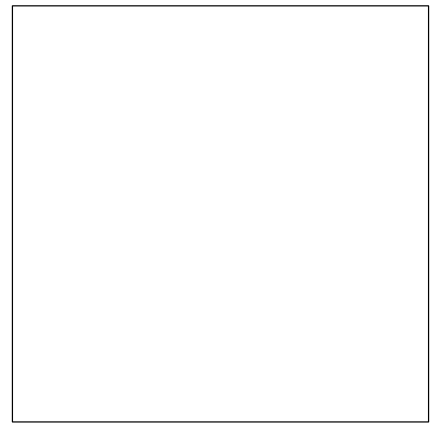
A execução conforme a forma B é indicada para aplicação em equipamentos de transporte. São fornecidas com uma vedação tipo labirinto e uma capa que deve ser montada no rolamento após ser montado no equipamento.

As roldanas de esferas são fornecidas sem graxa, razão pela qual deve se fazer a lubrificação antes do funcionamento do equipamento.

A temperatura de trabalho não deve ser superior a +250 °C.



Forma A



Forma B

| Tabela de medidas · Medidas em mm |                |         |      |                |    |                |                |      |      |   |                |       |            |                            |                             |
|-----------------------------------|----------------|---------|------|----------------|----|----------------|----------------|------|------|---|----------------|-------|------------|----------------------------|-----------------------------|
| Diâmetro nominal do eixo          | Código         | Medidas |      |                |    |                |                |      |      |   |                | Forma | Peso<br>kg | Capacidade básica de carga |                             |
|                                   |                | d       | D    | D <sub>1</sub> | B  | B <sub>1</sub> | d <sub>1</sub> | L    | R    | r | r <sub>1</sub> |       |            | din.<br>C<br>N             | est.<br>C <sub>0</sub><br>N |
| <b>20,1</b>                       | <b>F-45620</b> | 20,1    | 82,5 | –              | 27 | –              | 42,9           | 29,5 | 50,8 | 4 | 3              | B     | 0,7366     | 30 000                     | 15 800                      |
| <b>25</b>                         | <b>F-45881</b> | 25      | 77   | 62             | 17 | 16,5           | 34,2           | 23   | –    | – | –              | A     | 0,3564     | 14 000                     | 7 900                       |
|                                   | <b>F-45625</b> | 25      | 100  | 80             | 29 | 25             | 42,9           | 35   | –    | – | –              | A     | 0,9500     | 30 000                     | 15 800                      |

# Rolamentos de esferas de fixação rápida

Os rolamentos de esferas de fixação rápida INA se caracterizam principalmente pelas seguintes vantagens:

## **Fixação**

O sistema de fixação por anel excêntrico, permite o uso de eixos treilados em tolerância de diâmetro h9, já oferecidos pela usinas, dispensando operações adicionais no eixo.

O anel excêntrico fixa rapidamente o rolamento na posição desejada, garantindo um assento seguro entre eixo e anel interno.

Os rolamentos das séries Y, com dois parafusos de fixação no anel interno, oferecem basicamente as mesmas características.

As instruções para montagem estão detalhadas na pág. 139.

## **Autocompensação**

O anel externo com diâmetro esférico torna o rolamento autocompensador permitindo correta adaptação aos eventuais desalinhamentos entre os mancais e as contra peças que não necessitam ser usinadas, assegurando um bom funcionamento do rolamento.

## **Lubrificação**

Os rolamentos são fabricados com furos de lubrificação e fornecidos engraxados com graxa de sabão de lítio.

## **Temperatura**

Os rolamentos podem trabalhar em regime constante de temperatura  $-30\text{ °C}$  até  $+120\text{ °C}$ . Nos casos em que ocorram temperaturas abaixo ou acima destes limites pede-se consultar a Engenharia da INA.

## **Gaiolas**

Podem ser em poliamida 6.6 estabilizada termicamente ou em chapa de aço.

## **Informações técnicas complementares**

- Na parte do catálogo
- Fundamentos da técnica de rolamentos (pág. 10).

# Mancais de ferro fundido

São alojamentos de ferro fundido cinzento, com resistência a ruptura de  $250 \text{ N/mm}^2$  e permitem o aproveitamento completo da capacidade básica de carga do rolamento de esferas de fixação rápida montado.

A tolerância das superfícies usinadas é de  $0,25 \text{ mm}$ .

Para superfície em bruto, assim como mancais com superfície usinadas e em bruto a tolerância é conforme a norma GTB 14 DIN 1 680 folha 2.

A tolerância do assentamento do rolamento no mancal é determinada de forma que ao ocorrer o deslizamento do rolamento este se alinhe automaticamente.

Os mancais que permitem a relubrificação são fabricados com um furo de rosca  $R1/8''$ . O furo é protegido com um tampão de plástico e este deve ser solicitado quando da necessidade do mancal ser fornecido com graxeira.

Para se garantir a relubrificação do rolamento não pode haver um desalinhamento em relação ao mancal maior que  $\pm 2,5$  graus.

## Mancais de chapa de aço repuxada

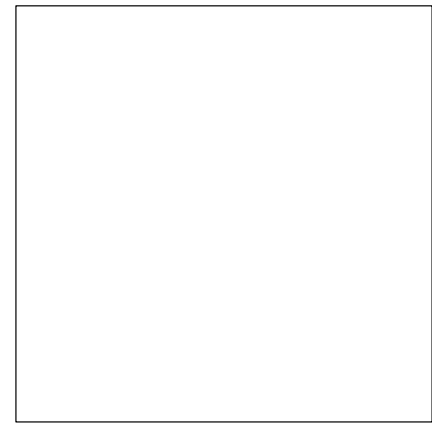
O mancal de chapa de aço repuxada é composto por duas metades, entre as quais se monta o rolamento. A tolerância deste alojamento garante a fixação do anel externo somente quando são fixadas as duas metades por meio de parafusos.

Instruções para montagem vide pág. 139.

São de construção leve com custos favoráveis, de material conforme norma DIN 1 623 e admitem cargas radiais segundo a capacidade de carga  $C_g$  e cargas axiais até  $0,5 C_g$ .

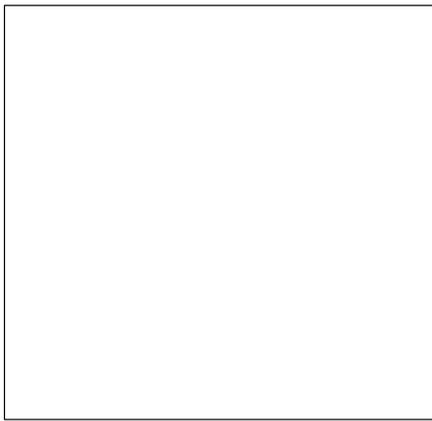
Tolerâncias dos mancais  $\pm 0,25 \text{ mm}$ .

# Rolamentos de esferas de fixação rápida

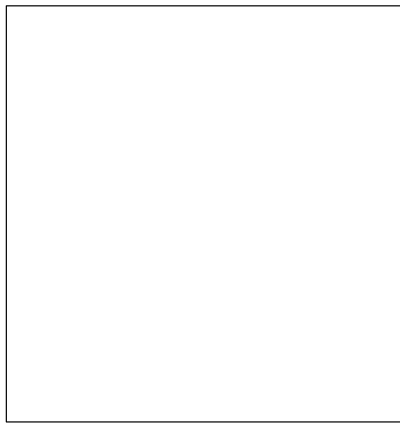


GRAE...NPPB  
GRA...NPPB

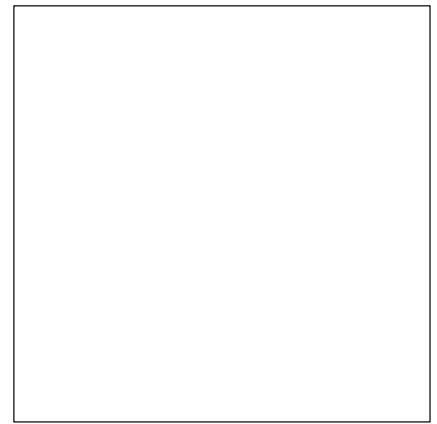
| Tabela de medidas - Medidas em mm e polegada |    |    |                |      |      |      |                |     |      |     |      |     |                 |                               |                             |                        |
|--|----|----|----------------|------|------|------|----------------|-----|------|-----|------|-----|-----------------|-------------------------------|-----------------------------|------------------------|
| Medidas                                      |    |    |                |      |      |      |                |     |      |     |      |     | Peso<br>≈<br>kg | Capacidade<br>básica de carga |                             | Código do<br>rolamento |
| d  | D  | B  | B <sub>1</sub> | C    | E    | F    | F <sub>1</sub> | G   | L    | N   | R    | SW  |                 | din.<br>C<br>N                | est.<br>C <sub>0</sub><br>N |                        |
| <b>19,050</b><br><i>(3/4")</i>               | 47 | 14 | –              | 21,4 | 7,5  | 26,9 | –              | 3,7 | 31,0 | –   | 33,0 | 3,0 | 0,16            | 12 800                        | 6 600                       | <b>GRA 012 NPPB</b>    |
|  | 47 | 14 | 16,6           | 34,1 | 17,1 | 27,6 | 37,4           | 3,7 | 43,7 | –   | 33,0 | 3,0 | 0,20            | 12 800                        | 6 600                       | <b>G 1012 KRRB</b>     |
|  | 47 | 14 | 16,6           | –    | 12,7 | 27,6 | 37,4           | 3,7 | 31,0 | 4,5 | –    | 2,5 | 0,17            | 12 800                        | 6 600                       | <b>GY 1012 KRRB</b>    |
| <b>20</b>                                    | 47 | 14 | –              | 21,4 | 7,5  | 26,9 | –              | 3,7 | 31,0 | –   | 33,0 | 3,0 | 0,16            | 12 800                        | 6 600                       | <b>GRAE 20 NPPB</b>    |
|  | 47 | 14 | 16,6           | 34,1 | 17,1 | 27,6 | 37,4           | 3,7 | 43,7 | –   | 33,0 | 3,0 | 0,20            | 12 800                        | 6 600                       | <b>GE 20 KRRB</b>      |
|  | 47 | 14 | 16,6           | –    | 12,7 | 27,6 | 37,4           | 3,7 | 31,0 | 4,5 | –    | 2,5 | 0,17            | 12 800                        | 6 600                       | <b>GYE 20 KRRB</b>     |
| <b>22,225</b><br><i>(7/8")</i>               | 52 | 15 | –              | 21,4 | 7,5  | 30,5 | –              | 3,9 | 31,0 | –   | 37,5 | 3,0 | 0,19            | 14 000                        | 7 800                       | <b>GRA 014 NPPB</b>    |
|  | 52 | 15 | 16,7           | 34,9 | 17,5 | 33,8 | 42,5           | 3,9 | 44,4 | –   | 37,5 | 3,0 | 0,25            | 14 000                        | 7 800                       | <b>G 1014 KRRB</b>     |
|  | 52 | 15 | 16,7           | –    | 14,3 | 33,8 | 42,5           | 3,9 | 34,1 | 5,0 | –    | 2,5 | 0,20            | 14 000                        | 7 800                       | <b>GY 1014 KRRB</b>    |
| <b>23,813</b><br><i>(15/16")</i>             | 52 | 15 | 16,7           | 34,9 | 17,5 | 33,8 | 42,5           | 3,9 | 44,4 | –   | 37,5 | 3,0 | 0,25            | 14 000                        | 7 800                       | <b>G 1015 KRRB</b>     |
| <b>25</b>                                    | 52 | 15 | –              | 21,4 | 7,5  | 30,5 | –              | 3,9 | 31,0 | –   | 37,5 | 3,0 | 0,19            | 14 000                        | 7 800                       | <b>GRAE 25 NPPB</b>    |
|  | 52 | 15 | 16,7           | 34,9 | 17,5 | 33,8 | 42,5           | 3,9 | 44,4 | –   | 37,5 | 3,0 | 0,25            | 14 000                        | 7 800                       | <b>GE 25 KRRB</b>      |
|  | 52 | 15 | 20,2           | 34,9 | 17,5 | 33,8 | 42,5           | 3,9 | 44,4 | –   | 37,5 | 3,0 | 0,25            | 14 000                        | 7 800                       | <b>GE 25 KPPB3</b>     |
|  | 52 | 15 | 16,7           | –    | 14,3 | 33,8 | 42,5           | 3,9 | 34,1 | 5,0 | –    | 2,5 | 0,20            | 14 000                        | 7 800                       | <b>GYE 25 KRRB</b>     |
| <b>25,400</b><br><i>(1")</i>                 | 52 | 15 | –              | 21,4 | 7,5  | 30,5 | –              | 3,9 | 31,0 | –   | 37,5 | 3,0 | 0,19            | 14 000                        | 7 800                       | <b>GRA 100 NPPB</b>    |
|  | 52 | 15 | 16,7           | 34,9 | 17,5 | 33,8 | 42,5           | 3,9 | 44,4 | –   | 37,5 | 3,0 | 0,25            | 14 000                        | 7 800                       | <b>G 1100 KRRB</b>     |
|  | 52 | 15 | 16,7           | –    | 14,3 | 33,8 | 42,5           | 3,9 | 34,1 | 5,0 | –    | 2,5 | 0,20            | 14 000                        | 7 800                       | <b>GY 1100 KRRB</b>    |
| <b>28,575</b><br><i>(1.1/8")</i>             | 62 | 18 | –              | 23,8 | 9,0  | 37,4 | –              | 5,0 | 35,7 | –   | 44,0 | 4,0 | 0,31            | 19 500                        | 11 300                      | <b>GRA 102 NPPB</b>    |
|  | 62 | 18 | 20,7           | 36,5 | 18,3 | 40,2 | 52,0           | 5,0 | 48,4 | –   | 44,0 | 4,0 | 0,38            | 19 500                        | 11 300                      | <b>G 1102 KRRB</b>     |
|  | 62 | 18 | 20,7           | –    | 15,9 | 40,2 | 52,0           | 5,0 | 38,1 | 5,0 | –    | 3,0 | 0,33            | 19 500                        | 11 300                      | <b>GY 1102 KRRB</b>    |
| <b>30</b>                                    | 62 | 18 | –              | 23,8 | 9,0  | 37,4 | –              | 5,0 | 35,7 | –   | 44,0 | 4,0 | 0,31            | 19 500                        | 11 300                      | <b>GRAE 30 NPPB</b>    |
|  | 62 | 18 | 20,7           | 36,5 | 18,3 | 40,2 | 52,0           | 5,0 | 48,4 | –   | 44,0 | 4,0 | 0,36            | 19 500                        | 11 300                      | <b>GE 30 KRRB</b>      |
|  | 62 | 18 | 20,7           | 36,5 | 18,3 | 40,2 | 52,0           | 5,0 | 48,4 | –   | 44,0 | 4,0 | 0,39            | 19 500                        | 11 300                      | <b>GE 30 KPPB3</b>     |
|  | 62 | 18 | 20,7           | –    | 15,9 | 40,2 | 52,0           | 5,0 | 38,1 | 5,0 | –    | 3,0 | 0,33            | 19 500                        | 11 300                      | <b>GYE 30 KRRB</b>     |
| <b>30,162</b><br><i>(1.3/16")</i>            | 62 | 18 | 20,7           | 36,5 | 18,3 | 40,2 | 52,0           | 5,0 | 48,4 | –   | 44,0 | 4,0 | 0,38            | 19 500                        | 11 300                      | <b>G 1103 KRRB</b>     |
|  | 62 | 18 | 20,7           | –    | 15,9 | 40,2 | 52,0           | 5,0 | 38,1 | 5,0 | –    | 3,0 | 0,33            | 19 500                        | 11 300                      | <b>GY 1103 KRRB</b>    |
| <b>31,750</b><br><i>(1.1/4")</i>             | 62 | 18 | –              | 23,8 | 9,0  | 37,4 | –              | 5,0 | 35,7 | –   | 44,0 | 4,0 | 0,31            | 19 500                        | 11 300                      | <b>GRA103NPPBAH02</b>  |
| <b>31,750</b><br><i>(1.1/4")</i>             | 72 | 19 | –              | 25,4 | 9,5  | 44,6 | –              | 5,7 | 38,9 | –   | 51,0 | 5,0 | 0,48            | 25 500                        | 15 300                      | <b>GRA 104 NPPB</b>    |
|  | 72 | 19 | 22,5           | 37,7 | 18,8 | 46,8 | 60,3           | 5,7 | 51,1 | –   | 51,0 | 5,0 | 0,55            | 25 500                        | 15 300                      | <b>G 1104 KRRB</b>     |
|  | 72 | 19 | 22,5           | –    | 17,5 | 46,8 | 60,3           | 5,7 | 42,9 | 6,0 | –    | 3,0 | 0,49            | 25 500                        | 15 300                      | <b>GY 1104 KRRB</b>    |
| <b>33,338</b><br><i>(1.5/16")</i>            | 72 | 19 | 22,5           | 37,7 | 18,8 | 46,8 | 60,3           | 5,7 | 51,1 | –   | 51,0 | 5,0 | 0,55            | 25 500                        | 15 300                      | <b>G 1105 KRRB</b>     |
| <b>34,925</b><br><i>(1.3/8")</i>             | 72 | 19 | –              | 25,4 | 9,5  | 44,6 | –              | 5,7 | 38,9 | –   | 51,0 | 5,0 | 0,48            | 25 500                        | 15 300                      | <b>GRA 106 NPPB</b>    |
|  | 72 | 19 | 22,5           | 37,7 | 18,8 | 46,8 | 60,3           | 5,7 | 51,1 | –   | 51,0 | 5,0 | 0,55            | 25 500                        | 15 300                      | <b>G 1106 KRRB</b>     |
|  | 72 | 19 | 22,5           | –    | 17,5 | 46,8 | 60,3           | 5,7 | 42,9 | 6,0 | –    | 3,0 | 0,49            | 25 500                        | 15 300                      | <b>GY 1106 KRRB</b>    |



GE..KRRB  
GNE...KRRB  
G....KRRB



GYE..KRRB  
GY...KRRB



GE..KPPB 3  
G....KPPB 3

**Tabela de medidas** · Medidas em mm e polegada

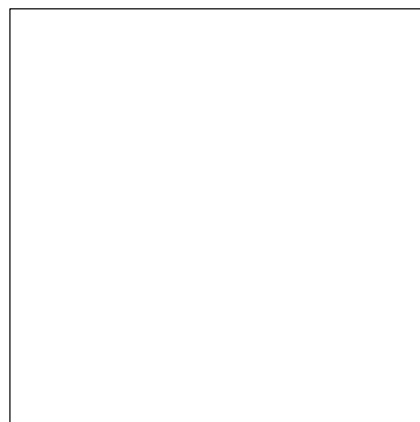
| Medidas                      |     |    |                |      |      |      |                |     |      |      |      |     | Peso<br>≈<br>kg | Capacidade<br>básica de carga |                             | Código do<br>rolamento |
|------------------------------|-----|----|----------------|------|------|------|----------------|-----|------|------|------|-----|-----------------|-------------------------------|-----------------------------|------------------------|
| d                            | D   | B  | B <sub>1</sub> | C    | E    | F    | F <sub>1</sub> | G   | L    | N    | R    | SW  |                 | din.<br>C<br>N                | est.<br>C <sub>0</sub><br>N |                        |
| <b>35</b>                    | 72  | 19 | –              | 25,4 | 9,5  | 44,6 | –              | 5,7 | 38,9 | –    | 51,0 | 5,0 | 0,48            | 25 500                        | 15 300                      | <b>GRAE 35 NPPB</b>    |
|                              | 72  | 19 | 22,5           | 37,7 | 18,8 | 46,8 | 60,3           | 5,7 | 51,1 | –    | 51,0 | 5,0 | 0,55            | 25 500                        | 15 300                      | <b>GE 35 KRRB</b>      |
|                              | 72  | 19 | 25,4           | 37,7 | 18,8 | 46,8 | 60,3           | 5,7 | 51,1 | –    | 51,0 | 5,0 | 0,56            | 25 500                        | 15 300                      | <b>GE 35 KPPB3</b>     |
|                              | 72  | 19 | 22,5           | –    | 17,5 | 46,8 | 60,3           | 5,7 | 42,9 | 6,0  | –    | 3,0 | 0,49            | 25 500                        | 15 300                      | <b>GYE 35 KRRB</b>     |
| <b>36,512<br/>(1.7/16")</b>  | 72  | 19 | –              | 25,4 | 9,5  | 44,6 | –              | 5,7 | 38,9 | –    | 51,0 | 5,0 | 0,48            | 25 500                        | 15 300                      | <b>GRA 107 NPPB</b>    |
|                              | 72  | 19 | 22,5           | 37,7 | 18,8 | 46,8 | 60,3           | 5,7 | 51,1 | –    | 51,0 | 5,0 | 0,55            | 25 500                        | 15 300                      | <b>G 1107 KRRB</b>     |
|                              | 72  | 19 | 22,5           | –    | 17,5 | 46,8 | 60,3           | 5,7 | 42,9 | 6,0  | –    | 3,0 | 0,49            | 25 500                        | 15 300                      | <b>GY 1107 KRRB</b>    |
| <b>38,100<br/>(1.1/2")</b>   | 80  | 21 | 23,5           | 42,9 | 21,4 | 52,3 | 68,3           | 6,2 | 56,3 | –    | 58,0 | 5,0 | 0,74            | 32 500                        | 19 800                      | <b>G 1108 KRRB</b>     |
|                              | 80  | 21 | 23,5           | –    | 19,0 | 52,3 | 68,3           | 6,2 | 49,2 | 8,0  | –    | 4,0 | 0,65            | 32 500                        | 19 800                      | <b>GY 1108 KRRB</b>    |
|                              | 80  | 21 | 28,1           | –    | 19,0 | 52,3 | 68,3           | 6,2 | 49,2 | 8,0  | –    | 4,0 | 0,68            | 32 500                        | 19 800                      | <b>GY 1108 KPPB3</b>   |
| <b>39,688<br/>(1.9/16")</b>  | 80  | 21 | 23,5           | 42,9 | 21,4 | 52,3 | 68,3           | 6,2 | 56,3 | –    | 58,0 | 5,0 | 0,74            | 32 500                        | 19 800                      | <b>G 1109 KRRB</b>     |
| <b>40</b>                    | 80  | 21 | –              | 30,2 | 11,0 | 49,4 | –              | 6,2 | 43,7 | –    | 58,0 | 5,0 | 0,62            | 32 500                        | 19 800                      | <b>GRAE 40 NPPB</b>    |
|                              | 80  | 21 | 23,5           | 42,9 | 21,4 | 52,3 | 68,3           | 6,2 | 56,3 | –    | 58,0 | 5,0 | 0,74            | 32 500                        | 19 800                      | <b>GE 40 KRRB</b>      |
|                              | 80  | 21 | 23,5           | –    | 19,0 | 52,3 | 68,3           | 6,2 | 49,2 | 8,0  | –    | 4,0 | 0,65            | 32 500                        | 19 800                      | <b>GYE 40 KRRB</b>     |
| <b>41,275<br/>(1.5/8")</b>   | 85  | 22 | –              | 30,2 | 11,0 | 54,5 | –              | 6,4 | 43,7 | –    | 63,0 | 5,0 | 0,69            | 32 500                        | 20 400                      | <b>GRA 110 NPPB</b>    |
|                              | 85  | 22 | 26,4           | 42,9 | 21,4 | 57,9 | 72,3           | 6,4 | 56,3 | –    | 63,0 | 5,0 | 0,81            | 32 500                        | 20 400                      | <b>G 1110 KRRB</b>     |
|                              | 85  | 22 | 26,4           | –    | 19,0 | 57,9 | 72,3           | 6,4 | 49,2 | 8,0  | –    | 4,0 | 0,70            | 32 500                        | 20 400                      | <b>GY 1110 KRRB</b>    |
| <b>42,863<br/>(1.11/16")</b> | 85  | 22 | 26,4           | 42,9 | 21,4 | 57,9 | 72,3           | 6,4 | 56,3 | –    | 63,0 | 5,0 | 0,81            | 32 500                        | 20 400                      | <b>G 1111 KRRB</b>     |
| <b>44,450<br/>(1.3/4")</b>   | 85  | 22 | –              | 30,2 | 11,0 | 54,5 | –              | 6,4 | 43,7 | –    | 63,0 | 5,0 | 0,69            | 32 500                        | 20 400                      | <b>GRA 112 NPPB</b>    |
|                              | 85  | 22 | 26,4           | 42,9 | 21,4 | 57,9 | 72,3           | 6,4 | 56,3 | –    | 63,0 | 5,0 | 0,81            | 32 500                        | 20 400                      | <b>G 1112 KRRB</b>     |
|                              | 85  | 22 | 26,4           | –    | 19,0 | 57,9 | 72,3           | 6,4 | 49,2 | 8,0  | –    | 4,0 | 0,70            | 32 500                        | 20 400                      | <b>GY 1112 KRRB</b>    |
| <b>45</b>                    | 85  | 22 | –              | 30,2 | 11,0 | 54,5 | –              | 6,4 | 43,7 | –    | 63,0 | 5,0 | 0,69            | 32 500                        | 20 400                      | <b>GRAE 45 NPPB</b>    |
|                              | 85  | 22 | 26,4           | 42,9 | 21,4 | 57,9 | 72,3           | 6,4 | 56,3 | –    | 63,0 | 5,0 | 0,81            | 32 500                        | 20 400                      | <b>GE 45 KRRB</b>      |
|                              | 85  | 22 | 26,4           | 42,9 | 21,4 | 57,9 | 72,3           | 6,4 | 56,3 | –    | 63,0 | 5,0 | 0,86            | 32 500                        | 20 400                      | <b>GE 45 KPPB3</b>     |
|                              | 85  | 22 | 26,4           | –    | 19,0 | 57,9 | 72,3           | 6,4 | 49,2 | 8,0  | –    | 4,0 | 0,70            | 32 500                        | 20 400                      | <b>GYE 45 KRRB</b>     |
|                              | 85  | 22 | 26,4           | –    | 19,0 | 57,9 | 72,3           | 6,4 | 49,2 | 8,0  | –    | 4,0 | 0,75            | 32 500                        | 20 400                      | <b>GYE 45 KPPB3</b>    |
| <b>49,212<br/>(1.15/16")</b> | 90  | 22 | 26,4           | 49,2 | 24,6 | 62,8 | 77,3           | 6,5 | 62,7 | –    | 69,0 | 5,0 | 1,00            | 35 000                        | 23 200                      | <b>G 1115 KRRB</b>     |
|                              | 90  | 22 | 26,4           | –    | 19,0 | 62,8 | 77,3           | 6,5 | 51,6 | 8,5  | –    | 4,0 | 0,80            | 35 000                        | 23 200                      | <b>GY 1115 KRRB</b>    |
| <b>50</b>                    | 90  | 22 | –              | 30,2 | 11,0 | 59,4 | –              | 6,5 | 43,7 | –    | 69,0 | 5,0 | 0,77            | 35 000                        | 23 200                      | <b>GRAE 50 NPPB</b>    |
|                              | 90  | 22 | 26,4           | 49,2 | 24,6 | 62,8 | 77,3           | 6,5 | 62,7 | –    | 69,0 | 5,0 | 1,00            | 35 000                        | 23 200                      | <b>GE 50 KRRB</b>      |
|                              | 90  | 22 | 26,4           | –    | 19,0 | 62,8 | 77,3           | 6,5 | 51,6 | 8,5  | –    | 4,0 | 0,80            | 35 000                        | 23 200                      | <b>GYE 50 KRRB</b>     |
|                              | 110 | 29 | 31,0           | 49,2 | 24,6 | 68,8 | 92,7           | 9,1 | 66,7 | –    | 75,8 | 5,0 | 1,87            | 62 000                        | 38 000                      | <b>GNE 50 KRRB</b>     |
| <b>55</b>                    | 100 | 25 | 29,0           | –    | 22,2 | 69,8 | 85,9           | 7,0 | 55,6 | 9,0  | –    | 4,0 | 1,10            | 43 500                        | 29 000                      | <b>GYE 55 KRRB</b>     |
| <b>60</b>                    | 110 | 24 | 29,0           | –    | 25,4 | 76,5 | 94,5           | 7,6 | 65,1 | 10,0 | –    | 5,0 | 1,32            | 52 000                        | 36 000                      | <b>GYE 60 KRRB</b>     |

# Mancais de ferro fundido

tipo apoio

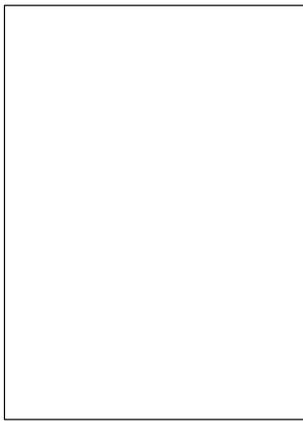


PASE

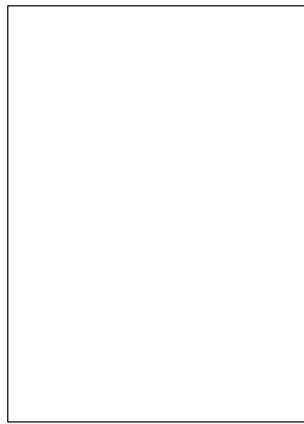


RASE

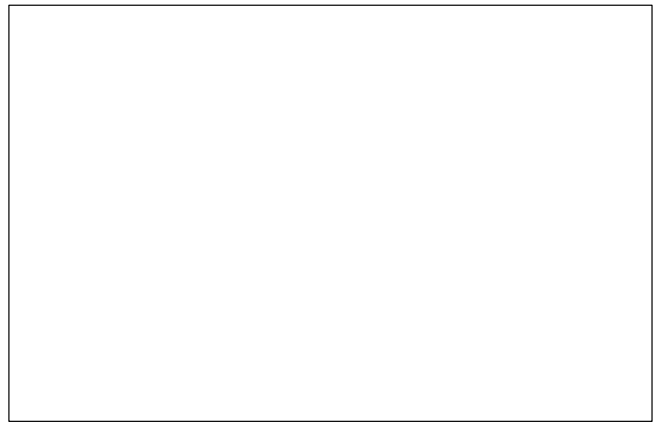
| Tabela de medidas - Medidas em mm e polegada |      |    |                |      |    |      |      |       |                |      |      |     |     |                 |                            |                             |                         |        |                 |
|--|------|----|----------------|------|----|------|------|-------|----------------|------|------|-----|-----|-----------------|----------------------------|-----------------------------|-------------------------|--------|-----------------|
| Medidas                                      |      |    |                |      |    |      |      |       |                |      |      |     |     | Peso<br>≈<br>kg | Capacidade básica de carga |                             | Denominação             |        |                 |
| d  | A    | B  | B <sub>1</sub> | C    | H  | K    | L    | M     | M <sub>1</sub> | O    | R    | W   | SW  |                 | din.<br>C<br>N             | est.<br>C <sub>0</sub><br>N | Conjunto                | Mancal | Rolamento       |
| <b>19,050</b><br><i>(3/4")</i>               | 33,3 | 32 | 19             | 14,5 | 64 | 11,0 | 31,0 | 89,5  | 105,0          | 23,5 | 33,0 | 130 | 3,0 | 0,55            | 12 800                     | 6 600                       | <b>PASE 3/4"</b>        | ASE 04 | GRA012 NPPB     |
|  | 33,3 | 32 | 19             | 14,5 | 64 | 11,0 | 43,7 | 89,5  | 105,0          | 26,5 | 33,0 | 130 | 3,0 | 0,59            | 12 800                     | 6 600                       | <b>RASE 3/4"</b>        | ASE 04 | G 1012 KRRB     |
|  | 33,3 | 32 | 19             | 14,5 | 64 | 11,0 | 31,0 | 89,5  | 105,0          | 18,3 | -    | 130 | 2,5 | 0,56            | 12 800                     | 6 600                       | <b>RASEY 3/4"</b>       | ASE 04 | GY 1012 KRRB    |
| <b>20</b>                                    | 33,3 | 32 | 19             | 14,5 | 64 | 11,0 | 31,0 | 89,5  | 105,0          | 23,5 | 33,0 | 130 | 3,0 | 0,55            | 12 800                     | 6 600                       | <b>PASE 20</b>          | ASE 04 | GRAE 20 NPPB    |
|  | 33,3 | 32 | 19             | 14,5 | 64 | 11,0 | 43,7 | 89,5  | 105,0          | 26,6 | 33,0 | 130 | 3,0 | 0,59            | 12 800                     | 6 600                       | <b>RASE 20</b>          | ASE 04 | GE 20 KRRB      |
|  | 33,3 | 32 | 19             | 14,5 | 64 | 11,0 | 31,0 | 89,5  | 105,0          | 18,3 | -    | 130 | 2,5 | 0,56            | 12 800                     | 6 600                       | <b>RASEY 20</b>         | ASE 04 | GYE 20 KRRB     |
| <b>22,225</b><br><i>(7/8")</i>               | 36,5 | 36 | 21             | 14,5 | 70 | 11,0 | 31,0 | 94,5  | 110,5          | 23,5 | 37,5 | 130 | 3,0 | 0,64            | 14 000                     | 7 800                       | <b>PASE 7/8"</b>        | ASE 05 | GRA014 NPPB     |
|  | 36,5 | 36 | 21             | 14,5 | 70 | 11,0 | 44,4 | 94,5  | 110,5          | 26,9 | 37,5 | 130 | 3,0 | 0,70            | 14 000                     | 7 800                       | <b>RASE 7/8"</b>        | ASE 05 | G 1014 KRRB     |
|  | 36,5 | 36 | 21             | 14,5 | 70 | 11,0 | 34,1 | 94,5  | 110,5          | 19,6 | -    | 130 | 2,5 | 0,65            | 14 000                     | 7 800                       | <b>RASEY 7/8"</b>       | ASE 05 | GY 1014 KRRB    |
| <b>23,813</b><br><i>(15/16")</i>             | 36,5 | 36 | 21             | 14,5 | 70 | 11,0 | 44,4 | 94,5  | 110,5          | 26,9 | 37,5 | 130 | 3,0 | 0,70            | 14 000                     | 7 800                       | <b>RASE 15/16"</b>      | ASE 05 | G 1015 KRRB     |
| <b>25</b>                                    | 36,5 | 36 | 21             | 14,5 | 70 | 11,0 | 31,0 | 94,5  | 110,5          | 23,5 | 37,5 | 130 | 3,0 | 0,64            | 14 000                     | 7 800                       | <b>PASE 25</b>          | ASE 05 | GRAE 25 NPPB    |
|  | 36,5 | 36 | 21             | 14,5 | 70 | 11,0 | 44,4 | 94,5  | 110,5          | 26,9 | 37,5 | 130 | 3,0 | 0,70            | 14 000                     | 7 800                       | <b>RASE 25</b>          | ASE 05 | GE 25 KRRB      |
|  | 36,5 | 36 | 21             | 14,5 | 70 | 11,0 | 44,4 | 94,5  | 110,5          | 26,9 | 37,5 | 130 | 3,0 | 0,70            | 14 000                     | 7 800                       | <b>TASE 25</b>          | ASE 05 | GE 25 KPPB3     |
|  | 36,5 | 36 | 21             | 14,5 | 70 | 11,0 | 34,1 | 94,5  | 110,5          | 19,6 | -    | 130 | 2,5 | 0,65            | 14 000                     | 7 800                       | <b>RASEY 25</b>         | ASE 05 | GYE 25 KRRB     |
| <b>25,400</b><br><i>(1")</i>                 | 36,5 | 36 | 21             | 14,5 | 70 | 11,0 | 31,0 | 94,5  | 110,5          | 23,5 | 37,5 | 130 | 3,0 | 0,64            | 14 000                     | 7 800                       | <b>PASE 1"</b>          | ASE 05 | GRA100 NPPB     |
|  | 36,5 | 36 | 21             | 14,5 | 70 | 11,0 | 44,4 | 94,5  | 110,5          | 26,9 | 37,5 | 130 | 3,0 | 0,70            | 14 000                     | 7 800                       | <b>RASE 1"</b>          | ASE 05 | G 1100 KRRB     |
|  | 36,5 | 36 | 21             | 14,5 | 70 | 11,0 | 34,1 | 94,5  | 110,5          | 19,6 | -    | 130 | 2,5 | 0,65            | 14 000                     | 7 800                       | <b>RASEY 1"</b>         | ASE 05 | GY 1100 KRRB    |
| <b>28,575</b><br><i>(1.1/8")</i>             | 42,9 | 40 | 25             | 17,0 | 82 | 14,0 | 35,7 | 109,5 | 125,5          | 26,7 | 44,0 | 158 | 4,0 | 1,04            | 19 500                     | 11 300                      | <b>PASE 1.1/8"</b>      | ASE 06 | GRA102 NPPB     |
|  | 42,9 | 40 | 25             | 17,0 | 82 | 14,0 | 48,4 | 109,5 | 125,5          | 30,1 | 44,0 | 158 | 4,0 | 1,11            | 19 500                     | 11 300                      | <b>RASE 1.1/8"</b>      | ASE 06 | G 1102 KRRB     |
|  | 42,9 | 40 | 25             | 17,0 | 82 | 14,0 | 38,1 | 109,5 | 125,5          | 22,2 | -    | 158 | 3,0 | 1,06            | 19 500                     | 11 300                      | <b>RASEY 1.1/8"</b>     | ASE 06 | GY 1102 KRRB    |
| <b>30</b>                                    | 42,9 | 40 | 25             | 17,0 | 82 | 14,0 | 35,7 | 109,5 | 125,5          | 26,7 | 44,0 | 158 | 4,0 | 1,04            | 19 500                     | 11 300                      | <b>PASE 30</b>          | ASE 06 | GRAE 30 NPPB    |
|  | 42,9 | 40 | 25             | 17,0 | 82 | 14,0 | 48,4 | 109,5 | 125,5          | 30,1 | 44,0 | 158 | 4,0 | 1,11            | 19 500                     | 11 300                      | <b>RASE 30</b>          | ASE 06 | GE 30 KRRB      |
|  | 42,9 | 40 | 25             | 17,0 | 82 | 14,0 | 48,4 | 109,5 | 125,5          | 30,1 | 44,0 | 158 | 4,0 | 1,12            | 19 500                     | 11 300                      | <b>TASE 30</b>          | ASE 06 | GE 30 KPPB3     |
|  | 42,9 | 40 | 25             | 17,0 | 82 | 14,0 | 38,1 | 109,5 | 125,5          | 22,2 | -    | 158 | 3,0 | 1,06            | 19 500                     | 11 300                      | <b>RASEY 30</b>         | ASE 06 | GYE 30 KRRB     |
| <b>30,162</b><br><i>(1.3/16")</i>            | 42,9 | 40 | 25             | 17,0 | 82 | 14,0 | 48,4 | 109,5 | 125,5          | 30,1 | 44,0 | 158 | 4,0 | 1,11            | 19 500                     | 11 300                      | <b>RASE 1.3/16"</b>     | ASE 06 | G 1103 KRRB     |
|  | 42,9 | 40 | 25             | 17,0 | 82 | 14,0 | 38,1 | 109,5 | 125,5          | 22,2 | -    | 158 | 3,0 | 1,06            | 19 500                     | 11 300                      | <b>RASEY 1.3/16"</b>    | ASE 06 | GY 1103 KRRB    |
| <b>31,750</b><br><i>(1.1/4")</i>             | 42,9 | 40 | 25             | 17,0 | 82 | 14,0 | 35,7 | 109,5 | 125,5          | 26,7 | 44,0 | 158 | 4,0 | 1,04            | 19 500                     | 11 300                      | <b>PASE 1.1/4" AHO2</b> | ASE 06 | GRA103 NPPBAHO2 |
| <b>31,750</b><br><i>(1.1/4")</i>             | 47,6 | 45 | 27             | 19,0 | 93 | 14,0 | 38,9 | 119,5 | 140,5          | 29,4 | 51,0 | 163 | 5,0 | 1,53            | 25 500                     | 15 300                      | <b>PASE 1.1/4"</b>      | ASE 07 | GRA104 NPPB     |
|  | 47,6 | 45 | 27             | 19,0 | 93 | 14,0 | 51,1 | 119,5 | 140,5          | 32,3 | 51,0 | 163 | 5,0 | 1,60            | 25 500                     | 15 300                      | <b>RASE 1.1/4"</b>      | ASE 07 | G 1104 KRRB     |
|  | 47,6 | 45 | 27             | 19,0 | 93 | 14,0 | 42,9 | 119,5 | 140,5          | 25,4 | -    | 163 | 3,0 | 1,54            | 25 500                     | 15 300                      | <b>RASEY 1.1/4"</b>     | ASE 07 | GY 1104 KRRB    |
| <b>33,338</b><br><i>(1.5/16")</i>            | 47,6 | 45 | 27             | 19,0 | 93 | 14,0 | 51,1 | 119,5 | 140,5          | 32,3 | 51,0 | 163 | 5,0 | 1,60            | 25 500                     | 15 300                      | <b>RASE 1.5/16"</b>     | ASE 07 | G 1105 KRRB     |
| <b>34,925</b><br><i>(1.3/8")</i>             | 47,6 | 45 | 27             | 19,0 | 93 | 14,0 | 38,9 | 119,5 | 140,5          | 29,4 | 51,0 | 163 | 5,0 | 1,53            | 25 500                     | 15 300                      | <b>PASE 1.3/8"</b>      | ASE 07 | GRA106 NPPB     |
|  | 47,6 | 45 | 27             | 19,0 | 93 | 14,0 | 51,1 | 119,5 | 140,5          | 32,3 | 51,0 | 163 | 5,0 | 1,60            | 25 500                     | 15 300                      | <b>RASE 1.3/8"</b>      | ASE 07 | G 1106 KRRB     |
|  | 47,6 | 45 | 27             | 19,0 | 93 | 14,0 | 42,9 | 119,5 | 140,5          | 25,4 | -    | 163 | 3,0 | 1,54            | 25 500                     | 15 300                      | <b>RASEY 1.3/8"</b>     | ASE 07 | GY 1106 KRRB    |



TASE



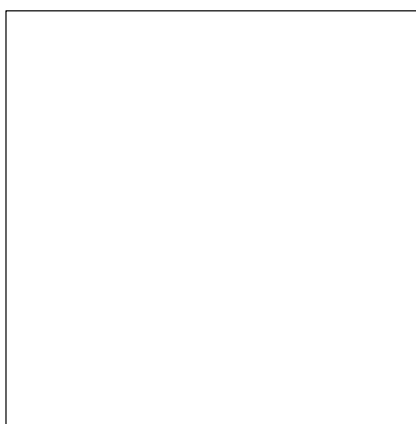
RASEY

PASE  
RASE  
TASE  
RASEY**Tabela de medidas** · Medidas em mm e polegada

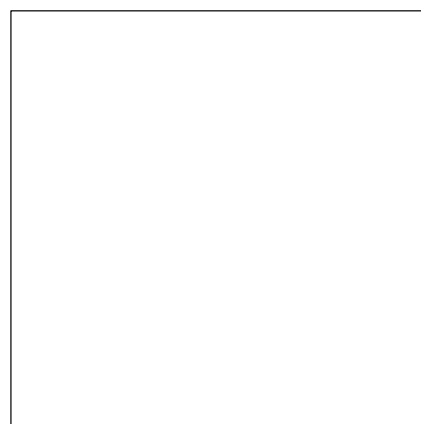
| Medidas                      |      |    |                |      |       |      |      |       |                |      |      |     |     | Peso<br>≈<br>kg | Capacidade<br>básica de carga |                             | Denominação           |        |               |
|------------------------------|------|----|----------------|------|-------|------|------|-------|----------------|------|------|-----|-----|-----------------|-------------------------------|-----------------------------|-----------------------|--------|---------------|
| d                            | A    | B  | B <sub>1</sub> | C    | H     | K    | L    | M     | M <sub>1</sub> | O    | R    | W   | SW  |                 | din.<br>C<br>N                | est.<br>C <sub>0</sub><br>N | Conjunto              | Mancal | Rolamento     |
| <b>35</b>                    | 47,6 | 45 | 27             | 19,0 | 93    | 14,0 | 38,9 | 119,5 | 140,5          | 29,4 | 51,0 | 163 | 5,0 | 1,53            | 25 500                        | 15 300                      | <b>PASE 35</b>        | ASE 07 | GRAE 35 NPPB  |
|                              | 47,6 | 45 | 27             | 19,0 | 93    | 14,0 | 51,1 | 119,5 | 140,5          | 32,3 | 51,0 | 163 | 5,0 | 1,60            | 25 500                        | 15 300                      | <b>RASE 35</b>        | ASE 07 | GE 35 KRRB    |
|                              | 47,6 | 45 | 27             | 19,0 | 93    | 14,0 | 51,1 | 119,5 | 140,5          | 32,3 | 51,0 | 163 | 5,0 | 1,60            | 25 500                        | 15 300                      | <b>TASE 35</b>        | ASE 07 | GE 35 KPPB3   |
|                              | 47,6 | 45 | 27             | 19,0 | 93    | 14,0 | 42,9 | 119,5 | 140,5          | 25,4 | –    | 163 | 3,0 | 1,54            | 25 500                        | 15 300                      | <b>RASEY 35</b>       | ASE 07 | GYE 35 KRRB   |
| <b>36,512<br/>(1.7/16")</b>  | 47,6 | 45 | 27             | 19,0 | 93    | 14,0 | 38,9 | 119,5 | 140,5          | 29,4 | 51,0 | 163 | 5,0 | 1,53            | 25 500                        | 15 300                      | <b>PASE 1.7/16"</b>   | ASE 07 | GRA107 NPPB   |
|                              | 47,6 | 45 | 27             | 19,0 | 93    | 14,0 | 51,1 | 119,5 | 140,5          | 32,3 | 51,0 | 163 | 5,0 | 1,60            | 25 500                        | 15 300                      | <b>RASE 1.7/16"</b>   | ASE 07 | G 1107 KRRB   |
|                              | 47,6 | 45 | 27             | 19,0 | 93    | 14,0 | 42,9 | 119,5 | 140,5          | 25,4 | –    | 163 | 3,0 | 1,54            | 25 500                        | 15 300                      | <b>RASEY 1.7/16"</b>  | ASE 07 | GY 1107 KRRB  |
| <b>38,100<br/>(1.1/2")</b>   | 49,2 | 48 | 30             | 19,0 | 99    | 14,0 | 56,3 | 126,5 | 150,0          | 34,9 | 58,0 | 179 | 5,0 | 1,83            | 32 500                        | 19 800                      | <b>RASE 1.1/2"</b>    | ASE 08 | G 1108 KRRB   |
|                              | 49,2 | 48 | 30             | 19,0 | 99    | 14,0 | 49,2 | 126,5 | 150,0          | 30,2 | –    | 179 | 4,0 | 1,74            | 32 500                        | 19 800                      | <b>RASEY 1.1/2"</b>   | ASE 08 | GY 1108 KRRB  |
|                              | 49,2 | 48 | 30             | 19,0 | 99    | 14,0 | 49,2 | 126,5 | 150,0          | 30,2 | –    | 179 | 4,0 | 1,74            | 32 500                        | 19 800                      | <b>TASEY 1.1/2"</b>   | ASE 08 | GY 1108 KPPB3 |
| <b>39,688<br/>(1.9/16")</b>  | 49,2 | 48 | 30             | 19,0 | 99    | 14,0 | 56,3 | 126,5 | 150,0          | 34,9 | 58,0 | 179 | 5,0 | 1,83            | 32 500                        | 19 800                      | <b>RASE 1.9/16"</b>   | ASE 08 | G 1109 KRRB   |
| <b>40</b>                    | 49,2 | 48 | 30             | 19,0 | 99,0  | 14,0 | 43,7 | 126,5 | 150,0          | 32,7 | 58,0 | 179 | 5,0 | 1,71            | 32 500                        | 19 800                      | <b>PASE 40</b>        | ASE 08 | GRAE 40 NPPB  |
|                              | 49,2 | 48 | 30             | 19,0 | 99,0  | 14,0 | 56,3 | 126,5 | 150,0          | 34,9 | 58,0 | 179 | 5,0 | 1,83            | 32 500                        | 19 800                      | <b>RASE 40</b>        | ASE 08 | GE 40 KRRB    |
|                              | 49,2 | 48 | 30             | 19,0 | 99,0  | 14,0 | 49,2 | 126,5 | 150,0          | 30,2 | –    | 179 | 4,0 | 1,74            | 32 500                        | 19 800                      | <b>RASEY 40</b>       | ASE 08 | GYE 40 KRRB   |
| <b>41,275<br/>(1.5/8")</b>   | 54,0 | 48 | 32             | 21,5 | 107,0 | 14,0 | 43,7 | 135,0 | 164,3          | 32,7 | 63,0 | 192 | 5,0 | 2,09            | 32 500                        | 20 400                      | <b>PASE 1.5/8"</b>    | ASE 09 | GRA110 NPPB   |
|                              | 54,0 | 48 | 32             | 21,5 | 107,0 | 14,0 | 56,3 | 135,0 | 164,3          | 34,9 | 63,0 | 192 | 5,0 | 2,21            | 32 500                        | 20 400                      | <b>RASE 1.5/8"</b>    | ASE 09 | G 1110 KRRB   |
|                              | 54,0 | 48 | 32             | 21,5 | 107,0 | 14,0 | 49,2 | 135,0 | 164,3          | 30,2 | –    | 192 | 4,0 | 2,10            | 32 500                        | 20 400                      | <b>RASEY 1.5/8"</b>   | ASE 09 | GY 1110 KRRB  |
| <b>42,863<br/>(1.11/16")</b> | 54,0 | 48 | 32             | 21,5 | 107,0 | 14,0 | 56,3 | 135,0 | 164,3          | 34,9 | 63,0 | 192 | 5,0 | 2,21            | 32 500                        | 20 400                      | <b>RASE 1.11/16"</b>  | ASE 09 | G 1111 KRRB   |
| <b>44,450<br/>(1.3/4")</b>   | 54,0 | 48 | 32             | 21,5 | 107,0 | 14,0 | 43,7 | 135,0 | 164,3          | 32,7 | 63,0 | 192 | 5,0 | 2,09            | 32 500                        | 20 400                      | <b>PASE 1.3/4"</b>    | ASE 09 | GRA112 NPPB   |
|                              | 54,0 | 48 | 32             | 21,5 | 107,0 | 14,0 | 56,3 | 135,0 | 164,3          | 34,9 | 63,0 | 192 | 5,0 | 2,21            | 32 500                        | 20 400                      | <b>RASE 1.3/4"</b>    | ASE 09 | G 1112 KRRB   |
|                              | 54,0 | 48 | 32             | 21,5 | 107,0 | 14,0 | 49,2 | 135,0 | 164,3          | 30,2 | –    | 192 | 4,0 | 2,10            | 32 500                        | 20 400                      | <b>RASEY 1.3/4"</b>   | ASE 09 | GY 1112 KRRB  |
| <b>45</b>                    | 54,0 | 48 | 32             | 21,5 | 107,0 | 14,0 | 43,7 | 135,0 | 164,3          | 32,7 | 63,0 | 192 | 5,0 | 2,09            | 32 500                        | 20 400                      | <b>PASE 45</b>        | ASE 09 | GRAE 45 NPPB  |
|                              | 54,0 | 48 | 32             | 21,5 | 107,0 | 14,0 | 56,3 | 135,0 | 164,3          | 34,9 | 63,0 | 192 | 5,0 | 2,21            | 32 500                        | 20 400                      | <b>RASE 45</b>        | ASE 09 | GE 45 KRRB    |
|                              | 54,0 | 48 | 32             | 21,5 | 107,0 | 14,0 | 56,3 | 135,0 | 164,3          | 34,9 | 63,0 | 192 | 5,0 | 2,21            | 32 500                        | 20 400                      | <b>TASE 45</b>        | ASE 09 | GE 45 KPPB3   |
|                              | 54,0 | 48 | 32             | 21,5 | 107,0 | 14,0 | 49,2 | 135,0 | 164,3          | 30,2 | –    | 192 | 4,0 | 2,10            | 32 500                        | 20 400                      | <b>RASEY 45</b>       | ASE 09 | GYE 45 KRRB   |
|                              | 54,0 | 48 | 32             | 21,5 | 107,0 | 14,0 | 49,2 | 135,0 | 164,3          | 30,2 | –    | 192 | 4,0 | 2,10            | 32 500                        | 20 400                      | <b>TASEY 45</b>       | ASE 09 | GYE 45 KPPB3  |
| <b>49,212<br/>(1.15/16")</b> | 57,2 | 54 | 34             | 21,5 | 115,0 | 18,0 | 62,7 | 153,0 | 163,0          | 38,1 | 69,0 | 200 | 5,0 | 2,70            | 35 000                        | 23 200                      | <b>RASE 1.15/16"</b>  | ASE 10 | G 1115 KRRB   |
|                              | 57,2 | 54 | 34             | 21,5 | 115,0 | 18,0 | 51,6 | 153,0 | 163,0          | 32,6 | –    | 200 | 4,0 | 2,50            | 35 000                        | 23 200                      | <b>RASEY 1.15/16"</b> | ASE 10 | GY 1115 KRRB  |
| <b>50</b>                    | 57,2 | 54 | 34             | 21,5 | 115,0 | 18,0 | 43,7 | 153,0 | 163,0          | 32,7 | 69,0 | 200 | 5,0 | 2,47            | 35 000                        | 23 200                      | <b>PASE 50</b>        | ASE 10 | GRAE 50 NPPB  |
|                              | 57,2 | 54 | 34             | 21,5 | 115,0 | 18,0 | 62,7 | 153,0 | 163,0          | 38,1 | 69,0 | 200 | 5,0 | 2,70            | 35 000                        | 23 200                      | <b>RASE 50</b>        | ASE 10 | GE 50 KRRB    |
|                              | 57,2 | 54 | 34             | 21,5 | 115,0 | 18,0 | 51,6 | 153,0 | 163,0          | 32,6 | –    | 200 | 4,0 | 2,50            | 35 000                        | 23 200                      | <b>RASEY 50</b>       | ASE 10 | GYE 50 KRRB   |
| <b>55</b>                    | 63,5 | 60 | 35             | 22,5 | 124,5 | 18,0 | 55,6 | 164,5 | 187,5          | 33,4 | –    | 222 | 4,0 | 3,08            | 43 500                        | 29 000                      | <b>RASEY 55</b>       | ASE 11 | GYE 55 KRRB   |
| <b>60</b>                    | 69,9 | 60 | 42             | 25,0 | 140,0 | 18,0 | 65,1 | 180,0 | 200,0          | 39,7 | –    | 240 | 5,0 | 4,27            | 52 000                        | 36 000                      | <b>RASEY 60</b>       | ASE 12 | GYE 60 KRRB   |

# Mancais de ferro fundido

tipo flange



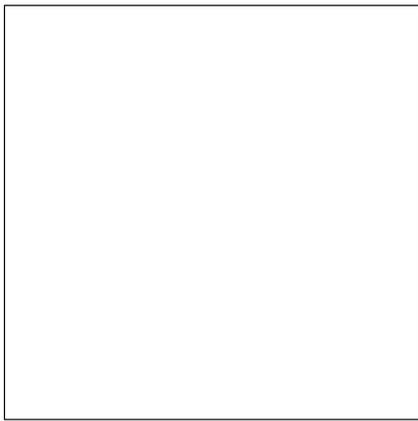
PCJ



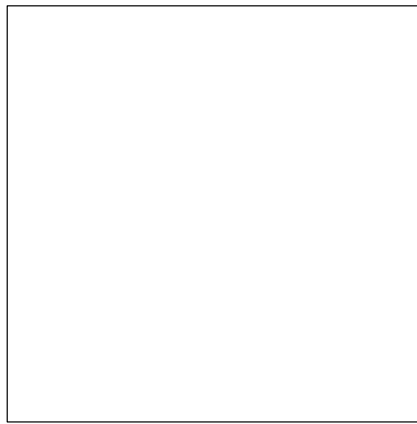
RCJ

**Tabela de medidas** - Medidas em mm e polegada

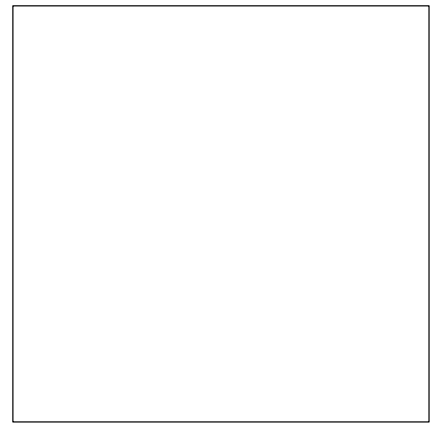
| Medidas                           |     |      |      |      |      |      |      |      |      |     |     | Peso<br>≈<br>kg | Capacidade básica de carga |                | Denominação                 |          |                  |
|-----------------------------------|-----|------|------|------|------|------|------|------|------|-----|-----|-----------------|----------------------------|----------------|-----------------------------|----------|------------------|
|                                   | d   | A    | C    | K    | L    | M    | P    | R    | T    | U   | V   |                 | SW                         | din.<br>C<br>N | est.<br>C <sub>0</sub><br>N | Conjunto | Mancal           |
| <b>19,050</b><br><i>(3/4")</i>    | 86  | 10,0 | 11,5 | 31,0 | 63,5 | 19,0 | 33,0 | 29,0 | 42,5 | 68  | 3,0 | 0,61            | 12 800                     | 6 600          | <b>PCJ 3/4"</b>             | CJ 04    | GRA 012 NPPB     |
|                                   | 86  | 10,0 | 11,5 | 43,7 | 63,5 | 19,0 | 33,0 | 29,0 | 45,6 | 68  | 3,0 | 0,65            | 12 800                     | 6 600          | <b>RCJ 3/4"</b>             | CJ 04    | G 1012 KRRB      |
|                                   | 86  | 10,0 | 11,5 | 31,0 | 63,5 | 19,0 | –    | 29,0 | 37,3 | 68  | 2,5 | 0,62            | 12 800                     | 6 600          | <b>RCJY 3/4"</b>            | CJ 04    | GY 1012 KRRB     |
| <b>20</b>                         | 86  | 10,0 | 11,5 | 31,0 | 63,5 | 19,0 | 33,0 | 29,0 | 42,5 | 68  | 3,0 | 0,61            | 12 800                     | 6 600          | <b>PCJ 20</b>               | CJ 04    | GRAE 20 NPPB     |
|                                   | 86  | 10,0 | 11,5 | 43,7 | 63,5 | 19,0 | 33,0 | 29,0 | 45,6 | 68  | 3,0 | 0,65            | 12 800                     | 6 600          | <b>RCJ 20</b>               | CJ 04    | GE 20 KRRB       |
|                                   | 86  | 10,0 | 11,5 | 31,0 | 63,5 | 19,0 | –    | 29,0 | 37,3 | 68  | 2,5 | 0,62            | 12 800                     | 6 600          | <b>RCJY 20</b>              | CJ 04    | GYE 20 KRRB      |
| <b>22,225</b><br><i>(7/8")</i>    | 95  | 11,0 | 11,5 | 31,0 | 70,0 | 19,0 | 37,5 | 29,0 | 42,5 | 74  | 3,0 | 0,76            | 14 000                     | 7 800          | <b>PCJ 7/8"</b>             | CJ 05    | GRA 014 NPPB     |
|                                   | 95  | 11,0 | 11,5 | 44,4 | 70,0 | 19,0 | 37,5 | 29,0 | 45,9 | 74  | 3,0 | 0,82            | 14 000                     | 7 800          | <b>RCJ 7/8"</b>             | CJ 05    | G 1014 KRRB      |
|                                   | 95  | 11,0 | 11,5 | 34,1 | 70,0 | 19,0 | –    | 29,0 | 38,8 | 74  | 2,5 | 0,77            | 14 000                     | 7 800          | <b>RCJY 7/8"</b>            | CJ 05    | GY 1014 KRRB     |
| <b>23,813</b><br><i>(15/16")</i>  | 95  | 11,0 | 11,5 | 44,4 | 70,0 | 19,0 | 37,5 | 29,0 | 45,9 | 74  | 3,0 | 0,82            | 14 000                     | 7 800          | <b>RCJ 15/16"</b>           | CJ 05    | G 1015 KRRB      |
| <b>25</b>                         | 95  | 11,0 | 11,5 | 31,0 | 70,0 | 19,0 | 37,5 | 29,0 | 42,5 | 74  | 3,0 | 0,76            | 14 000                     | 7 800          | <b>PCJ 25</b>               | CJ 05    | GRAE 25 NPPB     |
|                                   | 95  | 11,0 | 11,5 | 44,4 | 70,0 | 19,0 | 37,5 | 29,0 | 45,9 | 74  | 3,0 | 0,82            | 14 000                     | 7 800          | <b>RCJ 25</b>               | CJ 05    | GE 25 KRRB       |
|                                   | 95  | 11,0 | 11,5 | 44,4 | 70,0 | 19,0 | 37,5 | 29,0 | 45,9 | 74  | 3,0 | 0,82            | 14 000                     | 7 800          | <b>TCJ 25</b>               | CJ 05    | GE 25 KPPB3      |
|                                   | 95  | 11,0 | 11,5 | 34,1 | 70,0 | 19,0 | –    | 29,0 | 38,8 | 74  | 2,5 | 0,77            | 14 000                     | 7 800          | <b>RCJY 25</b>              | CJ 05    | GYE 25 KRRB      |
| <b>25,400</b><br><i>(1")</i>      | 95  | 11,0 | 11,5 | 31,0 | 70,0 | 19,0 | 37,5 | 29,0 | 42,5 | 74  | 3,0 | 0,76            | 14 000                     | 7 800          | <b>PCJ 1"</b>               | CJ 05    | GRA 100 NPPB     |
|                                   | 95  | 11,0 | 11,5 | 44,4 | 70,0 | 19,0 | 37,5 | 29,0 | 45,9 | 74  | 3,0 | 0,82            | 14 000                     | 7 800          | <b>RCJ 1"</b>               | CJ 05    | G 1100 KRRB      |
|                                   | 95  | 11,0 | 11,5 | 34,1 | 70,0 | 19,0 | –    | 29,0 | 38,8 | 74  | 2,5 | 0,77            | 14 000                     | 7 800          | <b>RCJY 1"</b>              | CJ 05    | GY 1100 KRRB     |
| <b>28,575</b><br><i>(1.1/8")</i>  | 108 | 12,0 | 11,5 | 35,7 | 82,5 | 20,0 | 44,0 | 29,0 | 46,7 | 85  | 4,0 | 1,09            | 19 500                     | 11 300         | <b>PCJ 1.1/8"</b>           | CJ 06    | GRA 102 NPPB     |
|                                   | 108 | 12,0 | 11,5 | 48,4 | 82,5 | 20,0 | 44,0 | 29,0 | 50,1 | 85  | 4,0 | 1,16            | 19 500                     | 11 300         | <b>RCJ 1.1/8"</b>           | CJ 06    | G 1102 KRRB      |
|                                   | 108 | 12,0 | 11,5 | 38,1 | 82,5 | 20,0 | –    | 29,0 | 42,2 | 85  | 3,0 | 1,11            | 19 500                     | 11 300         | <b>RCJY 1.1/8"</b>          | CJ 06    | GY 1102 KRRB     |
| <b>30</b>                         | 108 | 12,0 | 11,5 | 35,7 | 82,5 | 20,0 | 44,0 | 29,0 | 46,7 | 85  | 4,0 | 1,09            | 19 500                     | 11 300         | <b>PCJ 30</b>               | CJ 06    | GRAE 30 NPPB     |
|                                   | 108 | 12,0 | 11,5 | 48,4 | 82,5 | 20,0 | 44,0 | 29,0 | 50,1 | 85  | 4,0 | 1,16            | 19 500                     | 11 300         | <b>RCJ 30</b>               | CJ 06    | GE 30 KRRB       |
|                                   | 108 | 12,0 | 11,5 | 48,4 | 82,5 | 20,0 | 44,0 | 29,0 | 50,1 | 85  | 4,0 | 1,16            | 19 500                     | 11 300         | <b>TCJ 30</b>               | CJ 06    | GE 30 KPPB3      |
|                                   | 108 | 12,0 | 11,5 | 38,1 | 82,5 | 20,0 | –    | 29,0 | 42,2 | 85  | 3,0 | 1,11            | 19 500                     | 11 300         | <b>RCJY 30</b>              | CJ 06    | GYE 30 KRRB      |
| <b>30,162</b><br><i>(1.3/16")</i> | 108 | 12,0 | 11,5 | 48,4 | 82,5 | 20,0 | 44,0 | 29,0 | 50,1 | 85  | 4,0 | 1,16            | 19 500                     | 11 300         | <b>RCJ 1.3/16"</b>          | CJ 06    | G 1103 KRRB      |
|                                   | 108 | 12,0 | 11,5 | 38,1 | 82,5 | 20,0 | –    | 29,0 | 42,2 | 85  | 3,0 | 1,11            | 19 500                     | 11 300         | <b>RCJY 1.3/16"</b>         | CJ 06    | GY 1103 KRRB     |
| <b>31,750</b><br><i>(1.1/4")</i>  | 108 | 12,0 | 11,5 | 35,7 | 82,5 | 20,0 | 44,0 | 29,0 | 46,7 | 85  | 4,0 | 1,09            | 19 500                     | 11 300         | <b>PCJ 1.1/4" AH02</b>      | CJ 06    | GRA 103 NPPBAH02 |
| <b>31,750</b><br><i>(1.1/4")</i>  | 118 | 12,5 | 14,0 | 38,9 | 92,0 | 21,0 | 51,0 | 30,5 | 50,4 | 100 | 5,0 | 1,40            | 25 500                     | 15 300         | <b>PCJ 1.1/4"</b>           | CJ 07    | GRA 104 NPPB     |
|                                   | 118 | 12,5 | 14,0 | 51,1 | 92,0 | 21,0 | 51,0 | 30,5 | 53,3 | 100 | 5,0 | 1,47            | 25 500                     | 15 300         | <b>RCJ 1.1/4"</b>           | CJ 07    | G 1104 KRRB      |
|                                   | 118 | 12,5 | 14,0 | 42,9 | 92,0 | 21,0 | –    | 30,5 | 46,4 | 100 | 3,0 | 1,41            | 25 500                     | 15 300         | <b>RCJY 1.1/4"</b>          | CJ 07    | GY 1104 KRRB     |
| <b>33,338</b><br><i>(1.5/16")</i> | 118 | 12,5 | 14,0 | 51,1 | 92,0 | 21,0 | 51,0 | 30,5 | 53,3 | 100 | 5,0 | 1,47            | 25 500                     | 15 300         | <b>RCJ 1.5/16"</b>          | CJ 07    | G 1105 KRRB      |
| <b>34,925</b><br><i>(1.3/8")</i>  | 118 | 12,5 | 14,0 | 38,9 | 92,0 | 21,0 | 51,0 | 30,5 | 50,4 | 100 | 5,0 | 1,40            | 25 500                     | 15 300         | <b>PCJ 1.3/8"</b>           | CJ 07    | GRA 106 NPPB     |
|                                   | 118 | 12,5 | 14,0 | 51,1 | 92,0 | 21,0 | 51,0 | 30,5 | 53,3 | 100 | 5,0 | 1,47            | 25 500                     | 15 300         | <b>RCJ 1.3/8"</b>           | CJ 07    | G 1106 KRRB      |
|                                   | 118 | 12,5 | 14,0 | 42,9 | 92,0 | 21,0 | –    | 30,5 | 46,4 | 100 | 3,0 | 1,41            | 25 500                     | 15 300         | <b>RCJY 1.3/8"</b>          | CJ 07    | GY 1106 KRRB     |



TCJ



RCJY

PCJ  
RCJ  
TCJ  
RCJY**Tabela de medidas** · Medidas em mm e polegada

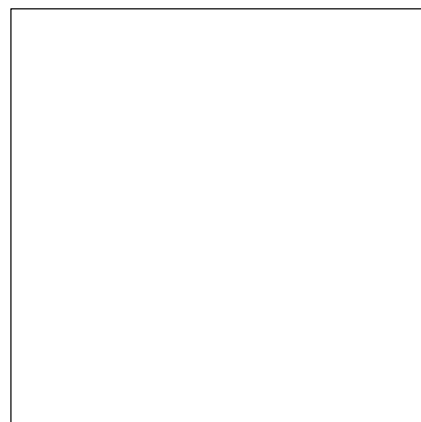
| Medidas                      |     |      |      |      |       |      |      |      |      |     |     | Peso<br>≈<br>kg | Capacidade<br>básica de carga |                             | Denominação          |        |               |
|------------------------------|-----|------|------|------|-------|------|------|------|------|-----|-----|-----------------|-------------------------------|-----------------------------|----------------------|--------|---------------|
| d                            | A   | C    | K    | L    | M     | P    | R    | T    | U    | V   | SW  |                 | din.<br>C<br>N                | est.<br>C <sub>0</sub><br>N | Conjunto             | Mancal | Rolamento     |
| <b>35</b>                    | 118 | 12,5 | 14,0 | 38,9 | 92,0  | 21,0 | 51,0 | 30,5 | 50,4 | 100 | 5,0 | 1,40            | 25 500                        | 15 300                      | <b>PCJ 35</b>        | CJ 07  | GRAE 35 NPPB  |
|                              | 118 | 12,5 | 14,0 | 51,1 | 92,0  | 21,0 | 51,0 | 30,5 | 53,3 | 100 | 5,0 | 1,47            | 25 500                        | 15 300                      | <b>RCJ 35</b>        | CJ 07  | GE 35 KRRB    |
|                              | 118 | 12,5 | 14,0 | 51,1 | 92,0  | 21,0 | 51,0 | 30,5 | 53,3 | 100 | 5,0 | 1,47            | 25 500                        | 15 300                      | <b>TCJ 35</b>        | CJ 07  | GE 35 KPPB3   |
|                              | 118 | 12,5 | 14,0 | 42,9 | 92,0  | 21,0 | –    | 30,5 | 46,4 | 100 | 3,0 | 1,41            | 25 500                        | 15 300                      | <b>RCJY 35</b>       | CJ 07  | GYE 35 KRRB   |
| <b>36,512<br/>(1.7/16")</b>  | 118 | 12,5 | 14,0 | 38,9 | 92,0  | 21,0 | 51,0 | 30,5 | 50,4 | 100 | 5,0 | 1,40            | 25 500                        | 15 300                      | <b>PCJ 1.7/16"</b>   | CJ 07  | GRA 107 NPPB  |
|                              | 118 | 12,5 | 14,0 | 51,1 | 92,0  | 21,0 | 51,0 | 30,5 | 53,3 | 100 | 5,0 | 1,47            | 25 500                        | 15 300                      | <b>RCJ 1.7/16"</b>   | CJ 07  | G 1107 KRRB   |
|                              | 118 | 12,5 | 14,0 | 42,9 | 92,0  | 21,0 | –    | 30,5 | 46,4 | 100 | 3,0 | 1,41            | 25 500                        | 15 300                      | <b>RCJY 1.7/16"</b>  | CJ 07  | GY 1107 KRRB  |
| <b>38,100<br/>(1.1/2")</b>   | 130 | 13,0 | 14,0 | 56,3 | 101,5 | 24,0 | 58,0 | 34,5 | 58,9 | 110 | 5,0 | 2,02            | 32 500                        | 19 800                      | <b>RCJ 1.1/2"</b>    | CJ 08  | G 1108 KRRB   |
|                              | 130 | 13,0 | 14,0 | 49,2 | 101,5 | 24,0 | –    | 34,5 | 54,2 | 110 | 4,0 | 1,93            | 32 500                        | 19 800                      | <b>RCJY 1.1/2"</b>   | CJ 08  | GY 1108 KRRB  |
|                              | 130 | 13,0 | 14,0 | 49,2 | 101,5 | 24,0 | –    | 34,5 | 54,2 | 110 | 4,0 | 1,93            | 32 500                        | 19 800                      | <b>TCJY 1.1/2"</b>   | CJ 08  | GY 1108 KPPB3 |
| <b>39,688<br/>(1.9/16")</b>  | 130 | 13,0 | 14,0 | 56,3 | 101,5 | 24,0 | 58,0 | 34,5 | 58,9 | 110 | 5,0 | 2,02            | 32 500                        | 19 800                      | <b>RCJ 1.9/16"</b>   | CJ 08  | G 1109 KRRB   |
| <b>40</b>                    | 130 | 13,0 | 14,0 | 43,7 | 101,5 | 24,0 | 58,0 | 34,5 | 56,7 | 110 | 5,0 | 1,90            | 32 500                        | 19 800                      | <b>PCJ 40</b>        | CJ 08  | GRAE 40 NPPB  |
|                              | 130 | 13,0 | 14,0 | 56,3 | 101,5 | 24,0 | 58,0 | 34,5 | 58,9 | 110 | 5,0 | 2,02            | 32 500                        | 19 800                      | <b>RCJ 40</b>        | CJ 08  | GE 40 KRRB    |
|                              | 130 | 13,0 | 14,0 | 49,2 | 101,5 | 24,0 | –    | 34,5 | 54,2 | 110 | 4,0 | 1,93            | 32 500                        | 19 800                      | <b>RCJY 40</b>       | CJ 08  | GYE 40 KRRB   |
| <b>41,275<br/>(1.5/8")</b>   | 137 | 13,0 | 14,0 | 43,7 | 105,0 | 24,0 | 63,0 | 35,0 | 56,7 | 116 | 5,0 | 2,14            | 32 500                        | 20 400                      | <b>PCJ 1.5/8"</b>    | CJ 09  | GRA 110 NPPB  |
|                              | 137 | 13,0 | 14,0 | 56,3 | 105,0 | 24,0 | 63,0 | 35,0 | 58,9 | 116 | 5,0 | 2,26            | 32 500                        | 20 400                      | <b>RCJ 1.5/8"</b>    | CJ 09  | G 1110 KRRB   |
|                              | 137 | 13,0 | 14,0 | 49,2 | 105,0 | 24,0 | –    | 35,0 | 54,2 | 116 | 4,0 | 2,15            | 32 500                        | 20 400                      | <b>RCJY 1.5/8"</b>   | CJ 09  | GY 1110 KRRB  |
| <b>42,863<br/>(1.11/16")</b> | 137 | 13,0 | 14,0 | 56,3 | 105,0 | 24,0 | 63,0 | 35,0 | 58,9 | 116 | 5,0 | 2,26            | 32 500                        | 20 400                      | <b>RCJ 1.11/16"</b>  | CJ 09  | G 1111 KRRB   |
| <b>44,450<br/>(1.3/4")</b>   | 137 | 13,0 | 14,0 | 43,7 | 105,0 | 24,0 | 63,0 | 35,0 | 56,7 | 116 | 5,0 | 2,14            | 32 500                        | 20 400                      | <b>PCJ 1.3/4"</b>    | CJ 09  | GRA 112 NPPB  |
|                              | 137 | 13,0 | 14,0 | 56,3 | 105,0 | 24,0 | 63,0 | 35,0 | 58,9 | 116 | 5,0 | 2,26            | 32 500                        | 20 400                      | <b>RCJ 1.3/4"</b>    | CJ 09  | G 1112 KRRB   |
|                              | 137 | 13,0 | 14,0 | 49,2 | 105,0 | 24,0 | –    | 35,0 | 54,2 | 116 | 4,0 | 2,15            | 32 500                        | 20 400                      | <b>RCJY 1.3/4"</b>   | CJ 09  | GY 1112 KRRB  |
| <b>45</b>                    | 137 | 13,0 | 14,0 | 43,7 | 105,0 | 24,0 | 63,0 | 35,0 | 56,7 | 116 | 5,0 | 2,14            | 32 500                        | 20 400                      | <b>PCJ 45</b>        | CJ 09  | GRAE 45 NPPB  |
|                              | 137 | 13,0 | 14,0 | 56,3 | 105,0 | 24,0 | 63,0 | 35,0 | 58,9 | 116 | 5,0 | 2,26            | 32 500                        | 20 400                      | <b>RCJ 45</b>        | CJ 09  | GE 45 KRRB    |
|                              | 137 | 13,0 | 14,0 | 56,3 | 105,0 | 24,0 | 63,0 | 35,0 | 58,9 | 116 | 5,0 | 2,26            | 32 500                        | 20 400                      | <b>TCJ 45</b>        | CJ 09  | GE 45 KPPB3   |
|                              | 137 | 13,0 | 14,0 | 49,2 | 105,0 | 24,0 | –    | 35,0 | 54,2 | 116 | 4,0 | 2,15            | 32 500                        | 20 400                      | <b>RCJY 45</b>       | CJ 09  | GYE 45 KRRB   |
|                              | 137 | 13,0 | 14,0 | 49,2 | 105,0 | 24,0 | –    | 35,0 | 54,2 | 116 | 4,0 | 2,15            | 32 500                        | 20 400                      | <b>TCJY 45</b>       | CJ 09  | GYE 45 KPPB3  |
|                              | 137 | 13,0 | 14,0 | 49,2 | 105,0 | 24,0 | –    | 35,0 | 54,2 | 116 | 4,0 | 2,15            | 32 500                        | 20 400                      | <b>TCJY 45</b>       | CJ 09  | GYE 45 KPPB3  |
| <b>49,212<br/>(1.15/16")</b> | 143 | 13,0 | 18,0 | 62,7 | 111,0 | 28,0 | 69,0 | 39,0 | 66,1 | 125 | 5,0 | 2,53            | 35 000                        | 23 200                      | <b>RCJ 1.15/16"</b>  | CJ 10  | G 1115 KRRB   |
|                              | 143 | 13,0 | 18,0 | 51,6 | 111,0 | 28,0 | –    | 39,0 | 60,6 | 125 | 4,0 | 2,33            | 35 000                        | 23 200                      | <b>RCJY 1.15/16"</b> | CJ 10  | GY 1115 KRRB  |
| <b>50</b>                    | 143 | 13,0 | 18,0 | 43,7 | 111,0 | 28,0 | 69,0 | 39,0 | 60,7 | 125 | 5,0 | 2,30            | 35 000                        | 23 200                      | <b>PCJ 50</b>        | CJ 10  | GRAE 50 NPPB  |
|                              | 143 | 13,0 | 18,0 | 62,7 | 111,0 | 28,0 | 69,0 | 39,0 | 66,1 | 125 | 5,0 | 2,53            | 35 000                        | 23 200                      | <b>RCJ 50</b>        | CJ 10  | GE 50 KRRB    |
|                              | 143 | 13,0 | 18,0 | 51,6 | 111,0 | 28,0 | –    | 39,0 | 60,6 | 125 | 4,0 | 2,33            | 35 000                        | 23 200                      | <b>RCJY 50</b>       | CJ 10  | GYE 50 KRRB   |
| <b>55</b>                    | 162 | 15,0 | 18,0 | 55,6 | 130,0 | 31,0 | –    | 43,5 | 64,4 | 140 | 4,0 | 3,20            | 43 500                        | 29 000                      | <b>RCJY 55</b>       | CJ 11  | GYE 55 KRRB   |
| <b>60</b>                    | 175 | 16,0 | 18,0 | 65,1 | 143,0 | 34,0 | –    | 46,0 | 73,7 | 150 | 5,0 | 4,22            | 52 000                        | 36 000                      | <b>RCJY 60</b>       | CJ 12  | GYE 60 KRRB   |

# Mancais de ferro fundido

tipo flange sem e com centragem



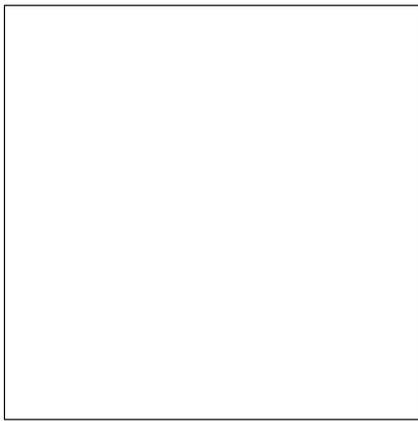
PCJT



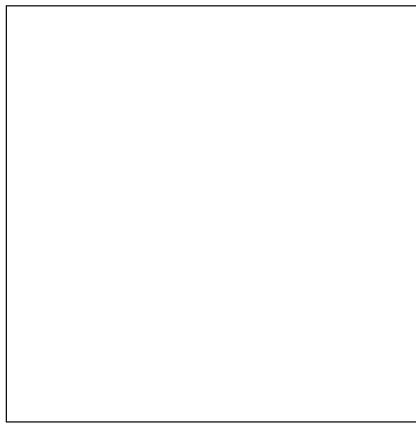
RCJT

**Tabela de medidas** - Medidas em mm e polegada

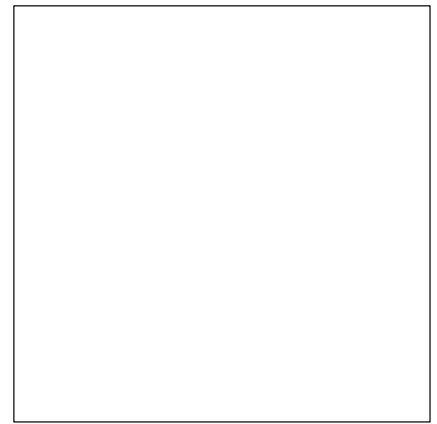
| Medidas                          |      |       |      |      |      |      |      |      |      |     |                |    |                 | Peso<br>≈<br>kg | Capacidade básica de carga |                | Denominação                 |          |              |
|----------------------------------|------|-------|------|------|------|------|------|------|------|-----|----------------|----|-----------------|-----------------|----------------------------|----------------|-----------------------------|----------|--------------|
|                                  | d    | A, V  | B    | C    | K    | L    | M    | P    | R    | T   | T <sub>1</sub> | U  | Z <sub>h8</sub> |                 | SW                         | din.<br>C<br>N | est.<br>C <sub>0</sub><br>N | Conjunto | Mancal       |
| <b>19,050</b><br><i>(3/4")</i>   | 61,0 | 112,0 | 10,0 | 11,5 | 31,0 | 90,0 | 19,0 | 33,0 | 28,0 | –   | 42,5           | –  | 3,0             | 0,48            | 12 800                     | 6 600          | <b>PCJT 3/4"</b>            | CJT 04   | GRA012 NPPB  |
|                                  | 61,0 | 112,0 | 10,0 | 11,5 | 43,7 | 90,0 | 19,0 | 33,0 | 28,0 | –   | 45,6           | –  | 3,0             | 0,52            | 12 800                     | 6 600          | <b>RCJT 3/4"</b>            | CJT 04   | G 1012 KRRB  |
|                                  | 61,0 | 112,0 | 10,0 | 11,5 | 31,0 | 90,0 | 19,0 | –    | 28,0 | –   | 37,3           | –  | 2,5             | 0,49            | 12 800                     | 6 600          | <b>RCJTY 3/4"</b>           | CJT 04   | GY 1012 KRRB |
|                                  | 60,5 | 112,5 | 10,0 | 11,5 | 43,7 | 90,0 | 19,0 | 33,0 | 31,7 | 3,5 | 45,2           | 55 | 3,0             | 0,53            | 12 800                     | 6 600          | <b>RCJTZ 3/4"</b>           | CJTZ 04  | G 1012 KRRB  |
| <b>20</b>                        | 61,0 | 112,0 | 10,0 | 11,5 | 31,0 | 90,0 | 19,0 | 33,0 | 28,0 | –   | 42,5           | –  | 3,0             | 0,48            | 12 800                     | 6 600          | <b>PCJT 20</b>              | CJT 04   | GRAE 20 NPPB |
|                                  | 61,0 | 112,0 | 10,0 | 11,5 | 43,7 | 90,0 | 19,0 | 33,0 | 28,0 | –   | 45,6           | –  | 3,0             | 0,52            | 12 800                     | 6 600          | <b>RCJT 20</b>              | CJT 04   | GE 20 KRRB   |
|                                  | 61,0 | 112,0 | 10,0 | 11,5 | 31,0 | 90,0 | 19,0 | –    | 28,0 | –   | 37,3           | –  | 2,5             | 0,49            | 12 800                     | 6 600          | <b>RCJTY 20</b>             | CJT 04   | GYE 20 KRRB  |
|                                  | 60,5 | 112,5 | 10,0 | 11,5 | 43,7 | 90,0 | 19,0 | 33,0 | 31,7 | 3,5 | 45,2           | 55 | 3,0             | 0,53            | 12 800                     | 6 600          | <b>RCJTZ 20</b>             | CJTZ 04  | GE 20 KRRB   |
| <b>22,225</b><br><i>(7/8")</i>   | 70,0 | 124,0 | 11,0 | 11,5 | 31,0 | 99,0 | 19,0 | 37,5 | 29,0 | –   | 42,5           | –  | 3,0             | 0,56            | 14 000                     | 7 800          | <b>PCJT 7/8"</b>            | CJT 05   | GRA014 NPPB  |
|                                  | 70,0 | 124,0 | 11,0 | 11,5 | 44,4 | 99,0 | 19,0 | 37,5 | 29,0 | –   | 45,9           | –  | 3,0             | 0,62            | 14 000                     | 7 800          | <b>RCJT 7/8"</b>            | CJT 05   | G 1014 KRRB  |
|                                  | 70,0 | 124,0 | 11,0 | 11,5 | 34,1 | 99,0 | 19,0 | –    | 29,0 | –   | 38,8           | –  | 2,5             | 0,57            | 14 000                     | 7 800          | <b>RCJTY 7/8"</b>           | CJT 05   | GY 1014 KRRB |
|                                  | 70,0 | 124,0 | 12,0 | 11,5 | 44,4 | 99,0 | 19,0 | 37,5 | 26,5 | 3,5 | 45,9           | 60 | 3,0             | 0,64            | 14 000                     | 7 800          | <b>RCJTZ 7/8"</b>           | CJTZ 05  | G 1014 KRRB  |
| <b>23,813</b><br><i>(15/16")</i> | 70,0 | 124,0 | 11,0 | 11,5 | 44,4 | 99,0 | 19,0 | 37,5 | 29,0 | –   | 45,9           | –  | 3,0             | 0,62            | 14 000                     | 7 800          | <b>RCJT1 5/16"</b>          | CJT 05   | G 1015 KRRB  |
|                                  | 70,0 | 124,0 | 12,0 | 11,5 | 44,4 | 99,0 | 19,0 | 37,5 | 26,5 | 3,5 | 45,9           | 60 | 3,0             | 0,64            | 14 000                     | 7 800          | <b>RCJTZ 15/16"</b>         | CJTZ 05  | G 1015 KRRB  |
| <b>25</b>                        | 70,0 | 124,0 | 11,0 | 11,5 | 31,0 | 99,0 | 19,0 | 37,5 | 29,0 | –   | 42,5           | –  | 3,0             | 0,56            | 14 000                     | 7 800          | <b>PCJT 25</b>              | CJT 05   | GRAE 25 NPPB |
|                                  | 70,0 | 124,0 | 11,0 | 11,5 | 44,4 | 99,0 | 19,0 | 37,5 | 29,0 | –   | 45,9           | –  | 3,0             | 0,62            | 14 000                     | 7 800          | <b>RCJT 25</b>              | CJT 05   | GE 25 KRRB   |
|                                  | 70,0 | 124,0 | 11,0 | 11,5 | 44,4 | 99,0 | 19,0 | 37,5 | 29,0 | –   | 45,9           | –  | 3,0             | 0,62            | 14 000                     | 7 800          | <b>TCJT 25</b>              | CJT 05   | GE 25 KPPB3  |
|                                  | 70,0 | 124,0 | 11,0 | 11,5 | 34,1 | 99,0 | 19,0 | –    | 29,0 | –   | 38,8           | –  | 2,5             | 0,57            | 14 000                     | 7 800          | <b>RCJTY 25</b>             | CJT 05   | GYE 25 KRRB  |
|                                  | 70,0 | 124,0 | 12,0 | 11,5 | 44,4 | 99,0 | 19,0 | 37,5 | 26,5 | 3,5 | 45,9           | 60 | 3,0             | 0,64            | 14 000                     | 7 800          | <b>RCJTZ 25</b>             | CJTZ 05  | GE 25 KRRB   |



TCJT



RCJTY



RCJTZ

**Tabela de medidas** · Medidas em mm e polegada

| Medidas                           |      |       |      |      |      |       |      |      |      |                |      |                 |     | Peso<br>≈<br>kg | Capacidade<br>básica de carga |                             | Denominação             |         |                 |
|-----------------------------------|------|-------|------|------|------|-------|------|------|------|----------------|------|-----------------|-----|-----------------|-------------------------------|-----------------------------|-------------------------|---------|-----------------|
| d                                 | A, V | B     | C    | K    | L    | M     | P    | R    | T    | T <sub>1</sub> | U    | Z <sub>h8</sub> | SW  |                 | din.<br>C<br>N                | est.<br>C <sub>0</sub><br>N | Conjunto                | Mancal  | Rolamento       |
| <b>25,400</b><br><i>(1")</i>      | 70,0 | 124,0 | 11,0 | 11,5 | 31,0 | 99,0  | 19,0 | 37,5 | 29,0 | –              | 42,5 | –               | 3,0 | 0,56            | 14 000                        | 7 800                       | <b>PCJT 1"</b>          | CJT 05  | GRA100 NPPB     |
|                                   | 70,0 | 124,0 | 11,0 | 11,5 | 44,4 | 99,0  | 19,0 | 37,5 | 29,0 | –              | 45,9 | –               | 3,0 | 0,62            | 14 000                        | 7 800                       | <b>RCJT 1"</b>          | CJT 05  | G 1100 KRRB     |
|                                   | 70,0 | 124,0 | 11,0 | 11,5 | 34,1 | 99,0  | 19,0 | –    | 29,0 | –              | 38,8 | –               | 2,5 | 0,57            | 14 000                        | 7 800                       | <b>RCJTY 1"</b>         | CJT 05  | GY 1100 KRRB    |
|                                   | 70,0 | 124,0 | 12,0 | 11,5 | 44,4 | 99,0  | 19,0 | 37,5 | 26,5 | 3,5            | 45,9 | 60              | 3,0 | 0,64            | 14 000                        | 7 800                       | <b>RCJTZ 1"</b>         | CJTZ 05 | G 1100 KRRB     |
| <b>28,575</b><br><i>(1.1/8")</i>  | 80,0 | 142,0 | 12,0 | 11,5 | 35,7 | 116,5 | 20,0 | 44,0 | 29,0 | –              | 46,7 | –               | 4,0 | 0,81            | 19 500                        | 11 300                      | <b>PCJT 1.1/8"</b>      | CJT 06  | GRA102 NPPB     |
|                                   | 80,0 | 142,0 | 12,0 | 11,5 | 48,4 | 116,5 | 20,0 | 44,0 | 29,0 | –              | 50,1 | –               | 4,0 | 0,88            | 19 500                        | 11 300                      | <b>RCJT 1.1/8"</b>      | CJT 06  | G 1102 KRRB     |
|                                   | 80,0 | 142,0 | 12,0 | 11,5 | 38,1 | 116,5 | 20,0 | –    | 29,0 | –              | 42,2 | –               | 3,0 | 0,83            | 19 500                        | 11 300                      | <b>RCJTY 1.1/8"</b>     | CJT 06  | GY 1102 KRRB    |
|                                   | 83,0 | 142,0 | 12,0 | 11,5 | 48,4 | 116,5 | 17,0 | 44,0 | 26,0 | 3,0            | 47,1 | 80              | 4,0 | 0,90            | 19 500                        | 11 300                      | <b>RCJTZ 1.1/8"</b>     | CJTZ 06 | G 1102 KRRB     |
| <b>30</b>                         | 80,0 | 142,0 | 12,0 | 11,5 | 35,7 | 116,5 | 20,0 | 44,0 | 29,0 | –              | 46,7 | –               | 4,0 | 0,81            | 19 500                        | 11 300                      | <b>PCJT 30</b>          | CJT 06  | GRAE30 NPPB     |
|                                   | 80,0 | 142,0 | 12,0 | 11,5 | 48,4 | 116,5 | 20,0 | 44,0 | 29,0 | –              | 50,1 | –               | 4,0 | 0,88            | 19 500                        | 11 300                      | <b>RCJT 30</b>          | CJT 06  | GE 30 KRRB      |
|                                   | 80,0 | 142,0 | 12,0 | 11,5 | 48,4 | 116,5 | 20,0 | 44,0 | 29,0 | –              | 50,1 | –               | 4,0 | 0,89            | 19 500                        | 11 300                      | <b>TCJT 30</b>          | CJT 06  | GE 30 KPPB3     |
|                                   | 80,0 | 142,0 | 12,0 | 11,5 | 38,1 | 116,5 | 20,0 | –    | 29,0 | –              | 42,2 | –               | 3,0 | 0,83            | 19 500                        | 11 300                      | <b>RCJTY 30</b>         | CJT 06  | GYE 30 KRRB     |
|                                   | 83,0 | 142,0 | 12,0 | 11,5 | 48,4 | 116,5 | 17,0 | 44,0 | 26,0 | 3,0            | 47,1 | 80              | 4,0 | 0,90            | 19 500                        | 11 300                      | <b>RCJTZ 30</b>         | CJTZ 06 | GE 30 KRRB      |
| <b>30,162</b><br><i>(1.3/16")</i> | 80,0 | 142,0 | 12,0 | 11,5 | 48,4 | 116,5 | 20,0 | 44,0 | 29,0 | –              | 50,1 | –               | 4,0 | 0,88            | 19 500                        | 11 300                      | <b>RCJT 1.3/16"</b>     | CJT 06  | G 1103 KRRB     |
|                                   | 80,0 | 142,0 | 12,0 | 11,5 | 38,1 | 116,5 | 20,0 | –    | 29,0 | –              | 42,2 | –               | 3,0 | 0,83            | 19 500                        | 11 300                      | <b>RCJTY 1.3/16"</b>    | CJT 06  | GY 1103 KRRB    |
|                                   | 83,0 | 142,0 | 12,0 | 11,5 | 48,4 | 116,5 | 17,0 | 44,0 | 26,0 | 3,0            | 47,1 | 80              | 4,0 | 0,90            | 19 500                        | 11 300                      | <b>RCJTZ 1.3/16"</b>    | CJTZ 06 | G 1103 KRRB     |
| <b>31,750</b><br><i>(1.1/4")</i>  | 80,0 | 142,0 | 12,0 | 11,5 | 35,7 | 116,5 | 20,0 | 44,0 | 29,0 | –              | 46,7 | –               | 4,0 | 0,81            | 19 500                        | 11 300                      | <b>PCJT 1.1/4" AHO2</b> | CJT 06  | GRA103 NPPBAHO2 |
| <b>31,750</b><br><i>(1.1/4")</i>  | 92,0 | 155,0 | 12,5 | 14,0 | 38,9 | 130,0 | 21,0 | 51,0 | 30,5 | –              | 50,4 | –               | 5,0 | 1,12            | 25 500                        | 15 300                      | <b>PCJT 1.1/4"</b>      | CJT 07  | GRA104 NPPB     |
|                                   | 92,0 | 155,0 | 12,5 | 14,0 | 51,1 | 130,0 | 21,0 | 51,0 | 30,5 | –              | 53,3 | –               | 5,0 | 1,19            | 25 500                        | 15 300                      | <b>RCJT 1.1/4"</b>      | CJT 07  | G 1104 KRRB     |
|                                   | 92,0 | 155,0 | 12,5 | 14,0 | 42,9 | 130,0 | 21,0 | –    | 30,5 | –              | 46,4 | –               | 3,0 | 1,13            | 25 500                        | 15 300                      | <b>RCJTY 1.1/4"</b>     | CJT 07  | GY 1104 KRRB    |
|                                   | 94,0 | 155,0 | 12,5 | 14,0 | 51,1 | 130,0 | 17,0 | 51,0 | 26,5 | 4,0            | 49,3 | 90              | 5,0 | 1,22            | 25 500                        | 15 300                      | <b>RCJTZ 1.1/4"</b>     | CJTZ 07 | G 1104 KRRB     |

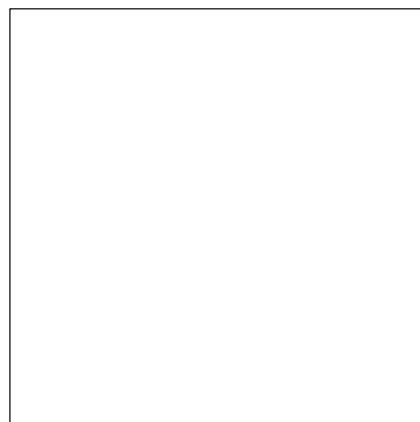
PCJT, RCJTY, RCJT, RCJTZ, TCJT

# Mancais de ferro fundido

tipo flange sem e com centragem



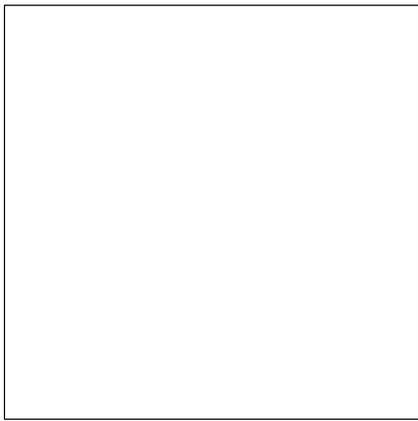
PCJT



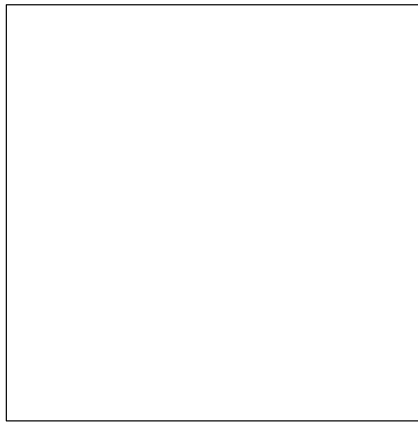
RCJT

**Tabela de medidas** - Medidas em mm e polegada

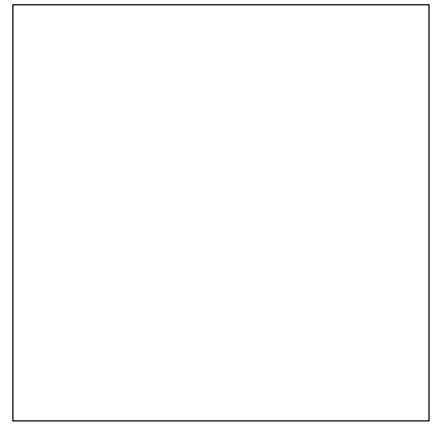
| Medidas                           |       |       |      |      |      |       |      |      |      |                |      |                 |     | Peso<br>≈<br>kg | Capacidade básica de carga |                             | Denominação          |         |              |
|-----------------------------------|-------|-------|------|------|------|-------|------|------|------|----------------|------|-----------------|-----|-----------------|----------------------------|-----------------------------|----------------------|---------|--------------|
| d                                 | A, V  | B     | C    | K    | L    | M     | P    | R    | T    | T <sub>1</sub> | U    | Z <sub>h8</sub> | SW  |                 | din.<br>C<br>N             | est.<br>C <sub>0</sub><br>N | Conjunto             | Mancal  | Rolamento    |
| <b>33,338</b><br><i>(1.5/16")</i> | 92,0  | 155,0 | 12,5 | 14,0 | 51,1 | 130,0 | 21,0 | 51,0 | 30,5 | –              | 53,3 | –               | 5,0 | 1,19            | 25 500                     | 15 300                      | <b>RCJT 1.5/16"</b>  | CJT 07  | G 1105 KRRB  |
|                                   | 94,0  | 155,0 | 12,5 | 14,0 | 51,1 | 130,0 | 17,0 | 51,0 | 26,5 | 4,0            | 49,3 | 90              | 5,0 | 1,22            | 25 500                     | 15 300                      | <b>RCJTZ 1.5/16"</b> | CJTZ 07 | G 1105 KRRB  |
| <b>34,925</b><br><i>(1.3/8")</i>  | 92,0  | 155,0 | 12,5 | 14,0 | 38,9 | 130,0 | 21,0 | 51,0 | 30,5 | –              | 50,4 | –               | 5,0 | 1,12            | 25 500                     | 15 300                      | <b>PCJT 1.3/8"</b>   | CJT 07  | GRA 105 NPPB |
|                                   | 92,0  | 155,0 | 12,5 | 14,0 | 51,1 | 130,0 | 21,0 | 51,0 | 30,5 | –              | 53,3 | –               | 5,0 | 1,19            | 25 500                     | 15 300                      | <b>RCJT 1.3/8"</b>   | CJT 07  | G 1106 KRRB  |
|                                   | 92,0  | 155,0 | 12,5 | 14,0 | 42,9 | 130,0 | 21,0 | –    | 30,5 | –              | 46,4 | –               | 3,0 | 1,13            | 25 500                     | 15 300                      | <b>RCJTY 1.3/8"</b>  | CJT 07  | GY 1106 KRRB |
| <b>35</b>                         | 94,0  | 155,0 | 12,5 | 14,0 | 51,1 | 130,0 | 17,0 | 51,0 | 26,5 | 4,0            | 49,3 | 90              | 5,0 | 1,22            | 25 500                     | 15 300                      | <b>RCJTZ 1.3/8"</b>  | CJTZ 07 | G 1106 KRRB  |
|                                   | 92,0  | 155,0 | 12,5 | 14,0 | 38,9 | 130,0 | 21,0 | 51,0 | 30,5 | –              | 50,4 | –               | 5,0 | 1,12            | 25 500                     | 15 300                      | <b>PCJT 35</b>       | CJT 07  | GRAE 35 NPPB |
|                                   | 92,0  | 155,0 | 12,5 | 14,0 | 51,1 | 130,0 | 21,0 | 51,0 | 30,5 | –              | 53,3 | –               | 5,0 | 1,19            | 25 500                     | 15 300                      | <b>RCJT 35</b>       | CJT 07  | GE 35 KRRB   |
|                                   | 92,0  | 155,0 | 12,5 | 14,0 | 42,9 | 130,0 | 21,0 | –    | 30,5 | –              | 46,4 | –               | 3,0 | 1,13            | 25 500                     | 15 300                      | <b>RCJTY 35</b>      | CJT 07  | GYE 35 KRRB  |
| <b>36,512</b><br><i>(1.7/16")</i> | 94,0  | 155,0 | 12,5 | 14,0 | 51,1 | 130,0 | 17,0 | 51,0 | 26,5 | 4,0            | 49,3 | 90              | 5,0 | 1,22            | 25 500                     | 15 300                      | <b>RCJTZ 35</b>      | CJTZ 07 | GE 35 KRRB   |
|                                   | 92,0  | 155,0 | 12,5 | 14,0 | 51,1 | 130,0 | 21,0 | 51,0 | 30,5 | –              | 53,3 | –               | 5,0 | 1,19            | 25 500                     | 15 300                      | <b>RCJT 1.7/16"</b>  | CJT 07  | G 1107 KRRB  |
|                                   | 94,0  | 155,0 | 12,5 | 14,0 | 51,1 | 130,0 | 17,0 | 51,0 | 26,5 | 4,0            | 49,3 | 90              | 5,0 | 1,22            | 25 500                     | 15 300                      | <b>RCJTZ 1.7/16"</b> | CJTZ 07 | G 1107 KRRB  |
| <b>38,100</b><br><i>(1.1/2")</i>  | 105,0 | 172,0 | 13,0 | 14,0 | 56,3 | 143,5 | 24,0 | 58,0 | 34,5 | –              | 58,9 | –               | 5,0 | 1,66            | 32 500                     | 19 800                      | <b>RCJT 1.1/2"</b>   | CJT 08  | G 1108 KRRB  |
|                                   | 105,0 | 172,0 | 13,0 | 14,0 | 49,2 | 143,5 | 24,0 | –    | 34,5 | –              | 54,2 | –               | 4,0 | 1,57            | 32 500                     | 19 800                      | <b>RCJTY 1.1/2"</b>  | CJT 08  | GY 1108 KRRB |
|                                   | 105,0 | 172,0 | 13,0 | 14,0 | 56,3 | 143,5 | 20,0 | 58,0 | 30,5 | 4,0            | 54,9 | 100             | 5,0 | 1,69            | 32 500                     | 19 800                      | <b>RCJTZ 1.1/2"</b>  | CJTZ 08 | G 1108 KRRB  |
| <b>39.688</b><br><i>(1.9/16")</i> | 105,0 | 172,0 | 13,0 | 14,0 | 56,3 | 143,5 | 24,0 | 58,0 | 34,5 | –              | 58,9 | –               | 5,0 | 1,66            | 32 500                     | 19 800                      | <b>RCJT 1.9/16"</b>  | CJT 08  | G 1109 KRRB  |
|                                   | 105,0 | 172,0 | 13,0 | 14,0 | 56,3 | 143,5 | 20,0 | 58,0 | 30,5 | 4,0            | 54,9 | 100             | 5,0 | 1,69            | 32 500                     | 19 800                      | <b>RCJTZ 1.9/16"</b> | CJTZ 08 | G 1109 KRRB  |
| <b>40</b>                         | 105,0 | 172,0 | 13,0 | 14,0 | 43,7 | 143,5 | 24,0 | 58,0 | 34,5 | –              | 56,7 | –               | 5,0 | 1,54            | 32 500                     | 19 800                      | <b>PCJT 40</b>       | CJT 08  | GRAE 40 NPPB |
|                                   | 105,0 | 172,0 | 13,0 | 14,0 | 56,3 | 143,5 | 24,0 | 58,0 | 34,5 | –              | 58,9 | –               | 5,0 | 1,66            | 32 500                     | 19 800                      | <b>RCJT 40</b>       | CJT 08  | GE 40 KRRB   |
|                                   | 105,0 | 172,0 | 13,0 | 14,0 | 49,2 | 143,5 | 24,0 | –    | 34,5 | –              | 54,2 | –               | 4,0 | 1,57            | 32 500                     | 19 800                      | <b>RCJTY 40</b>      | CJT 08  | GYE 40 KRRB  |
|                                   | 105,0 | 172,0 | 13,0 | 14,0 | 56,3 | 143,5 | 20,0 | 58,0 | 30,5 | 4,0            | 54,9 | 100             | 5,0 | 1,69            | 32 500                     | 19 800                      | <b>RCJTZ 40</b>      | CJTZ 08 | GE 40 KRRB   |



TCJT



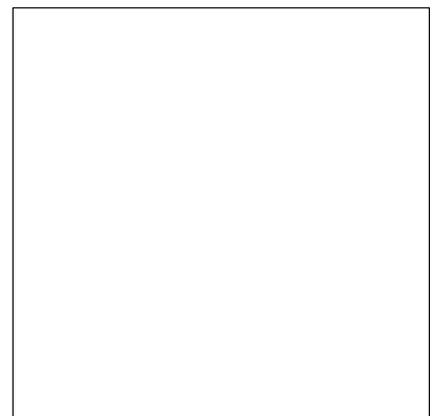
RCJTY



RCJTZ

**Tabela de medidas** · Medidas em mm e polegada

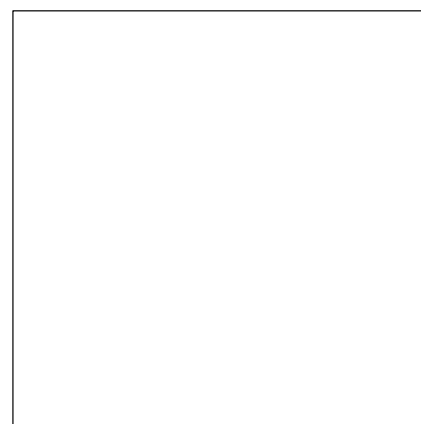
| Medidas                            |       |       |      |      |      |       |      |      |      |                |      |                 |     |                | Peso<br>≈<br>kg | Capacidade<br>básica de carga |                       | Denominação |               |  |
|------------------------------------|-------|-------|------|------|------|-------|------|------|------|----------------|------|-----------------|-----|----------------|-----------------|-------------------------------|-----------------------|-------------|---------------|--|
| d                                  | A, V  | B     | C    | K    | L    | M     | P    | R    | T    | T <sub>1</sub> | U    | Z <sub>h8</sub> | SW  | din.<br>C<br>N |                 | est.<br>C <sub>0</sub><br>N   | Conjunto              | Mancal      | Rolamento     |  |
| <b>41,275</b><br><i>(1.5/8")</i>   | 111,0 | 180,0 | 13,0 | 14,0 | 56,3 | 148,5 | 24,0 | 63,0 | 35,0 | –              | 58,9 | –               | 5,0 | 1,81           | 32 500          | 20 400                        | <b>RCJT 1.5/8"</b>    | CJT 09      | G 1110 KRRB   |  |
|                                    | 111,0 | 180,0 | 13,0 | 14,0 | 56,3 | 148,5 | 20,0 | 63,0 | 31,0 | 4,0            | 54,9 | 105             | 5,0 | 1,86           | 32 500          | 20 400                        | <b>RCJTZ 1.5/8"</b>   | CJTZ 09     | G 1110 KRRB   |  |
| <b>42,863</b><br><i>(1.11/16")</i> | 111,0 | 180,0 | 13,0 | 14,0 | 56,3 | 148,5 | 24,0 | 63,0 | 35,0 | –              | 58,9 | –               | 5,0 | 1,81           | 32 500          | 20 400                        | <b>RCJT 1.11/16"</b>  | CJT 09      | G 1111 KRRB   |  |
|                                    | 111,0 | 180,0 | 13,0 | 14,0 | 56,3 | 148,5 | 20,0 | 63,0 | 31,0 | 4,0            | 54,9 | 105             | 5,0 | 1,86           | 32 500          | 20 400                        | <b>RCJTZ 1.11/16"</b> | CJTZ 09     | G 1111 KRRB   |  |
| <b>44,450</b><br><i>(1.3/4")</i>   | 111,0 | 180,0 | 13,0 | 14,0 | 43,7 | 148,5 | 24,0 | 63,0 | 35,0 | –              | 56,7 | –               | 5,0 | 1,69           | 32 500          | 20 400                        | <b>PCJT 1.3/4"</b>    | CJT 09      | GRAE 112 NPPB |  |
|                                    | 111,0 | 180,0 | 13,0 | 14,0 | 56,3 | 148,5 | 24,0 | 63,0 | 35,0 | –              | 58,9 | –               | 5,0 | 1,81           | 32 500          | 20 400                        | <b>RCJT 1.3/4"</b>    | CJT 09      | G 1112 KRRB   |  |
|                                    | 111,0 | 180,0 | 13,0 | 14,0 | 49,2 | 148,5 | 24,0 | –    | 35,0 | –              | 54,2 | –               | 4,0 | 1,70           | 32 500          | 20 400                        | <b>RCJTY 1.3/4"</b>   | CJT 09      | GY 1112 KRRB  |  |
|                                    | 111,0 | 180,0 | 13,0 | 14,0 | 56,3 | 148,5 | 20,0 | 63,0 | 31,0 | 4,0            | 54,9 | 105             | 5,0 | 1,86           | 32 500          | 20 400                        | <b>RCJTZ 1.3/4"</b>   | CJTZ 09     | G 1112 KRRB   |  |
| <b>45</b>                          | 111,0 | 180,0 | 13,0 | 14,0 | 43,7 | 148,5 | 24,0 | 63,0 | 35,0 | –              | 56,7 | –               | 5,0 | 1,69           | 32 500          | 20 400                        | <b>PCJT 45</b>        | CJT 09      | GRAE 45 NPPB  |  |
|                                    | 111,0 | 180,0 | 13,0 | 14,0 | 56,3 | 148,5 | 24,0 | 63,0 | 35,0 | –              | 58,9 | –               | 5,0 | 1,81           | 32 500          | 20 400                        | <b>RCJT 45</b>        | CJT 09      | GE 45 KRRB    |  |
|                                    | 111,0 | 180,0 | 13,0 | 14,0 | 49,2 | 148,5 | 24,0 | –    | 35,0 | –              | 54,2 | –               | 4,0 | 1,70           | 32 500          | 20 400                        | <b>RCJTY 45</b>       | CJT 09      | GYE 45 KRRB   |  |
|                                    | 111,0 | 180,0 | 13,0 | 14,0 | 56,3 | 148,5 | 20,0 | 63,0 | 31,0 | 4,0            | 54,9 | 105             | 5,0 | 1,86           | 32 500          | 20 400                        | <b>RCJTZ 45</b>       | CJTZ 09     | GE 45 KRRB    |  |
| <b>49,212</b><br><i>(1.15/16")</i> | 116,0 | 190,0 | 13,0 | 18,0 | 62,7 | 157,0 | 28,0 | 69,0 | 39,0 | –              | 66,1 | –               | 5,0 | 2,20           | 35 000          | 23 200                        | <b>RCJT 1.15/16"</b>  | CJT 10      | G 1115 KRRB   |  |
|                                    | 116,0 | 190,0 | 13,0 | 18,0 | 51,6 | 157,0 | 28,0 | –    | 39,0 | –              | 60,6 | –               | 4,0 | 2,00           | 35 000          | 23 200                        | <b>RCJTY 1.15/16"</b> | CJT 10      | GY 1115 KRRB  |  |
|                                    | 116,0 | 190,0 | 13,0 | 14,0 | 62,7 | 157,0 | 24,0 | 69,0 | 35,0 | 4,0            | 62,1 | 105             | 5,0 | 2,21           | 35 000          | 23 200                        | <b>RCJTZ 1.15/16"</b> | CJTZ 10     | G 1115 KRRB   |  |
| <b>50</b>                          | 116,0 | 190,0 | 13,0 | 18,0 | 43,7 | 157,0 | 28,0 | 69,0 | 39,0 | –              | 60,7 | –               | 5,0 | 1,97           | 35 000          | 23 200                        | <b>PCJT 50</b>        | CJT 10      | GRAE 50 NPPB  |  |
|                                    | 116,0 | 190,0 | 13,0 | 18,0 | 62,7 | 157,0 | 28,0 | 69,0 | 39,0 | –              | 66,1 | –               | 5,0 | 2,20           | 35 000          | 23 200                        | <b>RCJT 50</b>        | CJT 10      | GE 50 KRRB    |  |
|                                    | 116,0 | 190,0 | 13,0 | 18,0 | 51,6 | 157,0 | 28,0 | –    | 39,0 | –              | 60,6 | –               | 4,0 | 2,00           | 35 000          | 23 200                        | <b>RCJTY 50</b>       | CJT 10      | GYE 50 KRRB   |  |
|                                    | 116,0 | 190,0 | 13,0 | 14,0 | 62,7 | 157,0 | 24,0 | 69,0 | 35,0 | 4,0            | 62,1 | 105             | 5,0 | 2,21           | 35 000          | 23 200                        | <b>RCJTZ 50</b>       | CJTZ 10     | GE 50 KRRB    |  |



PCJT, RCJTY, RCJT, RCJTZ, TCJT

# Mancais de ferro fundido

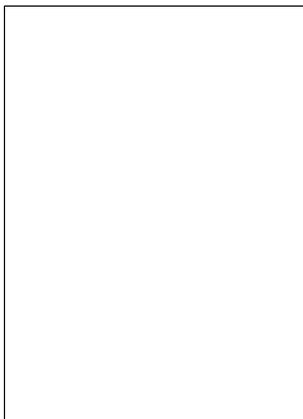
tipo tensor



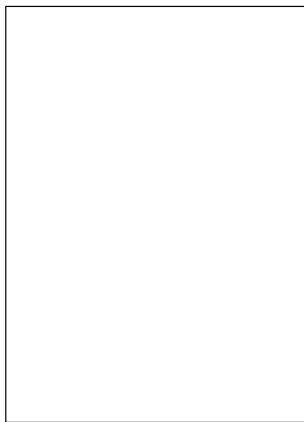
PTUE

| Tabela de medidas - Medidas em mm e polegada |       |    |                  |    |    |    |    |      |                |      |    |      |      |    |     |    |                 |                            |                |                             |                         |        |                |
|--|-------|----|------------------|----|----|----|----|------|----------------|------|----|------|------|----|-----|----|-----------------|----------------------------|----------------|-----------------------------|-------------------------|--------|----------------|
| Medidas                                      |       |    |                  |    |    |    |    |      |                |      |    |      |      |    |     |    | Peso<br>≈<br>kg | Capacidade básica de carga |                | Denominação                 |                         |        |                |
| d  | A     | B  | D <sub>H13</sub> | E  | F  | G  | H  | K    | K <sub>1</sub> | L    | M  | O    | R    | T  | V   | W  |                 | SW                         | din.<br>C<br>N | est.<br>C <sub>0</sub><br>N | Conjunto                | Mancal | Rolamento      |
| <b>19,050</b><br><b>(3/4")</b>               | 94,5  | 25 | 12               | 37 | 9  | 18 | 60 | 19,0 | 32,0           | 31,0 | 76 | 23,5 | 33,0 | 51 | 90  | 50 | 3,0             | 0,83                       | 12 800         | 6 600                       | <b>PTUE 3/4"</b>        | TUE 04 | GRA 012 NPPB   |
|  | 94,5  | 25 | 12               | 37 | 9  | 18 | 60 | 19,0 | 32,0           | 43,7 | 76 | 26,6 | 33,0 | 51 | 90  | 50 | 3,0             | 0,87                       | 12 800         | 6 600                       | <b>RTUE 3/4"</b>        | TUE 04 | G 1012 KRRB    |
|  | 94,5  | 25 | 12               | 37 | 9  | 18 | 60 | 19,0 | 32,0           | 31,0 | 76 | 18,3 | –    | 51 | 90  | 50 | 2,5             | 0,84                       | 12 800         | 6 600                       | <b>RTUEY 3/4"</b>       | TUE 04 | GY 1012 KRRB   |
| <b>20</b>                                    | 94,5  | 25 | 12               | 37 | 9  | 18 | 60 | 19,0 | 32,0           | 31,0 | 76 | 23,5 | 33,0 | 51 | 90  | 50 | 3,0             | 0,83                       | 12 800         | 6 600                       | <b>PTUE 20</b>          | TUE 04 | GRAE 20 NPPB   |
|  | 94,5  | 25 | 12               | 37 | 9  | 18 | 60 | 19,0 | 32,0           | 43,7 | 76 | 26,6 | 33,0 | 51 | 90  | 50 | 3,0             | 0,87                       | 12 800         | 6 600                       | <b>RTUE 20</b>          | TUE 04 | GE 20 KRRB     |
|  | 94,5  | 25 | 12               | 37 | 9  | 18 | 60 | 19,0 | 32,0           | 31,0 | 76 | 18,3 | –    | 51 | 90  | 50 | 2,5             | 0,84                       | 12 800         | 6 600                       | <b>RTUEY 20</b>         | TUE 04 | GYE 20 KRRB    |
| <b>22,225</b><br><b>(7/8")</b>               | 98,5  | 25 | 12               | 37 | 10 | 18 | 62 | 19,0 | 32,0           | 31,0 | 76 | 23,5 | 37,5 | 51 | 90  | 50 | 3,0             | 0,85                       | 14 000         | 7 800                       | <b>PTUE 7/8"</b>        | TUE 05 | GRA 014 NPPB   |
|  | 98,5  | 25 | 12               | 37 | 10 | 18 | 62 | 19,0 | 32,0           | 44,4 | 76 | 26,9 | 37,5 | 51 | 90  | 50 | 3,0             | 0,91                       | 14 000         | 7 800                       | <b>RTUE 7/8"</b>        | TUE 05 | G 1014 KRRB    |
|  | 98,5  | 25 | 12               | 37 | 10 | 18 | 62 | 19,0 | 32,0           | 34,1 | 76 | 19,8 | –    | 51 | 90  | 50 | 2,5             | 0,86                       | 14 000         | 7 800                       | <b>RTUEY 7/8"</b>       | TUE 05 | GY 1014 KRRB   |
| <b>23,813</b><br><b>(15/16")</b>             | 98,5  | 25 | 12               | 37 | 10 | 18 | 62 | 19,0 | 32,0           | 44,4 | 76 | 26,9 | 37,5 | 51 | 90  | 50 | 3,0             | 0,91                       | 14 000         | 7 800                       | <b>RTUE 15/16"</b>      | TUE 05 | G 1015 KRRB    |
| <b>25</b>                                    | 98,5  | 25 | 12               | 37 | 10 | 18 | 62 | 19,0 | 32,0           | 31,0 | 76 | 23,5 | 37,5 | 51 | 90  | 50 | 3,0             | 0,85                       | 14 000         | 7 800                       | <b>PTUE 25</b>          | TUE 05 | GRAE 25 NPPB   |
|  | 98,5  | 25 | 12               | 37 | 10 | 18 | 62 | 19,0 | 32,0           | 44,4 | 76 | 26,9 | 37,5 | 51 | 90  | 50 | 3,0             | 0,91                       | 14 000         | 7 800                       | <b>RTUE 25</b>          | TUE 05 | GE 25 KRRB     |
|  | 98,5  | 25 | 12               | 37 | 10 | 18 | 62 | 19,0 | 32,0           | 44,4 | 76 | 26,9 | 37,5 | 51 | 90  | 50 | 3,0             | 0,91                       | 14 000         | 7 800                       | <b>TTUE 25</b>          | TUE 05 | GE 25 KPPB3    |
|  | 98,5  | 25 | 12               | 37 | 10 | 18 | 62 | 19,0 | 32,0           | 34,1 | 76 | 19,8 | –    | 51 | 90  | 50 | 2,5             | 0,86                       | 14 000         | 7 800                       | <b>RTUEY 25</b>         | TUE 05 | GYE 25 KRRB    |
| <b>25,400</b><br><b>(1")</b>                 | 98,5  | 25 | 12               | 37 | 10 | 18 | 62 | 19,0 | 32,0           | 31,0 | 76 | 23,5 | 37,5 | 51 | 90  | 50 | 3,0             | 0,85                       | 14 000         | 7 800                       | <b>PTUE 1"</b>          | TUE 05 | GRA 100 NPPB   |
|  | 98,5  | 25 | 12               | 37 | 10 | 18 | 62 | 19,0 | 32,0           | 44,4 | 76 | 26,9 | 37,5 | 51 | 90  | 50 | 3,0             | 0,91                       | 14 000         | 7 800                       | <b>RTUE 1"</b>          | TUE 05 | G 1100 KRRB    |
|  | 98,5  | 25 | 12               | 37 | 10 | 18 | 62 | 19,0 | 32,0           | 34,1 | 76 | 19,8 | –    | 51 | 90  | 50 | 2,5             | 0,86                       | 14 000         | 7 800                       | <b>RTUEY 1"</b>         | TUE 05 | GY 1100 KRRB   |
| <b>28,575</b><br><b>(1.1/8")</b>             | 114,5 | 25 | 12               | 37 | 10 | 18 | 70 | 22,0 | 36,5           | 35,7 | 89 | 26,7 | 44,0 | 56 | 102 | 57 | 4,0             | 1,17                       | 19 500         | 11 300                      | <b>PTUE 1.1/8"</b>      | TUE 06 | GRA 102 NPPB   |
|  | 114,5 | 25 | 12               | 37 | 10 | 18 | 70 | 22,0 | 36,5           | 48,4 | 89 | 30,1 | 44,0 | 56 | 102 | 57 | 4,0             | 1,24                       | 19 500         | 11 300                      | <b>RTUE 1.1/8"</b>      | TUE 06 | G 1102 KRRB    |
|  | 114,5 | 25 | 12               | 37 | 10 | 18 | 70 | 22,0 | 36,5           | 38,1 | 89 | 22,2 | –    | 56 | 102 | 57 | 3,0             | 1,19                       | 19 500         | 11 300                      | <b>RTUEY 1.1/8"</b>     | TUE 06 | GY 1102 KRRB   |
| <b>30</b>                                    | 114,5 | 25 | 12               | 37 | 10 | 18 | 70 | 22,0 | 36,5           | 35,7 | 89 | 26,7 | 44,0 | 56 | 102 | 57 | 4,0             | 1,17                       | 19 500         | 11 300                      | <b>PTUE 30</b>          | TUE 06 | GRAE 30 NPPB   |
|  | 114,5 | 25 | 12               | 37 | 10 | 18 | 70 | 22,0 | 36,5           | 48,4 | 89 | 30,1 | 44,0 | 56 | 102 | 57 | 4,0             | 1,24                       | 19 500         | 11 300                      | <b>RTUE 30</b>          | TUE 06 | GE 30 KRRB     |
|  | 114,5 | 25 | 12               | 37 | 10 | 18 | 70 | 22,0 | 36,5           | 48,4 | 89 | 30,1 | 44,0 | 56 | 102 | 57 | 4,0             | 1,25                       | 19 500         | 11 300                      | <b>TTUE 30</b>          | TUE 06 | GE 30 KPPB3    |
|  | 114,5 | 25 | 12               | 37 | 10 | 18 | 70 | 22,0 | 36,5           | 38,1 | 89 | 22,2 | –    | 56 | 102 | 57 | 3,0             | 1,19                       | 19 500         | 11 300                      | <b>RTUEY 30</b>         | TUE 06 | GYE 30 KRRB    |
|  | 114,5 | 25 | 12               | 37 | 10 | 18 | 70 | 22,0 | 36,5           | 48,4 | 89 | 30,1 | 44,0 | 56 | 102 | 57 | 4,0             | 1,24                       | 19 500         | 11 300                      | <b>RTUE 1.3/16"</b>     | TUE 06 | G 1103 KRRB    |
| <b>30,162</b><br><b>(1.3/16")</b>            | 114,5 | 25 | 12               | 37 | 10 | 18 | 70 | 22,0 | 36,5           | 38,1 | 89 | 22,2 | –    | 56 | 102 | 57 | 3,0             | 1,19                       | 19 500         | 11 300                      | <b>RTUEY 1.3/16"</b>    | TUE 06 | GY 1103 KRRB   |
| <b>31,750</b><br><b>(1.1/4")</b>             | 114,5 | 25 | 12               | 37 | 10 | 18 | 70 | 22,0 | 36,5           | 35,7 | 89 | 26,7 | 44,0 | 56 | 102 | 57 | 4,0             | 1,17                       | 19 500         | 11 300                      | <b>PTUE 1.1/4" AH02</b> | TUE 06 | GRA103NPPBAH02 |
| <b>31,750</b><br><b>(1.1/4")</b>             | 131,5 | 30 | 12               | 40 | 13 | 18 | 80 | 22,0 | 36,5           | 38,9 | 89 | 29,4 | 51,0 | 64 | 102 | 63 | 5,0             | 1,73                       | 25 500         | 15 300                      | <b>PTUE 1.1/4"</b>      | TUE 07 | GRA 104 NPPB   |
|  | 131,5 | 30 | 12               | 40 | 13 | 18 | 80 | 22,0 | 36,5           | 51,1 | 89 | 32,3 | 51,0 | 64 | 102 | 63 | 5,0             | 1,80                       | 25 500         | 15 300                      | <b>RTUE 1.1/4"</b>      | TUE 07 | G 1104 KRRB    |
|  | 131,5 | 30 | 12               | 40 | 13 | 18 | 80 | 22,0 | 36,5           | 42,9 | 89 | 25,4 | –    | 64 | 102 | 63 | 3,0             | 1,74                       | 25 500         | 15 300                      | <b>RTUEY 1.1/4"</b>     | TUE 07 | GY 1104 KRRB   |

TTUE



RTUE



RTUEY

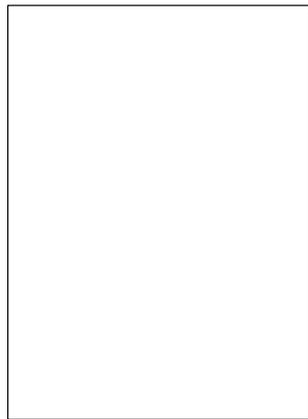
PTUE  
RTUE  
TTUE  
RTUEY

Tabela de medidas · Medidas em mm e polegada

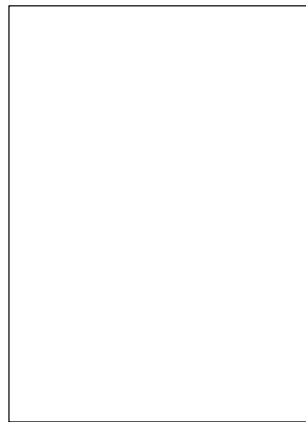
| d                                  | Medidas |    |                  |    |    |    |    |      |                |      |     |      |      |    |     |    |     | Peso<br>≈<br>kg | Capacidade<br>básica de carga |                             | Denominação           |        |              |
|------------------------------------|---------|----|------------------|----|----|----|----|------|----------------|------|-----|------|------|----|-----|----|-----|-----------------|-------------------------------|-----------------------------|-----------------------|--------|--------------|
|                                    | A       | B  | D <sub>H13</sub> | E  | F  | G  | H  | K    | K <sub>1</sub> | L    | M   | O    | R    | T  | V   | W  | SW  |                 | din.<br>C<br>N                | est.<br>C <sub>0</sub><br>N | Conjunto              | Mancal | Rolamento    |
| <b>33,338</b><br><b>(1.5/16")</b>  | 131,5   | 30 | 12               | 40 | 13 | 18 | 80 | 22,0 | 36,5           | 51,1 | 89  | 32,3 | 51,0 | 64 | 102 | 63 | 5,0 | 1,80            | 25 500                        | 15 300                      | <b>RTUE 1.5/16"</b>   | TUE 07 | G 1105 KRRB  |
| <b>34,925</b><br><b>(1.3/8")</b>   | 131,5   | 30 | 12               | 40 | 13 | 18 | 80 | 22,0 | 36,5           | 38,9 | 89  | 29,4 | 51,0 | 64 | 102 | 63 | 5,0 | 1,73            | 25 500                        | 15 300                      | <b>PTUE 1.3/8"</b>    | TUE 07 | GRA 106 NPPB |
|                                    | 131,5   | 30 | 12               | 40 | 13 | 18 | 80 | 22,0 | 36,5           | 51,1 | 89  | 32,3 | 51,0 | 64 | 102 | 63 | 5,0 | 1,80            | 25 500                        | 15 300                      | <b>RTUE 1.3/8"</b>    | TUE 07 | G 1106 KRRB  |
|                                    | 131,5   | 30 | 12               | 40 | 13 | 18 | 80 | 22,0 | 36,5           | 42,9 | 89  | 25,4 | –    | 64 | 102 | 63 | 3,0 | 1,74            | 25 500                        | 15 300                      | <b>RTUEY 1.3/8"</b>   | TUE 07 | GY 1106 KRRB |
| <b>35</b>                          | 131,5   | 30 | 12               | 40 | 13 | 18 | 80 | 22,0 | 36,5           | 38,9 | 89  | 29,4 | 51,0 | 64 | 102 | 63 | 5,0 | 1,73            | 25 500                        | 15 300                      | <b>PTUE 35</b>        | TUE 07 | GRAE 35 NPPB |
|                                    | 131,5   | 30 | 12               | 40 | 13 | 18 | 80 | 22,0 | 36,5           | 51,1 | 89  | 32,3 | 51,0 | 64 | 102 | 63 | 5,0 | 1,80            | 25 500                        | 15 300                      | <b>RTUE 35</b>        | TUE 07 | GE 35 KRRB   |
|                                    | 131,5   | 30 | 12               | 40 | 13 | 18 | 80 | 22,0 | 36,5           | 42,9 | 89  | 25,4 | –    | 64 | 102 | 63 | 3,0 | 1,74            | 25 500                        | 15 300                      | <b>RTUEY 35</b>       | TUE 07 | GYE 35 KRRB  |
| <b>36,512</b><br><b>(1.7/16")</b>  | 131,5   | 30 | 12               | 40 | 13 | 18 | 80 | 22,0 | 36,5           | 51,1 | 89  | 32,3 | 51,0 | 64 | 102 | 63 | 5,0 | 1,80            | 25 500                        | 15 300                      | <b>RTUE 1.7/16"</b>   | TUE 07 | G 1107 KRRB  |
| <b>38,100</b><br><b>(1.1/2")</b>   | 141,0   | 35 | 16               | 50 | 16 | 20 | 88 | 29,0 | 49,0           | 56,3 | 102 | 34,9 | 58,0 | 82 | 115 | 82 | 5,0 | 2,52            | 32 500                        | 19 800                      | <b>RTUE 1.1/2"</b>    | TUE 08 | G 1108 KRRB  |
|                                    | 141,0   | 35 | 16               | 50 | 16 | 20 | 88 | 29,0 | 49,0           | 49,2 | 102 | 30,2 | –    | 82 | 115 | 82 | 4,0 | 2,43            | 32 500                        | 19 800                      | <b>RTUEY 1.1/2"</b>   | TUE 08 | GY 1108 KRRB |
| <b>39,688</b><br><b>(1.9/16")</b>  | 141,0   | 35 | 16               | 50 | 16 | 20 | 88 | 29,0 | 49,0           | 56,3 | 102 | 34,9 | 58,0 | 82 | 115 | 82 | 5,0 | 2,52            | 32 500                        | 19 800                      | <b>RTUE 1.9/16"</b>   | TUE 08 | G 1109 KRRB  |
| <b>40</b>                          | 141,0   | 35 | 16               | 50 | 16 | 20 | 88 | 29,0 | 49,0           | 43,7 | 102 | 32,7 | 58,0 | 82 | 115 | 82 | 5,0 | 2,40            | 32 500                        | 19 800                      | <b>PTUE 40</b>        | TUE 08 | GRAE 40 NPPB |
|                                    | 141,0   | 35 | 16               | 50 | 16 | 20 | 88 | 29,0 | 49,0           | 56,3 | 102 | 34,9 | 58,0 | 82 | 115 | 82 | 5,0 | 2,52            | 32 500                        | 19 800                      | <b>RTUE 40</b>        | TUE 08 | GE 40 KRRB   |
|                                    | 141,0   | 35 | 16               | 50 | 16 | 20 | 88 | 29,0 | 49,0           | 49,2 | 102 | 30,2 | –    | 82 | 115 | 82 | 4,0 | 2,43            | 32 500                        | 19 800                      | <b>RTUEY 40</b>       | TUE 08 | GYE 40 KRRB  |
| <b>41,275</b><br><b>(1.5/8")</b>   | 141,0   | 35 | 16               | 50 | 16 | 20 | 88 | 29,0 | 49,0           | 56,3 | 102 | 34,9 | 63,0 | 82 | 115 | 82 | 5,0 | 2,61            | 32 500                        | 20 400                      | <b>RTUE 1.5/8"</b>    | TUE 09 | G 1110 KRRB  |
| <b>42,863</b><br><b>(1.11/16")</b> | 141,0   | 35 | 16               | 50 | 16 | 20 | 88 | 29,0 | 49,0           | 56,3 | 102 | 34,9 | 63,0 | 82 | 115 | 82 | 5,0 | 2,61            | 32 500                        | 20 400                      | <b>RTUE 1.11/16"</b>  | TUE 09 | G 1111 KRRB  |
| <b>44.450</b><br><b>(1.3/4")</b>   | 141,0   | 35 | 16               | 50 | 16 | 20 | 88 | 29,0 | 49,0           | 43,7 | 102 | 32,7 | 63,0 | 82 | 115 | 82 | 5,0 | 2,49            | 32 500                        | 20 400                      | <b>PTUE 1.3/4"</b>    | TUE 09 | GRA 112 NPPB |
|                                    | 141,0   | 35 | 16               | 50 | 16 | 20 | 88 | 29,0 | 49,0           | 56,3 | 102 | 34,9 | 63,0 | 82 | 115 | 82 | 5,0 | 2,61            | 32 500                        | 20 400                      | <b>RTUE 1.3/4"</b>    | TUE 09 | G 1112 KRRB  |
|                                    | 141,0   | 35 | 16               | 50 | 16 | 20 | 88 | 29,0 | 49,0           | 49,2 | 102 | 30,2 | –    | 82 | 115 | 82 | 4,0 | 2,50            | 32 500                        | 20 400                      | <b>RTUEY 1.3/4"</b>   | TUE 09 | GY 1112 KRRB |
| <b>45</b>                          | 141,0   | 35 | 16               | 50 | 16 | 20 | 88 | 29,0 | 49,0           | 43,7 | 102 | 32,7 | 63,0 | 82 | 115 | 82 | 5,0 | 2,49            | 32 500                        | 20 400                      | <b>PTUE 45</b>        | TUE 09 | GRAE 45 NPPB |
|                                    | 141,0   | 35 | 16               | 50 | 16 | 20 | 88 | 29,0 | 49,0           | 56,3 | 102 | 34,9 | 63,0 | 82 | 115 | 82 | 5,0 | 2,61            | 32 500                        | 20 400                      | <b>RTUE 45</b>        | TUE 09 | GE 45 KRRB   |
|                                    | 141,0   | 35 | 16               | 50 | 16 | 20 | 88 | 29,0 | 49,0           | 49,2 | 102 | 30,2 | –    | 82 | 115 | 82 | 4,0 | 2,50            | 32 500                        | 20 400                      | <b>RTUEY 45</b>       | TUE 09 | GYE 45 KRRB  |
| <b>49,212</b><br><b>(1.15/16")</b> | 148,0   | 35 | 16               | 50 | 16 | 20 | 90 | 29,0 | 49,0           | 62,7 | 102 | 38,1 | 69,0 | 83 | 115 | 85 | 5,0 | 2,65            | 35 000                        | 23 200                      | <b>RTUE 1.15/16"</b>  | TUE 10 | G 1115 KRRB  |
|                                    | 148,0   | 35 | 16               | 50 | 16 | 20 | 90 | 29,0 | 49,0           | 51,6 | 102 | 32,6 | –    | 83 | 115 | 85 | 4,0 | 2,45            | 35 000                        | 23 200                      | <b>RTUEY 1.15/16"</b> | TUE 10 | GY 1115 KRRB |
| <b>50</b>                          | 148,0   | 35 | 16               | 50 | 16 | 20 | 90 | 29,0 | 49,0           | 43,7 | 102 | 32,7 | 69,0 | 83 | 115 | 85 | 5,0 | 2,42            | 35 000                        | 23 200                      | <b>PTUE 50</b>        | TUE 10 | GRAE 50 NPPB |
|                                    | 148,0   | 35 | 16               | 50 | 16 | 20 | 90 | 29,0 | 49,0           | 62,7 | 102 | 38,1 | 69,0 | 83 | 115 | 85 | 5,0 | 2,65            | 35 000                        | 23 200                      | <b>RTUE 50</b>        | TUE 10 | GE 50 KRRB   |
|                                    | 148,0   | 35 | 16               | 50 | 16 | 20 | 90 | 29,0 | 49,0           | 51,6 | 102 | 32,6 | –    | 83 | 115 | 85 | 4,0 | 2,45            | 35 000                        | 23 200                      | <b>RTUEY 50</b>       | TUE 10 | GYE 50 KRRB  |

# Mancais de ferro fundido

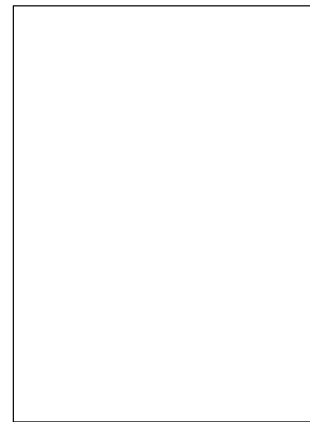
tipo flange com centragem



RFE



TFE



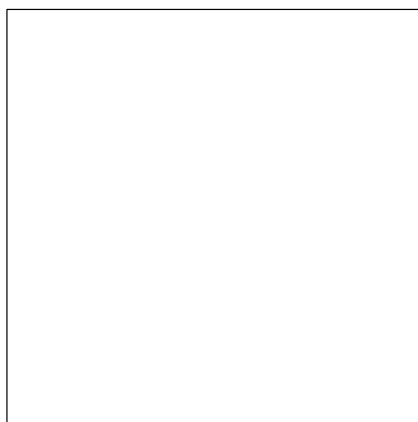
RFE  
TFE

**Tabela de medidas** - Medidas em mm e polegada

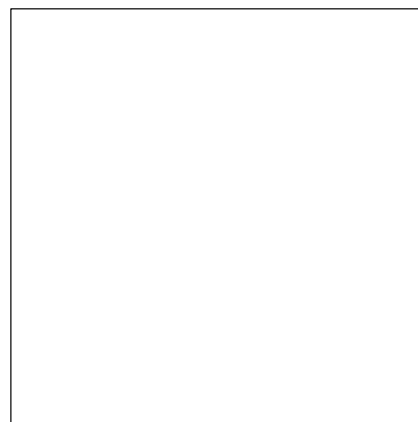
| Medidas                            |       |      |      |      |       |      |      |      |                |      |                 |     | Peso<br>≈<br>kg | Capacidade básica de carga |                             | Denominação         |        |             |
|------------------------------------|-------|------|------|------|-------|------|------|------|----------------|------|-----------------|-----|-----------------|----------------------------|-----------------------------|---------------------|--------|-------------|
| d                                  | A     | C    | K    | L    | M     | P    | R    | T    | T <sub>1</sub> | U    | Z <sub>h8</sub> | SW  |                 | din.<br>C<br>N             | est.<br>C <sub>0</sub><br>N | Conjunto            | Mancal | Rolamento   |
| <b>22,225</b><br><i>(7/8")</i>     | 115,0 | 9,0  | 9,0  | 44,4 | 92,0  | 9,5  | 37,5 | 22,0 | 3,0            | 36,4 | 75              | 3,0 | 0,82            | 14 000                     | 7 800                       | <b>RFE 7/8"</b>     | FE 05  | G 1014 KRRB |
| <b>23,813</b><br><i>(15/16")</i>   | 115,0 | 9,0  | 9,0  | 44,4 | 92,0  | 9,5  | 37,5 | 22,0 | 3,0            | 36,4 | 75              | 3,0 | 0,82            | 14 000                     | 7 800                       | <b>RFE 15/16"</b>   | FE 05  | G 1015 KRRB |
| <b>25</b>                          | 115,0 | 9,0  | 9,0  | 44,4 | 92,0  | 9,5  | 37,5 | 22,0 | 3,0            | 36,4 | 75              | 3,0 | 0,82            | 14 000                     | 7 800                       | <b>RFE 25</b>       | FE 05  | GE 25 KRRB  |
|                                    | 115,0 | 9,0  | 9,0  | 44,4 | 92,0  | 9,5  | 37,5 | 22,0 | 3,0            | 36,4 | 75              | 3,0 | 0,82            | 14 000                     | 7 800                       | <b>TFE 25</b>       | FE 05  | GE 25 KPPB3 |
| <b>25,400</b><br><i>(1")</i>       | 115,0 | 9,0  | 9,0  | 44,4 | 92,0  | 9,5  | 37,5 | 22,0 | 3,0            | 36,4 | 75              | 3,0 | 0,82            | 14 000                     | 7 800                       | <b>RFE 1"</b>       | FE 05  | G 1100 KRRB |
| <b>28,575</b><br><i>(1.1/8")</i>   | 127,0 | 9,5  | 9,0  | 48,4 | 105,0 | 10,5 | 44,0 | 22,5 | 3,0            | 40,4 | 85              | 4,0 | 1,08            | 19 500                     | 11 300                      | <b>RFE 1.1/8"</b>   | FE 06  | G 1102 KRRB |
| <b>30</b>                          | 127,0 | 9,5  | 9,0  | 48,4 | 105,0 | 10,5 | 44,0 | 22,5 | 3,0            | 40,4 | 85              | 4,0 | 1,08            | 19 500                     | 11 300                      | <b>RFE 30</b>       | FE 06  | GE 30 KRRB  |
|                                    | 127,0 | 9,5  | 9,0  | 48,4 | 105,0 | 10,5 | 44,0 | 22,5 | 3,0            | 40,4 | 85              | 4,0 | 1,09            | 19 500                     | 11 300                      | <b>TFE 30</b>       | FE 06  | GE 30 KPPB3 |
| <b>30,162</b><br><i>(1.3/16")</i>  | 127,0 | 9,5  | 9,0  | 48,4 | 105,0 | 10,5 | 44,0 | 22,5 | 3,0            | 40,4 | 85              | 4,0 | 1,08            | 19 500                     | 11 300                      | <b>RFE 1.3/16"</b>  | FE 06  | G 1103 KRRB |
| <b>31,750</b><br><i>(1.1/4")</i>   | 135,0 | 10,0 | 11,5 | 51,1 | 110,0 | 9,0  | 51,0 | 22,5 | 4,0            | 41,2 | 90              | 5,0 | 1,30            | 25 500                     | 15 300                      | <b>RFE 1.1/4"</b>   | FE 07  | G 1104 KRRB |
| <b>33,338</b><br><i>(1.5/16")</i>  | 135,0 | 10,0 | 11,5 | 51,1 | 110,0 | 9,0  | 51,0 | 22,5 | 4,0            | 41,2 | 90              | 5,0 | 1,30            | 25 500                     | 15 300                      | <b>RFE 1.5/16"</b>  | FE 07  | G 1105 KRRB |
| <b>34,925</b><br><i>(1.3/8")</i>   | 135,0 | 10,0 | 11,5 | 51,1 | 110,0 | 9,0  | 51,0 | 22,5 | 4,0            | 41,2 | 90              | 5,0 | 1,30            | 25 500                     | 15 300                      | <b>RFE 1.3/8"</b>   | FE 07  | G 1106 KRRB |
| <b>35</b>                          | 135,0 | 10,0 | 11,5 | 51,1 | 110,0 | 9,0  | 51,0 | 22,5 | 4,0            | 41,2 | 90              | 5,0 | 1,30            | 25 500                     | 15 300                      | <b>RFE 35</b>       | FE 07  | GE 35 KRRB  |
| <b>36,512</b><br><i>(1.7/16")</i>  | 135,0 | 10,0 | 11,5 | 51,1 | 110,0 | 9,0  | 51,0 | 22,5 | 4,0            | 41,2 | 90              | 5,0 | 1,30            | 25 500                     | 15 300                      | <b>RFE 1.7/16"</b>  | FE 07  | G 1107 KRRB |
| <b>38,100</b><br><i>(1.1/2")</i>   | 145,0 | 11,5 | 11,5 | 56,3 | 120,0 | 11,5 | 58,0 | 26,0 | 4,0            | 46,4 | 100             | 5,0 | 1,72            | 32 500                     | 19 800                      | <b>RFE 1.1/2"</b>   | FE 08  | G 1108 KRRB |
| <b>39,688</b><br><i>(1.9/16")</i>  | 145,0 | 11,5 | 11,5 | 56,3 | 120,0 | 11,5 | 58,0 | 26,0 | 4,0            | 46,4 | 100             | 5,0 | 1,72            | 32 500                     | 19 800                      | <b>RFE 1.9/16"</b>  | FE 08  | G 1109 KRRB |
| <b>40</b>                          | 145,0 | 11,5 | 11,5 | 56,3 | 120,0 | 11,5 | 58,0 | 26,0 | 4,0            | 46,4 | 100             | 5,0 | 1,72            | 32 500                     | 19 800                      | <b>RFE 40</b>       | FE 08  | GE 40 KRRB  |
| <b>41,275</b><br><i>(1.5/8")</i>   | 155,0 | 12,0 | 14,0 | 56,3 | 130,0 | 11,5 | 63,0 | 26,5 | 4,0            | 46,4 | 105             | 5,0 | 2,06            | 32 500                     | 20 400                      | <b>RFE 1.5/8"</b>   | FE 09  | G 1110 KRRB |
| <b>42,863</b><br><i>(1.11/16")</i> | 155,0 | 12,0 | 14,0 | 56,3 | 130,0 | 11,5 | 63,0 | 26,5 | 4,0            | 46,4 | 105             | 5,0 | 2,06            | 32 500                     | 20 400                      | <b>RFE 1.11/16"</b> | FE 09  | G 1111 KRRB |
| <b>44.450</b><br><i>(1.3/4")</i>   | 155,0 | 12,0 | 14,0 | 56,3 | 130,0 | 11,5 | 63,0 | 26,5 | 4,0            | 46,4 | 105             | 5,0 | 2,06            | 32 500                     | 20 400                      | <b>RFE 1.3/4"</b>   | FE 09  | G 1112 KRRB |
| <b>45</b>                          | 155,0 | 12,0 | 14,0 | 56,3 | 130,0 | 11,5 | 63,0 | 26,5 | 4,0            | 46,4 | 105             | 5,0 | 2,06            | 32 500                     | 20 400                      | <b>RFE 45</b>       | FE 09  | GE 45 KRRB  |
| <b>49,212</b><br><i>(1.15/16")</i> | 165,0 | 13,0 | 14,0 | 62,7 | 136,0 | 12,5 | 69,0 | 27,5 | 4,0            | 50,7 | 115             | 5,0 | 2,48            | 35 000                     | 23 200                      | <b>RFE 1.15/16"</b> | FE 10  | G 1115 KRRB |
| <b>50</b>                          | 165,0 | 13,0 | 14,0 | 62,7 | 136,0 | 12,5 | 69,0 | 27,5 | 4,0            | 50,7 | 115             | 5,0 | 2,48            | 35 000                     | 23 200                      | <b>RFE 50</b>       | FE 10  | GE 50 KRRB  |

# Mancal de chapa de aço repuxada

tipo flange



RA  
GRA



RR  
GRR

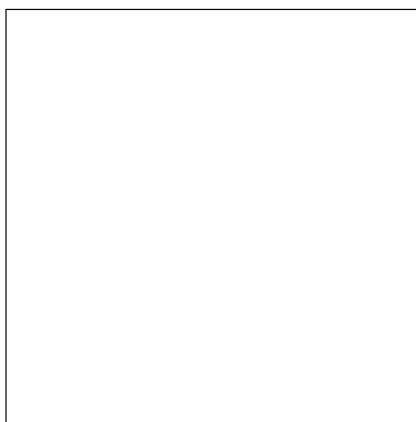
**Tabela de medidas** · Medidas em mm e polegada

| Medidas                          |       |     |      |      |      |      |     |      |    |     | Peso<br>≈<br>kg | Nº de furos | 1)<br>Cg<br>N | Capacidade básica de carga |                             | Denominação       |            |              |
|----------------------------------|-------|-----|------|------|------|------|-----|------|----|-----|-----------------|-------------|---------------|----------------------------|-----------------------------|-------------------|------------|--------------|
| d                                | A     | C   | K    | L    | M    | R    | T   | U    | V  | SW  |                 |             |               | din.<br>C<br>N             | est.<br>C <sub>0</sub><br>N | Conjunto          | Mancal     | Rolamento    |
| <b>19,050</b><br><i>(3/4")</i>   | 90,5  | 2,0 | 8,7  | 31,0 | 71,5 | 33,0 | 8,0 | 25,5 | 55 | 3,0 | 0,32            | 3           | 3 200         | 12 800                     | 6 600                       | <b>RA 3/4"</b>    | 47 MSB     | GRA 012 NPPB |
|                                  | 90,5  | 2,0 | 8,7  | 43,7 | 71,5 | 33,0 | 8,0 | 28,6 | 55 | 3,0 | 0,36            | 3           | 3 200         | 12 800                     | 6 600                       | <b>RR 3/4"</b>    | 47 MSB     | G 1012 KRRB  |
|                                  | 90,5  | 2,0 | 8,7  | 31,0 | 71,5 | —    | 8,0 | 20,3 | 55 | 2,5 | 0,33            | 3           | 3 200         | 12 800                     | 6 600                       | <b>RRY 3/4"</b>   | 47 MSB     | GY 1012 KRRB |
|                                  | 90,5  | 2,0 | 8,7  | 31,0 | 71,5 | 33,0 | 8,0 | 25,5 | 55 | 3,0 | 0,32            | 3           | 3 200         | 12 800                     | 6 600                       | <b>GRA 3/4"</b>   | 47 MSB/MSA | GRA 012 NPPB |
|                                  | 90,5  | 2,0 | 8,7  | 43,7 | 71,5 | 33,0 | 8,0 | 28,6 | 55 | 3,0 | 0,36            | 3           | 3 200         | 12 800                     | 6 600                       | <b>GRR 3/4"</b>   | 47 MSB/MSA | G 1012 KRRB  |
| <b>20</b>                        | 90,5  | 2,0 | 8,7  | 31,0 | 71,5 | 33,0 | 8,0 | 25,5 | 55 | 3,0 | 0,32            | 3           | 3 200         | 12 800                     | 6 600                       | <b>RA 20</b>      | 47 MSB     | GRAE 20 NPPB |
|                                  | 90,5  | 2,0 | 8,7  | 43,7 | 71,5 | 33,0 | 8,0 | 28,6 | 55 | 3,0 | 0,36            | 3           | 3 200         | 12 800                     | 6 600                       | <b>RR 20</b>      | 47 MSB     | GE 20 KRRB   |
|                                  | 90,5  | 2,0 | 8,7  | 31,0 | 71,5 | —    | 8,0 | 20,3 | 55 | 2,5 | 0,33            | 3           | 3 200         | 12 800                     | 6 600                       | <b>RRY 20</b>     | 47 MSB     | GYE 20 KRRB  |
|                                  | 90,5  | 2,0 | 8,7  | 31,0 | 71,5 | 33,0 | 8,0 | 25,5 | 55 | 3,0 | 0,32            | 3           | 3 200         | 12 800                     | 6 600                       | <b>GRA 20</b>     | 47 MSB/MSA | GRAE 20 NPPB |
|                                  | 90,5  | 2,0 | 8,7  | 43,7 | 71,5 | 33,0 | 8,0 | 28,6 | 55 | 3,0 | 0,36            | 3           | 3 200         | 12 800                     | 6 600                       | <b>GRR 20</b>     | 47 MSB/MSA | GE 20 KRRB   |
| <b>22,225</b><br><i>(7/8")</i>   | 95,0  | 2,0 | 8,7  | 31,0 | 76,0 | 37,5 | 8,7 | 25,5 | 60 | 3,0 | 0,37            | 3           | 3 650         | 14 000                     | 7 800                       | <b>RA 7/8"</b>    | 52 MSB     | GRA 014 NPPB |
|                                  | 95,0  | 2,0 | 8,7  | 44,4 | 76,0 | 37,5 | 8,7 | 28,9 | 60 | 3,0 | 0,43            | 3           | 3 650         | 14 000                     | 7 800                       | <b>RR 7/8"</b>    | 52 MSB     | G 1014 KRRB  |
|                                  | 95,0  | 2,0 | 8,7  | 34,1 | 76,0 | —    | 8,7 | 21,8 | 60 | 2,5 | 0,38            | 3           | 3 650         | 14 000                     | 7 800                       | <b>RRY 7/8"</b>   | 52 MSB     | GY 1014 KRRB |
|                                  | 95,0  | 2,0 | 8,7  | 31,0 | 76,0 | 37,5 | 8,7 | 25,5 | 60 | 3,0 | 0,37            | 3           | 3 650         | 14 000                     | 7 800                       | <b>GRA 7/8"</b>   | 52 MSB/MSA | GRA 014 NPPB |
|                                  | 95,0  | 2,0 | 8,7  | 44,4 | 76,0 | 37,5 | 8,7 | 28,9 | 60 | 3,0 | 0,43            | 3           | 3 650         | 14 000                     | 7 800                       | <b>GRR 7/8"</b>   | 52 MSB/MSA | G 1014 KRRB  |
| <b>23,813</b><br><i>(15/16")</i> | 95,0  | 2,0 | 8,7  | 44,4 | 76,0 | 37,5 | 8,7 | 28,9 | 60 | 3,0 | 0,43            | 3           | 3 650         | 14 000                     | 7 800                       | <b>RR 15/16"</b>  | 52 MSB     | G 1015 KRRB  |
|                                  | 95,0  | 2,0 | 8,7  | 44,4 | 76,0 | 37,5 | 8,7 | 28,9 | 60 | 3,0 | 0,43            | 3           | 3 650         | 14 000                     | 7 800                       | <b>GRR 15/16"</b> | 52 MSB/MSA | G 1015 KRRB  |
| <b>25</b>                        | 95,0  | 2,0 | 8,7  | 31,0 | 76,0 | 37,5 | 8,7 | 25,5 | 60 | 3,0 | 0,37            | 3           | 3 650         | 14 000                     | 7 800                       | <b>RA 25</b>      | 52 MSB     | GRAE 25 NPPB |
|                                  | 95,0  | 2,0 | 8,7  | 44,4 | 76,0 | 37,5 | 8,7 | 28,9 | 60 | 3,0 | 0,43            | 3           | 3 650         | 14 000                     | 7 800                       | <b>RR 25</b>      | 52 MSB     | GE 25 KRRB   |
|                                  | 95,0  | 2,0 | 8,7  | 34,1 | 76,0 | —    | 8,7 | 21,8 | 60 | 2,5 | 0,38            | 3           | 3 650         | 14 000                     | 7 800                       | <b>RRY 25</b>     | 52 MSB     | GYE 25 KRRB  |
|                                  | 95,0  | 2,0 | 8,7  | 31,0 | 76,0 | 37,5 | 8,7 | 25,5 | 60 | 3,0 | 0,37            | 3           | 3 650         | 14 000                     | 7 800                       | <b>GRA 25</b>     | 52 MSB/MSA | GRAE 25 NPPB |
|                                  | 95,0  | 2,0 | 8,7  | 44,4 | 76,0 | 37,5 | 8,7 | 28,9 | 60 | 3,0 | 0,43            | 3           | 3 650         | 14 000                     | 7 800                       | <b>GRR 25</b>     | 52 MSB/MSA | GE 25 KRRB   |
| <b>25,400</b><br><i>(1")</i>     | 95,0  | 2,0 | 8,7  | 31,0 | 76,0 | 37,5 | 8,7 | 25,5 | 60 | 3,0 | 0,37            | 3           | 3 650         | 14 000                     | 7 800                       | <b>RA 1"</b>      | 52 MSB     | GRA 100 NPPB |
|                                  | 95,0  | 2,0 | 8,7  | 44,4 | 76,0 | 37,5 | 8,7 | 28,9 | 60 | 3,0 | 0,43            | 3           | 3 650         | 14 000                     | 7 800                       | <b>RR 1"</b>      | 52 MSB     | G 1100 KRRB  |
|                                  | 95,0  | 2,0 | 8,7  | 34,1 | 76,0 | —    | 8,7 | 21,8 | 60 | 2,5 | 0,38            | 3           | 3 650         | 14 000                     | 7 800                       | <b>RRY 1"</b>     | 52 MSB     | GY 1100 KRRB |
|                                  | 95,0  | 2,0 | 8,7  | 31,0 | 76,0 | 37,5 | 8,7 | 25,5 | 60 | 3,0 | 0,37            | 3           | 3 650         | 14 000                     | 7 800                       | <b>GRA 1"</b>     | 52 MSB/MSA | GRA 100 NPPB |
|                                  | 95,0  | 2,0 | 8,7  | 44,4 | 76,0 | 37,5 | 8,7 | 28,9 | 60 | 3,0 | 0,43            | 3           | 3 650         | 14 000                     | 7 800                       | <b>GRR 1"</b>     | 52 MSB/MSA | G 1100 KRRB  |
| <b>28,575</b><br><i>(1.1/8")</i> | 112,7 | 2,5 | 10,5 | 35,7 | 90,5 | 44,0 | 8,7 | 29,2 | 71 | 4,0 | 0,61            | 3           | 5 000         | 19 500                     | 11 300                      | <b>RA 1.1/8"</b>  | 62 MSB     | GRA 102 NPPB |
|                                  | 112,7 | 2,5 | 10,5 | 48,4 | 90,5 | 44,0 | 8,7 | 32,6 | 71 | 4,0 | 0,68            | 3           | 5 000         | 19 500                     | 11 300                      | <b>RR 1.1/8"</b>  | 62 MSB     | G 1102 KRRB  |
|                                  | 112,7 | 2,5 | 10,5 | 38,1 | 90,5 | —    | 8,7 | 24,7 | 71 | 3,0 | 0,63            | 3           | 5 000         | 19 500                     | 11 300                      | <b>RRY 1.1/8"</b> | 62 MSB     | GY 1102 KRRB |
|                                  | 112,7 | 2,5 | 10,5 | 35,7 | 90,5 | 44,0 | 8,7 | 29,2 | 71 | 4,0 | 0,61            | 3           | 5 000         | 19 500                     | 11 300                      | <b>GRA 1.1/8"</b> | 62 MSB/MSA | GRA 102 NPPB |
|                                  | 112,7 | 2,5 | 10,5 | 48,4 | 90,5 | 44,0 | 8,7 | 32,6 | 71 | 4,0 | 0,68            | 3           | 5 000         | 19 500                     | 11 300                      | <b>GRR 1.1/8"</b> | 62 MSB/MSA | G 1102 KRRB  |

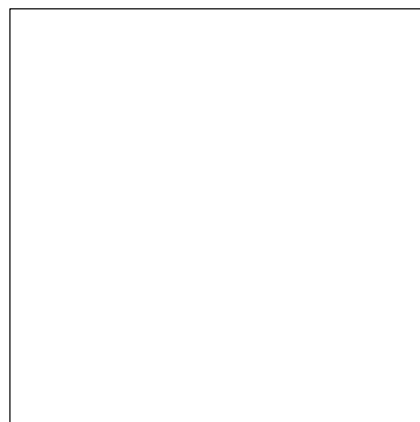
1) Cg = capacidade básica de carga radial admissível no mancal.

# Mancal de chapa de aço repuxada

tipo flange



RA  
GRA

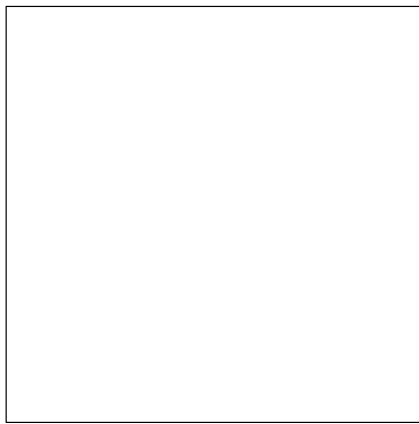


RR  
GRR

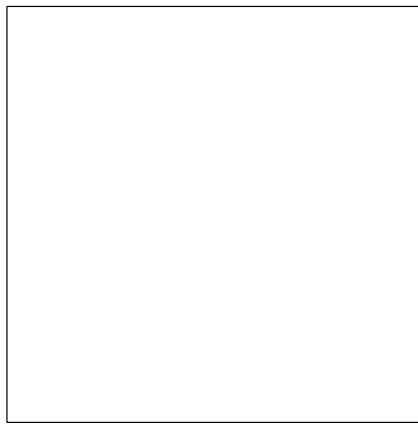
**Tabela de medidas** - Medidas em mm e polegada

| Medidas                     |       |     |      |      |       |      |     |      |    |     | Peso<br>≈<br>kg | Nº de furos | 1)<br>Cg<br>N | Capacidade básica de carga |                             | Denominação            |            |                  |
|-----------------------------|-------|-----|------|------|-------|------|-----|------|----|-----|-----------------|-------------|---------------|----------------------------|-----------------------------|------------------------|------------|------------------|
| d                           | A     | C   | K    | L    | M     | R    | T   | U    | V  | SW  |                 |             |               | din.<br>C<br>N             | est.<br>C <sub>0</sub><br>N | Conjunto               | Mancal     | Rolamento        |
| <b>30</b>                   | 112,7 | 2,5 | 10,5 | 35,7 | 90,5  | 44,0 | 8,7 | 29,2 | 71 | 4,0 | 0,61            | 3           | 5 000         | 19 500                     | 11 300                      | <b>RA 30</b>           | 62 MSB     | GRAE 30 NPPB     |
|                             | 112,7 | 2,5 | 10,5 | 48,4 | 90,5  | 44,0 | 8,7 | 32,6 | 71 | 4,0 | 0,68            | 3           | 5 000         | 19 500                     | 11 300                      | <b>RR 30</b>           | 62 MSB     | GE 30 KRRB       |
|                             | 112,7 | 2,5 | 10,5 | 38,1 | 90,5  | —    | 8,7 | 24,7 | 71 | 3,0 | 0,63            | 3           | 5 000         | 19 500                     | 11 300                      | <b>RRY 30</b>          | 62 MSB     | GYE 30 KRRB      |
|                             | 112,7 | 2,5 | 10,5 | 35,7 | 90,5  | 44,0 | 8,7 | 29,2 | 71 | 4,0 | 0,61            | 3           | 5 000         | 19 500                     | 11 300                      | <b>GRA 30</b>          | 62 MSB/MSA | GRAE 30 NPPB     |
|                             | 112,7 | 2,5 | 10,5 | 48,4 | 90,5  | 44,0 | 8,7 | 32,6 | 71 | 4,0 | 0,68            | 3           | 5 000         | 19 500                     | 11 300                      | <b>GRR 30</b>          | 62 MSB/MSA | GE 30 KRRB       |
| <b>30,162<br/>(1.3/16")</b> | 112,7 | 2,5 | 10,5 | 48,4 | 90,5  | 44,0 | 8,7 | 32,6 | 71 | 4,0 | 0,68            | 3           | 5 000         | 19 500                     | 11 300                      | <b>RR 1.3/16"</b>      | 62 MSB     | G 1103 KRRB      |
|                             | 112,7 | 2,5 | 10,5 | 38,1 | 90,5  | —    | 8,7 | 24,7 | 71 | 3,0 | 0,63            | 3           | 5 000         | 19 500                     | 11 300                      | <b>RRY 1.3/16"</b>     | 62 MSB     | GY 1103 KRRB     |
|                             | 112,7 | 2,5 | 10,5 | 48,4 | 90,5  | 44,0 | 8,7 | 32,6 | 71 | 4,0 | 0,68            | 3           | 5 000         | 19 500                     | 11 300                      | <b>GRR 1.3/16"</b>     | 62 MSB/MSA | G 1103 KRRB      |
| <b>31,750<br/>(1.1/4")</b>  | 112,7 | 2,5 | 10,5 | 35,7 | 90,5  | 44,0 | 8,7 | 29,2 | 71 | 4,0 | 0,61            | 3           | 5 000         | 19 500                     | 11 300                      | <b>RA 1.1/4" AH02</b>  | 62 MSB     | GRA 103 NPPBAH02 |
|                             | 112,7 | 2,5 | 10,5 | 35,7 | 90,5  | 44,0 | 8,7 | 29,2 | 71 | 4,0 | 0,61            | 3           | 5 000         | 19 500                     | 11 300                      | <b>GRA 1.1/4" AH02</b> | 62 MSB/MSA | GRA 103 NPPBAH02 |
| <b>31,750<br/>(1.1/4")</b>  | 122,0 | 2,5 | 10,5 | 38,9 | 100,0 | 51,0 | 9,5 | 31,9 | 81 | 5,0 | 0,83            | 3           | 6 400         | 25 500                     | 15 300                      | <b>RA 1.1/4"</b>       | 72 MSB     | GRA 104 NPPB     |
|                             | 122,0 | 2,5 | 10,5 | 51,1 | 100,0 | 51,0 | 9,5 | 34,8 | 81 | 5,0 | 0,89            | 3           | 6 400         | 25 500                     | 15 300                      | <b>RR 1.1/4"</b>       | 72 MSB     | G 1104 KRRB      |
|                             | 122,0 | 2,5 | 10,5 | 42,9 | 100,0 | —    | 9,5 | 27,9 | 81 | 3,0 | 0,84            | 3           | 6 400         | 25 500                     | 15 300                      | <b>RRY 1.1/4"</b>      | 72 MSB     | GY 1104 KRRB     |
|                             | 122,0 | 2,5 | 10,5 | 38,9 | 100,0 | 51,0 | 9,5 | 31,9 | 81 | 5,0 | 0,83            | 3           | 6 400         | 25 500                     | 15 300                      | <b>GRA 1.1/4"</b>      | 72 MSB/MSA | GRA 104 NPPB     |
|                             | 122,0 | 2,5 | 10,5 | 51,1 | 100,0 | 51,0 | 9,5 | 34,8 | 81 | 5,0 | 0,89            | 3           | 6 400         | 25 500                     | 15 300                      | <b>GRR 1.1/4"</b>      | 72 MSB/MSA | G 1104 KRRB      |
| <b>33,338<br/>(1.5/16")</b> | 122,0 | 2,5 | 10,5 | 51,1 | 100,0 | 51,0 | 9,5 | 34,8 | 81 | 5,0 | 0,89            | 3           | 6 400         | 25 500                     | 15 300                      | <b>RR 1.5/16"</b>      | 72 MSB     | G 1105 KRRB      |
|                             | 122,0 | 2,5 | 10,5 | 51,1 | 100,0 | 51,0 | 9,5 | 34,8 | 81 | 5,0 | 0,89            | 3           | 6 400         | 25 500                     | 15 300                      | <b>GRR 1.5/16"</b>     | 72 MSB/MSA | G 1105 KRRB      |
| <b>34,925<br/>(1.3/8")</b>  | 122,0 | 2,5 | 10,5 | 38,9 | 100,0 | 51,0 | 9,5 | 31,9 | 81 | 5,0 | 0,82            | 3           | 6 400         | 25 500                     | 15 300                      | <b>RA 1.3/8"</b>       | 72 MSB     | GRA 106 NPPB     |
|                             | 122,0 | 2,5 | 10,5 | 51,1 | 100,0 | 51,0 | 9,5 | 34,8 | 81 | 5,0 | 0,89            | 3           | 6 400         | 25 500                     | 15 300                      | <b>RR 1.3/8"</b>       | 72 MSB     | G 1106 KRRB      |
|                             | 122,0 | 2,5 | 10,5 | 42,9 | 100,0 | —    | 9,5 | 27,9 | 81 | 3,0 | 0,83            | 3           | 6 400         | 25 500                     | 15 300                      | <b>RRY 1.3/8"</b>      | 72 MSB     | GY 1106 KRRB     |
|                             | 122,0 | 2,5 | 10,5 | 38,9 | 100,0 | 51,0 | 9,5 | 31,9 | 81 | 5,0 | 0,82            | 3           | 6 400         | 25 500                     | 15 300                      | <b>GRA 1.3/8"</b>      | 72 MSB/MSA | GRA 106 NPPB     |
|                             | 122,0 | 2,5 | 10,5 | 51,1 | 100,0 | 51,0 | 9,5 | 34,8 | 81 | 5,0 | 0,89            | 3           | 6 400         | 25 500                     | 15 300                      | <b>GRR 1.3/8"</b>      | 72 MSB/MSA | G 1106 KRRB      |
| <b>35</b>                   | 122,0 | 2,5 | 10,5 | 38,9 | 100,0 | 51,0 | 9,5 | 31,9 | 81 | 5,0 | 0,82            | 3           | 6 400         | 25 500                     | 15 300                      | <b>RA 35</b>           | 72 MSB     | GRAE 35 NPPB     |
|                             | 122,0 | 2,5 | 10,5 | 51,1 | 100,0 | 51,0 | 9,5 | 34,8 | 81 | 5,0 | 0,89            | 3           | 6 400         | 25 500                     | 15 300                      | <b>RR 35</b>           | 72 MSB     | GE 35 KRRB       |
|                             | 122,0 | 2,5 | 10,5 | 42,9 | 100,0 | —    | 9,5 | 27,9 | 81 | 3,0 | 0,83            | 3           | 6 400         | 25 500                     | 15 300                      | <b>RRY 35</b>          | 72 MSB     | GYE 35 KRRB      |
|                             | 122,0 | 2,5 | 10,5 | 38,9 | 100,0 | 51,0 | 9,5 | 31,9 | 81 | 5,0 | 0,82            | 3           | 6 400         | 25 500                     | 15 300                      | <b>GRA 35</b>          | 72 MSB/MSA | GRAE 35 NPPB     |
|                             | 122,0 | 2,5 | 10,5 | 51,1 | 100,0 | 51,0 | 9,5 | 34,8 | 81 | 5,0 | 0,89            | 3           | 6 400         | 25 500                     | 15 300                      | <b>GRR 35</b>          | 72 MSB/MSA | GE 35 KRRB       |
| <b>36,512<br/>(1.7/16")</b> | 122,0 | 2,5 | 10,5 | 51,1 | 100,0 | 51,0 | 9,5 | 34,8 | 81 | 5,0 | 0,89            | 3           | 6 400         | 25 500                     | 15 300                      | <b>RR 1.7/16"</b>      | 72 MSB     | G 1107 KRRB      |
|                             | 122,0 | 2,5 | 10,5 | 51,1 | 100,0 | 51,0 | 9,5 | 34,8 | 81 | 5,0 | 0,89            | 3           | 6 400         | 25 500                     | 15 300                      | <b>GRR 1.7/16"</b>     | 72 MSB/MSA | G 1107 KRRB      |

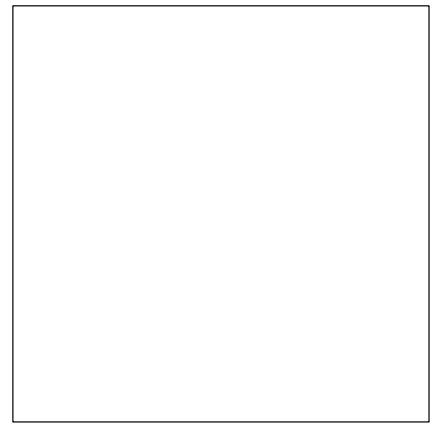
1) Cg = capacidade básica de carga radial admissível no mancal.



RRY



RA  
RR  
RRY



GRA  
GRR

**Tabela de medidas** · Medidas em mm e polegada

| Medidas                            |       |     |      |      |       |      |      |      |     |     | Peso<br>≈<br>kg | Nº de furos<br>≈<br>kg | 1)<br>Cg<br>N | Capacidade básica de carga |                             | Denominação         |            |              |
|------------------------------------|-------|-----|------|------|-------|------|------|------|-----|-----|-----------------|------------------------|---------------|----------------------------|-----------------------------|---------------------|------------|--------------|
| d                                  | A     | C   | K    | L    | M     | R    | T    | U    | V   | SW  |                 |                        |               | din.<br>C<br>N             | est.<br>C <sub>0</sub><br>N | Conjunto            | Mancal     | Rolamento    |
| <b>38,100</b><br><i>(1.1/2")</i>   | 147,5 | 3,5 | 13,5 | 56,3 | 119,0 | 58,0 | 10,3 | 38,4 | 90  | 5,0 | 1,48            | 4                      | 7 700         | 32 500                     | 19 800                      | <b>RR 1.1/2"</b>    | 80 MSB     | G 1108 KRRB  |
|                                    | 147,5 | 3,5 | 13,5 | 49,2 | 119,0 | –    | 10,3 | 33,7 | 90  | 4,0 | 1,39            | 4                      | 7 700         | 32 500                     | 19 800                      | <b>RRY 1.1/2"</b>   | 80 MSB     | GY 1108 KRRB |
|                                    | 147,5 | 3,5 | 13,5 | 43,7 | 119,0 | 58,0 | 10,3 | 36,2 | 90  | 5,0 | 1,36            | 4                      | 7 700         | 32 500                     | 19 800                      | <b>GRA 1.1/2"</b>   | 80 MSB/MSA | GRA 108 NPPB |
|                                    | 147,5 | 3,5 | 13,5 | 56,3 | 119,0 | 58,0 | 10,3 | 38,4 | 90  | 5,0 | 1,48            | 4                      | 7 700         | 32 500                     | 19 800                      | <b>GRR 1.1/2"</b>   | 80 MSB/MSA | G 1108 KRRB  |
| <b>39,688</b><br><i>(1.9/16")</i>  | 147,5 | 3,5 | 13,5 | 56,3 | 119,0 | 58,0 | 10,3 | 38,4 | 90  | 5,0 | 1,48            | 4                      | 7 700         | 32 500                     | 19 800                      | <b>RR 1.9/16"</b>   | 80 MSB     | G 1109 KRRB  |
|                                    | 147,5 | 3,5 | 13,5 | 56,3 | 119,0 | 58,0 | 10,3 | 38,4 | 90  | 5,0 | 1,48            | 4                      | 7 700         | 32 500                     | 19 800                      | <b>GRR 1.9/16"</b>  | 80 MSB/MSA | G 1109 KRRB  |
| <b>40</b>                          | 147,5 | 3,5 | 13,5 | 43,7 | 119,0 | 58,0 | 10,3 | 36,2 | 90  | 5,0 | 1,36            | 4                      | 7 700         | 32 500                     | 19 800                      | <b>RA 40</b>        | 80 MSB     | GRAE 40 NPPB |
|                                    | 147,5 | 3,5 | 13,5 | 56,3 | 119,0 | 58,0 | 10,3 | 38,4 | 90  | 5,0 | 1,48            | 4                      | 7 700         | 32 500                     | 19 800                      | <b>RR 40</b>        | 80 MSB     | GE 40 KRRB   |
|                                    | 147,5 | 3,5 | 13,5 | 49,2 | 119,0 | –    | 10,3 | 33,7 | 90  | 4,0 | 1,39            | 4                      | 7 700         | 32 500                     | 19 800                      | <b>RRY 40</b>       | 80 MSB     | GYE 40 KRRB  |
|                                    | 147,5 | 3,5 | 13,5 | 43,7 | 119,0 | 58,0 | 10,3 | 36,2 | 90  | 5,0 | 1,36            | 4                      | 7 700         | 32 500                     | 19 800                      | <b>GRA 40</b>       | 80 MSB/MSA | GRAE 40 NPPB |
|                                    | 147,5 | 3,5 | 13,5 | 56,3 | 119,0 | 58,0 | 10,3 | 38,4 | 90  | 5,0 | 1,48            | 4                      | 7 700         | 32 500                     | 19 800                      | <b>GRR 40</b>       | 80 MSB/MSA | GE 40 KRRB   |
| <b>41,275</b><br><i>(1.5/8")</i>   | 149,2 | 3,5 | 13,5 | 56,3 | 120,5 | 63,0 | 11,1 | 38,4 | 95  | 5,0 | 1,53            | 4                      | 7 700         | 32 500                     | 20 400                      | <b>RR 1.5/8"</b>    | 85 MSB     | G 1110 KRRB  |
|                                    | 149,2 | 3,5 | 13,5 | 56,3 | 120,5 | 63,0 | 11,1 | 38,4 | 95  | 5,0 | 1,53            | 4                      | 7 700         | 32 500                     | 20 400                      | <b>GRR 1.5/8"</b>   | 85 MSB/MSA | G 1110 KRRB  |
| <b>42,863</b><br><i>(1.11/16")</i> | 149,2 | 3,5 | 13,5 | 56,3 | 120,5 | 63,0 | 11,1 | 38,4 | 95  | 5,0 | 1,53            | 4                      | 7 700         | 32 500                     | 20 400                      | <b>RR 1.11/16"</b>  | 85 MSB     | G 1111 KRRB  |
|                                    | 149,2 | 3,5 | 13,5 | 56,3 | 120,5 | 63,0 | 11,1 | 38,4 | 95  | 5,0 | 1,53            | 4                      | 7 700         | 32 500                     | 20 400                      | <b>GRR 1.11/16"</b> | 85 MSB/MSA | G 1111 KRRB  |
| <b>44,450</b><br><i>(1.3/4")</i>   | 149,2 | 3,5 | 13,5 | 43,7 | 120,5 | 63,0 | 11,1 | 36,2 | 95  | 5,0 | 1,41            | 4                      | 7 700         | 32 500                     | 20 400                      | <b>RA 1.3/4"</b>    | 85 MSB     | GRA 112 NPPB |
|                                    | 149,2 | 3,5 | 13,5 | 56,3 | 120,5 | 63,0 | 11,1 | 38,4 | 95  | 5,0 | 1,53            | 4                      | 7 700         | 32 500                     | 20 400                      | <b>RR 1.3/4"</b>    | 85 MSB     | G 1112 KRRB  |
|                                    | 149,2 | 3,5 | 13,5 | 49,2 | 120,5 | –    | 11,1 | 33,7 | 95  | 4,0 | 1,42            | 4                      | 7 700         | 32 500                     | 20 400                      | <b>RRY 1.3/4"</b>   | 85 MSB     | GY 1112 KRRB |
|                                    | 149,2 | 3,5 | 13,5 | 43,7 | 120,5 | 63,0 | 11,1 | 36,2 | 95  | 5,0 | 1,41            | 4                      | 7 700         | 32 500                     | 20 400                      | <b>GRA 1.3/4"</b>   | 85 MSB/MSA | GRA 112 NPPB |
|                                    | 149,2 | 3,5 | 13,5 | 56,3 | 120,5 | 63,0 | 11,1 | 38,4 | 95  | 5,0 | 1,53            | 4                      | 7 700         | 32 500                     | 20 400                      | <b>GRR 1.3/4"</b>   | 85 MSB/MSA | G 1112 KRRB  |
| <b>45</b>                          | 149,2 | 3,5 | 13,5 | 43,7 | 120,5 | 63,0 | 11,1 | 36,2 | 95  | 5,0 | 1,41            | 4                      | 7 700         | 32 500                     | 20 400                      | <b>RA 45</b>        | 85 MSB     | GRAE 45 NPPB |
|                                    | 149,2 | 3,5 | 13,5 | 56,3 | 120,5 | 63,0 | 11,1 | 38,4 | 95  | 5,0 | 1,53            | 4                      | 7 700         | 32 500                     | 20 400                      | <b>RR 45</b>        | 85 MSB     | GE 45 KRRB   |
|                                    | 149,2 | 3,5 | 13,5 | 49,2 | 120,5 | –    | 11,1 | 33,7 | 95  | 4,0 | 1,42            | 4                      | 7 700         | 32 500                     | 20 400                      | <b>RRY 45</b>       | 85 MSB     | GYE 45 KRRB  |
|                                    | 149,2 | 3,5 | 13,5 | 43,7 | 120,5 | 63,0 | 11,1 | 36,2 | 95  | 5,0 | 1,41            | 4                      | 7 700         | 32 500                     | 20 400                      | <b>GRA 45</b>       | 85 MSB/MSA | GRAE 45 NPPB |
|                                    | 149,2 | 3,5 | 13,5 | 56,3 | 120,5 | 63,0 | 11,1 | 38,4 | 95  | 5,0 | 1,53            | 4                      | 7 700         | 32 500                     | 20 400                      | <b>GRR 45</b>       | 85 MSB/MSA | GE 45 KRRB   |
| <b>49,212</b><br><i>(1.15/16")</i> | 155,5 | 4,0 | 13,5 | 62,7 | 127,0 | 69,0 | 11,1 | 42,1 | 100 | 5,0 | 1,91            | 4                      | 8 600         | 35 000                     | 23 200                      | <b>RR 1.15/16"</b>  | 90 MSB     | G 1115 KRRB  |
|                                    | 155,5 | 4,0 | 13,5 | 51,6 | 127,0 | –    | 11,1 | 36,6 | 100 | 4,0 | 1,71            | 4                      | 8 600         | 35 000                     | 23 200                      | <b>RRY 1.15/16"</b> | 90 MSB     | GY 1115 KRRB |
|                                    | 155,5 | 4,0 | 13,5 | 43,7 | 127,0 | 69,0 | 11,1 | 36,7 | 100 | 5,0 | 1,68            | 4                      | 8 600         | 35 000                     | 23 200                      | <b>GRA 1.15/16"</b> | 90 MSB/MSA | GRA 115 NPPB |
|                                    | 155,5 | 4,0 | 13,5 | 62,7 | 127,0 | 69,0 | 11,1 | 42,1 | 100 | 5,0 | 1,91            | 4                      | 8 600         | 35 000                     | 23 200                      | <b>GRR 1.15/16"</b> | 90 MSB/MSA | G 1115 KRRB  |
| <b>50</b>                          | 155,5 | 4,0 | 13,5 | 43,7 | 127,0 | 69,0 | 11,1 | 36,7 | 100 | 5,0 | 1,68            | 4                      | 8 600         | 35 000                     | 23 200                      | <b>RA 50</b>        | 90 MSB     | GRAE 50 NPPB |
|                                    | 155,5 | 4,0 | 13,5 | 62,7 | 127,0 | 69,0 | 11,1 | 42,1 | 100 | 5,0 | 1,91            | 4                      | 8 600         | 35 000                     | 23 200                      | <b>RR 50</b>        | 90 MSB     | GE 50 KRRB   |
|                                    | 155,5 | 4,0 | 13,5 | 51,6 | 127,0 | –    | 11,1 | 36,6 | 100 | 4,0 | 1,71            | 4                      | 8 600         | 35 000                     | 23 200                      | <b>RRY 50</b>       | 90 MSB     | GYE 50 KRRB  |
|                                    | 155,5 | 4,0 | 13,5 | 43,7 | 127,0 | 69,0 | 11,1 | 36,7 | 100 | 5,0 | 1,68            | 4                      | 8 600         | 35 000                     | 23 200                      | <b>GRA 50</b>       | 90 MSB/MSA | GRAE 50 NPPB |
|                                    | 155,5 | 4,0 | 13,5 | 62,7 | 127,0 | 69,0 | 11,1 | 42,1 | 100 | 5,0 | 1,91            | 4                      | 8 600         | 35 000                     | 23 200                      | <b>GRR 50</b>       | 90 MSB/MSA | GE 50 KRRB   |

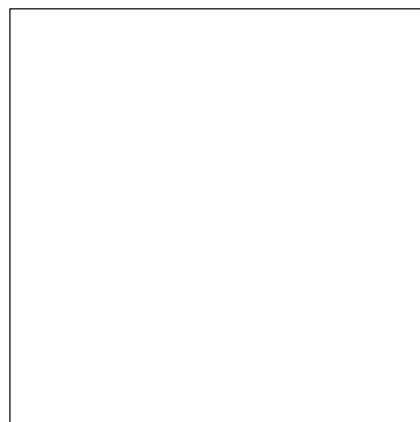
1) Cg = capacidade básica de carga radial admissível no mancal.

# Mancal de chapa de aço repuxada

tipo flange



RAT

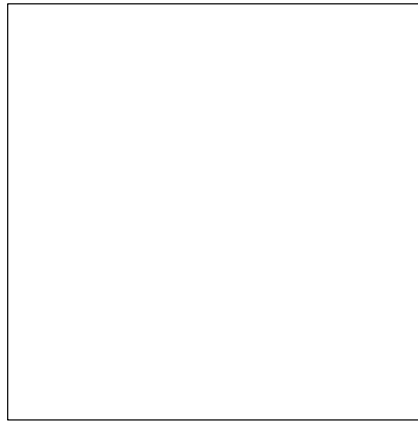
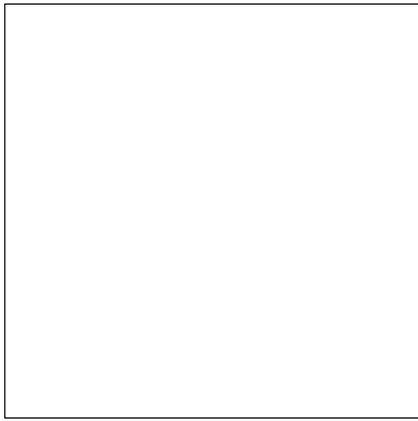


RRT

**Tabela de medidas** - Medidas em mm e polegada

| Medidas                           |      |       |     |      |      |      |      |     |      |    |     | Peso <sup>1)</sup> |       | Capacidade básica de carga |                       | Denominação         |        |              |
|-----------------------------------|------|-------|-----|------|------|------|------|-----|------|----|-----|--------------------|-------|----------------------------|-----------------------|---------------------|--------|--------------|
| d                                 | A    | B     | C   | K    | L    | M    | R    | T   | U    | V  | SW  | ≈ kg               | Cg N  | din. C N                   | est. C <sub>0</sub> N | Conjunto            | Mancal | Rolamento    |
| <b>19,050</b><br><i>(3/4")</i>    | 66,0 | 90,5  | 2,0 | 8,7  | 31,0 | 71,5 | 33,0 | 8,0 | 25,5 | 55 | 3,0 | 0,25               | 3 200 | 12 800                     | 6 600                 | <b>RAT 3/4"</b>     | 47 MST | GRA 012 NPPB |
|                                   | 66,0 | 90,5  | 2,0 | 8,7  | 43,7 | 71,5 | 33,0 | 8,0 | 28,6 | 55 | 3,0 | 0,29               | 3 200 | 12 800                     | 6 600                 | <b>RRT 3/4"</b>     | 47 MST | G 1012 KRRB  |
|                                   | 66,0 | 90,5  | 2,0 | 8,7  | 31,0 | 71,5 | –    | 8,0 | 20,6 | 55 | 2,5 | 0,26               | 3 200 | 12 800                     | 6 600                 | <b>RRTY 3/4"</b>    | 47 MST | GY 1012 KRRB |
| <b>20</b>                         | 66,0 | 90,5  | 2,0 | 8,7  | 31,0 | 71,5 | 33,0 | 8,0 | 25,5 | 55 | 3,0 | 0,25               | 3 200 | 12 800                     | 6 600                 | <b>RAT 20</b>       | 47 MST | GRAE 20 NPPB |
|                                   | 66,0 | 90,5  | 2,0 | 8,7  | 43,7 | 71,5 | 33,0 | 8,0 | 28,6 | 55 | 3,0 | 0,29               | 3 200 | 12 800                     | 6 600                 | <b>RRT 20</b>       | 47 MST | GE 20 KRRB   |
|                                   | 66,0 | 90,5  | 2,0 | 8,7  | 31,0 | 71,5 | –    | 8,0 | 20,6 | 55 | 2,5 | 0,26               | 3 200 | 12 800                     | 6 600                 | <b>RRTY 20</b>      | 47 MST | GYE 20 KRRB  |
| <b>22,225</b><br><i>(7/8")</i>    | 71,0 | 95,2  | 2,0 | 8,7  | 31,0 | 76,0 | 37,5 | 8,7 | 25,5 | 60 | 3,0 | 0,34               | 3 650 | 14 000                     | 7 800                 | <b>RAT 7/8"</b>     | 52 MST | GRA 014 NPPB |
|                                   | 71,0 | 95,2  | 2,0 | 8,7  | 44,4 | 76,0 | 37,5 | 8,7 | 28,9 | 60 | 3,0 | 0,40               | 3 650 | 14 000                     | 7 800                 | <b>RRT 7/8"</b>     | 52 MST | G 1014 KRRB  |
|                                   | 71,0 | 95,2  | 2,0 | 8,7  | 34,1 | 76,0 | –    | 8,7 | 22,2 | 60 | 2,5 | 0,35               | 3 650 | 14 000                     | 7 800                 | <b>RRTY 7/8"</b>    | 52 MST | GY 1014 KRRB |
| <b>23,813</b><br><i>(15/16")</i>  | 71,0 | 95,2  | 2,0 | 8,7  | 44,4 | 76,0 | 37,5 | 8,7 | 28,9 | 60 | 3,0 | 0,40               | 3 650 | 14 000                     | 7 800                 | <b>RRT 15/16"</b>   | 52 MST | G 1015 KRRB  |
| <b>25</b>                         | 71,0 | 95,2  | 2,0 | 8,7  | 31,0 | 76,0 | 37,5 | 8,7 | 25,5 | 60 | 3,0 | 0,34               | 3 650 | 14 000                     | 7 800                 | <b>RAT 25</b>       | 52 MST | GRAE 25 NPPB |
|                                   | 71,0 | 95,2  | 2,0 | 8,7  | 44,4 | 76,0 | 37,5 | 8,7 | 28,9 | 60 | 3,0 | 0,40               | 3 650 | 14 000                     | 7 800                 | <b>RRT 25</b>       | 52 MST | GE 25 KRRB   |
|                                   | 71,0 | 95,2  | 2,0 | 8,7  | 34,1 | 76,0 | –    | 8,7 | 22,2 | 60 | 2,5 | 0,35               | 3 650 | 14 000                     | 7 800                 | <b>RRTY 25</b>      | 52 MST | GYE 25 KRRB  |
| <b>25,400</b><br><i>(1")</i>      | 71,0 | 95,2  | 2,0 | 8,7  | 31,0 | 76,0 | 37,5 | 8,7 | 25,5 | 60 | 3,0 | 0,34               | 3 650 | 14 000                     | 7 800                 | <b>RAT 1"</b>       | 52 MST | GRA 100 NPPB |
|                                   | 71,0 | 95,2  | 2,0 | 8,7  | 44,4 | 76,0 | 37,5 | 8,7 | 28,9 | 60 | 3,0 | 0,40               | 3 650 | 14 000                     | 7 800                 | <b>RRT 1"</b>       | 52 MST | G 1100 KRRB  |
|                                   | 71,0 | 95,2  | 2,0 | 8,7  | 34,1 | 76,0 | –    | 8,7 | 22,2 | 60 | 2,5 | 0,35               | 3 650 | 14 000                     | 7 800                 | <b>RRTY 1"</b>      | 52 MST | GY 1100 KRRB |
| <b>28,575</b><br><i>(1.1/8")</i>  | 84,0 | 112,7 | 2,5 | 10,5 | 35,7 | 90,5 | 44,0 | 8,7 | 29,2 | 71 | 4,0 | 0,49               | 5 000 | 19 500                     | 11 300                | <b>RAT 1.1/8"</b>   | 62 MST | GRA 102 NPPB |
|                                   | 84,0 | 112,7 | 2,5 | 10,5 | 48,4 | 90,5 | 44,0 | 8,7 | 32,6 | 71 | 4,0 | 0,56               | 5 000 | 19 500                     | 11 300                | <b>RRT 1.1/8"</b>   | 62 MST | G 1102 KRRB  |
|                                   | 84,0 | 112,7 | 2,5 | 10,5 | 38,1 | 90,5 | –    | 8,7 | 25,1 | 71 | 3,0 | 0,51               | 5 000 | 19 500                     | 11 300                | <b>RRTY 1.1/8"</b>  | 62 MST | GY 1102 KRRB |
| <b>30</b>                         | 84,0 | 112,7 | 2,5 | 10,5 | 35,7 | 90,5 | 44,0 | 8,7 | 29,2 | 71 | 4,0 | 0,49               | 5 000 | 19 500                     | 11 300                | <b>RAT 30</b>       | 62 MST | GRAE 30 NPPB |
|                                   | 84,0 | 112,7 | 2,5 | 10,5 | 48,4 | 90,5 | 44,0 | 8,7 | 32,6 | 71 | 4,0 | 0,56               | 5 000 | 19 500                     | 11 300                | <b>RRT 30</b>       | 62 MST | GE 30 KRRB   |
|                                   | 84,0 | 112,7 | 2,5 | 10,5 | 38,1 | 90,5 | –    | 8,7 | 25,1 | 71 | 3,0 | 0,51               | 5 000 | 19 500                     | 11 300                | <b>RRTY 30</b>      | 62 MST | GYE 30 KRRB  |
| <b>30,162</b><br><i>(1.3/16")</i> | 84,0 | 112,7 | 2,5 | 10,5 | 48,4 | 90,5 | 44,0 | 8,7 | 32,6 | 71 | 4,0 | 0,56               | 5 000 | 19 500                     | 11 300                | <b>RRT 1.3/16"</b>  | 62 MST | G 1103 KRRB  |
|                                   | 84,0 | 112,7 | 2,5 | 10,5 | 38,1 | 90,5 | –    | 8,7 | 25,1 | 71 | 3,0 | 0,51               | 5 000 | 19 500                     | 11 300                | <b>RRTY 1.3/16"</b> | 62 MST | GY 1103 KRRB |

<sup>1)</sup> Cg = capacidade básica de carga radial admissível no mancal.



RRTY

RAT  
RRT  
RRTY

**Tabela de medidas** · Medidas em mm e polegada

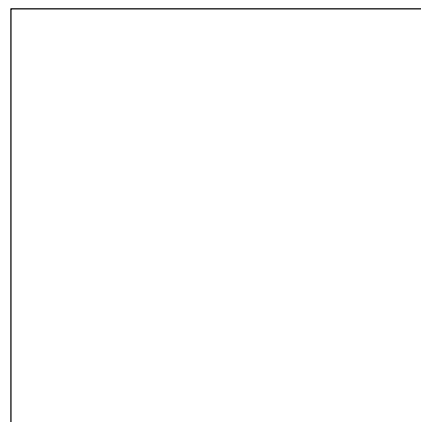
| Medidas                           |       |       |     |      |      |       |      |      |      |    |     | Peso<br>≈<br>kg | 1)<br>Cg<br>N | Capacidade<br>básica de carga |                             | Denominação            |        |                  |
|-----------------------------------|-------|-------|-----|------|------|-------|------|------|------|----|-----|-----------------|---------------|-------------------------------|-----------------------------|------------------------|--------|------------------|
| d                                 | A     | B     | C   | K    | L    | M     | R    | T    | U    | V  | SW  |                 |               | din.<br>C<br>N                | est.<br>C <sub>0</sub><br>N | Conjunto               | Mancal | Rolamento        |
| <b>30,750</b><br><b>(1.1/4")</b>  | 84,0  | 112,7 | 2,5 | 10,5 | 35,7 | 90,5  | 44,0 | 8,7  | 29,2 | 71 | 4,0 | 0,49            | 5 000         | 19 500                        | 11 300                      | <b>RAT 1.1/4" AHO2</b> | 62 MST | GRA 103 NPPBAHO2 |
| <b>30,750</b><br><b>(1.1/4")</b>  | 93,7  | 123,0 | 2,5 | 10,5 | 38,9 | 100,0 | 51,0 | 10,5 | 31,5 | 81 | 5,0 | 0,72            | 6 300         | 25 500                        | 15 300                      | <b>RAT 1.1/4"</b>      | 72 MST | GRA 104 NPPB     |
|                                   | 93,7  | 123,0 | 2,5 | 10,5 | 51,1 | 100,0 | 51,0 | 10,5 | 34,8 | 81 | 5,0 | 0,79            | 6 300         | 25 500                        | 15 300                      | <b>RRT 1.1/4"</b>      | 72 MST | G 1104 KRRB      |
|                                   | 93,7  | 123,0 | 2,5 | 10,5 | 42,9 | 100,0 | –    | 10,5 | 27,9 | 81 | 3,0 | 0,73            | 6 300         | 25 500                        | 15 300                      | <b>RRTY 1.1/4"</b>     | 72 MST | GY 1104 KRRB     |
| <b>33,338</b><br><b>(1.5/16")</b> | 93,7  | 123,0 | 2,5 | 10,5 | 51,1 | 100,0 | 51,0 | 10,5 | 34,8 | 81 | 5,0 | 0,79            | 6 300         | 25 500                        | 15 300                      | <b>RRT 1.5/16"</b>     | 72 MST | G 1105 KRRB      |
| <b>34,925</b><br><b>(1.3/8")</b>  | 93,7  | 123,0 | 2,5 | 10,5 | 38,9 | 100,0 | 51,0 | 10,5 | 31,5 | 81 | 5,0 | 0,72            | 6 300         | 25 500                        | 15 300                      | <b>RAT 1.3/8"</b>      | 72 MST | GRA 106 NPPB     |
|                                   | 93,7  | 123,0 | 2,5 | 10,5 | 51,1 | 100,0 | 51,0 | 10,5 | 34,8 | 81 | 5,0 | 0,79            | 6 300         | 25 500                        | 15 300                      | <b>RRT 1.3/8"</b>      | 72 MST | G 1106 KRRB      |
|                                   | 93,7  | 123,0 | 2,5 | 10,5 | 42,9 | 100,0 | –    | 10,5 | 27,9 | 81 | 3,0 | 0,73            | 6 300         | 25 500                        | 15 300                      | <b>RRTY 1.3/8"</b>     | 72 MST | GY 1106 KRRB     |
| <b>35</b>                         | 93,7  | 123,0 | 2,5 | 10,5 | 38,9 | 100,0 | 51,0 | 10,5 | 31,5 | 81 | 5,0 | 0,72            | 6 300         | 25 500                        | 15 300                      | <b>RAT 35</b>          | 72 MST | GRAE 35 NPPB     |
|                                   | 93,7  | 123,0 | 2,5 | 10,5 | 51,1 | 100,0 | 51,0 | 10,5 | 34,8 | 81 | 5,0 | 0,79            | 6 300         | 25 500                        | 15 300                      | <b>RRT 35</b>          | 72 MST | GE 35 KRRB       |
|                                   | 93,7  | 123,0 | 2,5 | 10,5 | 42,9 | 100,0 | –    | 10,5 | 27,9 | 81 | 3,0 | 0,73            | 6 300         | 25 500                        | 15 300                      | <b>RRTY 35</b>         | 72 MST | GYE 35 KRRB      |
| <b>36,512</b><br><b>(1.7/16")</b> | 93,7  | 123,0 | 2,5 | 10,5 | 51,1 | 100,0 | 51,0 | 10,5 | 34,8 | 81 | 5,0 | 0,79            | 6 300         | 25 500                        | 15 300                      | <b>RRT 1.7/16"</b>     | 72 MST | G 1107 KRRB      |
| <b>38,100</b><br><b>(1.1/2")</b>  | 100,0 | 148,0 | 3,5 | 13,5 | 56,3 | 119,0 | 58,0 | 11,5 | 38,4 | 90 | 5,0 | 1,10            | 7 000         | 32 500                        | 19 800                      | <b>RRT 1.1/2"</b>      | 80 MST | G 1108 KRRB      |
|                                   | 100,0 | 148,0 | 3,5 | 13,5 | 49,2 | 119,0 | –    | 11,5 | 30,8 | 90 | 4,0 | 1,01            | 7 000         | 32 500                        | 19 800                      | <b>RRTY 1.1/2"</b>     | 80 MST | GY 1108 KRRB     |
| <b>39,688</b><br><b>(1.9/16")</b> | 100,0 | 148,0 | 3,5 | 13,5 | 56,3 | 119,0 | 58,0 | 11,5 | 38,4 | 90 | 5,0 | 1,10            | 7 000         | 32 500                        | 19 800                      | <b>RRT 1.9/16"</b>     | 80 MST | G 1109 KRRB      |
| <b>40</b>                         | 100,0 | 148,0 | 3,5 | 13,5 | 43,7 | 119,0 | 58,0 | 11,5 | 36,2 | 90 | 5,0 | 0,98            | 7 000         | 32 500                        | 19 800                      | <b>RAT 40</b>          | 80 MST | GRAE 40 NPPB     |
|                                   | 100,0 | 148,0 | 3,5 | 13,5 | 56,3 | 119,0 | 58,0 | 11,5 | 38,4 | 90 | 5,0 | 1,10            | 7 000         | 32 500                        | 19 800                      | <b>RRT 40</b>          | 80 MST | GE 40 KRRB       |
|                                   | 100,0 | 148,0 | 3,5 | 13,5 | 49,2 | 119,0 | –    | 11,5 | 30,8 | 90 | 4,0 | 1,01            | 7 000         | 32 500                        | 19 800                      | <b>RRTY 40</b>         | 80 MST | GYE 40 KRRB      |

1) Cg = capacidade básica de carga radial admissível no mancal.

# Rolamentos de esferas especiais



ORAE..NPPB  
F-...

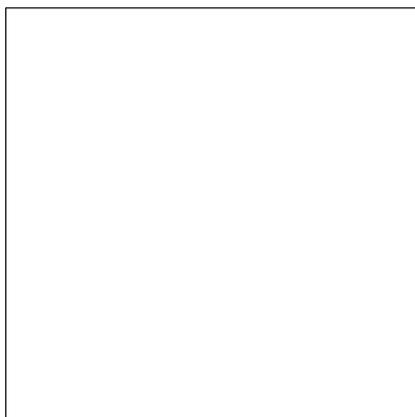


2..KRR

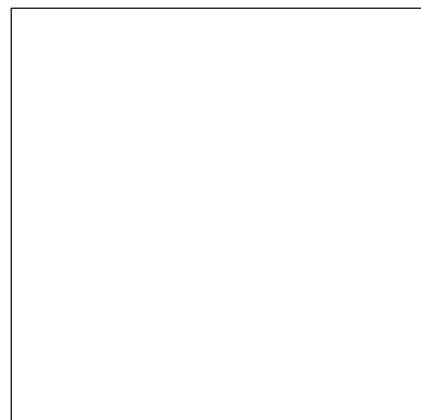
**Tabela de medidas** - Medidas em mm e polegada

| Medidas                        |    |    |                |      |      |      |                |      |      |     | Peso<br>≈<br>kg | Capacidade básica de carga |                             | Código                |
|--------------------------------|----|----|----------------|------|------|------|----------------|------|------|-----|-----------------|----------------------------|-----------------------------|-----------------------|
| d                              | D  | B  | B <sub>1</sub> | C    | E    | F    | F <sub>1</sub> | L    | R    | SW  |                 | din.<br>C<br>N             | est.<br>C <sub>0</sub><br>N |                       |
| <b>19,050</b><br><i>(3/4")</i> | 47 | 14 | -              | 21,4 | 7,5  | 26,9 | -              | 31,0 | 33,0 | 3,0 | 0,16            | 12 800                     | 6 600                       | <b>RA 012 NPP</b>     |
| <b>22,225</b><br><i>(7/8")</i> | 52 | 15 | -              | 21,4 | 7,5  | 30,5 | -              | 31,0 | 37,5 | 3,0 | 0,19            | 14 000                     | 7 800                       | <b>RA 014 NPP</b>     |
| <b>25,400</b><br><i>(1")</i>   | 52 | 15 | -              | 21,4 | 7,5  | 30,5 | -              | 31,0 | 37,5 | 3,0 | 0,19            | 14 000                     | 7 800                       | <b>RA 100 NPP</b>     |
| <b>30</b>                      | 62 | 18 | 20,7           | -    | -    | 40,2 | 52,0           | 26,0 | -    | -   | 0,25            | 19 500                     | 11 300                      | <b>F-110097*</b>      |
|                                | 62 | 18 | -              | 23,8 | 9,0  | 37,4 | -              | 35,7 | 44,0 | 4,0 | 0,31            | 19 500                     | 11 300                      | <b>RAE 30 NPP</b>     |
|                                | 62 | 18 | -              | -    | -    | 37,4 | -              | -    | -    | -   | 0,20            | 19 500                     | 11 300                      | <b>ORAE 30 NPPB*</b>  |
|                                | 62 | 18 | 20,7           | 36,5 | 18,3 | 40,2 | 52,0           | 48,4 | 44,0 | 4,0 | 0,38            | 19 500                     | 11 300                      | <b>E 30 KRR</b>       |
| <b>35</b>                      | 72 | 17 | 19,7           | -    | -    | 46,8 | 60,3           | 25,0 | -    | -   | 0,35            | 25 500                     | 15 300                      | <b>207 KRR AHO3</b>   |
|                                | 72 | 19 | -              | -    | -    | 44,6 | -              | -    | -    | -   | 0,36            | 25 500                     | 15 300                      | <b>F-45955*</b>       |
| <b>38,892</b>                  | 80 | 21 | 21,2           | -    | -    | 52,3 | 68,3           | 27,5 | -    | -   | 0,46            | 32 500                     | 19 800                      | <b>208 KRR AHO4</b>   |
| <b>40</b>                      | 80 | 21 | 23,5           | -    | -    | 52,3 | 68,3           | 27,0 | -    | -   | 0,44            | 32 500                     | 19 800                      | <b>208 KRR AHO1</b>   |
|                                | 80 | 21 | 23,5           | -    | -    | 52,3 | 68,3           | 27,0 | -    | -   | 0,44            | 32 500                     | 19 800                      | <b>208 KRRB AHO1*</b> |
| <b>45</b>                      | 85 | 21 | 21,0           | -    | -    | 57,9 | -              | 27,0 | -    | -   | 0,54            | 32 500                     | 20 400                      | <b>209 KRR AHO2</b>   |

\* Anel externo esférico



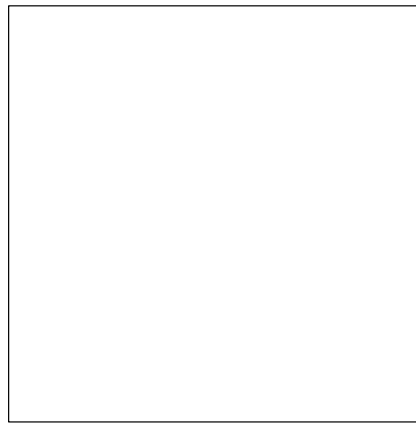
RAE..NPP  
RA..NPP



E..KRR

# Rolamentos de esferas de fixação rápida com anel de borracha

Estes rolamentos tem como principal característica a absorção de vibrações e de choques de cargas, permitem desalinhamentos dos eixos e oferecem um funcionamento silencioso. Dureza da borracha: 55°-75° Shore A.



RCR



RCSM

**Tabela de medidas** · Medidas em mm e polegada

| Medidas                        |      |      |                |      |      |      |      |      |     | Peso<br>≈<br>kg | 1)<br>Cg<br>N | Capacidade básica de carga |                             | Denominação        |            |      |
|--------------------------------|------|------|----------------|------|------|------|------|------|-----|-----------------|---------------|----------------------------|-----------------------------|--------------------|------------|------|
| d                              | D    | B    | B <sub>1</sub> | F    | L    | O    | P    | R    | SW  |                 |               | din.<br>C<br>N             | est.<br>C <sub>0</sub><br>N | Conjunto           | Rolamento  | Tipo |
| <b>19,050</b><br><b>(3/4")</b> | 51,0 | 18,3 | 16,0           | 40,0 | 31,0 | 23,5 | 10,3 | 33,0 | 3,0 | 0,18            | 900           | 12 800                     | 6 600                       | <b>F-45893</b>     | RA 012 NPP | RCR  |
| <b>25,400</b><br><b>(1")</b>   | 65,0 | 25,4 | -              | 46,0 | 31,0 | 23,5 | 12,7 | 37,5 | 3,0 | 0,24            | 1 400         | 14 000                     | 7 800                       | <b>RCSM-B1"/65</b> | RA 100 NPP | RCSM |
| <b>30</b>                      | 72,0 | 28,0 | -              | 56,0 | 35,7 | 26,8 | 14,0 | 44,0 | 4,0 | 0,35            | 1 400         | 19 500                     | 11 300                      | <b>F-45894</b>     | RA 30 NPP  | RCSM |

1) Cg = capacidade básica de carga radial admissível no anel de borracha.

# Rolamentos de esferas especiais com furo sextavado

São rolamentos com anel interno mais largo e vedação tipo R. As tolerâncias de fabricação, exceto o furo, são conforme DIN 620 classe PN. Engraxado com graxa de sabão de lítio.

G2..KRRB AH..

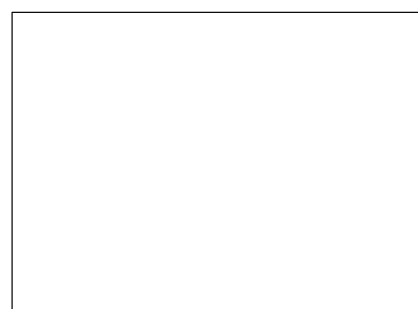
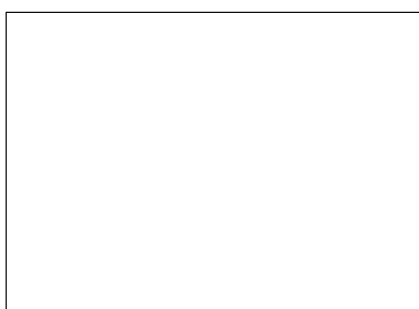
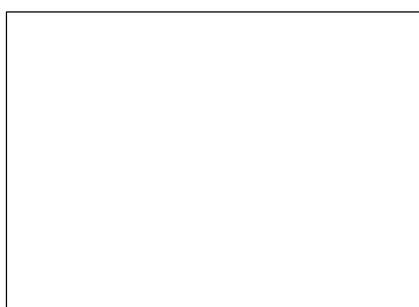
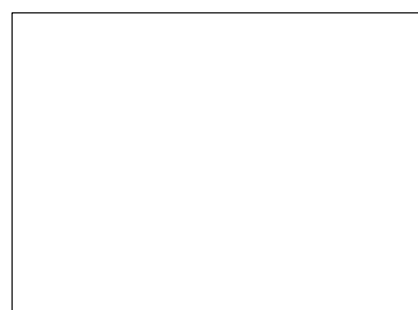
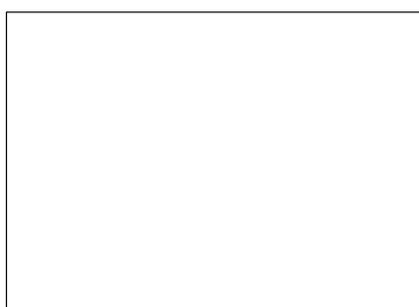
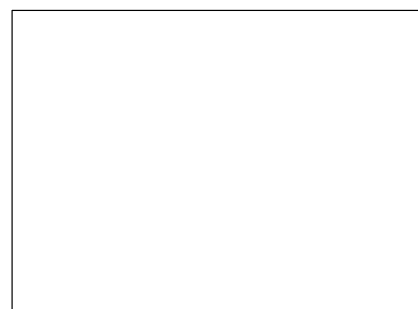
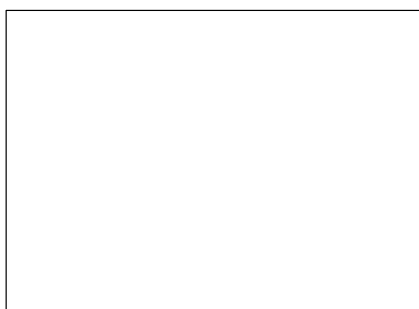


2..KPPB3 AH..

**Tabela de medidas** - Medidas em mm e polegada

| Medidas      |    |    |                |      |                |                |      |     |      | Peso<br>≈<br>kg | Rotações<br>máximas<br>min <sup>-1</sup> | Folga<br>radial | Capacidade<br>básica de carga |                             | Código             | Tipo           |
|--------------|----|----|----------------|------|----------------|----------------|------|-----|------|-----------------|--|-----------------|-------------------------------|-----------------------------|--------------------|----------------|
| d            | D  | B  | B <sub>1</sub> | F    | F <sub>1</sub> | F <sub>2</sub> | L    | G   | r    |                 |  |                 | din.<br>C<br>N                | est.<br>C <sub>0</sub><br>N |                    |                |
| <b>22,25</b> | 52 | 15 | 16,7           | 33,8 | 26,2           | 42,6           | 25,4 | 3,9 | 0,13 | 0,20            | 900                                      | Normal          | 14 000                        | 7 800                       | <b>205KRRBAH02</b> | -              |
| <b>28,60</b> | 72 | 19 | 22,5           | 46,8 | 38,0           | 60,3           | 37,7 | 5,7 | 0,25 | 0,50            | 900                                      | C3              | 25 500                        | 15 300                      | <b>F-45802</b>     | 2.. KRRB AH..  |
|              | 72 | 19 | 22,5           | 46,8 | 38,0           | 60,3           | 37,7 | 5,7 | 0,25 | 0,50            | 900                                      | C3              | 25 500                        | 15 300                      | <b>F-45802.1</b>   | 2.. KPPB3 AH.. |

# Instruções para montagem de rolamentos de esferas de fixação rápida



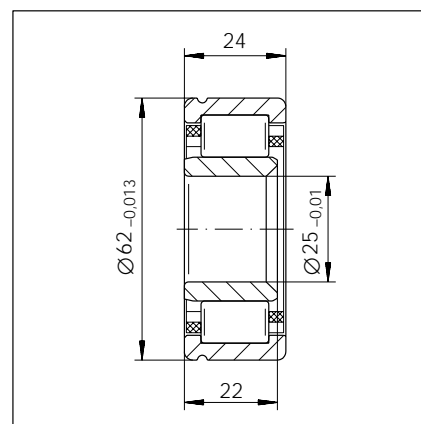
Para alinhar os mancais, girar o eixo e em seguida apertar os parafusos

Apertar o anel de fixação no sentido de rotação do eixo por meio de um pino e martelo

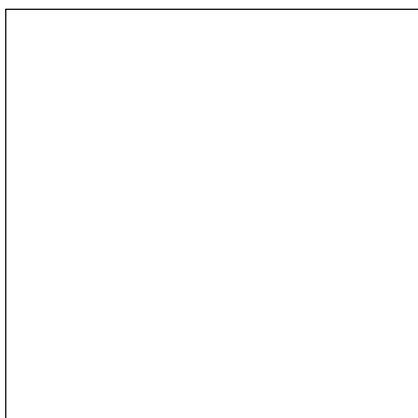
Travar o rolamento no eixo através do parafuso de fixação do anel excêntrico

# Produtos diversos

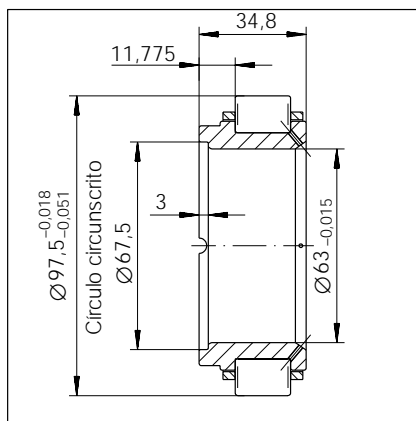
Rolamentos de rolos especiais com ou sem gaiola



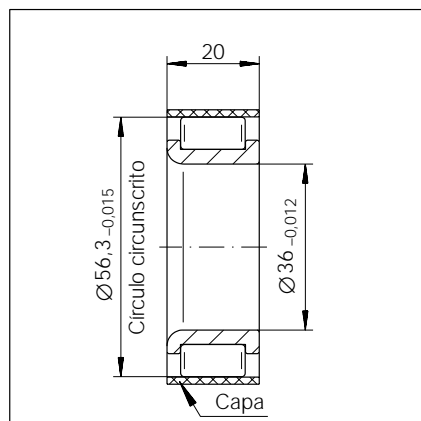
F-45810



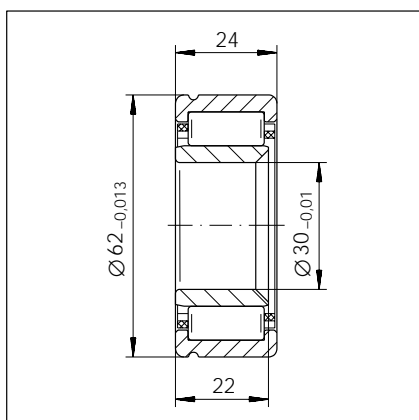
F-45814



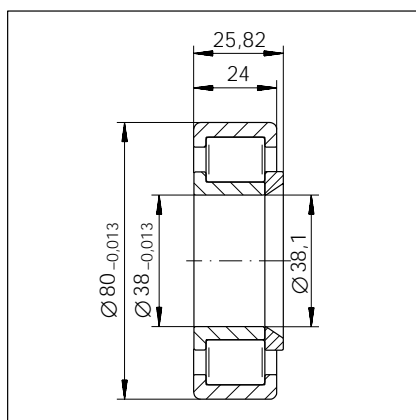
F-90836.1



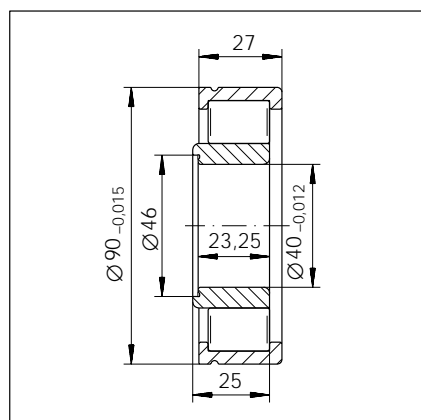
F-93666.2



F-110214.1



F-110267.1



F-210540

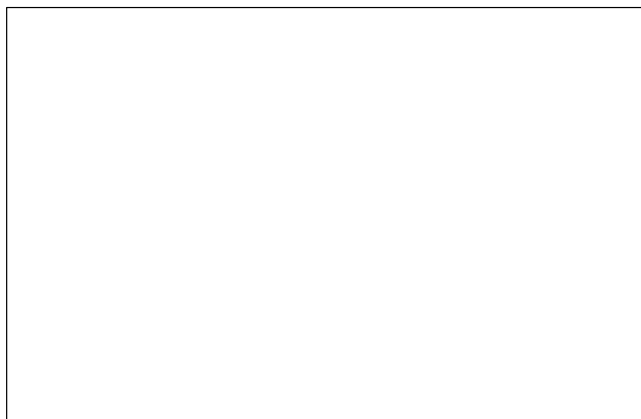


Anéis tripóides com agulhas

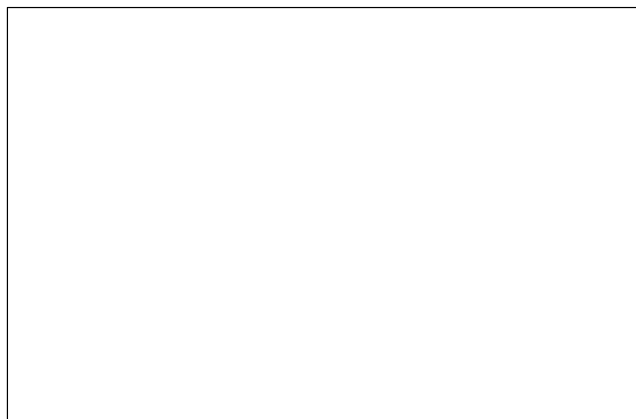
| Código           | Medidas em mm                                 |                         |      |
|------------------|---|-------------------------|------|
|                  | F <sub>w</sub>                                | K                       | C    |
| <b>74-26771</b>  | 14,973 <sup>+0,014</sup>                      | 27,98 <sub>-0,021</sub> | 10,5 |
| <b>F-45785</b>   | 17,243 <sup>+0,025</sup><br><sub>+0,016</sub> | 29,95 <sub>-0,021</sub> | 12   |
| <b>F-45300 A</b> | 17,273 <sup>+0,025</sup><br><sub>+0,016</sub> | 29,95 <sub>-0,021</sub> | 12   |
| <b>F-45925</b>   | 17,860 <sup>+0,029</sup><br><sub>+0,012</sub> | 31,95 <sub>-0,035</sub> | 10,6 |
| <b>F-45925.1</b> | 17,830 <sup>+0,029</sup><br><sub>+0,012</sub> | 31,95 <sub>-0,035</sub> | 10,6 |

# Produtos diversos

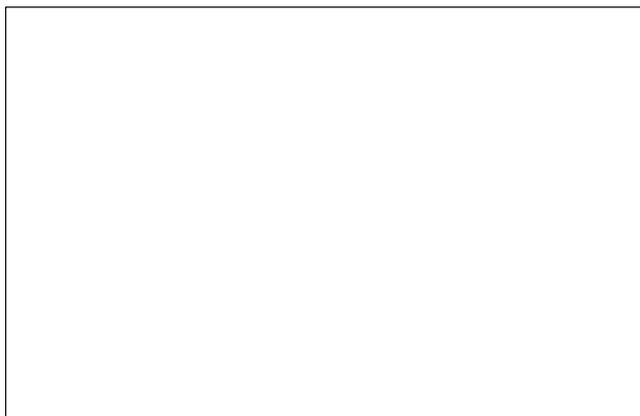
Anéis para direção hidráulica



Anel externo F-44520

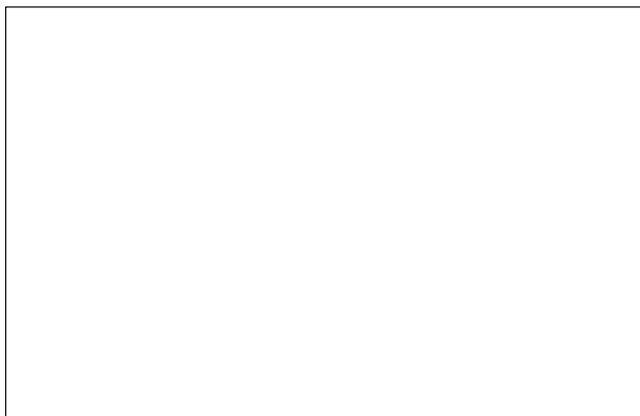


Anel externo F-44075



Anel interno

| Código         | Medidas em mm            |
|----------------|--------------------------|
|                | F <sub>1</sub>           |
| <b>F-15122</b> | 28,008 <sup>+0,009</sup> |
| <b>F-28619</b> | 28,023 <sup>+0,009</sup> |

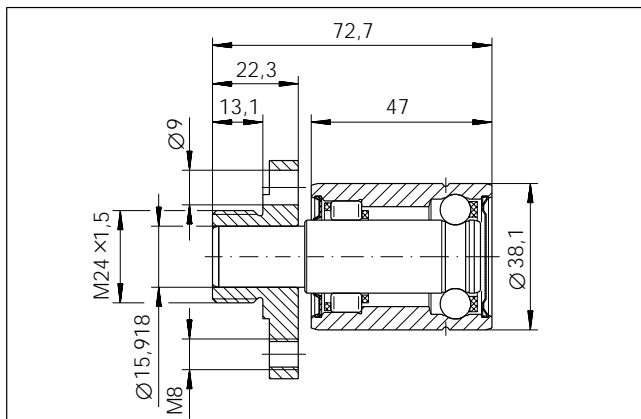


Anel interno

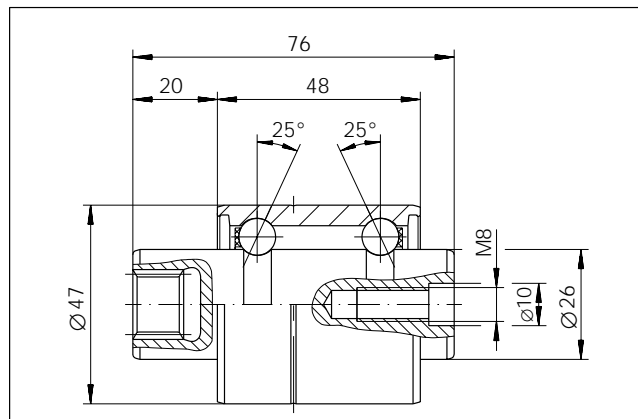
| Código         | Medidas em mm                                 |
|----------------|---|
|                | F <sub>1</sub>                                |
| <b>F-44306</b> | 38 <sup>+0,029</sup><br><sup>+0,022</sup>     |
| <b>F-44305</b> | 38,015 <sup>+0,020</sup><br><sup>+0,007</sup> |

Observação: os anéis são fornecidos sem as esferas.

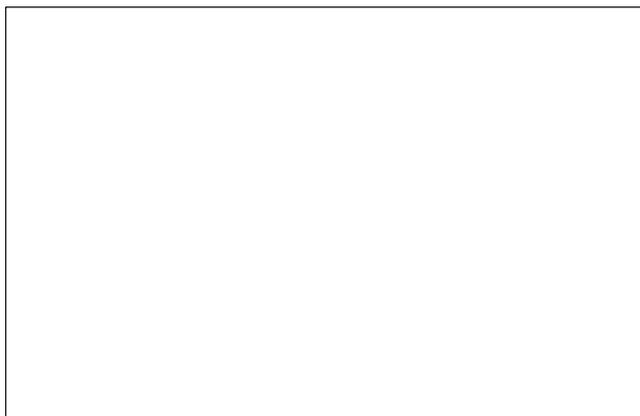
# Produtos diversos



F-110607.1



F-226707.2

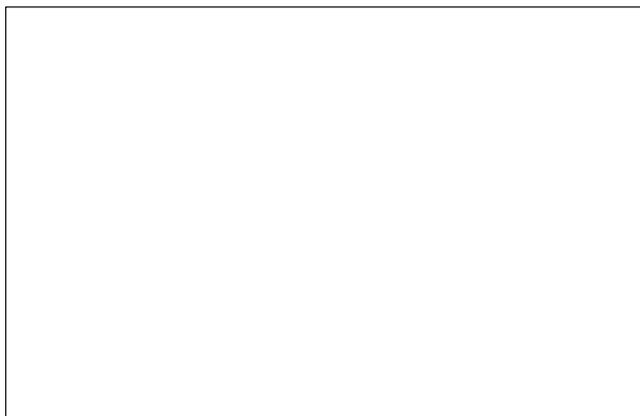


Anel externo de articulação esférica

| Código         | Medidas em mm |    |    |    |
|----------------|---------------|----|----|----|
|                | D             | B  | K  | 1) |
| <b>16-411</b>  | 43            | 18 | 37 | +  |
| <b>F-45192</b> | 72            | 25 | 62 | *  |

1) (+) Anel bi-partido e fosfatizado.

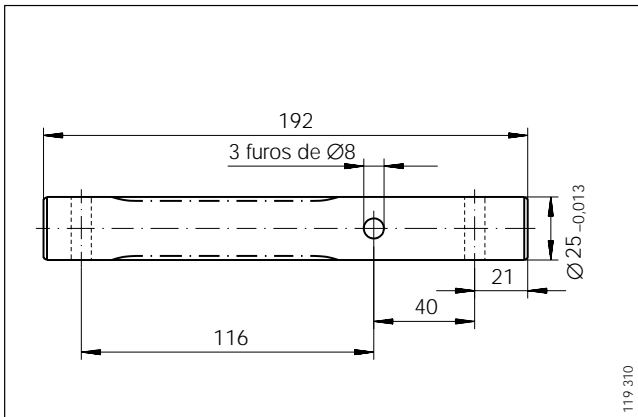
(\*) Anel partido e fosfatizado.



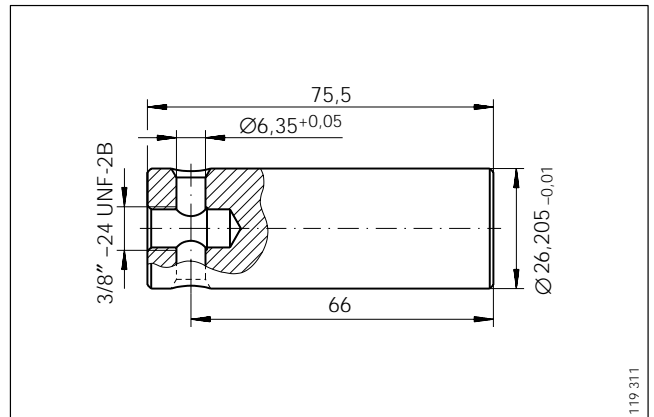
Peso regulador F-45481

# Produtos diversos

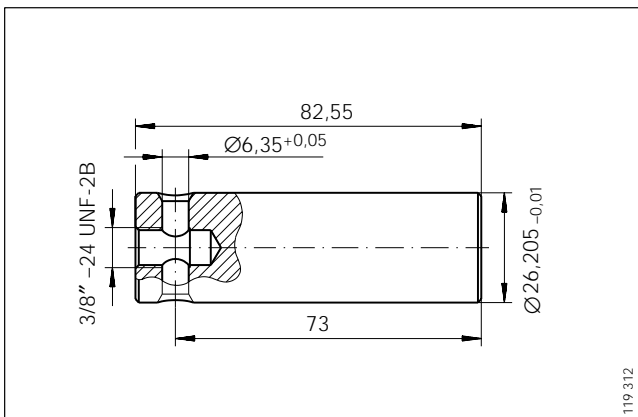
Eixos temperados e retificados



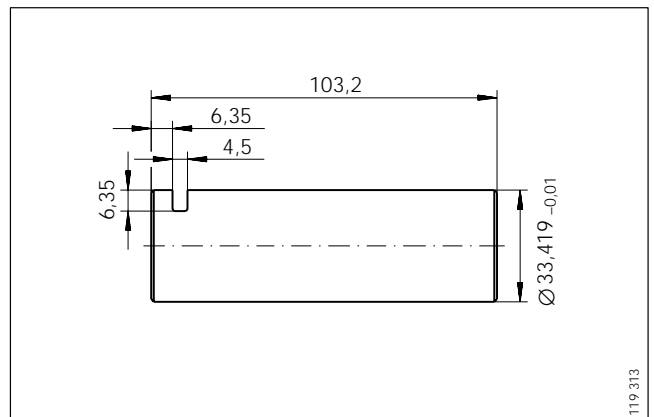
F-111021



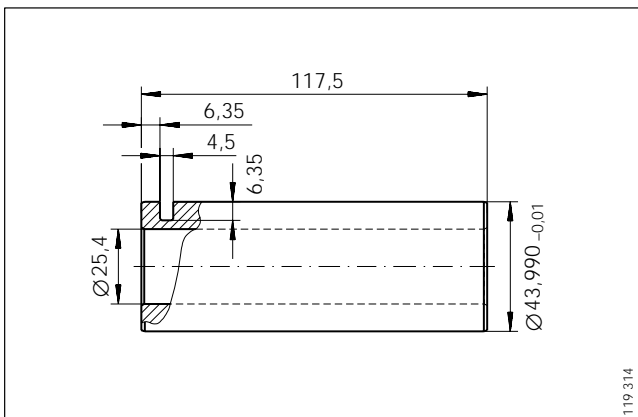
F-111028



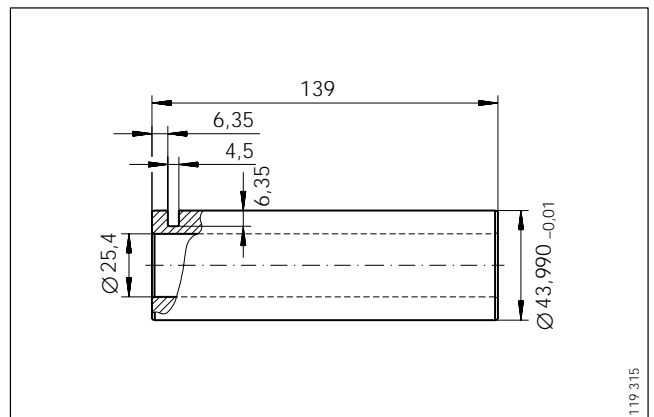
F-111029



F-111030



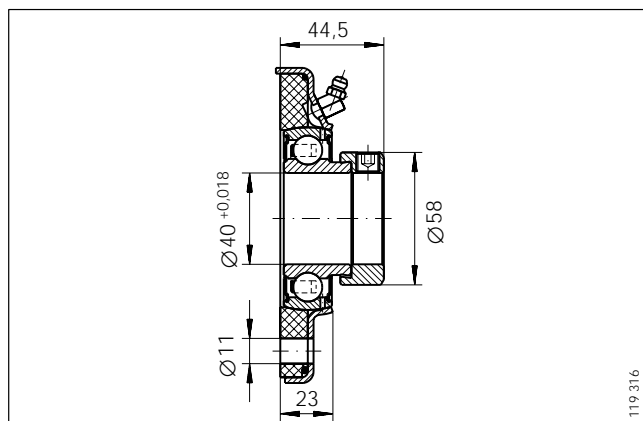
F-111031



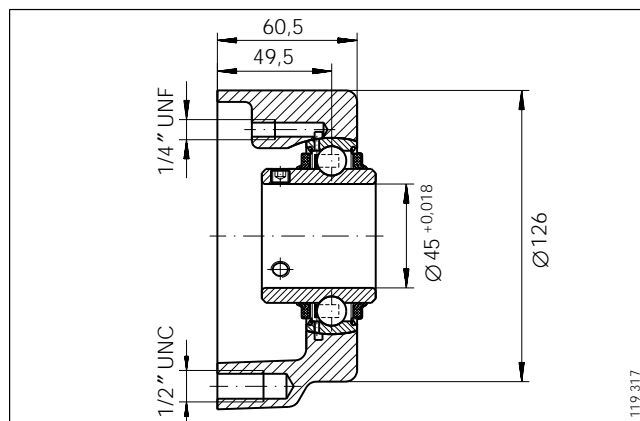
F-111032

# Produtos diversos

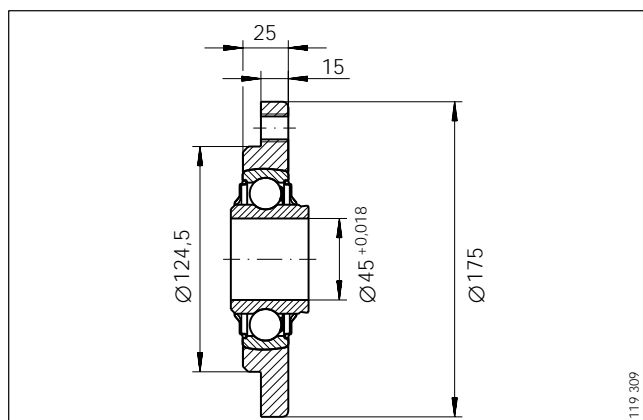
Mancais de ferro fundido, de aço, de chapa inox e plástico



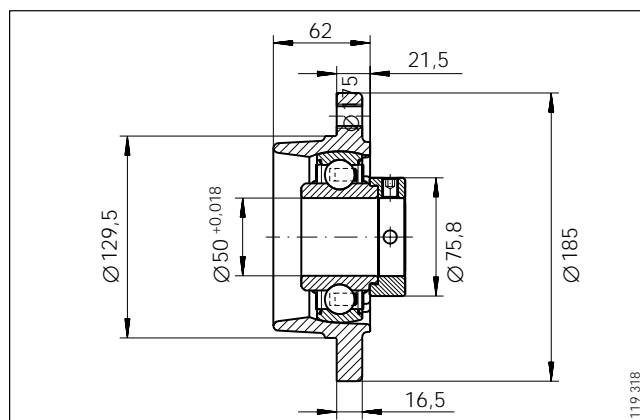
F-110426



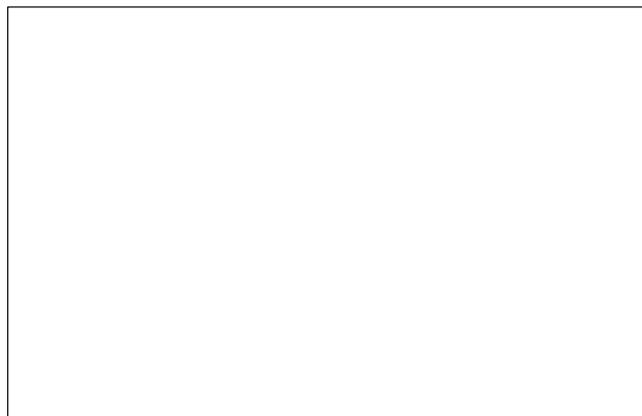
F-110655



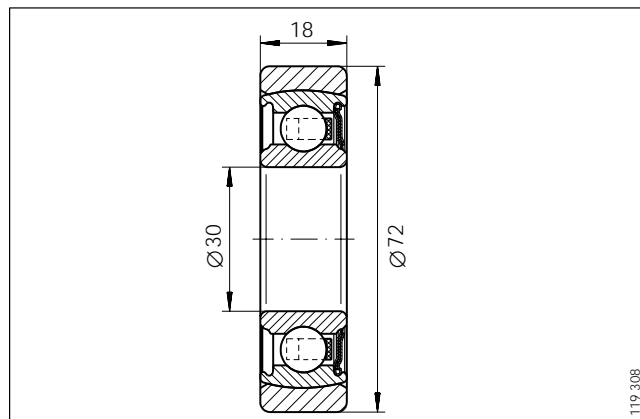
F-110429



F-110621

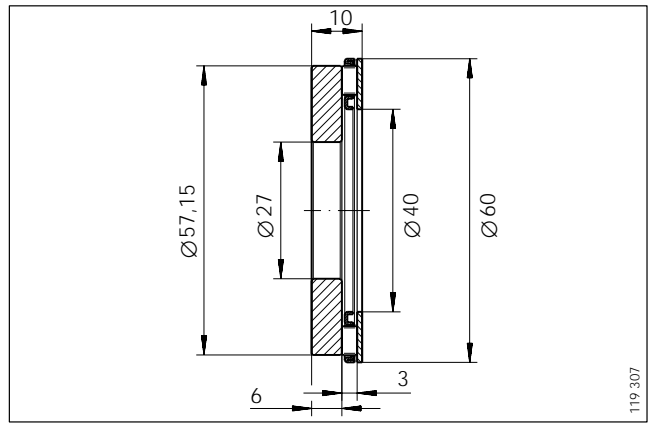


F-45373



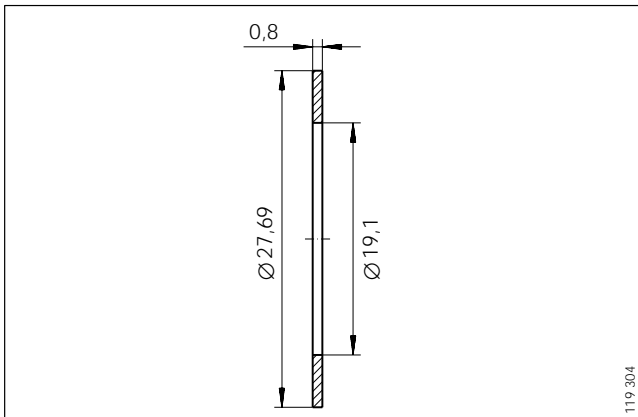
F-45959

# Produtos diversos



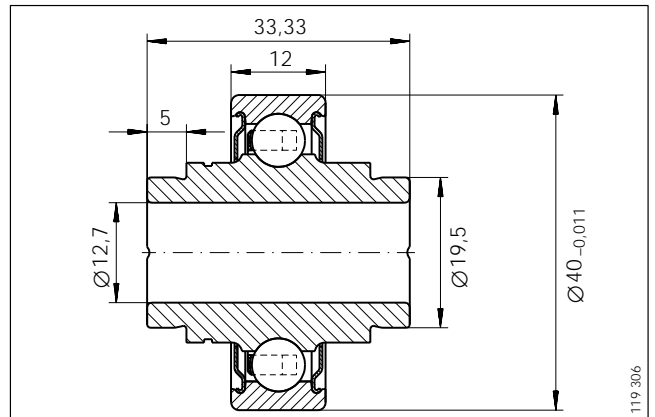
F-110675

119 307



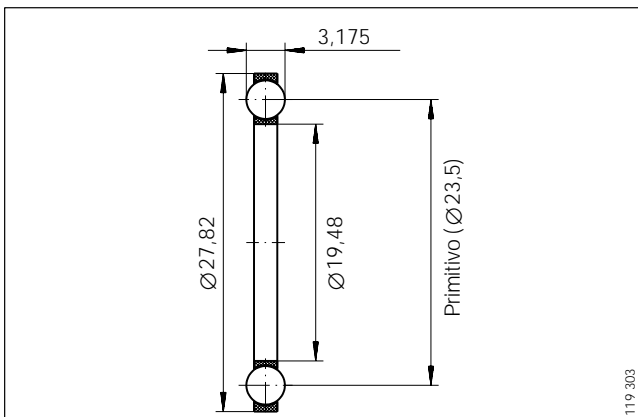
F-110380.3-11

119 304



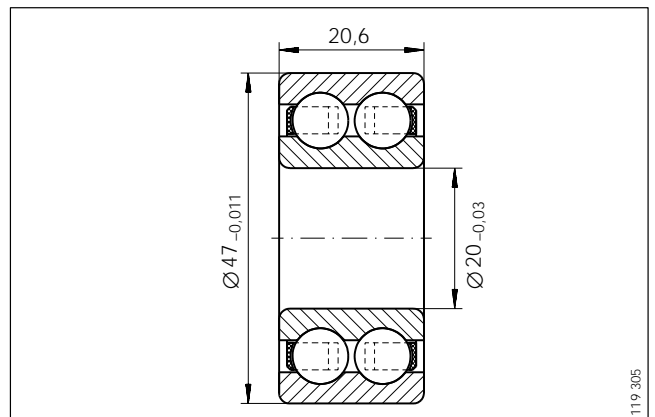
F-45595 ZZ

119 306



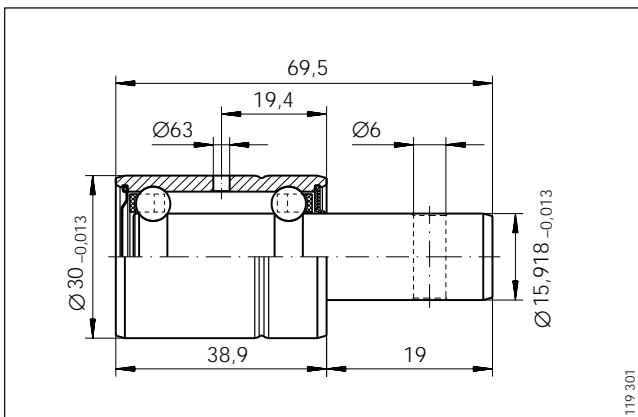
F-110380.3-211

119 303



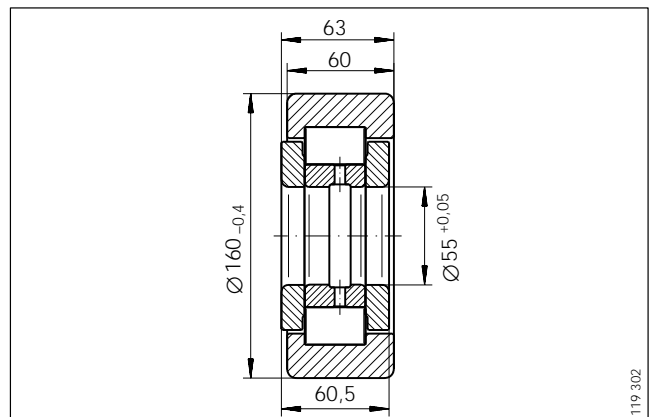
F-110415

119 305



F-110053.1

119 301



F-110395

119 302

## **Rolamentos Schaeffler do Brasil Ltda.**

Matriz e fábrica  
Rolamentos Schaeffler do Brasil Ltda.  
Av. Independência 3500  
Bairro do Éden  
18103-000 Sorocaba-SP  
Caixa Postal 334  
Tel. (015) 235-1500  
Telex 152218 SCHA BR  
Fax (015) 225-2886  
<http://www.ina.de>





## Catálogo BR 019